

UNIVERSIDAD DE SANTANDER
ESCUELA TECNICA SUPERIOR DE INGENIEROS
DE CAMINOS, CANALES Y PUERTOS

TESIS DOCTORAL

**DESARROLLO Y NORMALIZACION DEL ENSAYO DE PERDIDA
POR DESGASTE APLICADO A LA CARACTERIZACION, DOSIFI-
CION Y CONTROL DE MEZCLAS BITUMINOSAS DE
GRANULOMETRIA ABIERTA**

**Realizada por: D. MIGUEL ANGEL CALZADA PEREZ
Dirigida por: D. FELIX EDMUNDO PEREZ JIMENEZ**

SANTANDER, JUNIO DE 1984

CAPITULO 4

PRECISION Y REPETITIVIDAD DEL
ENSAYO CANTABRO DE PERDIDA POR
DESGASTE

4.1. PRECISION Y EXACTITUD DE UN PROCESO DE MEDIDA

Para valorar las propiedades, de un material, llevar a cabo un control de calidad ó comprobar si ese material cumple unas especificaciones, es necesario recurrir al empleo de un método de ensayo.

El empleo repetido de un método de ensayo para determinar una propiedad presente en un material, es lo que constituye un proceso de medida.

Para que un proceso de medida sea susceptible de normalización y se pueda utilizar para valorar las propiedades de un material, debé reunir las siguientes características generales:

a) Existencia de un método de ensayo.

Para efectuar un proceso de medida es necesario la aplicación de un método de ensayo donde se especifique como debe de ser empleado un aparato de ensayo, si se debe de emplear un operador concreto, etc.

b) Conocimiento del conjunto de causas que influyen en el proceso de medida.

Un conjunto de causas de un proceso de medida son los factores que pueden producir variabilidad cuando estamos a

plicando un método de ensayo. A título de ejemplo podemos citar, la temperatura, el aparato concreto que estamos usando, el operador que realiza el ensayo, las probetas, el día, etc.

Generalmente la variabilidad está referida únicamente a la que produce el proceso de medida en sí mismo. Pero para cierto tipo de ensayos, tales como los referentes a mezclas bituminosas, la variabilidad que produce la preparación de las probetas no se puede distinguir de la del proceso de medida en sí mismo, por lo que la variabilidad correspondiente a la fabricación de las probetas se debe incluir en la que presenta el proceso de medida.

c) Facultad de poder establecer un control estadístico.

Un proceso de medida ha de poseer la propiedad de que se le pueda aplicar un control estadístico, de forma que las medidas que realizamos han de pertenecer a una población estadística definida e identifiable.

Al realizar el ensayo de un material, manteniendo constantes todas las condiciones de ensayo, lo mas probable es que no obtengamos idénticos resultados. Esto es debido a los errores que se cometan en la preparación de probetas y en el proceso de medida.

Por lo tanto conocer a partir de la aplicación de un número finito de ensayos el verdadero valor que tiene una determinada propiedad de un material resulta prácticamente imposible. Pero podemos determinar a partir de estos resultados un intervalo en el cual tengamos una gran probabilidad de que se encuentre incluido el valor de la propiedad que estamos evaluando. La amplitud de este intervalo es lo que nos determina la precisión del proceso de medida.

Por otra parte el verdadero valor de la propiedad se podría definir como: el valor hacia el cual tiende la media de los resultados obtenidos por N laboratorios cuando N tiende a infinito.

El sesgo de los valores medidos con relación a este verdadero valor es lo que nos determinaría la exactitud del proceso de medida.

Dependiendo de la precisión y exactitud del proceso de medida, oscilará también la mayor o menor proximidad entre las medidas individuales observadas, y entre éstas y el verdadero valor. En este sentido, la norma ASTM E177 da las siguientes definiciones para los términos precisión y exactitud:

Precisión: Grado de mutua concordancia entre medidas individuales.

Exactitud: Grado de concordancia de las medidas con relación al nivel de referencia aceptado.

Las definiciones anteriores nos indican claramente la diferencia existente entre precisión y exactitud, es decir, un proceso de medida que sea calificado de preciso no implica que sea exacto, puesto que los resultados de los ensayos pueden estar muy próximos entre sí, pero esto no obliga que estén próximos al valor aceptado de la propiedad. Por ejemplo, las medidas que realicemos con un aparato pueden estar muy próximas, pero si el aparato comete un error sistemático, los valores obtenidos no serán exactos.

Estos términos pueden explicarse y ser calculados estadísticamente a partir de la varianza y del error cuadrático medio de las medidas realizadas. En efecto, si hemos realizado una serie de medidas (x_1, \dots, x_n) encaminadas a conocer el verdadero valor de una propiedad, que vamos a denominar x_0 , entre los valores medidos y el verdadero valor podemos establecer la siguiente relación:

$$E\{(x-x_0)^2\} = E\{(x-\bar{x})^2\} + \{\bar{x}-x_0\}^2$$

donde

$$E\{(x-x_0)^2\} = \text{es el error cuadrático medio.}$$

$E\{(X-\bar{X})^2\}$ = varianza de las medidas efectuadas.

\bar{X} = valor medio de las medidas efectuadas.

Pues bien, la varianza del estimador la podemos identificar con la precisión del proceso y el error cuadrático medio del estimador con su exactitud.

Los términos precisión y exactitud, aparecen en otras normas -ISO, por ejemplo- como fidelidad y precisión (precisión = fidelidad; exactitud = precisión).

Por otra parte, dado que la precisión de un proceso de medida depende del sistema de causas a que está asociado, para que un índice de precisión tenga significado, es necesario que especifiquemos cual es éste.

En efecto, cuando las medidas son realizadas por un mismo operador, empleando los mismos aparatos y en las mismas condiciones, la variabilidad es inferior a la que se obtiene cuando las medidas son realizadas por distintos operadores, con distintos aparatos y en diferentes condiciones.

Esto se puede contemplar empleando los prefijos simple y multi, que nos indican de una forma más precisa las condiciones y el sistema de causas empleado en la determinación de la precisión o error sistemático. Como ejemplo

podemos citar:

simple-operador
simple-aparato
simple-laboratorio
simple-laboratorio-operador-día
multi-laboratorio
multi-operador-probeta-día, etc.

Frecuentemente se usan los términos repetitividad y reproductividad para describir un sistema de causas, sobre el que se basa un índice de precisión.

La repetitividad está relacionada con procesos de medida realizados en cortos intervalos de tiempo, en un laboratorio, por un mismo operador y un mismo equipo.

La reproductividad, hace relación a los procesos de medida realizados en diferentes laboratorios, realizados por lo tanto por diferentes operadores, con diferentes aparatos y diferentes épocas.

Las definiciones de repetitividad y reproductividad, que aparecen en los párrafos siguientes, corresponden a las normas ISO, números 3534 y 5725 respectivamente.

Repetitividad. Es una expresión cuantitativa del error aleatorio asociado a un operador único, en un laboratorio,

siendo los resultados consecutivos, empleando el mismo equipo, en condiciones de ensayo constantes y sobre un material de ensayo idéntico. Se define como el valor por de bajo del cual el valor absoluto de la diferencia entre dos valores tiene el 95% de posibilidades de estar incluido.

Reproductividad. Es una expresión cuantitativa del error aleatorio, asociado a diferentes operadores, en laboratorios distintos, empleando un material y método de ensayo idénticos. Se define como el valor por debajo del cual el valor absoluto de la diferencia entre dos valores tiene el 95% de probabilidades de estar incluido.

La norma ASTM E177-71, define mas concisamente los términos repetitividad y reproductividad.

Repetitividad. La precisión simple-laboratorio-operador de un proceso de medida.

Reproductividad. La precisión multi-laboratorio-operador de un proceso de medida.

Se observa que la reproductividad siempre es mayor que la repetitividad. Asimismo, cuanto mayor es la precisión de un ensayo, más pequeños son los valores de repetitividad y reproductividad.

Estos términos de repetitividad y reproductividad han caido en desuso debido a su ambigüedad, puesto que ninguno de ellos hace referencia explícita de forma clara al sistema de causas. La norma ASTM E177-71, dada por el comité E-11 de la American National Standard, recomienda el empleo de los términos precisión y exactitud.

4.1.1. EXPRESION DE LA PRECISION Y EXACTITUD DE UN PROCESO DE MEDIDA

La precisión de un proceso de medida la podemos establecer mediante un índice ($\pm s$), siendo s un número positivo. La base más usual para determinar este índice de precisión es a partir de la varianza muestral, s^2 , de la distribución estadística de las mediciones realizadas.

Como índices de precisión se suelen tomar:

$\pm s$ Es el valor más empleado, y nos indica que en la mayoría de las experiencias, se puede confiar que alrededor del 68% de los casos el valor medido está incluido en el intervalo $x_0 \pm s$.

$\pm 2s$ Se puede confiar que alrededor del 95% de los casos el valor medido está incluido en el intervalo $x_0 \pm 2s$.

$\pm 3S$ Se puede confiar que alrededor del 99% de las experiencias el valor medido esté incluido en el intervalo $x_0 \pm 3S$.

Estos niveles de confianza del 68%, 95% y 99% corresponden supuesta una distribución normal, lo que sucede para muchos estadísticos, cuando el tamaño de muestra es mayor de 30.

También el índice de precisión se suele establecer como el intervalo máximo de amplitud entre 2 medidas aisladas. Supuesta la distribución normal estos índices de precisión serían:

$\pm 2\sqrt{2}S$ Se puede confiar que alrededor del 95% de las experiencias el valor de la diferencia de dos resultados este incluido en el intervalo:

$$-2\sqrt{2}S < x_1 - x_2 < 2\sqrt{2}S$$

$\pm 3\sqrt{2}S$ Se puede confiar que alrededor del 99% de las experiencias el valor de la diferencia de dos resultados esté incluida en el intervalo:

$$-3\sqrt{2}S < x_1 - x_2 < 3\sqrt{2}S$$

La precisión también se puede indicar como un porcentaje de alguno de los índices anteriores, con relación al

valor real de la propiedad.

El valor de a, una vez definido el índice de precisión a utilizar ($\pm S$; $\pm 2S\dots$), será tanto más pequeño cuanto más agrupadas estén las mediciones realizadas y, por lo tanto, más preciso sea el ensayo.

El índice de precisión variará si se aplican diferentes procesos de medida para medir una misma propiedad de un material, por causa de diferencias en los métodos de ensayo ó en el sistema de causas. Si dos índices de precisión están referidos a dos procesos diferentes, pero basados en el mismo método ó dirigidos a medir la misma propiedad, y ambos tienen la misma clase de interpretación con relación a la variación de los resultados, será más preciso el que tenga un menor valor para a.

Referente a la exactitud, no hay una forma sencilla - que nos permita determinarla y que se pueda recomendar siempre. Sin embargo, ya que el concepto de exactitud dado anteriormente abarca no solo el concepto de precisión (concordancia de cada uno de los valores individuales con el nivel de referencia), sino también la idea de una desviación de los valores medidos con relación al valor de referencia (sesso sistemático), a veces puede ser apropiado establecer la exactitud mediante un índice de precisión y una corrección tal que aplicada de una manera específica a cada medida permite reducir ó, si es posible, eliminar el sesgo sistemático.

El error sistemático de un proceso se puede establecer como diferencia existente entre la media correspondiente a las mediciones realizadas y el verdadero valor de la propiedad considerada. Figura 4.1.

$$\delta = x_0 - \bar{x}$$

donde

δ : Sesgo sistemático de un proceso de medida a un nivel de referencia x_0 .

x_0 : Nivel de referencia aceptado de la propiedad del material. Valor teórico de la propiedad medida.

\bar{x} : Media de los valores medidos.

Por otra parte, las correcciones sistemáticas son a menudo consideradas inherentes al método o procedimiento de ensayo y podría ser mejor incorporarlas al proceso de ensayo, que asociarlas con la exactitud de un proceso de medida. Es decir, que dados dos procesos de medida con el mismo índice de precisión, pero con diferentes errores sistemáticos, el proceso con error sistemático menor sería el más exacto. Sin embargo, correcciones apropiadas en cada caso podrían hacer ambos procesos equivalentes en exactitud.

En la figura 4.2a) y b), se puede apreciar dos procesos de medida que presentan el mismo índice de precisión. En este caso el método B es más exacto que el A, pero haciendo una corrección adecuada (error sistemático) el método A y B resultan igualmente exactos.

Unicamente sería posible decir que un proceso es más exacto que otro si los errores sistemáticos en ambos procesos de medida fuesen despreciables y uno fuese más preciso que el otro. Entonces aquel que tuviera menor índice de precisión sería también el más exacto. Por otra parte, si tenemos dos procesos y uno es más preciso que el otro, pero tiene mayor sesgo sistemático y no podemos aplicar una corrección, no hay una comparación sencilla de la exactitud de los dos procesos, sin embargo, en este caso se podría utilizar el criterio de menor error cuadrático medio.

4.1.2. CAMBIOS EN LA PRECISIÓN Y EN LA EXACTITUD

Los cambios en la precisión y exactitud de un sistema de medida se pueden deber a:

- cambios asociados con el nivel de referencia.
- cambios asociados a la modificación en el sistema de causas.

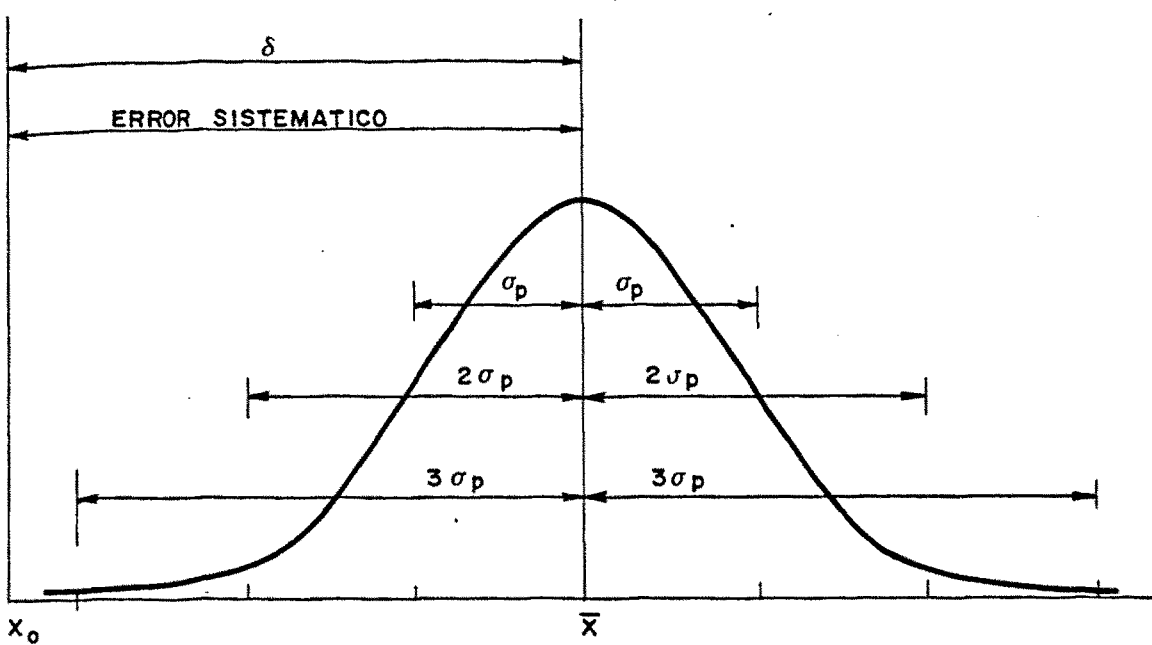


FIG.4.1.- REPRESENTACION DE LOS INDICES DE PRECISION MAS HABITUALES Y ERROR SISTEMATICO

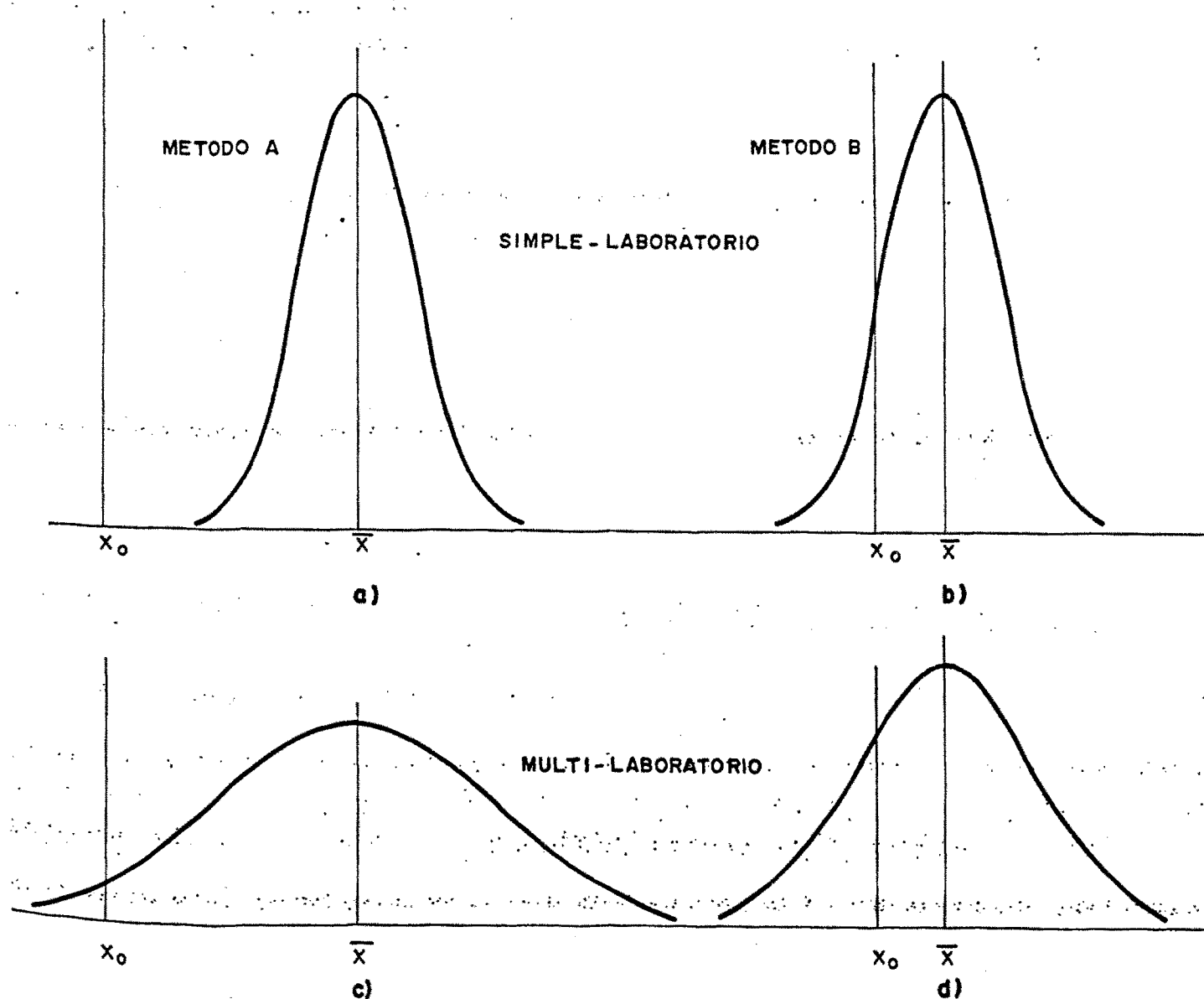


FIG.4.2.- VARIACIONES DE LA PRECISION AL VARIAR EL SISTEMA DE CAUSAS

El valor del índice de precisión y el error sistemático, ó ambos, pueden variar con cambios en el nivel de referencia aceptado para la propiedad del material que se está midiendo. Este cambio de nivel de referencia ocurre normalmente cuando se produce un cambio en las propiedades físicas del material que se está ensayando (por ejemplo: % de betún,...), esto hace que el material se comporte de distinta manera, y que el grado de variación y la concordancia entre los resultados individuales con el nivel de referencia puedan ser distintos, dependiendo de las propiedades del material ensayado.

Por lo tanto, cuando determinamos un índice de precisión, ó el error sistemático de un proceso, puede ser necesario indicar el nivel de referencia. Afortunadamente, en muchos casos prácticos, puede evitarse este inconveniente de una manera sencilla, mediante el uso de una simple función matemática, como por ejemplo la raíz, el logaritmo, etc, que se aplica a cada una de las medidas, con lo que se obtiene una nueva variable cuyo índice de precisión, o error sistemático, es independiente del nivel de referencia.

Con relación a los cambios en la precisión producidos por la variación en el sistema de causas, ya nos hemos referido a ello al tratar los prefijos simple y multi en el comentario preliminar a las definiciones de repetitividad y reproductividad. Como se indica en dicho apartado toda

modificación del sistema de causas produce una variación en la precisión y exactitud. Cuando las medidas son realizadas por un mismo operador, empleando los mismos aparatos y en las mismas condiciones, la variabilidad es inferior a la que se obtiene cuando las medidas son realizadas por distintos operadores, con distintos aparatos y en diferentes condiciones. Esto puede observarse en la figura 4.2 donde se representan los resultados en el caso de un simple-laboratorio y en el caso de un multi-laboratorio.

Con relación a los cambios del error sistemático, puede ser frecuente que cuando se realiza una gran cantidad de medidas, sobre todo durante un amplio periodo de tiempo, el error sistemático, pueda ir cambiando. Este cambio en el error sistemático puede ser predicho a medida que causas conocidas (p. ej.: variación de la temperatura ambiente), van entrando en el sistema de causas, ó bien, puede cambiar por razones difíciles de identificar. (P. ej.: aparición de tendencias extrañas en el operador).

Estas variaciones pueden dar lugar, a que errores que antes eran considerados como sistemáticos, puedan ser ahora explicados mediante una variable que no había sido incluida en el sistema de causas, aunque realmente debía pertenecer a él. Un nuevo índice de precisión y un nuevo error sistemático deben ser establecidos a la vista de los nue-

vos resultados obtenidos, y obedecerán a un nuevo sistema de causas.

4.1.3. DETERMINACION EXPERIMENTAL DE LA PRECISION

La precisión de un proceso de medida se determina experimentalmente aplicando a los valores obtenidos en los ensayos un análisis estadístico.

La determinación experimental requiere, el empleo de un método de ensayo, la realización de un plan de ensayos y un procedimiento estadístico, que constituyen conjuntamente el método experimental.

El método o procedimiento de ensayo habrá sido fijado a partir de unos ensayos previos de normalización, en que se hayan analizado los factores que producen variabilidad. Esta normalización del ensayo es una cuestión previa de todo proceso de medida.

Definido el método de ensayo, si queremos determinar la precisión del proceso de medida, habremos de fijar un plan experimental de ensayos de acuerdo con un método o procedimiento estadístico seleccionado, que nos permita valorar su precisión y exactitud a partir de los valores obtenidos.

El método estadístico de ensayo seguido para determinar la precisión de un proceso de medida tiene a su vez una "precisión", denominada error de muestreo, que además puede tener un error sistemático, que depende de lo adecuado que sea el diseño del experimento.

Como procedimientos normalizados para determinar la precisión podemos destacar: la t de Student, análisis de varianza, análisis de covarianza, modelos de regresión, etc.

En los apartados siguientes pasamos a comentar, el método estadístico y el plan de ensayos utilizados en la determinación de la precisión del ensayo de desgaste Cántabro. Describiendo previamente las características del método de ensayo.

4.2. DETERMINACION EXPERIMENTAL DE LA PRECISION DEL ENSAYO DE DESGASTE CANTABRO. METODO EXPERIMENTAL EMPLEADO

La determinación de la precisión del proceso empleado en la medida de las pérdidas por desgaste mediante el ensayo Cántabro se realizó, a partir de los valores obtenidos después de la puesta a punto y desarrollo del ensayo, una vez normalizado éste.

El ensayo de pérdida por desgaste no tenía ningún precedente en su aplicación a mezclas bituminosas y, por tanto, no existía ningún modelo que pudiese marcar una pauta para su desarrollo. Los primeros ensayos consistentes en un estudio piloto sobre tres mezclas tipo recogidas en el capítulo anterior, sirvieron para poner de manifiesto la validez del método de ensayo así como para la determinación del conjunto de causas que incluyen en el proceso de perdida.

Realizado este estudio piloto, se fijó el siguiente procedimiento de ensayo del que se ha determinado su precisión.

4.2.1. MÉTODO DE ENSAYO

1. APARATOS DE ENSAYO

Máquina de desgaste de los Angeles: la máquina empleada en el ensayo de desgaste Cántabro es la misma que se uti-

za en el ensayo de desgaste de los áridos por medio de la máquina de Los Angeles (NLT-149/72), figura 4.3, pero sin carga abrasiva. Las características de la máquina están definidas en el apartado 2.1 de la Norma NLT-149/72.

2 PREPARACION DE LAS PROBETAS DE ENSAYO

La muestra ensayada consiste en una probeta cilíndrica ($\phi = 101,6$ mm) con un peso de 1 Kg de áridos mas el peso de ligante, compactada mecánicamente en la compactadora Marshall. El procedimiento seguido para la preparación de la probeta es el señalado en la Norma dada por el Laboratorio de Transporte y Mecánica del suelo para determinar "la resistencia a la deformación plástica de mezclas bituminosas aplicando el aparato Marshall" NLT-159/73, empleando una energía de compactación de 50 golpes por cara y una temperatura que en principio deberá responder a una viscosidad del ligante comprendida entre 700 y 900 contistokes.

3 EJECUCION DEL ENSAYO

Para determinar la pérdida de desgaste de cada una de las probetas ensayadas se sigue el siguiente procedimiento:

- 1.- Se pesa en seco la probeta, con una aproximación de 0,1 gramos (P_1).

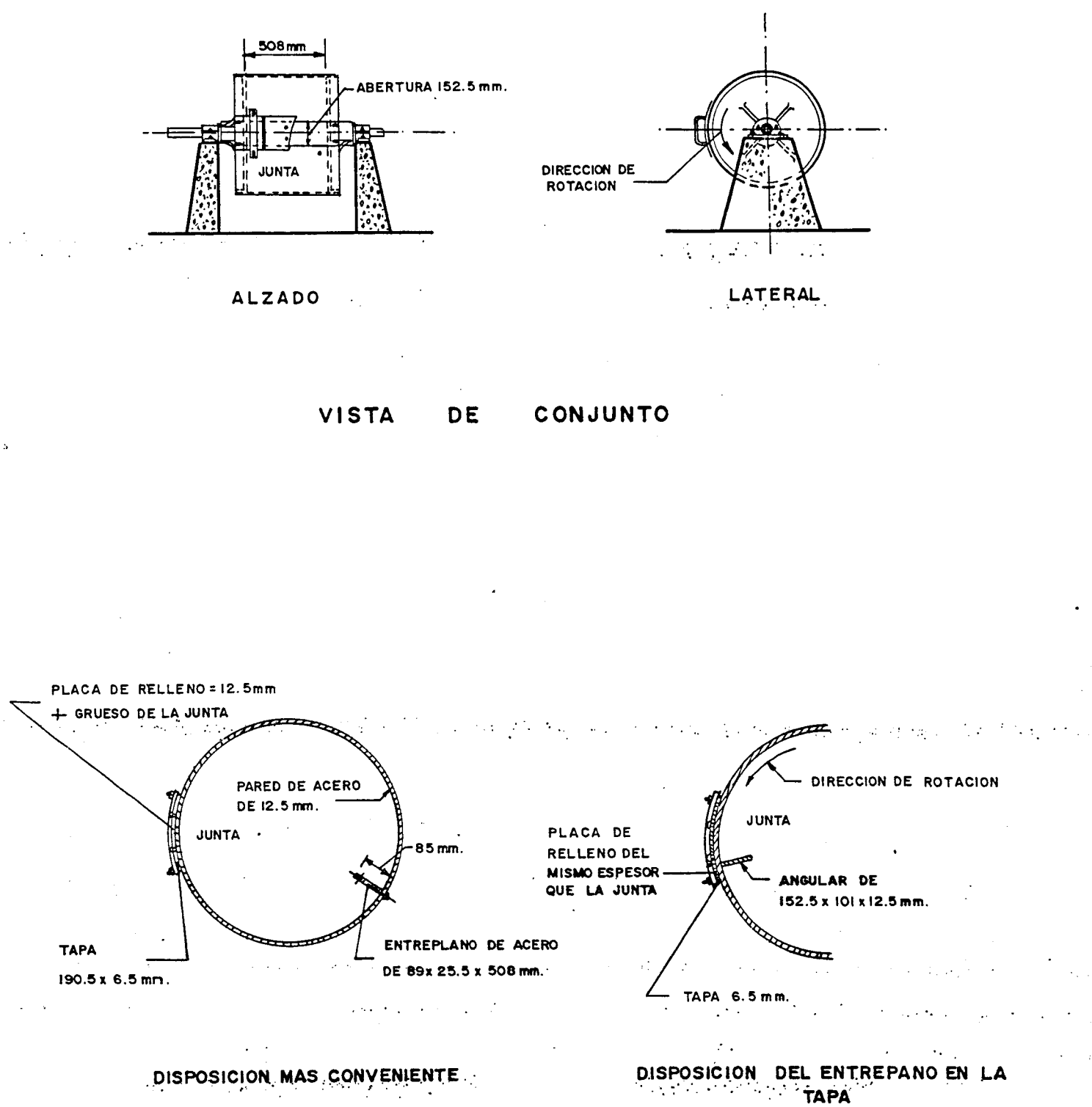


FIG.4.3.- MAQUINA DE "LOS ANGELES"

2.- Se introduce la probeta en la máquina de Los Angeles, sin ninguna clase de carga abrasiva, y se le somete a 300 revoluciones.

3.- Se saca la probeta que se habrá ido reduciendo por el desgaste, se pesa en seco, con una aproximación de 0,1 gramos (P_2).

4. RESULTADO DEL ENSAYO

La pérdida de desgaste se expresa en tanto por ciento referido al peso inicial de la probeta.

$$\text{Tanto por ciento de pérdida por desgaste} = \frac{P_1 - P_2}{P_1} \times 100$$

donde

P_1 = peso inicial probeta en g.

P_2 = peso final probeta en g.

4.2.2. METODO ESTADISTICO

En la determinación de la precisión del ensayo se ha empleado el programa de regresión lineal múltiple desarrollado por A. Luceño en 1983. El comentario de todas las características del modelo sería muy prolífico. No obstante, se comentan a continuación los rasgos fundamentales del modelo de regresión lineal múltiple empleado. La forma general de la ecuación -

que define el modelo es:

$$\sqrt{w} f(y) = \sqrt{w} \sum_{i=1}^p f_i(x_1, \dots, x_r) \beta_i + \epsilon$$

donde w es el peso correspondiente a cada observación; ϵ es una variable aleatoria, cuya distribución se supone normal de media cero y varianza σ^2 constantemente independiente de los valores de las variables x_1, \dots, x_r que constituyen el sistema de causas; β_i ($i = 1, \dots, p$) son parámetros de ajuste del modelo lo mismo que las funciones $f(y)$ $f_i(x_1, \dots, x_r)$, que bien son conocidas a priori o bien deben ser inferidas a partir de los datos, al objeto de que se verifiquen las hipótesis del modelo, para que la regresión sea significativa y que el coeficiente de determinación sea alto.

Mediante la aplicación de este modelo podemos obtener una correlación, entre la variable dependiente: pérdida por desgaste, y las variables independientes ó sistema de causas: porcentaje betún, porcentaje finos, etc, al mismo tiempo que nos permite determinar la varianza, σ^2 , de la variable ϵ , que es precisamente la base de referencia para definir la precisión del proceso de medida.

Frecuentemente el modelo de regresión lineal multiple se expresa en forma matricial:

$$Y = X \beta + \epsilon$$

donde

Y Es un vector columna ($n \times 1$) elementos $f(y_j)$ donde
 $j = 1, \dots, n$ ($n =$ nº de observaciones).

X Es una matriz de $(n \times p)$ elementos cuyo elemento j,i
es el valor de $f_i(x_1, \dots, x_r)$ para la observación j .

β Es un vector columna ($p \times 1$) de parámetros β_i .

ϵ Es un vector columna ($n \times 1$) de errores.

La resolución del problema, implica la elección de los parámetros β de tal forma que el valor de la respuesta que hemos obtenido experimentalmente se aproxime lo máximo posible a la respuesta suministrada por el modelo. Una forma de realizar esto, es aplicar el método de máxima verosimilitud ó el de mínimos cuadrados (que son equivalentes para las hipótesis realizadas), es decir, que la suma de los errores cuadráticos sea mínima. Esto se puede expresar matemáticamente mediante la condición:

$$E(\epsilon) = 0$$

Lo que hace que podamos expresar la ecuación:

$$E(Y) = X \beta$$

Entonces la suma de errores cuadráticos:

$$(*) \quad \varepsilon' \varepsilon = (Y - X\beta)' (Y - X\beta) = Y'Y - \beta'X'Y - Y'X\beta + \beta'X'X\beta = \\ = Y'Y - Z\beta'X'Y' + \beta'X'X\beta \quad (a)$$

La estimación de β , obtenida a partir de la minimización de $\varepsilon' \varepsilon$, es lo que vamos a denominar b . Esto se puede obtener derivando la ecuación (a) con relación a β e igualando los valores de la ecuación matricial a cero. El resultado de la derivación es:

$$(X'X)b = X'Y$$

si los parámetros son independientes la matriz $X'X$ admite inversa y podemos poner:

$$b = (X'X)^{-1}X'Y$$

Igualmente podemos calcular la matriz de varianzas-covarianzas de los estimadores (b):

$$V(b) = (X'X)^{-1}\sigma^2$$

donde las varianzas son los elementos de la diagonal principal, y las covarianzas los elementos exteriores a la misma.

NOTA (*): El simbolo ' significa transpuesta, es decir, la matriz ε' es la transpuesta de ε .

El valor de σ^2 se estima mediante s^2 y éste está dado por:

$$s^2 = \frac{Y'Y - b'X'Y}{n - p}$$

siendo este valor de s un índice de precisión si el modelo es correcto.

Una forma de medir la bondad del ajuste que hemos obtenido al determinar la ecuación de regresión es el denominado coeficiente de correlación.

Si denominamos: Y el valor de la respuesta obtenido en una medida; \bar{Y} el valor medio de los valores observados e \hat{Y} al valor de respuesta que proporciona el modelo, la variación total de Y se define como:

$$\sum(\hat{Y}-\bar{Y})^2 = \sum(Y-\hat{Y})^2 + \sum(\hat{Y}-Y)^2$$

donde

$$\sum(Y-\hat{Y})^2 = \text{variación no explicada.}$$

$$\sum(\hat{Y}-\bar{Y})^2 = \text{variación explicada por el modelo.}$$

La relación entre la variación explicada y la variación total se denomina coef. de determinación. Al valor de r se denomina coeficiente de correlación y está dado por

la relación:

$$r = \sqrt{\frac{\sum (\hat{Y} - \bar{Y})^2}{\sum (Y - \bar{Y})^2}} = \sqrt{1 - \frac{\text{variación no explicada}}{\text{variación total}}}$$

el rango de variación es de 0 a 1, cuanto más nos aproximamos a $r = 1$ la variación no explicada es más pequeña y el modelo es mejor.

4.2.2.1 TRANSFORMACION DE BOX-COX Y ESTADISTICO Cp

Este modelo general es sumamente versátil. De hecho su uso requiere un estudio muy cuidadoso respecto de todo aquello que los datos tratan de decir al estadístico que los analiza. En particular a veces son necesarias transformaciones que ajusten los datos a las hipótesis del modelo.

Una de estas hipótesis es suponer la variable aleatoria ϵ normal, de media 0 y varianza σ^2 , constantemente independiente de los valores de las variables x_1, \dots, x_r , que constituyen el sistema de causa. Cuando esto no ocurre, como es el caso de la pérdida de desgaste, que presenta una mayor dispersión de resultado a medida que aumenta el desgaste, es posible, mediante la transformación de Box-Cox, conseguir una variable que cumpla esta condición. La transformación de Box-Cox en su forma más sencilla

lla esta dada por:

$$y^{(\lambda)} = \frac{y^{\lambda}-1}{\lambda y} \quad \text{si } \lambda \neq 0$$

$$y^{(\lambda)} = \bar{Y} \ln(Y) \quad \text{si } \lambda = 0$$

siendo:

\bar{Y} Media geométrica de todas las observaciones de la variable aleatoria o característica de interés.

λ Es un parámetro que define la transformación.

$y^{(\lambda)}$ Es la transformación del valor Y .

Esta transformación es un método muy adecuado para inferir la función $f(Y)$ de la ecuación del modelo. Para la variable aleatoria el porcentaje de pérdida por destaste se ha encontrado que $\lambda = \frac{1}{3}$ es un valor adecuado del parámetro, lo que equivale a usar la transformación $\sqrt[3]{Y}$.

Otro problema que se presenta es la selección de las variables que deben formar parte del modelo. Suponiendo que existan en principio K variables que puedan intervenir en la ecuación de regresión, el número de posibles combinaciones entre ellas es:

$$\binom{K}{0} + \binom{K}{1} + \binom{K}{2} + \dots + \binom{K}{i} + \dots + \binom{K}{K-1} + \binom{K}{K} = (1+1)^K = 2^K$$

siendo

$\binom{K}{i}$ El número de combinaciones de las K variables cuando en la ecuación intervienen i.

Esto implica que se debería de ajustar las 2^K ecuaciones y elegir la mejor de ellas, parece en principio que una forma de selección debe de ser elegir aquellas ecuaciones que presenten un mayor coeficiente de correlación y a su vez intervenga el menor número de parámetros posible.

Un criterio para establecer un equilibrio entre las dos condiciones esta dado por el estadístico Cp debido a Mallows, que permite hacer una selección de las variables en función del valor que toma Cp en los 2^K ecuaciones posibles. El cálculo de los 2^k valores de Cp puede hacerse, mediante el algoritmo de Furnival y Wilson, sin necesidad de ajustar las 2^k ecuaciones de regresión.

Este estadístico Cp estima el error cuadrático medio, es decir, la suma de los cuadrados del sesgo de cada observación más la varianza de su estimación, para cada ecuación. Por tanto, debe ser lo más pequeño posible.

El estadístico Cp está dado por la ecuación:

$$C_p = \frac{RSS_p}{S^2} - (N-2p)$$

donde

s^2 Es el estimador de σ^2 .

RSS_p Es la suma de cuadrados residual que esta dada por
 $(Y'Y - b'X'Y)$.

p El número de parámetros β .

n El número de observaciones.

Cuando una ecuación de p términos tiene un sesgo des-
preciable $SSB_p \approx 0$, $E(RSS_p) = (N-p)\sigma^2$, Y

$$E(C_p | SSB_p = 0) = \frac{(N-p)\sigma^2}{2} - (N-2p) = p.$$

es decir, cuando el sesgo tiende a cero el valor de C_p tien-
de a p.

Si procedemos a dibujar, figura 4.4 los valores de C_p obtenidos
para un número de parámetros p, resulta que cuando el ses-
go es pequeño el punto que representamos tiende a aproxi-
marse a la recta $C_p = p$ (punto A). Cuando el sesgo es gran-
de el punto representado se aleja de la recta $C_p = p$ (pun-
to B). No obstante puede suceder que el punto B, teniendo
un sesgo muy grande, presente un valor de C_p mas pequeño.

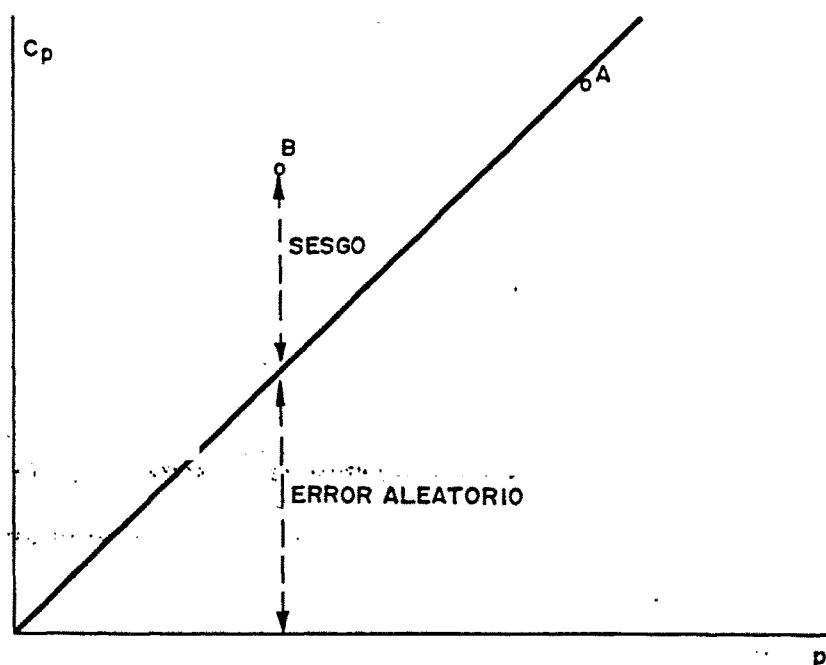


FIGURA 4.4 -VARIACION DEL ESTADISTICO C_p CON EL NUMERO DE PARAMETROS Y EL SESGO

Es decir, si aumentamos el número de parámetros se puede hacer disminuir el sesgo, pero puede aumentar el valor C_p . Lo que se trata de conseguir es un equilibrio entre el número de variables empleadas (p) y el sesgo.

4.2.2.2.- CONTROL DE LAS HIPOTESIS DEL MODELO

Las hipótesis que nos han permitido ajustar el modelo, se basan en que ϵ_i sea una variable aleatoria normal de media 0 y varianza σ^2 . Esto hace necesario que comprobemos prácticamente la validez de estas hipótesis, siendo una..

técnica muy adecuada el análisis de los residuos. Este análisis se basa en que si las hipótesis planteadas son correctas, cabe esperar, que los residuos varíen aleatoriamente, y si por el contrario presentan tendencias sistemáticas se debe suponer que el modelo no es correcto.

La hipótesis de normalidad se puede contrastar empleando papel probabilístico normal. Para representar los residuos, inicialmente se ordenan de menor a mayor y si es n el número de ellos, se representa en abscisas el valor $(j-1/2)/n$ y en ordenadas el valor del residuo, siendo j el lugar que ocupa el residuo representado. Si los puntos representados se pueden ajustar mediante una línea recta, podemos concluir que no se contradice la hipótesis de normalidad. Si no sucediera esto sería necesario realizar alguna transformación que permitiera hacer valida la hipótesis contrastada.

Además de este gráfico, deben de realizarse otros que tienen por objeto detectar fallos en las hipótesis de linealidad de la media e igualdad de varianzas de la variable dependiente (pérdida por desgaste) cuando varían las variables independientes (sistema de causas).

Estos gráficos se obtienen dibujando las n observaciones en un diagrama cartesiano. La abscisa es el valor

estimado de la respuesta al ajustar el modelo, y su ordenada es el residuo. El puede suministrar información sobre la hipótesis de normalidad, igualdad de varianzas y linealidad.

A título de ejemplo podemos observar la figura 4.5, el gráfico a, que nos indica que la distribución de ϵ está sesgada hacia los valores positivos, mientras que el gráfico b nos indica que la varianza de las observaciones no es constante. Del mismo modo el gráfico c nos indica que la relación entre la variable dependiente y las variables independientes no es lineal.

El mismo tipo de gráficos se utiliza, para comprobar la linealidad y dispersión de cada una de las variables independientes.

4.2.3. PLAN EXPERIMENTAL

Para la determinación de la precisión del ensayo de pérdida por desgaste Cántabro se procedió a determinar la pérdida por desgaste de probetas fabricadas con distintas granulometrías y porcentajes de ligante.

Las granulometrías estudiadas se diferenciaban por el tamaño máximo de árido empleado (10, 12 y 20 mm), el porcentaje de árido fino empleado (10, 15%) y el contenido

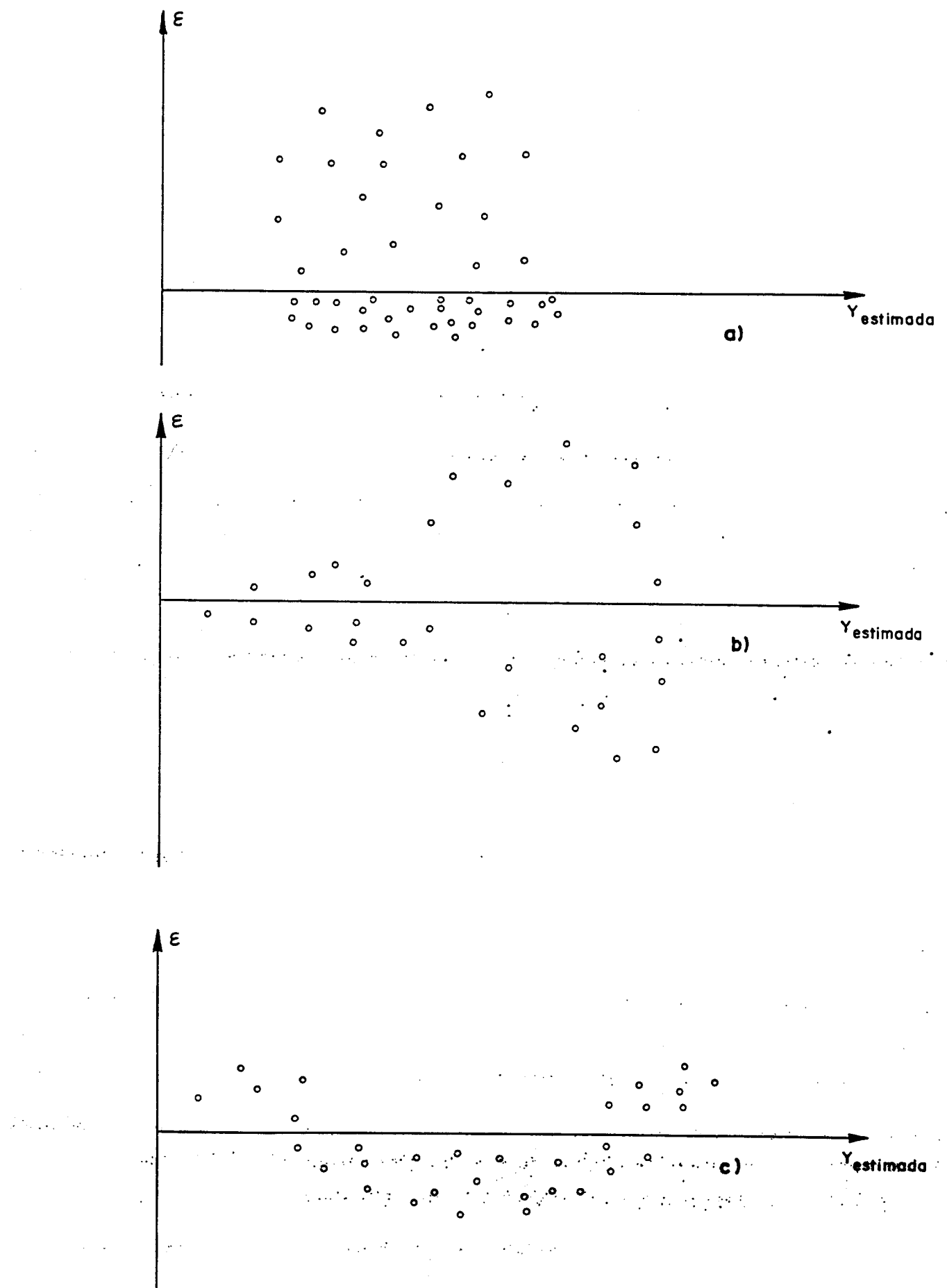


FIGURA 4.5.- GRAFICOS PARA EL CONTRASTE DE LAS HIPOTESIS

DE IGUALDAD DE VARIANZAS Y LINEALIDAD

nido de filler (2-4-6%). En total se estudiaron 18 granulometrías que han sido recogidas en la tabla 4.1 y representadas en las figuras 4.6, 4.7 y 4.8. Todas ellas corresponden a granulometrías normales que se utilizan en mezclas bituminosas porosas.

Los porcentajes de betún empleados en cada granulometría fueron del 3,5-4,5-5,5%. Por cada granulometría y porcentaje de ligante se ensayaron dos probetas.

El árido empleado para la fabricación de estas mezclas es de naturaleza ofítica y como ligante se empleó un betún de pretracción B-60/70. Las características del árido y del betún aparecen en la tabla 4.2.

Los ensayos se realizaron en los meses de octubre y noviembre de 1981, con una temperatura en el laboratorio comprendida entre los 16 y 18°C.

Las variables estudiadas con los valores considerados, son por tanto, las siguientes:

b contenido de betún 3,5; 4,5; 5,5% s/a.

f contenido de filler 2; 4 ; 6%.

GRANULOMETRIAS												
TAMIZ UNE	P-20(15,2)	P-20(10,4)	P-20(10,6)	P-20(15,4)	P-20(15,2)	P-12(15,4)	P-12(15,2)	P-12(10,4)	P-12(10,6)	P-10(15,2)	P-10(15,4)	P-10(10,4)
2,5	100	100	100	100	100	100	100	100	100	100	100	100
2,0	87	87	86	86	86	100	100	100	100	100	100	100
1,2,5	65	65	63	63	74	74	72	72	72	100	100	100
1,0	57	57	54	54	63	63	61	61	61	85	85	84
5	33	33	29	29	36	36	32	32	32	46	46	42
2,5	15	15	10	10	15	15	10	10	10	15	15	10
0,63	7	8	10	5	6	8	7	8	10	5	7	8
0,32	6	7	8	4	5	7	6	7	8	5	6	7
0,08	2	4	6	2	4	6	2	4	6	2	4	6

TABLA 4.1.- GRANULOMETRIA DE LAS MEZCLAS ENSAYADAS

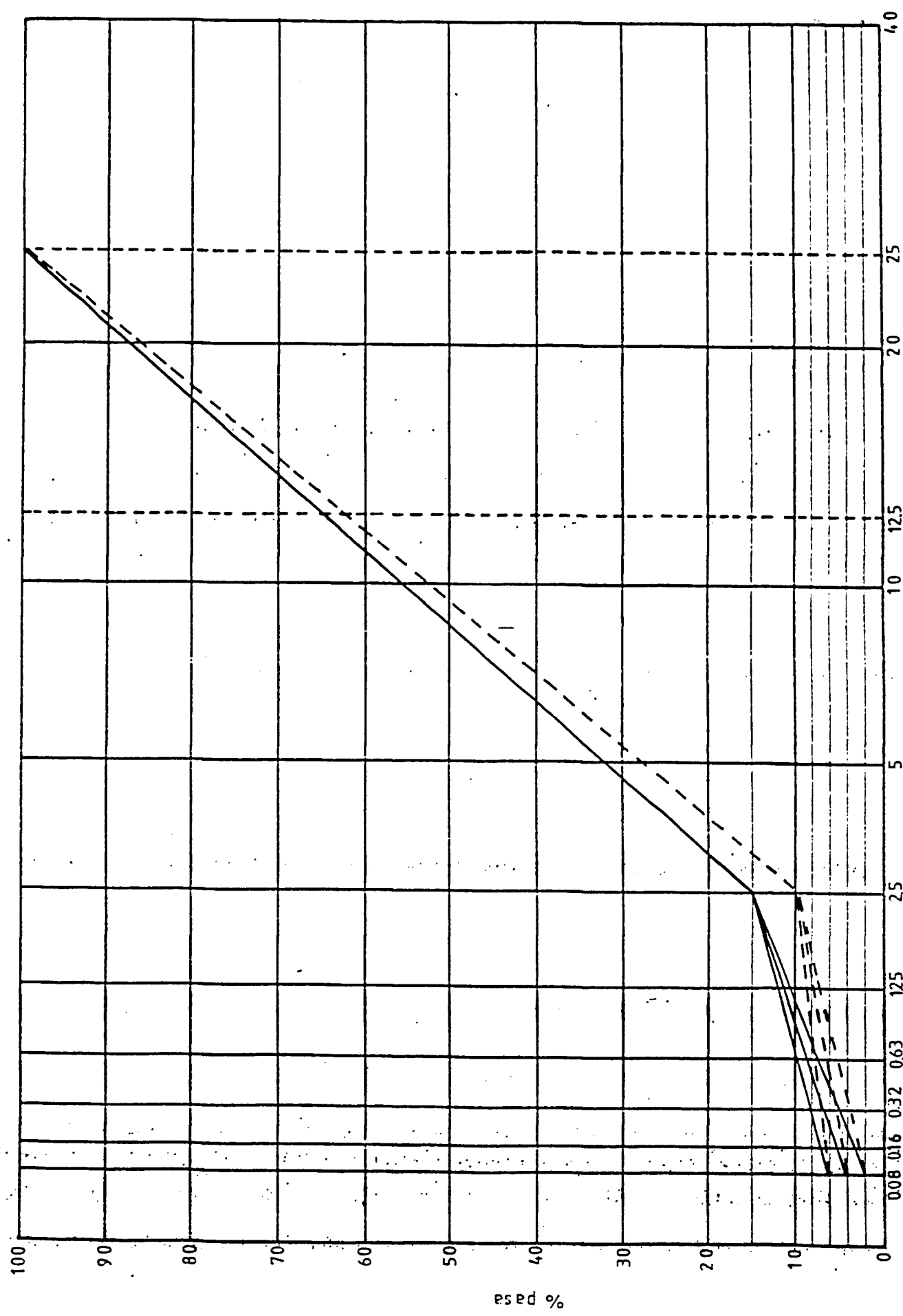


FIG. 4.6. - GRANULOMETRÍAS ENSAYADAS. TAMAÑO MÁXIMO 20 mm.

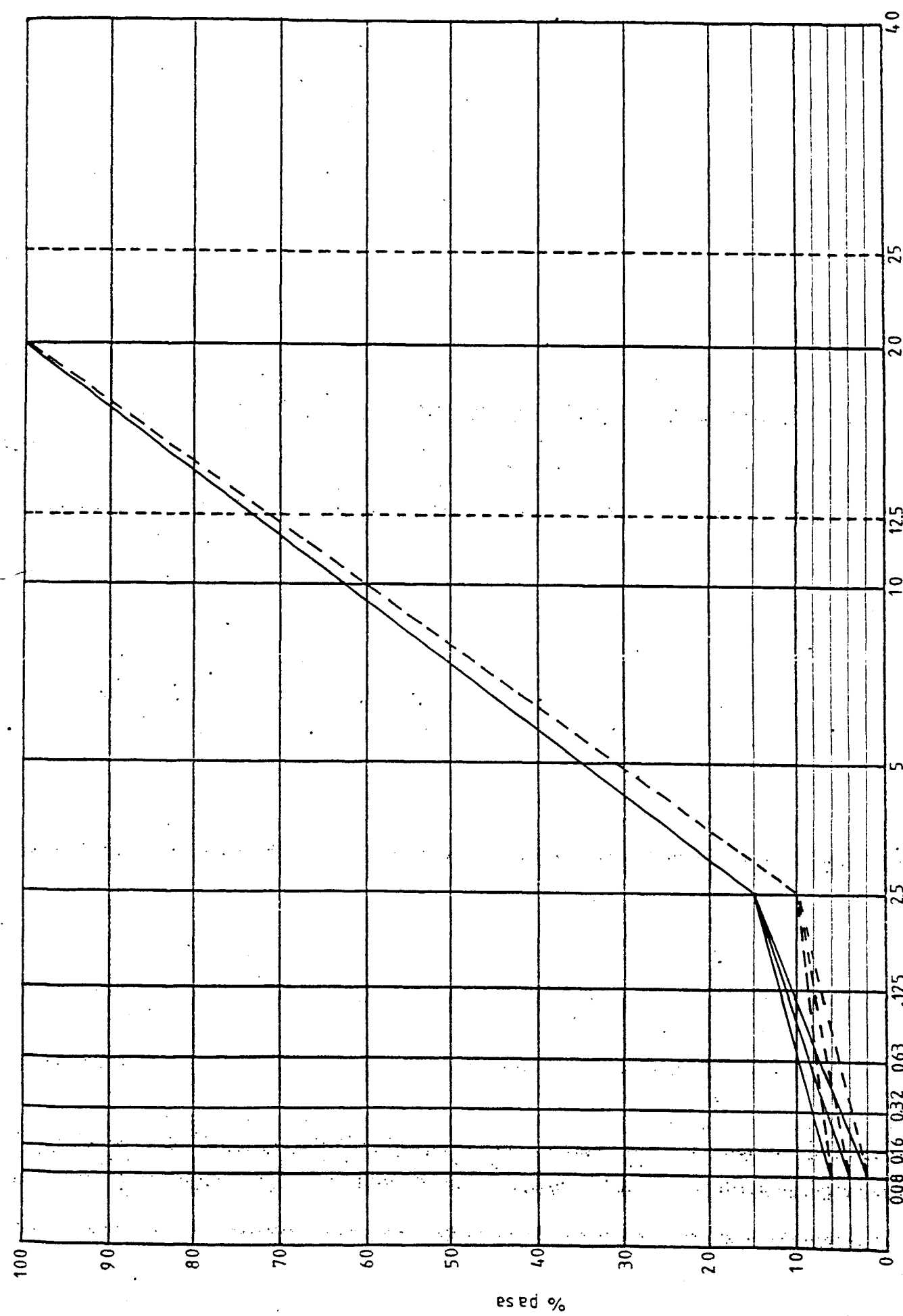


FIG. 4.7. GRANULOMETRÍAS ENSAYADAS. TAMAÑO MÁXIMO 12.5 mm.

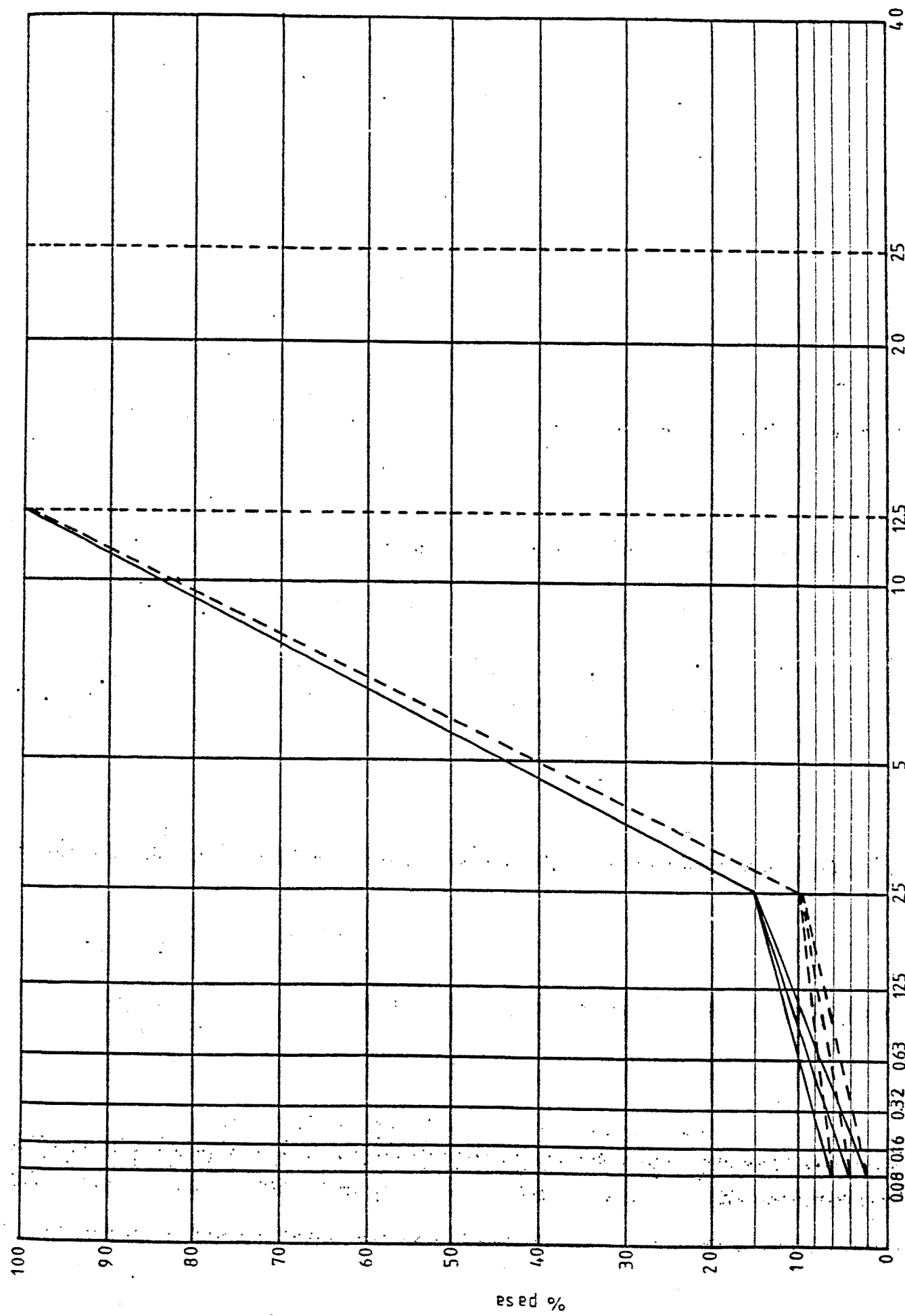


FIG. 4.8.- GRANULOMETRIAS ENSAYADAS. TAMAÑO MAXIMO 10 mm.

ARIDO GRUESO

CARACTERISTICA	NORMA NLT	VALOR
DESGASTE DE LOS ANGELES (%)	149/72 ..	11
COEFICIENTE DE FRIALIDAD (%)	351/74 ..	10,5
COEFICIENTE DE PULIMENTO	174/72 ..	11,49
ADHESIVIDAD (%)	166/..	99
PESO ESPECIFICO (g/cm ³)	153/76 ..	2,935
ABSORCION DE AGUA (%)	153/76 ..	0,5
INDICE DE LAJAS (%)	156/74 ..	30
INDICE DE AGUJAS (%)	356/74 ..	--

* Valor a determinar

ARIDO FINO

CARACTERISTICA	NORMA NLT	VALOR
ADHESIVIDAD RIEDEL-WEBER	355/74 ..	--
PESO ESPECIFICO (g/cm ³)	154/76 ..	2,920
ABSORCION DE AGUA (%)	154/76 ..	2,05
EQUIVALENTE DE ARENA (%)	113/72 ..	--

BETUN ASFALTICO

CARACTERISTICA	NORMA DE ENSAYO NLT	VALOR
PENETRACION (a 25°C, 100 g y 5 s) (0,1mm)	124/72 ..	6,8
P. REBLANDECIMIENTO (ANILLO Y BOLA) (°C)	125/72 ..	51,2
INDICE DE PENETRACION	101/72 ..	-0,1
DUCTILIDAD (a 25°C y 5 cm/min (cm)	124/72 ..	1mm
PERDIDA POR CALENTAMIENTO (%) (a 163°C y 5h)	120/77 ..	0,016
PENETRACION DEL RESIDUO (%)	124/72 ..	0,6
PUNTO DE FRAGILIDAD (°C) FRAASS	102/72 ..	-
DENSIDAD RELATIVA (a 25°C)	122/72 ..	1,015
CONTENIDO EN AGUA (%)	123/72 ..	0

- 250 -

TABLA 4.2.-CARACTERISTICAS DE LOS ARIDOS Y BETUN

T Tamaño máximo del árido 10; 12,5; 20 mm.

A Contenido de arena (pasa 2,5 UNE) 10; 15%.

Aparte de estas características iniciales, y una vez fabricadas las probetas, se miden otras características que pueden llegar a tener importancia y que también se han introducido en el sistema de causas: el porcentaje de huecos de la mezcla (H), determinado por procedimientos geométricos, y la altura de probeta (h).

3. APLICACION DEL MODELO. RESULTADOS OBTENIDOS

Los resultados obtenidos en la medida de la resistencia a la pérdida por desgaste de estas mezclas, así como las características de las probetas fabricadas (altura y porcentaje de huecos), aparecen en las tablas 4.3, 4.4 y 4.5

Para la aplicación del modelo, los contenidos de betún, filler, arena y porcentaje de huecos se han expresado en tanto por uno. El tamaño máximo está expresado en mm y la altura de probeta en cm. Asimismo, la pérdida por desgaste se expresa en tanto por uno.

AJUSTE PRELIMINAR

El primer ajuste se ha realizado a partir de los resultados obtenidos de la realización de 120 ensayos, siendo las variables independientes que han intervenido en el

P-20 (15,2)			
% BETUN	ALTURA (cm)	% HUECOS	% PERDIDA
3,5	5,84	20,6	-
3,5	5,81	20,3	50,4
3,5	5,79	20,3	56,0
4,5	5,83	18,4	49,4
4,5	5,79	18,3	50,3
4,5	5,80	18,7	52,4
5,5	5,74	15,4	41,9
5,5	5,75	16,0	47,9
5,5	5,77	16,1	32,4

P-20 (10,2)			
% BETUN	ALTURA (cm)	% HUECOS	% PERDIDA
3,5	6,03	22,5	84,5
3,5	5,85	21,1	59,3
3,5	5,87	21,3	68,3
4,5	5,87	19,8	50,5
4,5	5,92	20,1	43,0
4,5	5,93	20,3	58,9
5,5	5,88	17,8	42,3
5,5	5,93	18,1	35,0
5,5	5,84	17,2	49,9

P-20 (15,4)			
% BETUN	ALTURA (cm)	% HUECOS	% PERDIDA
3,5	5,74	20,0	55,1
3,5	5,69	18,6	51,3
4,5	5,60	15,8	20,3
4,5	5,60	15,6	26,8
5,5	5,63	14,6	19,9
5,5	5,62	13,4	19,6

P-20 (10,4)			
% BETUN	ALTURA (cm)	% HUECOS	% PERDIDA
3,5	5,89	22,8	51,2
3,5	5,83	21,3	37,1
4,5	5,88	20,0	37,7
4,5	5,77	18,6	30,1
5,5	5,76	16,5	24,3
5,5	5,92	18,1	37,3

P-20 (15,6)			
% BETUN	ALTURA (cm)	% HUECOS	% PERDIDA
3,5	5,72	19,4	44,7
3,5	5,63	17,6	32,1
4,5	5,66	17,2	22,3
4,5	5,64	16,4	23,0
5,5	5,60	13,6	18,6
5,5	5,60	13,8	16,3

P-20 (10,6)			
% BETUN	ALTURA (cm)	% HUECOS	% PERDIDA
3,5	5,83	20,8	34,5
3,5	5,81	20,0	28,4
4,5	5,77	19,0	25,1
4,5	5,83	19,3	35,2
5,5	5,71	16,1	26,0
5,5	5,77	17,2	27,9

TABLA 4.3.- CARACTERISTICAS DE LAS MEZCLAS ENSAYADAS CON UN TAMAÑO

P-12 (15,2)			
% BETUN	ALTURA (cm)	% HUECOS	% PERDIDA
3,5	5,85	21,3	53,8
3,5	5,81	20,5	53,4
4,5	5,75	18,3	34,4
4,5	5,80	18,6	30,5
5,5	5,79	16,9	28,8
5,5	5,71	16,1	30,4

P-12 (10,2)			
% BETUN	ALTURA (cm)	% HUECOS	% PERDIDA
3,5	5,91	22,4	51,9
3,5	5,75	19,7	61,1
4,5	5,78	19,5	45,5
4,5	5,77	18,4	37,5
5,5	5,89	16,6	30,3
5,5	5,74	16,3	31,1

P-12 (15,4)			
% BETUN	ALTURA (cm)	% HUECOS	% PERDIDA
3,5	5,66	19,6	40,7
3,5	5,62	18,1	38,5
4,5	5,65	16,5	26,8
4,5	5,54	14,4	19,0
5,5	5,51	12,6	17,0
5,5	5,55	13,3	15,9

P-12 (10,4)			
% BETUN	ALTURA (cm)	% HUECOS	% PERDIDA
3,5	5,84	22,0	43,4
3,5	5,79	20,9	43,2
3,5	5,84	21,0	42,1
4,5	5,84	19,8	28,8
4,5	5,90	19,6	30,3
4,5	5,79	18,8	28,7
5,5	5,76	16,9	29,8
5,5	5,79	16,8	25,0
5,5	5,76	17,5	31,3

P-12 (15,6)			
% BETUN	ALTURA (cm)	% HUECOS	% PERDIDA
3,5	5,62	17,8	27,2
3,5	5,58	17,1	19,6
3,5	5,57	16,8	26,1
4,5	5,56	15,4	17,1
4,5	5,51	14,2	13,7
4,5	5,61	16,0	21,7
5,5	5,50	12,5	12,0
5,5	5,44	11,7	10,3
5,5	5,54	12,5	16,1

P-12 (10,6)			
% BETUN	ALTURA (cm)	% HUECOS	% PERDIDA
3,5	5,77	21,1	43,1
3,5	5,87	21,6	36,0
3,5	5,81	20,6	32,2
4,5	5,68	17,8	29,2
4,5	5,73	17,8	26,4
5,5	5,70	16,3	26,6
5,5	5,67	15,8	25,9

TABLA 4.4- CARACTERISTICAS DE LAS MEZCLAS ENSAYADAS CON UN TAMAÑO MAXIMO DE 12,5 mm.

P-10 (15,2)			
% BETUN	ALTURA (cm)	% HUECOS	% PERDIDA
3,5	5,87	22,4	55,2
3,5	5,97	22,2	50,6
4,5	5,91	15,8	32,3
4,5	5,93	20,8	36,2
5,5	5,90	18,2	25,3
5,5	5,87	18,2	31,3

P-10(10,2)			
% BETUN	ALTURA (cm)	% HUECOS	% PERDIDA
3,5	6,12	24,3	61,4
3,5	6,10	23,8	55,2
4,5	6,07	21,9	35,1
4,5	6,04	21,4	37,6
5,5	6,11	20,8	30,8
5,5	6,10	21,1	37,7

P-10 (15,4)			
% BETUN	ALTURA (cm)	% HUECOS	% PERDIDA
3,5	5,78	20,5	37,9
3,5	5,76	20,1	41,6
4,5	5,76	17,6	30,3
4,5	5,74	17,6	22,0
5,5	5,74	16,0	18,9
5,5	5,75	16,0	19,2

P-10 (10,4)			
% BETUN	ALTURA (cm)	% HUECOS	% PERDIDA
3,5	5,05	23,4	47,8
3,5	6,07	23,6	44,6
4,5	6,02	21,5	31,3
4,5	6,04	21,8	34,9
5,5	6,05	20,0	26,8
5,5	5,97	19,3	21,6

P-10 (15,6)			
% BETUN	ALTURA (cm)	% HUECOS	% PERDIDA
3,5	5,68	18,7	33,9
3,5	5,69	18,9	20,8
4,5	5,65	17,5	25,9
4,5	5,67	16,9	18,3
5,5	5,61	13,9	14,0
5,5	5,64	13,9	15,1

P-10 (10,6)			
% BETUN	ALTURA (cm)	% HUECOS	% PERDIDA
3,5	6,06	23,0	41,9
3,5	6,01	23,5	40,4
4,5	5,99	21,4	28,0
4,5	5,98	21,0	28,1
5,5	5,91	18,6	22,0
5,5	6,05	19,8	20,7

TABLA 4.5.- CARACTERISTICAS DE LAS MEZCLAS ENSAYADAS CON UN TAMAÑO MAXIMO DE 10 mm.

modelo las siguientes: porcentaje de filler, betún y arena, tamaño máximo del árido y altura de probeta.

Para comprobar la bondad del ajuste se ha procedido a la representación gráfica de cada una de las variables con sus residuos. También se ha procedido a la representación en papel probabilístico normal de los residuos. Todos estos gráficos junto con los parámetros estadísticos más representativos obtenidos al aplicar el modelo: residuos, coeficiente de regresión, correlaciones entre variables, etc, han sido recogidos en el Anejo de resultados.

De una observación de estos gráficos, en la figura 5 del Anejo, que representa la relación porcentaje de betún y su residuo, se aprecia la existencia de una curvatura, que nos indica la posibilidad de que intervenga un término de segundo grado en el porcentaje de betún.

1º AJUSTE

En la realización de este nuevo ajuste, se han introducido además del término betúnal cuadrado otras dos nuevas variables, contenido de huecos y relación filler/betún. Con estas nuevas variables se ha procedido a un nuevo procesamiento de los datos, observando una mejora del coeficiente de correlación.

Una observación de los coeficientes de correlación simple obtenidos en este segundo ajuste, nos indican que la altura de la probeta no tiene mucha influencia. Pero sólo podemos concluir que esta variable no tiene mucha importancia dentro del rango, muy reducido, en el que esta incluída.

También se observa que la relación filler/betún tie ne relativamente poca importancia.

En los ajustes siguientes se ha preferido separar los resultados obtenidos de probetas que contenían un tamaño máximo de 20 mm de los de 10 y 12,5 mm, ya que, se observaba que al aumentar el tamaño máximo aumentaba la disper sión, y se prefirio medir ésta cuando se aplicaba a mezclas de tamaño máximo 10 y 12,5 mm (100% del árido pasando por los tamices 12,5 UNE y 20 UNE, respectivamente), que son los dos tamaños habituales empleados para este ti po de mezclas. Pasándose de un estudio realizado sobre 120 probetas a uno sobre 80.

En los resultados obtenidos se ha observado una mejo ra muy sensible del coeficiente de correlación, lo cual puede explicarse debido a la mayor homogeneidad de las pro betas al ser la granulometría de menor tamaño máximo.

2º AJUSTE

El nuevo análisis se ha realizado sobre 8 variables: $(T, A, f, b, b^2, H, f/b, h)$. Sólo hemos considerados las tres soluciones que tenían un valor de C_p más pequeño, tabla 4.6.A. Eran las siguientes:

- a) $(T, A, f, b, b^2, H) \rightarrow C_p = 6.173$
- b) $(T, f, b, b^2, H, b) \rightarrow C_p = 6.021$
- c) $(T, f, b, b^2, H) \rightarrow C_p = 5.483$

Se observa que en ninguna de las tres soluciones que presentan un valor de C_p mas bajo aparecen los términos relación filler/betún y altura de probeta.

3º AJUSTE

A la vista de estos resultados, se procedio de nuevo a calcular el estadístico C_p , pero sin tener en cuenta la influencia de la altura de probeta, con lo que las variables consideradas son $(T, A, f, b, b^2, H, f/b)$.

Se recogen las tres relaciones de variables que tienen un valor de C_p más pequeño:

- d) $(T, f, b, b^2, H) \rightarrow C_p = 6.037$
- e) $(T, b, b^2, H, f/b) \rightarrow C_p = 6.849$

f) $(T, A, f, b, b^2, H) \rightarrow Cp = 6.988$

Correspondiendo a cada una de ellas, los siguientes coeficientes de correlación:

f) $r^2 = .8607$

d) $r^2 = .8591$

e) $r^2 = .8585$

4º AJUSTE

El paso siguiente fue analizar la influencia que tenía en el modelo la introducción de los dobles productos de las variables independientes que ya habíamos incluido en el modelo.

Asimismo, la observación de la representación gráfica de la relación residuos-filler hizo suponer que el término filler podía intervenir elevado al cuadrado (figura 49)

Aplicando el criterio de selección dado por el valor de C_p (Tabla 4.6B) se procedió a la selección de las siguientes combinaciones de variables:

$(A, f, b, b^2, H, H^2, f/b, Txb, Hxb)$

C ^{te}	T	A	f	b	H	f/b	h	C _p
1	0	0	1	1	1	1	0	6.02
1	0	1	1	1	1	1	0	6.39
1	1	1	1	1	1	0	1	7.94
1	0	0	1	1	1	1	1	7.88
1	0	1	1	1	1	1	1	8.19
1	1	1	1	1	1	1	0	7.19
1	0	1	1	1	1	0	0	5.48
1	1	0	1	1	1	1	0	7.17
1	0	1	1	1	1	0	1	7.24
1	1	1	1	1	1	0	0	6.17

A)

T	A	f	f ²	b	b ²	H	H ²	f/b	h	T*b	A*f	A*b	C _p
0	1	1	1	1	1	1	1	0	0	0	1	1	12.86
0	1	1	1	1	1	1	1	0	0	1	1	1	12.65
0	1	1	1	1	1	1	1	1	0	0	1	1	13.32
0	1	1	1	1	1	1	1	1	0	1	1	1	13.03
1	1	1	1	1	1	1	1	0	0	0	1	1	12.81
1	1	1	1	1	1	1	1	0	0	1	1	1	12.54
1	1	1	1	1	1	1	1	1	0	0	1	1	13.18
1	1	1	1	1	1	1	1	1	0	1	1	1	12.80

B)

TABLA 4.6.- VALOR QUE TOMA EL VALOR DE C_p EN DIVERSOS AJUSTES

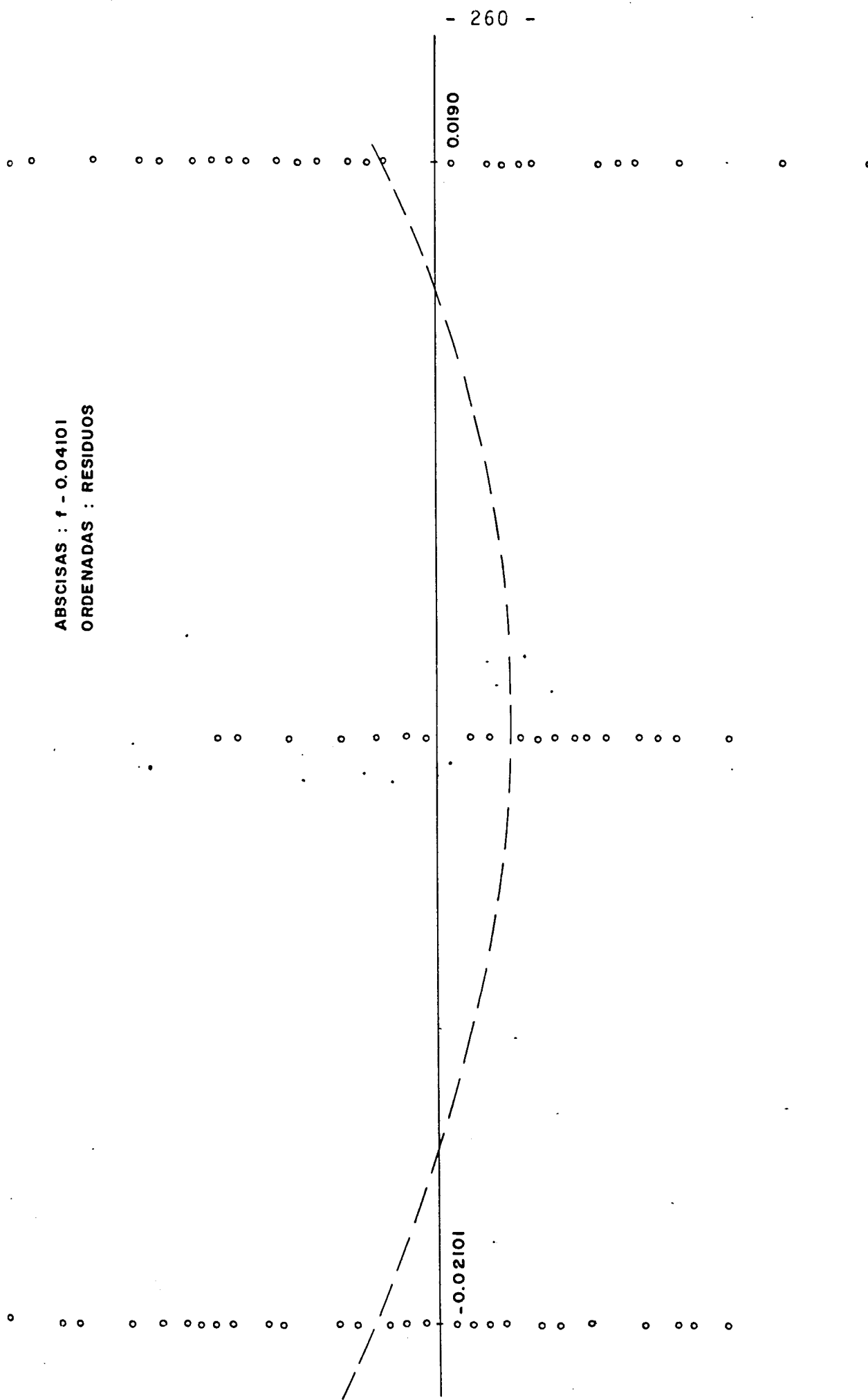


FIG. 4.9.-AJUSTE REPRESENTACION GRAFICA DE LA RELACION : FILLER-RESIDUO

$$(A, f^2, b, b^2, H, H^2, f/b, Txb, Mxb)$$
$$(A, f, f^2, b, b^2, H, H^2, f/b, Txb, Hxb)$$

De estas tres relaciones hemos obtenido unos coeficientes de determinación .9330, .9388 y .9457 respectivamente.

La observación de los valores, obtenidos al ajustar el modelo de regresión, indican que el coeficiente de correlación simple existente entre la respuesta y la relación filler/betún, 0.057, es muy pequeña, por lo que se prescinde definitivamente de esta variable.

SOLUCION 1

Realizando nuevos ajustes sobre las variables consideradas, llegamos a la siguiente ecuación:

$$\begin{aligned} \sqrt[3]{P} = & 0.5686 - 0.6253A - 7.8516f + 34.8954f^2 - 25.2028b + 215.7806b^2 + \\ & + 13.3603H - 0.04246T + b(0.9462T + 60.6228f - 68.6697H) - 25.8103H^2 \end{aligned}$$

Teniendo las variables los siguientes significados:

P Porcentaje de pérdida por desgaste, en tanto por uno.

A Porcentaje de finos (pasa 2,5 UNE), en tanto por uno.

f Porcentaje de filler (pasa 0.08 UNE), en tanto por uno.

b Porcentaje de betún sobre áridos, en tanto por uno.

T Tamaño máximo expresado en milímetros.

H Porcentaje de huecos, expresado en tanto por uno.

El coeficiente de determinación resulta ser $r^2 = 0.9591$,
y la varianza residual estimada para la variable $\sqrt[3]{P}$ es
 $s^2 = 4,26 \times 10^{-4}$.

En las figuras 7 a 17 del Anejo de cálculo, se representan las relaciones variables residuos de esta solución.

SOLUCION 2

Prescindiendo de la variable contenido de huecos en mezcla, no porque no tenga influencia, sino porque ésta es difícil de cuantificar, llegamos a la ecuación de correlación:

$$\begin{aligned} \sqrt[3]{P} = & 1.7208 - 32.4018b + 281.8661b^2 - 1.4803f + 30.6641f^2 + 1.6448a - \\ & - 35.2062ab - 30.174af - 0.0206t + 0.3899tb. \end{aligned}$$

En las figuras 18 a 27 del Anejo están representados los valores de los residuos con las diferentes variables correspondientes a esta segunda solución que muestran la normalidad de las variables consideradas y como estas cumplen las hipótesis del modelo.

Para esta ecuación el coeficiente de determinación obtenido es $r^2 = 0.935$, y la varianza residual estimada para la variable $\sqrt[3]{p}$ es $s^2 = 5,43 \cdot 10^{-4}$, siendo independiente de las características de las mezclas, dentro de los rangos experimentados. En las figuras 4.10, 4.11, 4.12 y 4.13 se representa conjuntamente la correlación teórica y la media de los valores experimentales.

4.4. CONTRASTE DE LA PRECISIÓN Y REPETITIVIDAD DEL ENSAYO MEDIANTE LA APLICACIÓN DEL TEST DE LA F DE SNEDECOR

Con objeto de contrastar la precisión del ensayo estimada mediante el empleo del análisis de regresión y comprobar mediante un nuevo análisis la repetitividad del ensayo, se ha aplicado el test de la F de Snedecor a diferentes series de probetas fabricadas con el mismo tipo de mezcla.

Este test de la F de Snedecor nos permite apreciar si hay diferencias significativas entre las distintas series fabricadas, al mismo tiempo que nos permite estimar la varianza del proceso de medida.

Al aplicar el test de la F de Snedecor establecemos una región de rechazo para hipótesis de igualdad de medias de las diferentes series. La relación que nos permite determinar esta región está dada por:

$$S_B^2 / S^2 > F(k-1, n-k, \alpha)$$

- 264 -

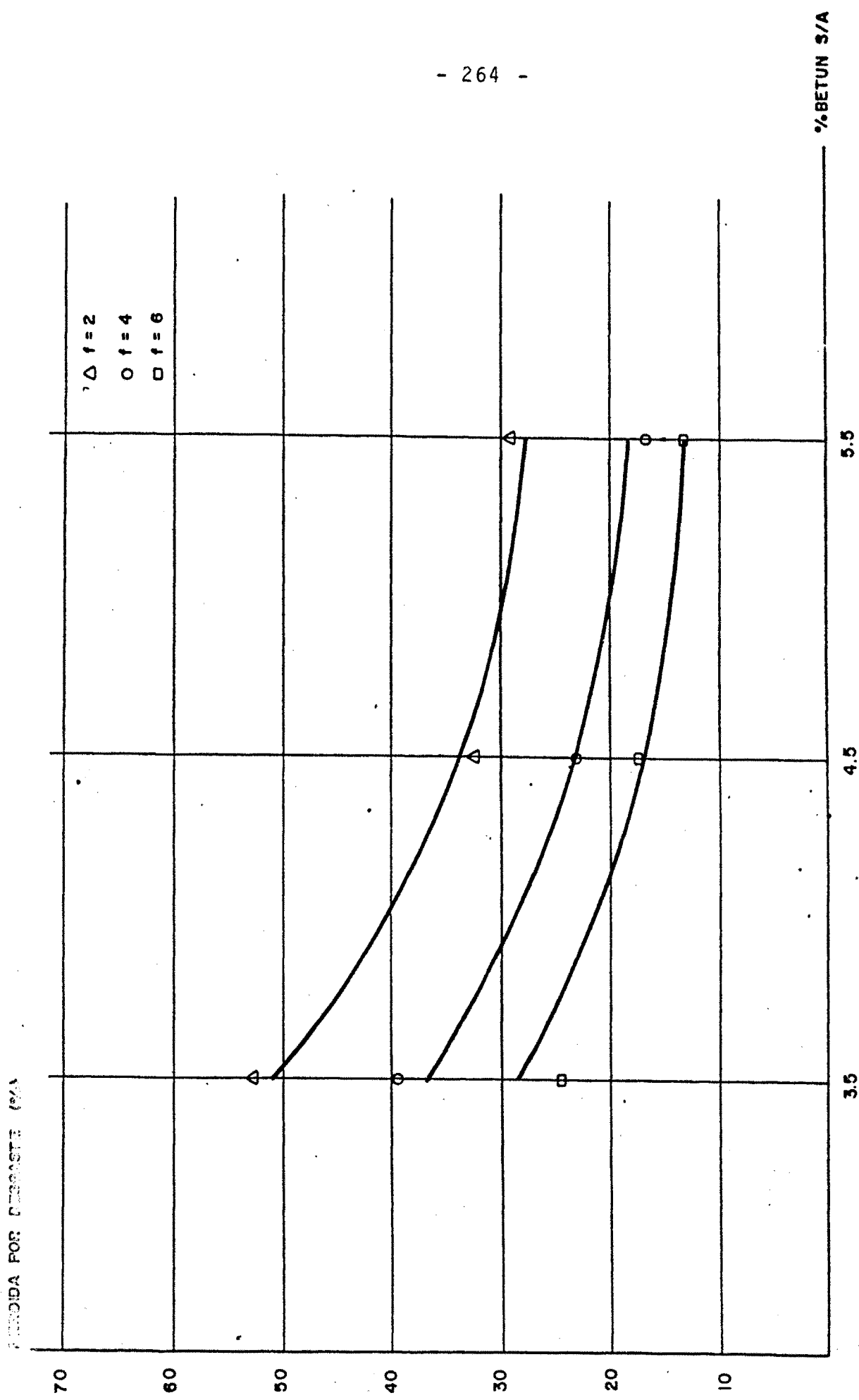


FIG. 4.10. - REPRESENTACION DE LOS VALORES EXPERIMENTALES Y CORRELACION OBTENIDA.
MEZCLA P-12 (15, x)

- 265 -

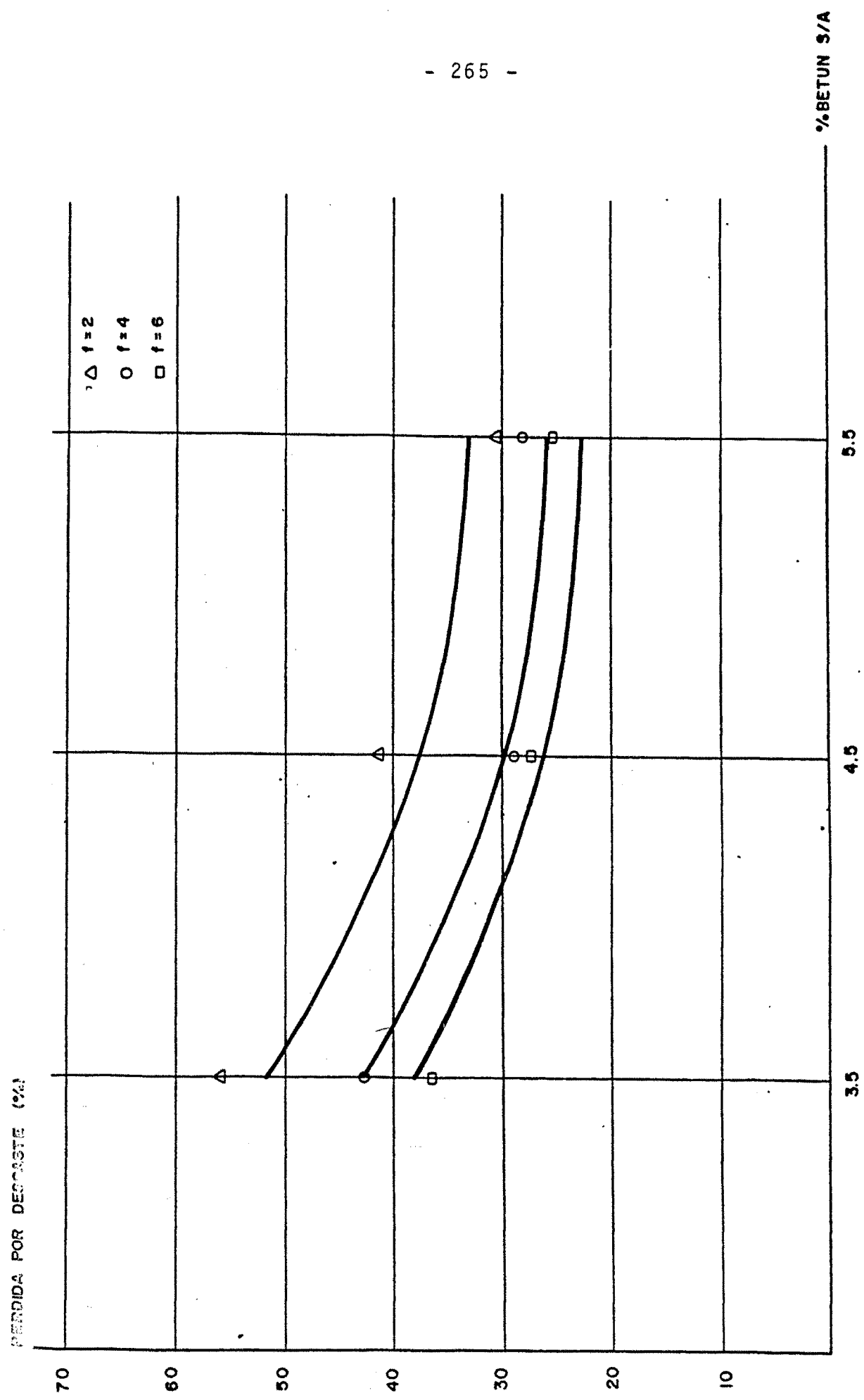


FIG. 4.II. - REPRESENTACION DE LOS VALORES EXPERIMENTALES Y CORRELACION OBTENIDA.
MEZCLA P-I2(10, X)

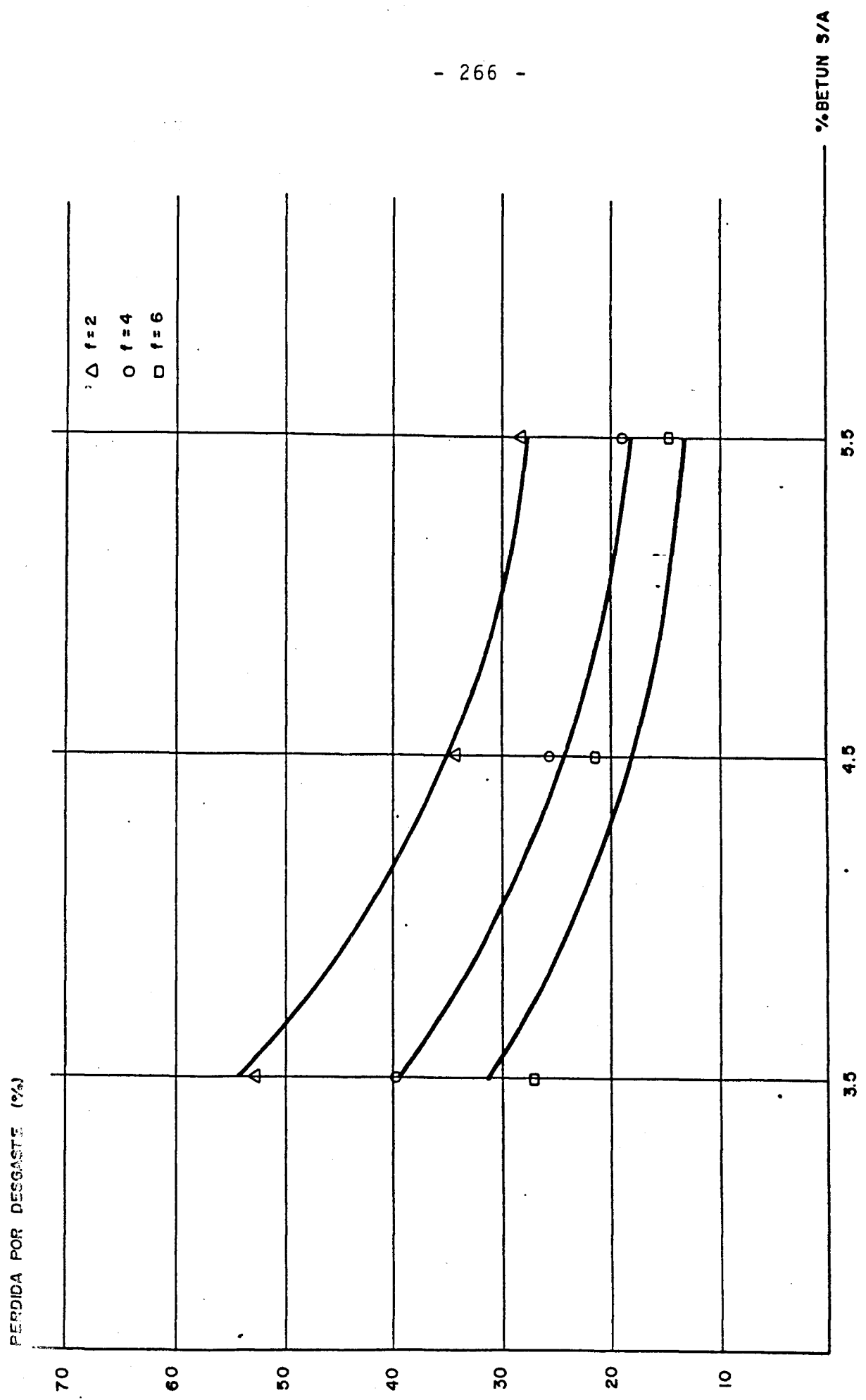


FIG. 4.12. - REPRESENTACION DE LOS VALORES EXPERIMENTALES Y CORRELACION OBTENIDA.
MEZCLA P-10 (15, X)

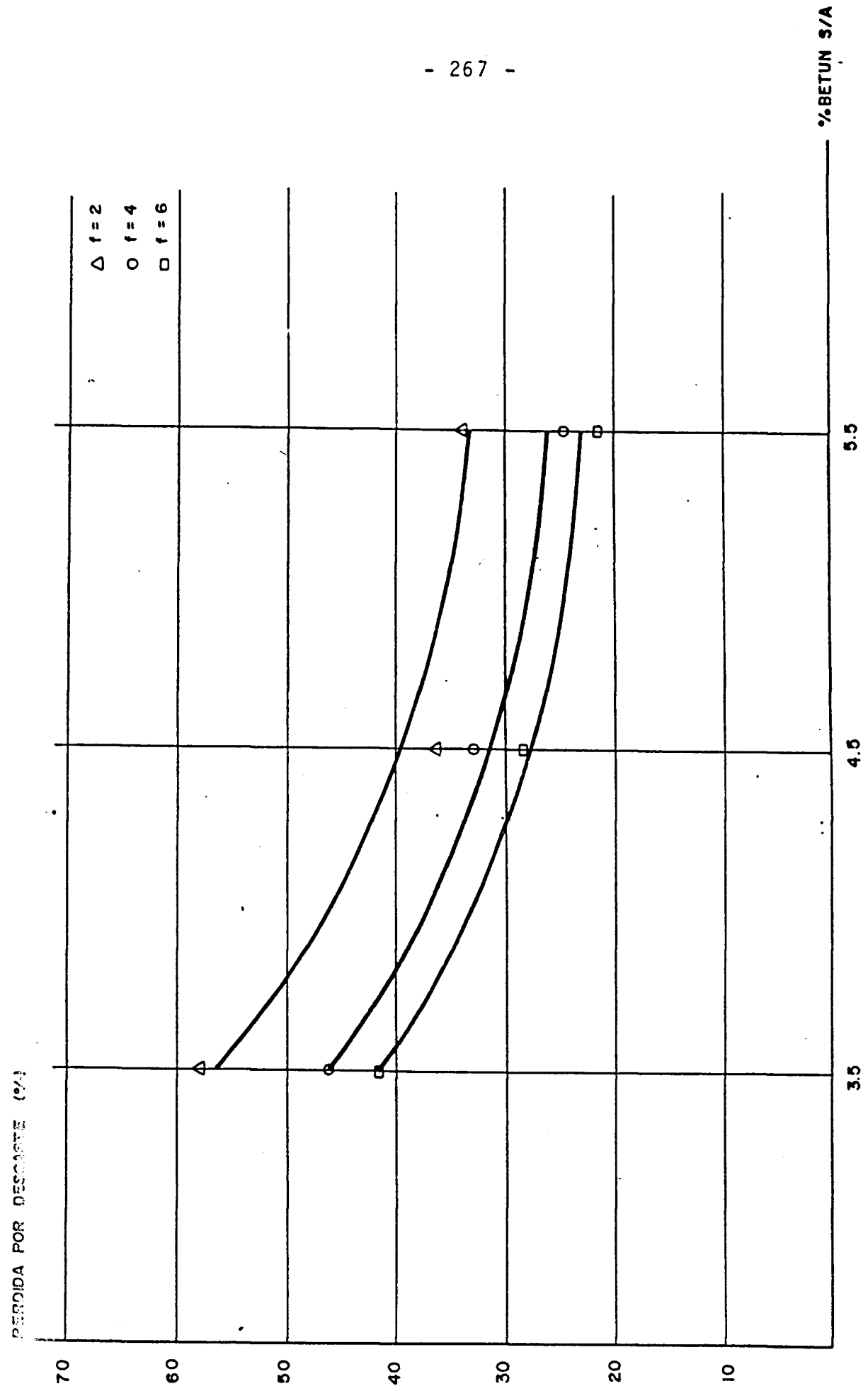


FIG. 4.13. - REPRESENTACION DE LOS VALORES EXPERIMENTALES Y CORRELACION OBTENIDA.
MEZCLA P-10 (10, x)

donde $F(k-1, n-k, \alpha)$ es el percentil $100(1-\alpha)$ de la distribución F de Snedecor con $k-1$ y $n-k$ grados de libertad, siendo:

$$S_R^2 = \sum_{i=1}^k \sum_{j=1}^{n_i} (x_{ij} - \bar{x})^2$$

$$S^2 = \frac{S_R^2}{n-k}$$

$$S_B^2 = \frac{\sum_{i=1}^k n_i (\bar{x}_i - \bar{x})^2}{k-1}$$

k = número de series.

n_i = número de probetas de la serie i .

$n = \sum_{i=1}^k n_i$ = número total de probetas.

x_{ij} = valor de la probeta j de la serie i .

\bar{x}_i = valor medio de las probetas de la serie i .

\bar{x} = valor medio de todas las probetas.

Aplicar el test de la F de Snedecor para el contraste de igualdad de medias y obtener como resultado que no se puede admitir esta hipótesis, significaría que no podemos emplear el ensayo en el proceso de medida por su falta de repetitividad. Esto podría ser debido al proceso de fabricación, es decir, que aunque empleasemos la misma mezcla, no conseguimos las mismas probetas; podría ser debido a que el desgaste se produjese más en una serie que en otra, dependiendo de su acabado, etc. Todo haría que descartásemos un ensayo que pretende medir la propiedad de

una mezcla y nos proporcionase cada vez un resultado diferente.

Por lo tanto, aplicar el test de la F de Snedecor para comprobar la repetitividad del ensayo tiene su valor. Pero este test sólo nos permite obtener la precisión del ensayo para la mezcla ensayada, mientras que el de regresión nos ha permitido obtener este valor para un mayor rango de amplitud.

El test de la F de Snedecor fué aplicado a dos tipos de mezclas diferentes P-10(15,4) y P-10(10,4), de las que se fabricaron seis series de cinco probetas para cada una de ellas.

Los resultados obtenidos en el ensayo de estas mezclas aparecen en las tablas 4.7 y 4.8 donde se recogen para cada serie su media y varianza muestral.

El análisis de los resultados al aplicar la F de Snedecor nos indica que, con un nivel de significación del 95%, podemos afirmar que no hay diferencia significativa entre los valores medios obtenidos con cada tipo de mezcla.

Por otra parte, la varianza estimada mediante este procedimiento es similar a la estimada por el de análisis de regresión lineal múltiple.

$$s^2 = 6,98 \times 10^{-4} \text{ para la mezcla P-10(15,4)}$$

TABLA 4,7 TEST F DE SNEDCOR PARA CONTRATE DE MEDIAS
GRANULOMETRIA $\bar{X}_1 = 32,4$ $S_1 = 6,869$
 $\bar{X}_2 = 27,4$ $S_2 = 6,604$

Nº SERIE (i)	1	2	3	4	5	6	7	8	9	
PORCENTAJE PERDIDAS	$P_j \sqrt[3]{\frac{P_i}{100}} (\%)$	$P_j \sqrt[3]{\frac{P_i}{100}} (\%)$	$P_j \sqrt[3]{\frac{P_i}{100}} (\%)$	$P_j \sqrt[3]{\frac{P_i}{100}} (\%)$	$P_j \sqrt[3]{\frac{P_i}{100}} (\%)$					
EN LA SERIE PROBLETA	1 35,3 .7067 34,5 .7014 26,8 .6447 37,7 .7224 32,8 .6896 26,6 .6431	2 36,5 .7147 36,9 .7173 33,6 .6952 36,2 .7127 34,8 .7034 31,4 .6797	3 28,1 .6550 32,1 .6847 35,0 .7047 39,6 .7343 36,4 .7140 30,6 .6739	4 28,4 .6573 28,5 .6581 33,4 .6938 27,9 .6534 32,9 .6903 36,3 .7133	5 27,4 .6519 31,7 .6818 29,0 .6619 29,9 .6687 37,0 .7179 28,8 .6604	$\bar{X}_1^* = 32,4$				
\bar{X}_i	31,0 .6771 32,7 .6886 31,5 .6801 34,1 .6983 34,8 .7031 30,6 .6741	.02759 .01988 .02283 .03155 .01168 .02332								
S_i										

$$S_R = \frac{1}{i} \sum_{j=1}^i (X_{ij} - \bar{X}_i)^2 = 5 \sum_{i=1}^6 S_i^2 = 1,677 \cdot 10^{-2}$$

$$S_B^2 = \frac{\sum_{i=1}^6 S_i^2}{6-1} = 7,0090 \cdot 10^{-4}$$

$$\bar{X} = .6869$$

$$S_B^2/S^2 = 1,003 < F(5, 24, 0.05) = 2,62$$

$$*NOTA \quad \bar{X}_1^* = 100 \cdot \left[\frac{\sum_{j=1}^5 \sqrt[3]{P_j/100}}{5} \right]^3$$

**TABLA 4.8- TEST F DE SNEDECOR PARA CONTRASTE DE MEDIAS
GRANULOMETRIA P-10(15,4) B-60/70 $\alpha_b = 4,5$**

$$S_R = \sum_{i=1}^6 \sum_{j=1}^5 (X_{ij} - \bar{X}_i)^2 = 5 \sum_{i=1}^6 S_i^2 = 1.662 \cdot 10^{-2} \quad S^2 = \frac{S_R}{30-6} = 6,927 \cdot 10^{-4}$$

$$S_B^2 = \frac{\sum_{i=1}^6 5(\bar{X}_i - \bar{X})^2}{6-1} = 1,434 \cdot 10^{-3}$$

$$* \text{NOTA } \bar{X}_1^* = 100$$

$$\frac{5}{\left[\sum \frac{\sqrt[3]{P_j / 100}}{5} \right]^3}$$

$$* \text{NOTA } \bar{x}_1^* = 100$$

- 272 -

$s^2 = 6,92 \times 10^{-4}$ para la mezcla P-10(10,4)

$s^2 = 5,43 \times 10^{-4}$ determinado en el análisis de regresión.

CAPITULO 5

INFLUENCIA DE LA TEMPERATURA EN
LA PERDIDA POR DESGASTE

5.1. INFLUENCIA DE LA TEMPERATURA EN LA PERDIDA POR DESGASTE

Una vez comprobada la idoneidad de este ensayo en la caracterización de mezclas de granulometría abierta, se procedió al estudio de la influencia de la temperatura, con el fin de poder realizar el ensayo a temperaturas diferentes a las empleadas en laboratorio, comprendidos entre 15 y 18°C.

En los estudios preliminares que habían sido realizados para el desarrollo del ensayo, el efecto de la temperatura solo había sido comprobada con una granulometria. Ahora se quisó también valorar en qué grado su efecto dependía de la composición de la mezcla y el porcentaje de ligante empleado.

Para ello, se estableció un plan de ensayos que tenía en cuenta todas estas variables, fijándose los contenidos de betún árido fino y variaciones de la temperatura de manera que se redujesen al mínimo la influencia de unos factores con los otros. De acuerdo con el modelo de regresión lineal empleado, tablas 5.1 y 5.2., estos valores son:

- Porcentajes de ligante: 3,5-3,90-4,5-5,10-5,5 s/a.
- Porcentaje de arido fino: 5-7-10-13-15.
- Temperatura de ensayo: 12-15,2-20-24,8-28.

El plan de ensayos está diseñado para conseguir con un mínimo número de probetas estimaciones estadísticamente independientes de la influencia de cada variable (causa) en la respuesta (porcentaje de desgaste), así como estimaciones de ésta con varianza aproximadamente constante en todo el rango de -

	t°C	% A	% b
M	28	15	5,5
m	12	5	3,5
$x_1 = m$	12	5	3,5
$x_2 = 0,797 m + 2,03 M$	15,2	7	3,9
$x_3 = 0,5 m + 0,5 M$	20	10	4,5
$x_5 = 0,203 m + 0,797 M$	24,8	'13'	5,1
$x_5 = M$	28	15	5,5

TABLA 5.1. MODELO DE REGRESIÓN LINEAL MULTIPLE. DISEÑO DE EXPERIMENTO:
DETERMINACIÓN DE LOS VALORES DE LAS VARIABLES.

variación de aquéllas que tenga interés en la práctica. En la tabla 5.2 se recogen las mezclas y número de probetas ensayados para cada temperatura. Todas las mezclas fueron fabricadas con un porcentaje de filler del 4% y un tamaño máximo del arido de 10 mm. En la tabla 5.3 y figura 5.1 se recogen las granulometrías de las mezclas ensayadas.

El modelo de regresión lineal empleado es el mismo de la precisión y exactitud del ensayo, cuyas principales características se han comentado en el apartado 4.2.2.

La temperatura de la cámara de ensayo donde se encuentra instalada la máquina de Los Angeles se ha controlado mediante un termostato con capacidad de regulación de 0.2°C. Siendo la temperatura de ensayo $\pm 0.5^\circ\text{C}$ la temperatura fijada. Asimismo, antes de ensayar una probeta, esta se mantiene a la temperatura de ensayo al menos durante 6 horas.

Al igual que los ensayos anteriores los aridos eran ofíticos y el ligante un betún de penetración B-60/70. Las características de estos materiales fueron recogidas en el capítulo anterior.

En la tabla 5.4 se recogen los resultados obtenidos en el ensayo de cada una de estas mezclas, así como su porcentaje de huecos.

LIGANTE %		3,5	3,9	4,5	5,1	5,5
% LIGANTE						
12°C	5					
	7					
	10			1		
	13					
	15					
15,2°C	5					
	7		1		1	
	10					
	13		1		1	
	15					
20	5			1		
	7					
	10	1		6		1
	13					
	15			1		
24,8°C	5					
	7		1		1	
	10					
	13		1		1	
	15					
28°C	5					
	7					
	10			1		
	13					
	15					

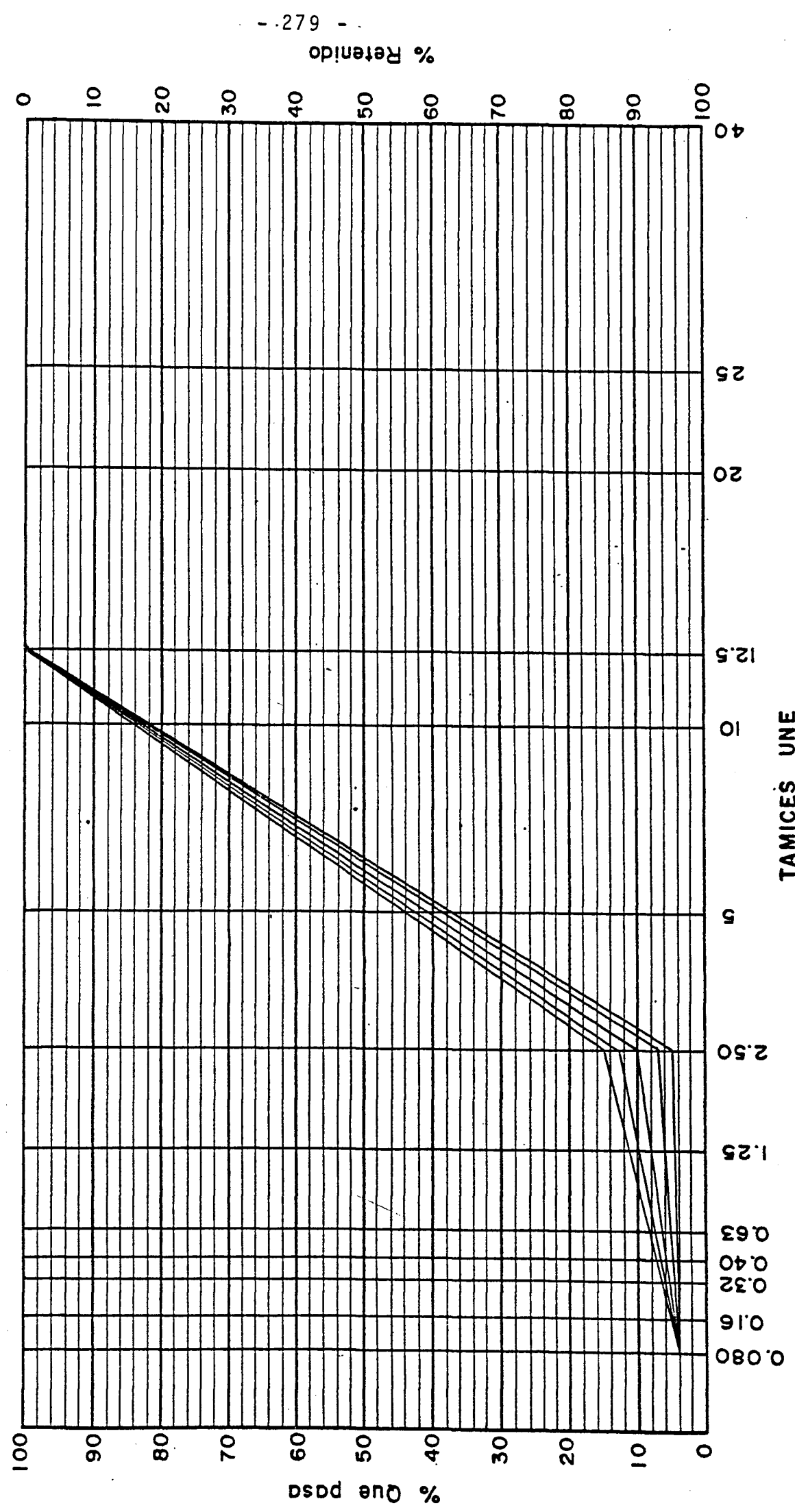
TABLA 5.2. MODELO DE REGRESION LINEAL MULTIPLE. DISEÑO DE EXPERIMENTO. CASO DE TRES VARIABLES.

tamiz UNE	GRANULOMETRIAS				
	P.10(15,4)	P.10(13,4)	P.10(10,4)	P.10(7,4)	P.10(5,4)
20	100	100	100	100	100
12,5	100	100	100	100	100
10	84	84	83	83	82
5	44	43	41	39	38
2,5	15	13	10	7	5
0,63	9	8	7	5	4
0,032	7	6	5	5	4
0,016	5	5	5	4	4
0,08	4	4	4	4	4

TABLA 5.3. GRANULOMETRIAS DE LAS MEZCLAS ENSAYADAS PARA EL ESTUDIO DE LA INFLUENCIA DE LA TEMPERATURA.

ANALISIS GRANULOMETRICO (ABERTURA TAMIZ 0.45)

FIGURA 5.1. GRANULOMETRIA DE LAS MEZCLAS ENSAYADAS.



Aunque el estudio se podía haber realizado solo con una serie de 20 probetas, se decidió repetir la serie, e incluir en el estudio otras dos series recogidas en las tablas 5.6 y 5.7, que no se corresponden exactamente con el diseño del experimento, pero que pueden contribuir también a mejorar la correlación buscada.

5.1.1. VALORACION EXPERIMENTAL DEL EFECTO DE LA TEMPERATURA
ANALISIS DE RESULTADOS

El análisis de los resultados obtenidos se ha realizado aplicando el modelo de regresión a las tres variables consideradas, sus cuadrados y sus dobles productos ($b, A, t, b^2, A^2, t^2, b*A, t*t, A*t$), siendo:

b = porcentaje de ligante en %

A = porcentaje de finos en %

t = temperatura en grados centígrados.

Como variable dependiente del modelo se ha seguido tomando igual que en el caso anterior $\sqrt[3]{P}$, siendo P el valor de la perdida por desgaste expresada en tanto por uno.

Este ajuste nos indica que las variables b , A y t con unos coeficientes de correlación simple respectivamente de

MEZCLA	% BETUN s/a	TEMPERA- TURA	HUECOS	% PERDIDA DE PESO
P-10(5,4)	4,5	20	25,6	48,8
P-10(7,4)	3,91	15,2	26,0	51,3
P-10(7,4)	3,91	24,8	25,1	39,1
P-10(7,4)	5,09	15,2	23,1	33,8
P-10(7,4)	5,09	24,8	23,6	24,3
P-10(10,4)	3,5	20	26,0	50,7
P-10(10,4)	5,5	20	24,1	20,4
P-10(10,4)	4,5	12	23,3	52,9
P-10(10,4)	4,5	28	22,9	15,5
P-10(10,4)	4,5	20	23,0	33,3
P-10(10,4)	4,5	20	23,2	26,9
P-10(10,4)	4,5	20	23,5	27,7
P-10(10,4)	4,5	20	23,5	28,5
P-10(10,4)	4,5	20	23,1	31,4
P-10(10,4)	4,5	20	23,5	22,5
P-10(13,4)	3,91	15,2	23,9	40,9
P-10(13,4)	3,91	24,8	23,5	26,8
P-10(13,4)	5,09	15,2	21,1	26,9
P-10(13,4)	5,09	24,8	21,6	8,9
P-10(15,4)	4,5	20	20,9	19,7

TABLA 5.4. ESTUDIO DE LA TEMPERATURA. SERIE 1.

MEZCLA	%BETUN s/a	TEMPERA TURA CM	% HUECOS s/m	% PERDI DA PESO
P-10 (5,4)	4,5	20	25,4	50,1
P-10(7,4)	3,91	15,2	25,3	53,8
P-10(7,4)	3,91	24,8	26,3	34,3
P-10 (7,4)	5,09	15,2	23,4	45,0
P-10(7,4)	5,09	24,8	24,1	19,7
P-10(10,4)	3,5	20	24,6	51,7
P-10(10,4)	5,5	20	21,7	30,9
P-10(10,4)	4,5	12	24,1	35,1
P-10(10,4)	4,5	28	24,1	14,7
P-10(10,4)	4,5	20	23,2	30,3
P-10(10,4)	4,5	20	23,1	34,7
P-10(10,4)	4,5	20	23,4	22,2
P-10(10,4)	4,5	20	22,9	26,0
P-10(10,4)	4,5	20	22,6	25,8
P-10(10,4)	4,5	20	22,6	25,9
P-10(13,4)	3,91	15,2	23,2	42,5
P-10(13,4)	3,91	24,8	23,5	20,2
P-10(13,4)	5,09	15,2	20,5	21,1
P-10(13,4)	5,09	24,8	20,4	13,1
P-10 (15,4)	4,5	20	21,0	22,2

TABLA 5.5. ESTUDIO DE LA TEMPERATURA. SERIE 2.

MEZCLAS	% BETUN s/a	TEMPERA TURA	HUECOS	% PERDI DA PESO
P-10 (5,4)	3,5	12	24,8	80,9
P-10 (5,4)	3,5	28	24,6	54,3
P-10 (5,4)	5,5	12	21,3	48,9
P-10 (5,4)	5,5	28	21,4	26,2
P-10 (7,4)	4,5	20	21,7	38,4
P-10 (10,4)	3,91	20	21,7	44,8
P-10 (10,4)	4,5	15,2	20,2	37,4
P-10 (10,4)	4,5	20	20,8	37,4
P-10 (10,4)	4,5	20	21,1	31,9
P-10 (10,4)	4,5	20	20,5	31,8
P-10 (10,4)	4,5	20	20,4	25,6
P-10 (10,4)	4,5	20	20,0	29,7
P-10 (10,4)	4,5	20	20,9	31,8
P-10 (10,4)	4,5	24,8	21,3	31,9
P-10 (10,4)	5,09	20	20,0	28,1
P-10 (13,4)	4,5	20	19,4	25,8
P-10 (15,4)	3,5	12	21,5	49,5
P-10 (15,4)	3,5	28	20,1	25,4
P-10 (15,4)	5,5	12	16,7	25,1
P-10 (15,4)	5,5	28	17,8	12,7

TABLA 5.6. ESTUDIO DE LA TEMPERATURA, SERIE 3.

MEZCLA	% BETUN s/a	TEMPERA TURA	% HUECOS s/m	% PERDI DA PESO
P-10(5,4)	3,5	12	27,4	81,3
P-10(5,4)	3,5	28	27,8	58,2
P-10(5,4)	5,5	12	24,5	52,0
P-10(5,4)	5,5	28	23,9	14,7
P-10(7,4)	4,5	20	24,9	49,6
P-10(10,4)	3,91	20	25,8	43,7
P-10(10,4)	4,5	15,2	23,2	41,9
P-10(10,4)	4,5	20	24,0	30,7
P-10(10,4)	4,5	20	22,7	36,5
P-10(10,4)	4,5	20	23,5	39,0
P-10(10,4)	4,5	20	23,6	34,8
P-10(10,4)	4,5	20	23,5	36,0
P-10(10,4)	4,5	20	23,6	27,3
P-10(10,4)	4,5	24,8	23,5	24,3
P-10(10,4)	5,09	20	22,0	24,6
P-10(13,4)	4,5	20	21,4	26,8
P-10(15,4)	3,5	12	21,9	42,7
P-10(15,4)	3,5	28	21,7	28,5
P-10(15,4)	5,5	12	18,1	26,7
P-10(15,4)	5,5	28	17,6	8,2

TABLA 5.7. ESTUDIO DE LA TEMPERATURA. SERIE 4.

0.456, 0.508 y 0.537, tienen bastante más influencia que los dobles productos b^*A y A^*t , cuyos coeficientes de correlación simple son de 0.023 y 0.002.

Asimismo, se ha realizado un test para contrastar la hipótesis de que el valor de cada coeficiente sea cero. Para ello se emplea la T de Studen con 70 grados de libertad, cuyas regiones de rechazo están dadas por:

T > 1.671: Existe el 90% de probabilidades de que el coeficiente no sea cero.

T > 2 : Existe el 95% de probabilidades de que el coeficiente no sea cero.

T > 2.66 : Existe el 99% de probabilidades de que el coeficiente no sea cero.

Es decir, tenemos más de un 99% de probabilidades de que los coeficientes de c^{te} , b, b^2, A, t cuyos valores de T son respectivamente 174;13;2;2;85;12.3;12.9;. no sean cero. Los coficientes de t^2 y b^*t tiene mas del 95% de probabilidades de no ser cero, mientras que los coeficientes de A^2, b^*A y A^*t tien una probabilidad inferior al 90%.

A la misma conclusión se llega analizando el estadístico Cp del modelo. Con la combinación de variables (b, b^2, A, t, t^2, b^*t) se obtiene el mínimo valor de Cp, tabla 5.8. La correlación definitiva se estableció pues con esta combinación, habiéndose obtenido la siguiente expresión:

b	b^2	A	A^2	t	t^2	b_*A	b_*t	A_*t	C_p	P	VARIANZA	SSQ
1	1	1	1	1	1	1	0	0	8.002	9	0.0012052	0.08557
1	1	1	0	1	0	1	0	0	7.929	7	0.0012380	0.09037
1	1	1	0	1	1	1	0	0	7.550	8	0.0012148	0.08746
1	1	1	0	1	1	0	1	-1	7.844	8	0.0012198	0.08782
1	1	1	1	1	1	0	1	1	8.296	9	0.0012103	0.08593
1	1	1	0	1	0	0	0	0	6.225	6	0.0012261	0.09073
1	1	1	1	1	1	1	0	0	7.994	7	0.0012382	0.09039
1	1	1	1	0	1	0	0	1	5.846	7	0.0012031	0.08782
1	1	1	1	1	1	0	1	0	6.298	8	0.0011935	0.08593
1	1	1	0	1	0	0	1	1	8.224	7	0.0012429	0.09073

TABLA 5.8. VALORES DEL ESTADISTICO C_p .

$$\begin{aligned}\sqrt[3]{P} = & 2.0738 - 0.4637b + 0.0467b^2 - 0.0165A + 0.0117t - \\& - 0.000308t^2 - 0.0022tb\end{aligned}$$

En las figuras 28 a 33 del anexo están representados los valores de los residuos con las diferentes variables correspondientes a esta solución, que muestran la normalidad de las variables consideradas y como estas cumplen las hipótesis del modelo.

Para este ajuste el coeficiente de correlación es $r^2 = 0.8709$ y la varianza residual estimada para la variable $\sqrt[3]{P}$ es $s^2 = 1.203 \cdot 10^{-3}$.

En las figuras 5.2 a 5.6 se ha representado la variación de la perdida por desgaste con la temperatura a partir de la correlación obtenida. En ella se observa, en primer lugar, la mejora de la resistencia al desgaste al aumentar la temperatura. Esto ocurre con todas las granulometrías y porcentajes de ligante empleados. Según estos resultados una diferencia de 5 grados en la temperatura de ensayo puede suponer de 5 a 10 puntos en el valor de la pérdida por desgaste.

El efecto de la temperatura es tanto mayor cuanto menor sea el porcentaje de finos de la mezcla y mayor sea su porcentaje de betún, figuras 5.5 y 5.6.



FIG. 5.2 . - VARIACION DE LA PERDIDA POR DESGASTE CON EL CONTENIDO DE LIGANTE Y LA TEMPERATURA.
GRANULOMETRIA P-10 (15,4)

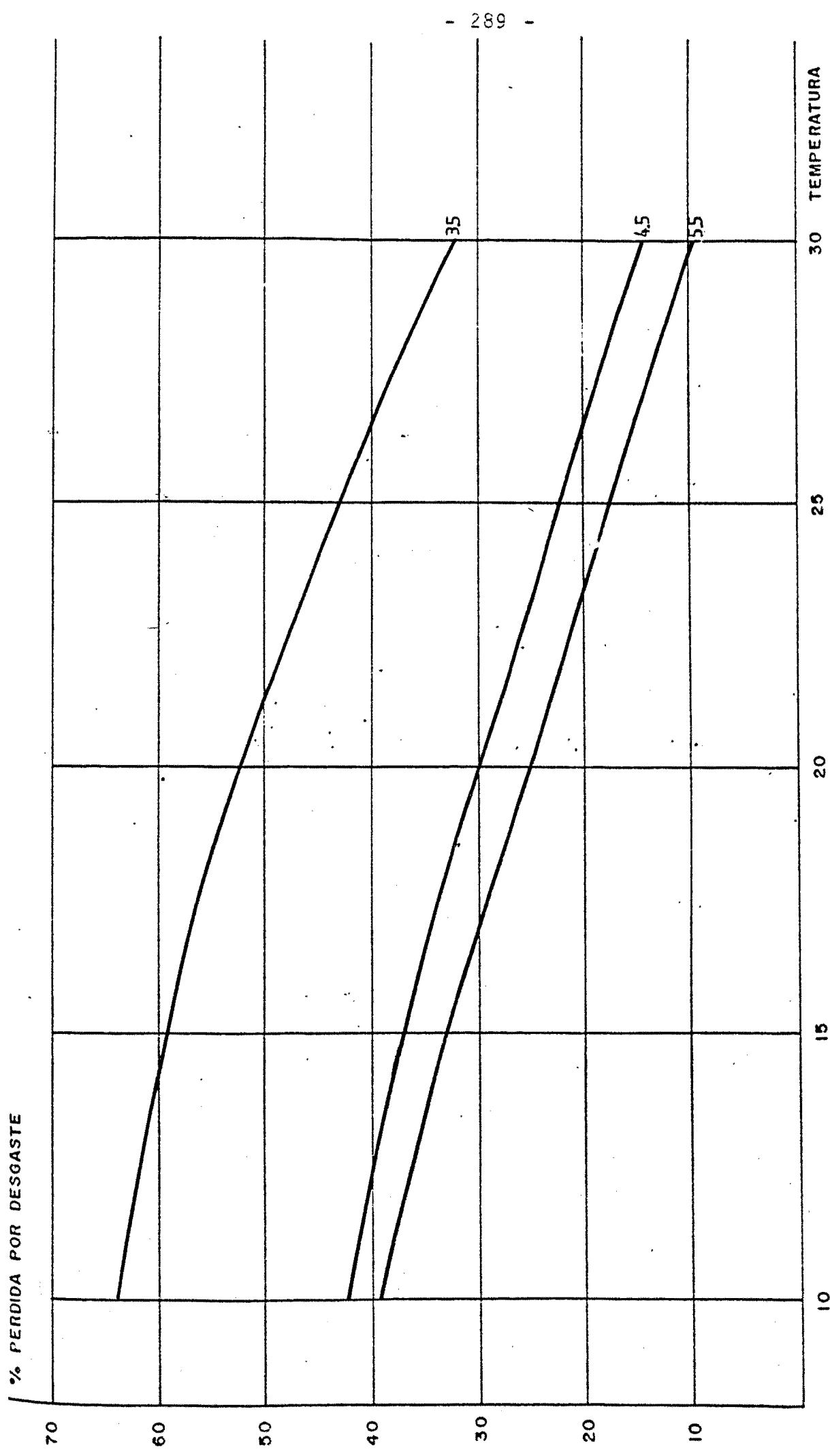
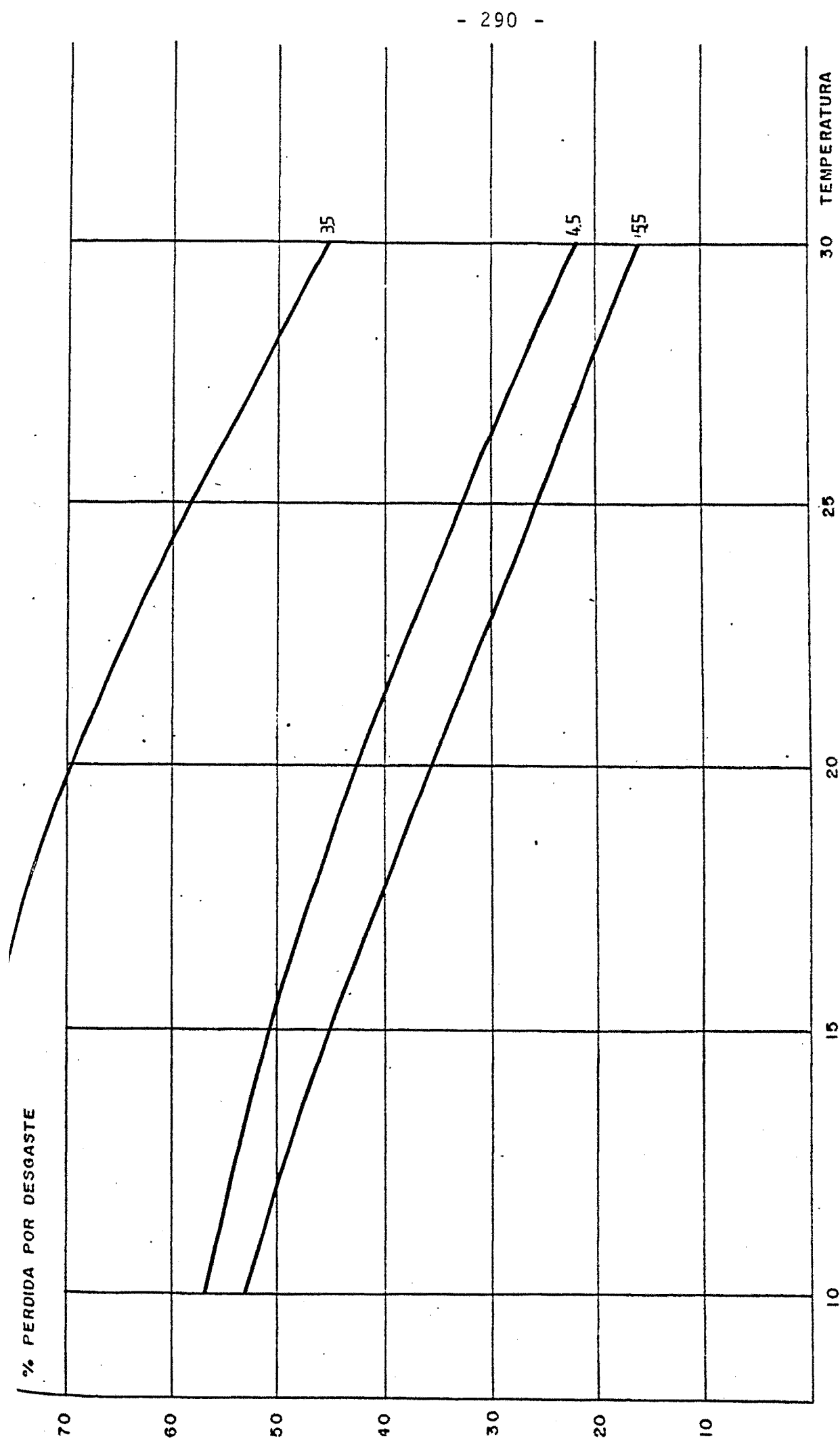


FIG. 5.3 .- VARIACION DE LA PERDIDA POR DESGASTE CON EL CONTENIDO DE LIGANTE Y LA TEMPERATURA.
GRANULOMETRIA P-10 (10, 4)

FIG. 5.4 . - VARIACION DE LA PERDIDA POR DESGASTE CON EL CONTENIDO DE LIGANTE Y LA TEMPERATURA.
GRANULOMETRIA P-R (5,4)



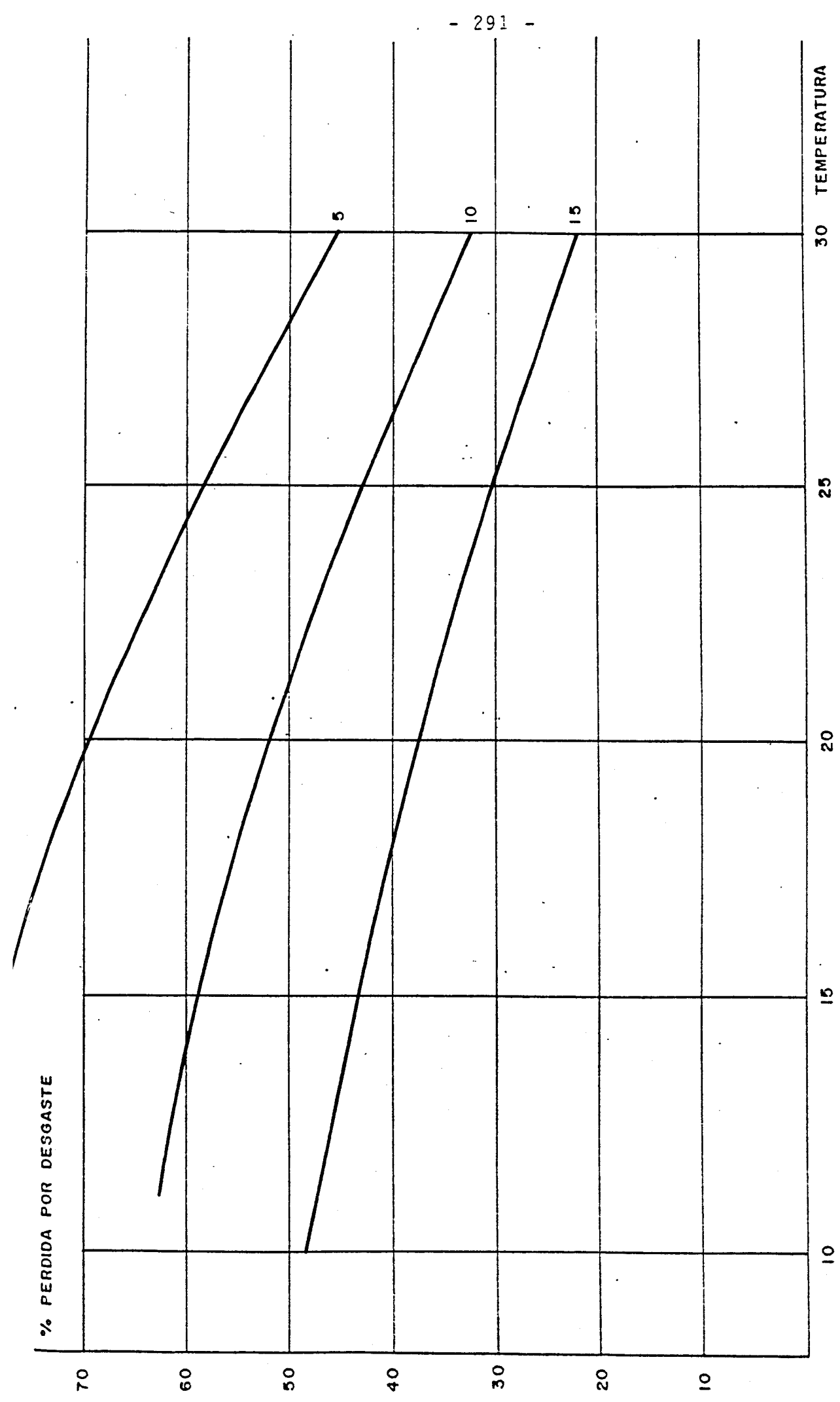


FIG. 5.5 .- VARIACION DE LA PERDIDA POR DESGASTE CON EL CONTENIDO DE FINOS Y LA TEMPERATURA.
GRANULOMETRIA P-10(x,4) 3,5% BETUN

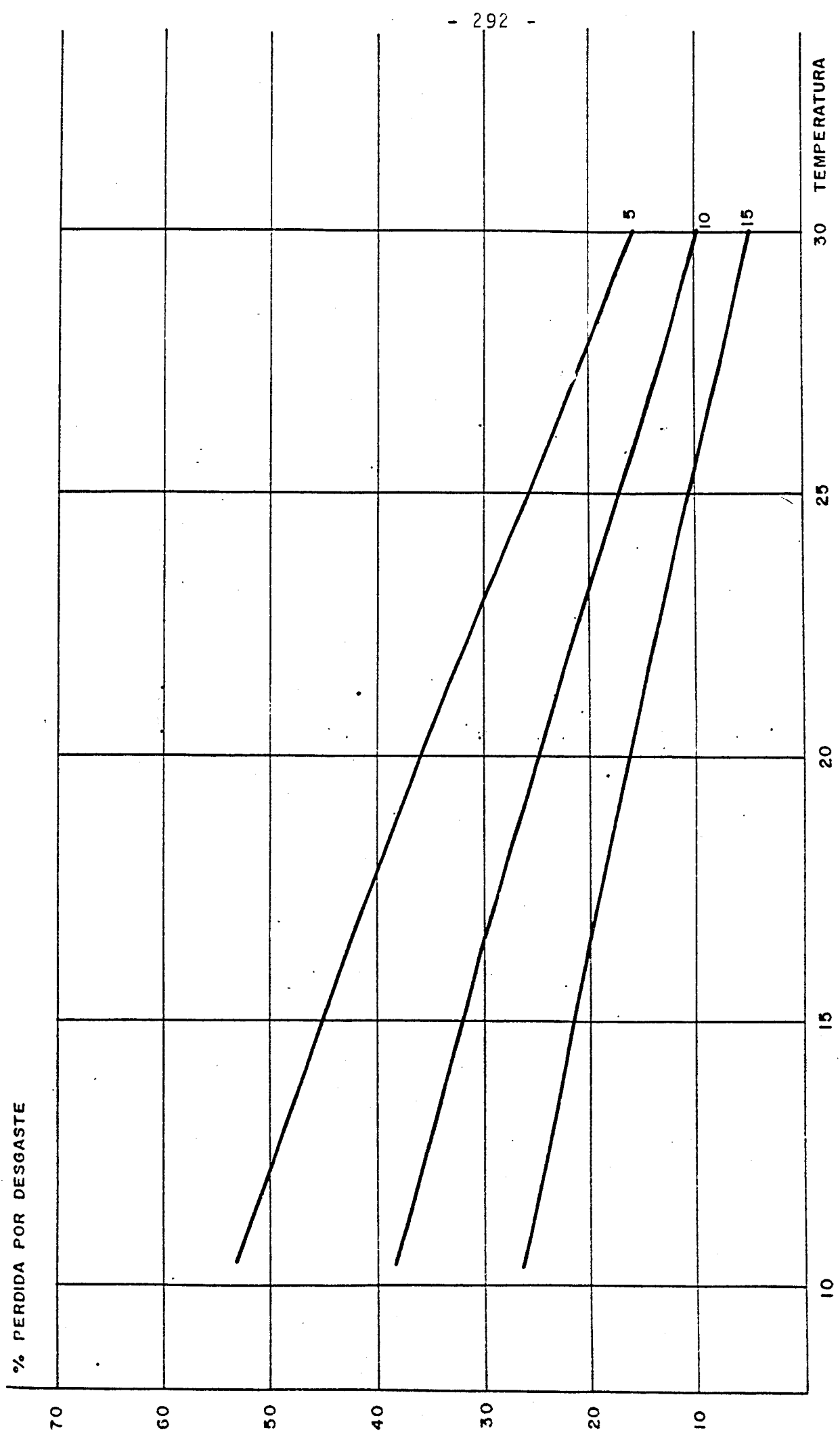


FIG. 5.6 .- VARIACION DE LA PERDIDA POR DESGASTE CON EL CONTENIDO DE FINOS Y LA TEMPERATURA.
GRANULOMETRIA P-10 (X, 4) 5,5 % BETUM

5.1.2. CORRECCION DE LA PERDIDA POR DESGASTE EN FUNCION DE LA TEMPERATURA

Dado el efecto que la temperatura tiene en los valores obtenidos en el ensayo de perdida por desgaste, el primer paso obligado fue fijar una temperatura de ensayo. Esta ha sido fijada en 18°C.

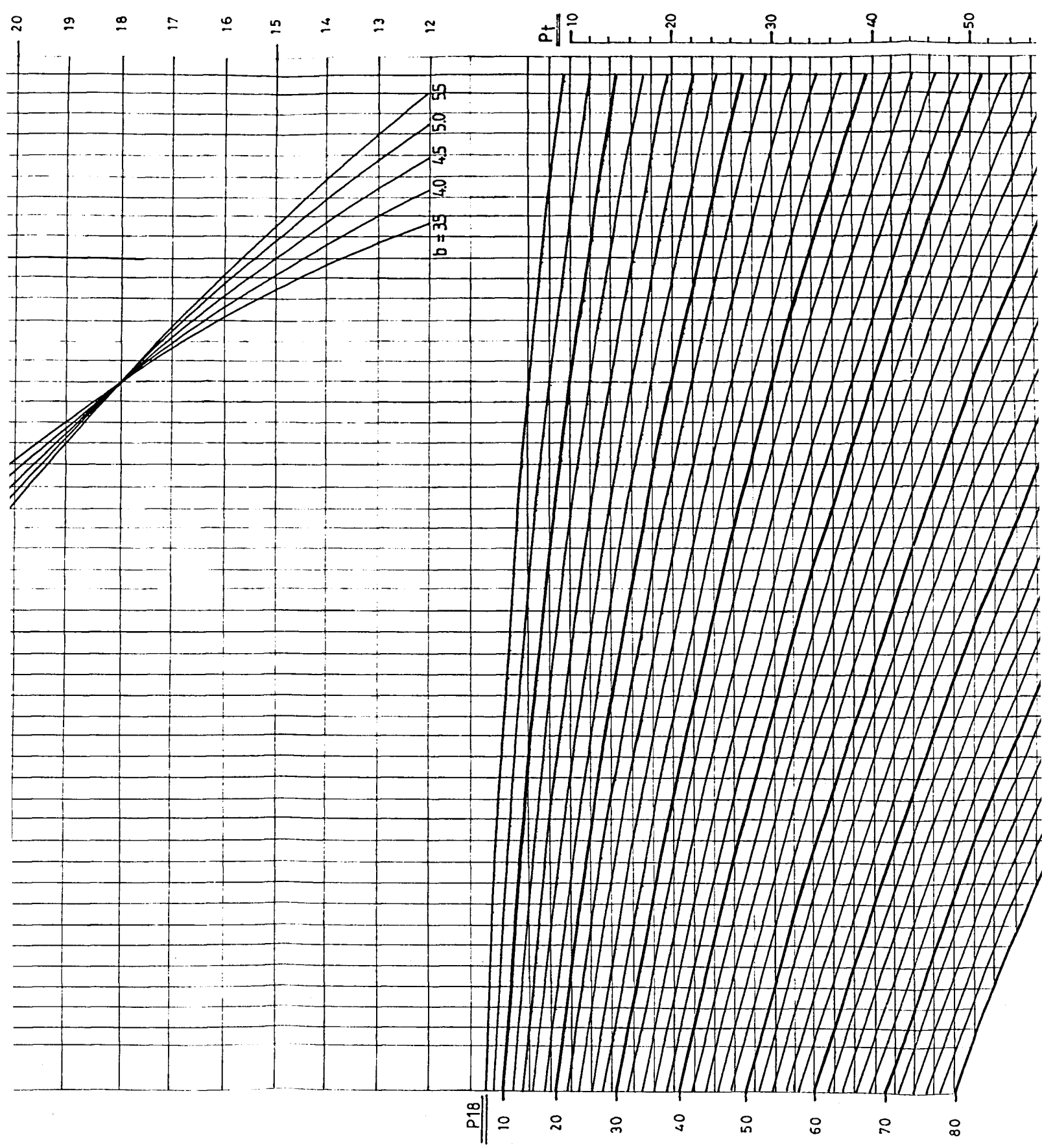
Los resultados obtenidos en el estudio anterior se han tomado de base para definir un factor de corrección por temperatura que permite referir a la temperatura de 18°C, ensayos realizados a otra temperatura.

A partir de la correlación anteriormente ajustada se ha obtenido la siguiente expresión entre la perdida por desgaste a la temperatura de 18°C, $\sqrt[3]{P}$, y la perdida a cualquier otra temperatura de ensayo, $\sqrt[3]{P_t}$.

$$\sqrt[3]{P} = \sqrt[3]{P_t} + (18-t)(0.0284-0.00143t-0.01054b)$$

En esta relación es importante hacer notar que no aparece el contenido de finos, por lo que el factor de corrección será independiente del tipo de granulometría, dentro del rango de granulometrias ensayadas (5% a 15% finos).

Para facilitar la operación de corrección del valor de la perdida por desgaste, se ha construido un abaco, figura 5.7,



de triple entrada. Para utilizar este abaco, se parte de los valores de la temperatura, contenido de ligante y valor de la perdida por desgaste a la temperatura de ensayo, y se obtiene como resultado el valor de la perdida por desgaste a 18°C.

En la figura 5.8 se indica cual es el procedimiento a seguir para que partiendo de unas perdidas de desgaste del 57% a 23°C, fabricadas con un 4% de ligante, obtengamos la perdida del 68%, que corresponde a la temperatura de 18°C.

5.2. INFLUENCIA DE LA PENETRACION DEL BETUN EN LA PERDIDA POR DESGASTE

Con objeto de contrastar los resultados obtenidos en el estudio de la influencia de la temperatura se ha procedido a ensayar mezclas fabricadas con la misma granulometría y betunes de distinta penetración.

Los estudios realizados sobre la influencia de la temperatura de ensayo sobre el valor obtenido para la perdida por desgaste pone en evidencia que un aumento a la penetración del betún empleado supone un aumento en la resistencia a la disgregación de la mezcla.

En un principio, el empleo de betunes más duros más viscosos, parece que debería mejorar la resistencia a la disgregación, pero esto lo que realmente supone es un aumento de la

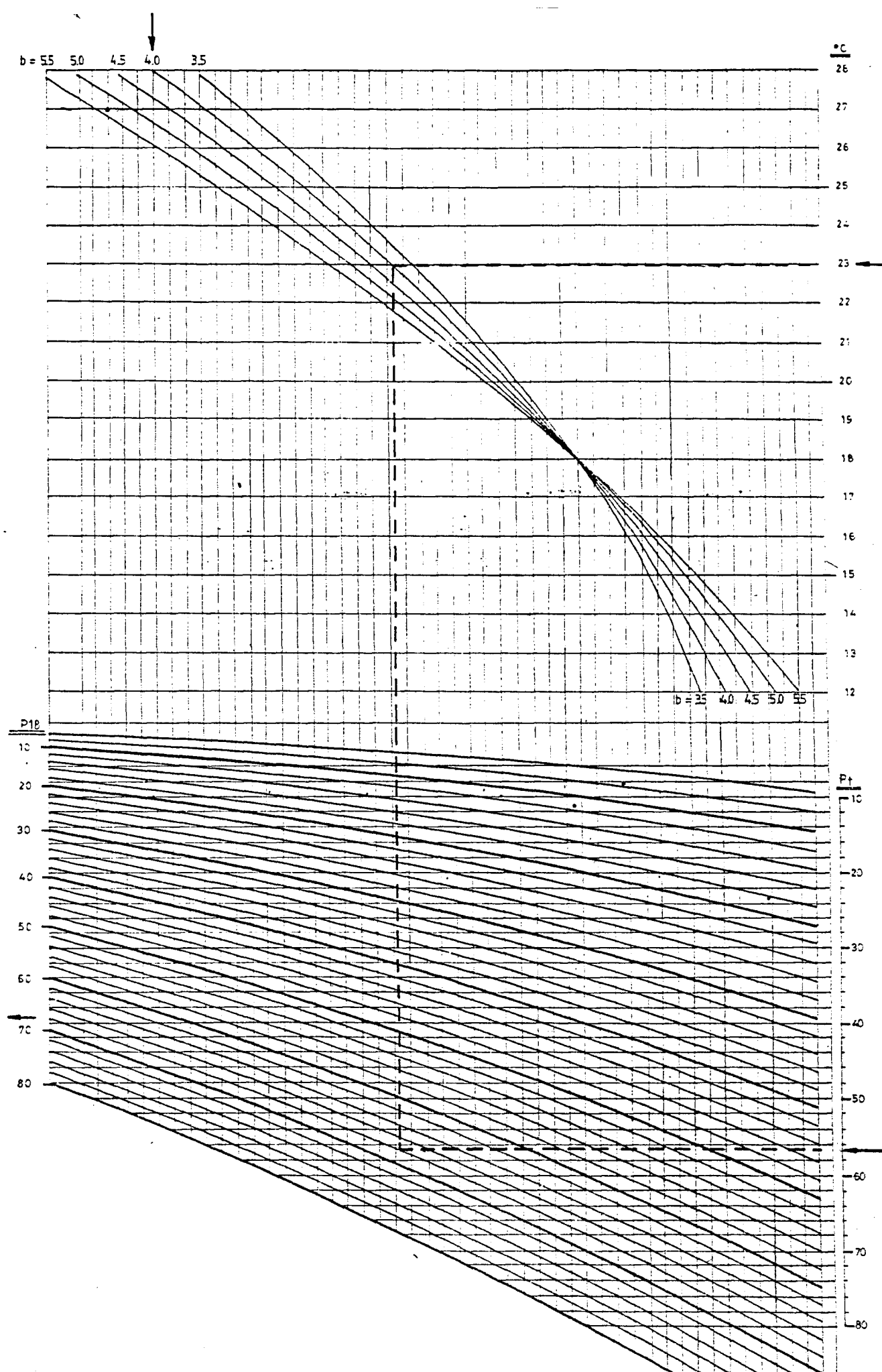


FIG. 5.8.- ABACO PARA LA CORRECCION POR TEMPERATURA DE ENSAYO.
MODO DE EMPLEO

fragilidad del ligante y una menor resistencia de la disgregación de la mezcla por impacto y desgaste.

Esto se puede observar en las tablas 5.9 y 5.10 y en la figura 5.9, donde se presenta para la mezcla P-10(15,4) su perdida por desgaste para los betunes B-40/50, B-60/70, B-80/100 y B-150/200. Como se puede observar en la figura 5.10 donde se representa la variación de huecos con el porcentaje de betún, para los distintos tipos de ligantes empleados, apenas existe diferencia en el grado de compactación alcanzada, existe muy poca. Sin embargo, si es notable la diferencia en cuanto a su resistencia a la disgregación.

Con el betún B-40/50 es con el que peor resultados se obtiene habiendo una diferencia de mas de 15 puntos entre la perdida por desgaste de las probetas fabricadas con betún B-40/50 y las fabricadas con el betún B-150/200, en la que se obtienen los mejores resultados.

La experiencia que sobre el comportamiento de estos tramos se tiene avalan de los resultados obtenidos en laboratorio. Las peores respuestas que con estas mezclas se han obtenido corresponden a tramos fabricados en Francia con betún B-40/50, mientras que con betunes, B-60/70 y B-80/100, el comportamiento es adecuado.

% BETUN	PENETRACION DEL BETUN			
	40/50	60/70	80/100	150/200
3,5	41,9	41,8	26,5	23,9
4,5	30,3	28,6	15,4	14,8
5,5	25,6	24,9	12,9	11,2

TABLA 5.9. INFLUENCIA DE LA PENETRACION DEL BETUN EN LA PERDIDA POR DESGASTE DE UNA MEZCLA P.10(15,4).

% BETUN	PENETRACION DEL BETUN			
	40/50	60/70	80/100	150/200
3,5	19,0	19,1	20,2	19,6
4,5	16,9	17,1	18,1	17,6
5,5	14,9	15,1	16,3	15,4

TABLA 5.10. INFLUENCIA DE LA PENETRACION DEL BETUN EN EL PORCENTAJE DE HUECOS DE UNA MEZCLA P.10(15,4).

- 299 -

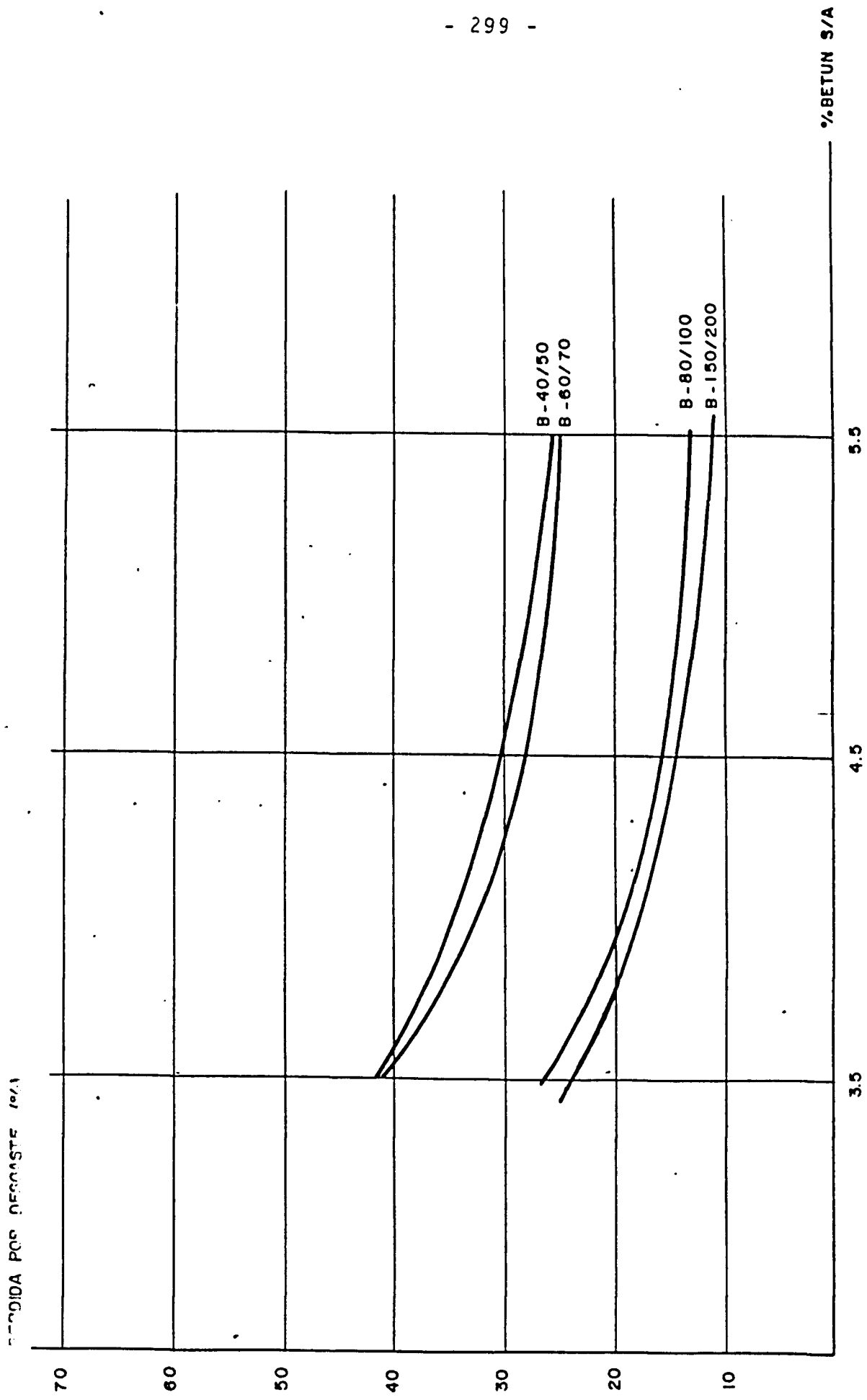


FIG. 5.9 . - VARIACION DE LA PERDIDA POR DESGASTE EN FUNCION DE LA PENETRACION
Y EL PORCENTAJE DE BETUN . GRANULOMETRIA P-10(15,4)

- 300 -

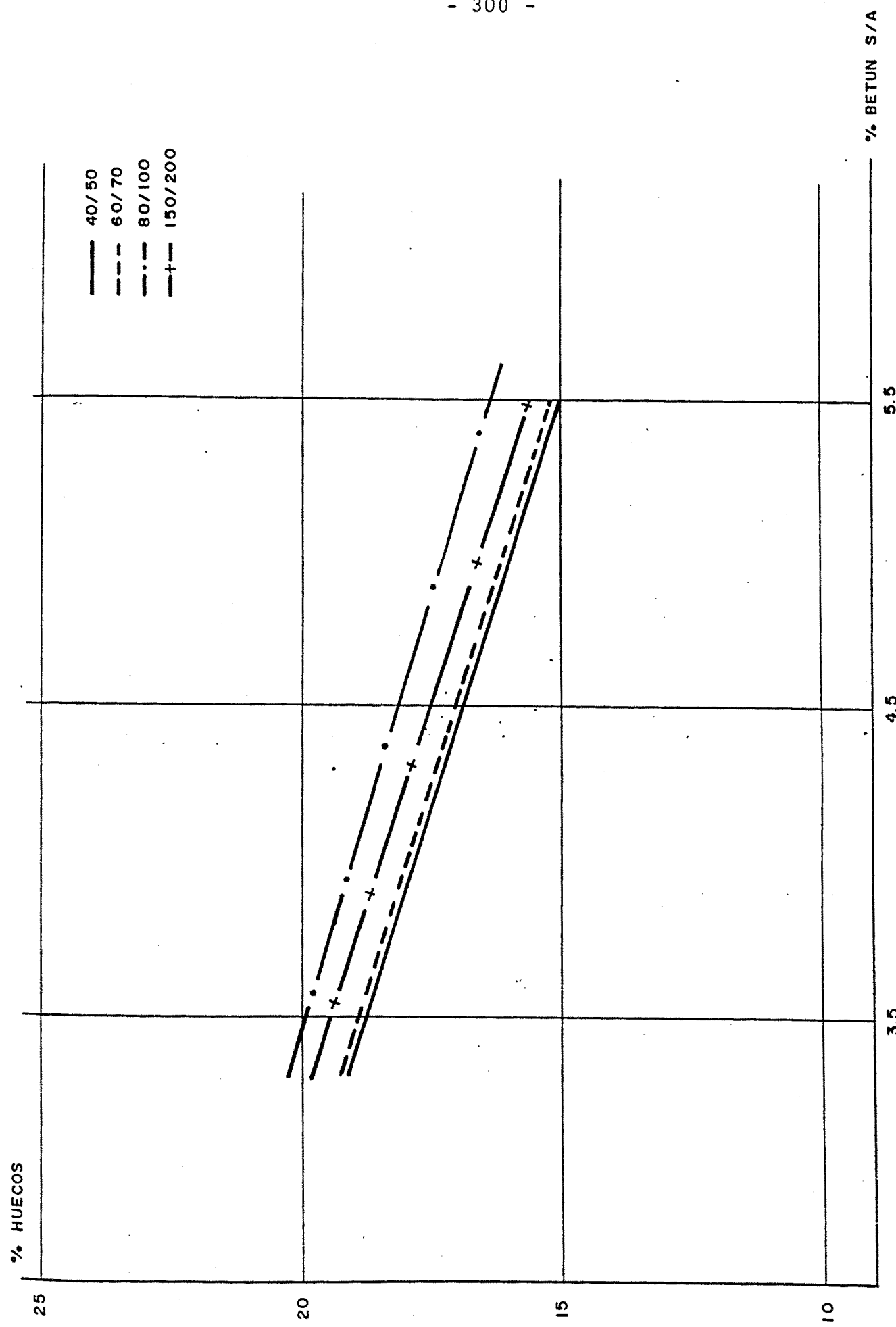


FIG. 5.10.- VARIACION DEL PORCENTAJE DE HUECOS CON LA PENETRACION Y EL PORCENTAJE
DE BETUN. GRANULOMETRIA P-10(15,4)

CAPITULO 6

APLICACION DEL ENSAYO CANTABRO
DE PERDIDAS POR DESGASTE A LA
CARACTERIZACION DE MEZCLAS BI-
TUMINOSAS POROSAS

6.1. APLICACION DEL ENSAYO CANTABRO DE PERDIDA POR DESGASTE A LA CARACTERIZACION DE MEZCLAS BITUMINOSAS POROSAS

El ensayo Cántabro de pérdida por desgaste fué desarrollado, en vista de la carencia y falta de idoneidad de otros tipos de ensayos mecánicos, como un método para la caracterización mecánica de mezclas de granulometría abierta, caso de las mezclas porosas. En este capítulo se recogen y se analizan los resultados obtenidos en su aplicación a la caracterización de este tipo de mezclas.

El fin del estudio consiste en seleccionar aquellas granulometrias que mejor se comportan ante el mecanismo de deterioro por desgaste, valorando la influencia que los componentes de la mezcla tienen en su comportamiento.

Desde un principio la dosificación de mezclas bituminosas porosas se plantea como un equilibrio entre la porosidad y la resistencia a la pérdida por desgaste.

Para conseguir una adecuada porosidad es necesario reducir el porcentaje de finos de la mezcla, pero esto va en detrimento de su cohesión y resistencia a la disgregación por el tráfico. Para conseguir una permeabilidad adecuada comparable al de una arena gruesa ($K = 10^{-1}$ a 10^{-3} cm/s), es necesario emplear un porcentaje de finos comprendidos entre el 8 y el 18%. Por ello este estudio se realizó sobre mezclas fa-

bricadas con un porcentaje de arido fino de 10 y 15%.

Los porcentajes de filler y de ligante ensayados fueron del 2,4 y 6% y del 3,5; 4,5 y 5,5%, respectivamente, valores que cubren ampliamente el rango de estos componentes en la formulación de mezclas bituminosas porosas.

En este estudio cada una de las mezclas ensayadas ha sido designada por la notación P-A(B,C), donde:

- A: tamaño máximo del arido empleado.
- B: porcentaje de arido fino (pasa 2,5 UNE).
- C: porcentaje de filler (pasa 0,080 UNE).

Estas mezclas son las mismas que hemos empleado en el estudio de la precisión y repetitividad del ensayo Cántabro de pérdida por desgaste, y sus granulometrías han sido representadas en las figuras 4.6 a 4.8 del capítulo IV. En el mismo capítulo se ha incluido las características del árido ofítico y del betún B-60/70 empleados.

Los resultados de los ensayos de estas mezclas se recogen en la tabla 6.1, donde también se incluye el porcentaje medio de huecos de las mezclas ensayadas.

6.1.1. INFLUENCIA DEL CONTENIDO DE FILLER Y DE BETUN

En el análisis de los resultados se ha estudiado en pri-

MEZCLA	% BETUN	HUECO	PERDIDAS	MEZCLA	% BETUN	HUECO	PERDIDAS
P.20(10,2)	3,5	21,2	63,7	3,5	21,1	56,4	3,5
	4,5	20,1	50,5	P.12(10,2)	4,5	19,0	41,4
	5,5	17,7	42,1		5,5	16,5	30,7
	3,5	22,1	43,8		3,5	21,3	42,9
P.20(10,4)	4,5	19,3	33,8	P.12(10,4)	4,5	19,4	29,9
	5,5	17,3	30,3		5,5	17,1	28,6
	3,5	20,4	31,4		3,5	21,4	36,9
	4,5	19,2	29,9	P.12(10,6)	4,5	19,2	27,8
P.20(10,6)	5,5	16,7	26,9		5,5	16,1	26,2
	3,5	20,3	53,2		3,5	20,9	53,6
	4,5	18,4	50,7	P.12(15,2)	4,5	18,5	32,4
	5,5	15,8	40,4		5,5	16,5	29,6
P.20(15,2)	3,5	19,3	53,2		3,5	18,8	39,6
	4,5	15,7	23,4	P.12(15,4)	4,5	15,5	22,7
	5,5	14,0	19,7		5,5	13,0	16,4
	3,5	18,5	38,1		3,5	17,2	24,1
P.20(15,6)	4,5	16,8	22,6	P.12(15,6)	4,5	15,2	17,3
	5,5	13,7	17,4		5,5	12,2	12,7

MEZCLA	% BETUN	HUECO	PERDIDAS	MEZCLA	% BETUN	HUECO	PERDIDAS
P.10(10,2)	3,5	21,6	36,3	P.10(10,2)	4,5	21,6	36,3
	5,5	20,9	34,1		5,5	20,9	34,1
	3,5	23,5	45,9		3,5	23,5	45,9
	4,5	21,6	33,1	P.10(10,4)	4,5	21,6	33,1
P.10(10,4)	5,5	19,6	24,1		5,5	19,6	24,1
	3,5	23,2	41,4		3,5	23,2	41,4
	4,5	21,2	28,0	P.10(10,6)	4,5	21,2	28,0
	5,5	19,2	21,3		5,5	19,2	21,3
P.10(15,2)	3,5	22,3	52,9		3,5	22,3	52,9
	4,5	10,8	34,2	P.10(15,2)	4,5	10,8	34,2
	5,5	18,2	28,2		5,5	18,2	28,2
	3,5	20,3	39,7		3,5	20,3	39,7
P.10(15,4)	4,5	17,6	25,9	P.10(15,4)	4,5	17,6	25,9
	5,5	16,0	19,0		5,5	16,0	19,0
	3,5	18,8	26,8		3,5	18,8	26,8
	4,5	17,2	21,9	P.10(15,6)	4,5	17,2	21,9
P.10(15,6)	5,5	13,9	14,5		5,5	13,9	14,5

TABLA 6.1. VALORES MEDIOS DE HUECOS Y PERDIDAS POR DESGASTE DE LAS MEZCLAS ENSAYADAS.

mer lugar la influencia del porcentaje de filler y betún en la pérdida por desgaste de la mezcla. Para ello, se ha representado para las seis familias de granulometrías ensayadas, P-10(10,X), P-10(15,X), P-12(10,X), P-12(15,X), P-20(10,X) y P-20(15,X), la influencia que en su respuesta tiene el porcentaje de filler y ligante empleado, figuras 6.1 a 6.6.

En todas ellas se observa la gran influencia que tiene el porcentaje de ligante y el contenido de filler en la pérdida por desgaste. Con contenidos de filler del 4 y del 6%, la pérdida de desgaste se reduce notablemente. Este aumento del porcentaje de filler mejora sensiblemente la cohesión y traba-
zon de la mezcla. Este aumento es más espectacular cuando se modifica el porcentaje de filler del 2 al 4%, que cuando se pasa del 4 al 6%. La influencia del betún es también más importante con porcentajes bajos del ligante.

Las pérdidas por desgaste son en todos los casos muy importantes con el contenido más bajo de filler ensayado, 2%, incluso para altos contenidos de ligante, 5,5%, y del arido fino, 15%. Habiéndose únicamente conseguido valores inferiores al 30% con las granulometrias P-10(15,2) y P-12(15,2) con contenidos de betún del 5,5%.

Aunque aun no existe suficiente experiencia sobre el comportamiento de estas mezclas en los tramos en servicio, se ha tomado el valor del 30% como una referencia para comparar los distintos resultados obtenidos. A priori y a la vista de los

- 305 -

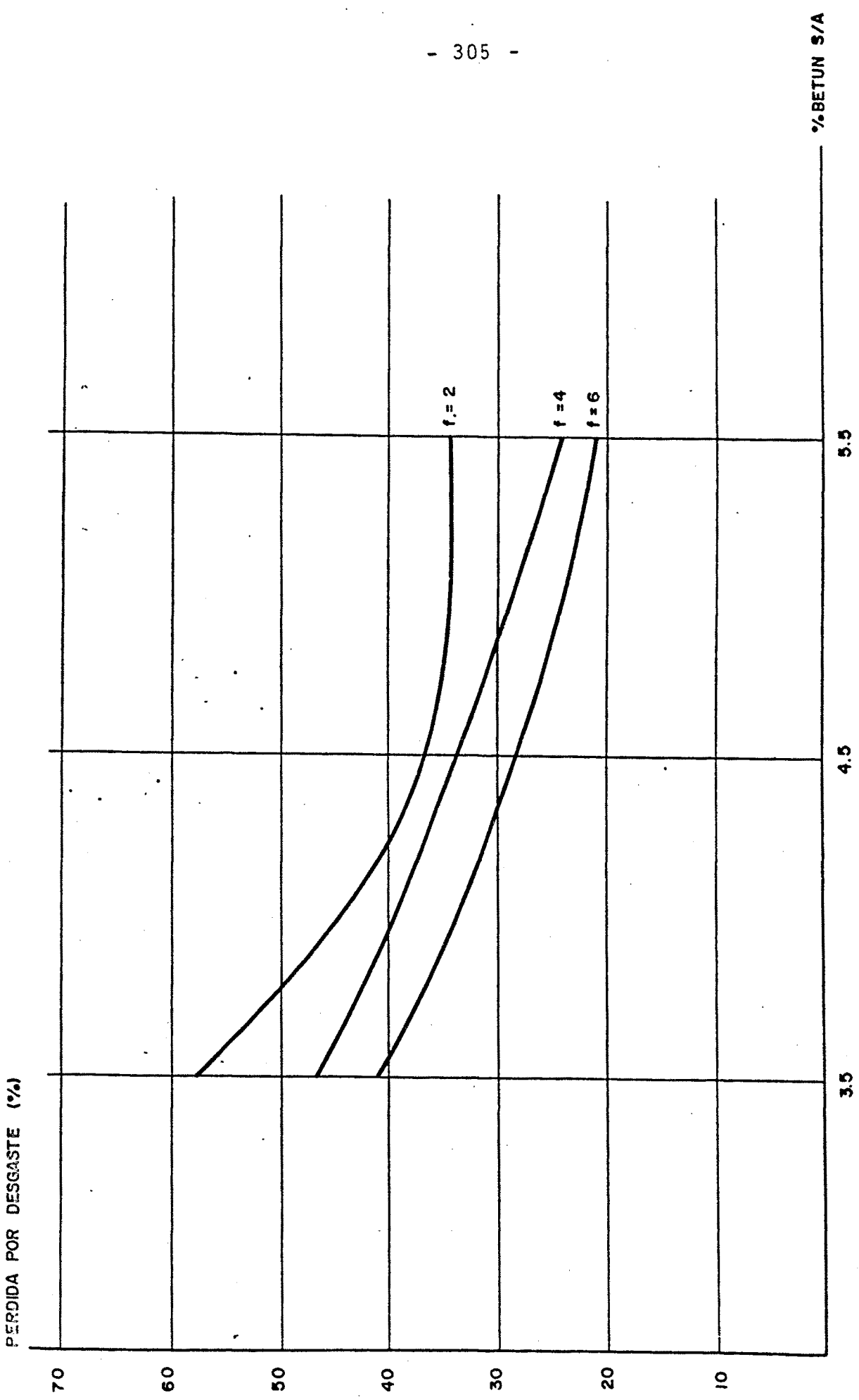


FIG. 6.1 . - VARIACION DE LA PERDIDA POR DESGASTE EN FUNCION DEL PORCENTAJE DE FILLER
Y EL PORCENTAJE DE LIGANTE. GRANULOMETRIA P-10 (10 , X)

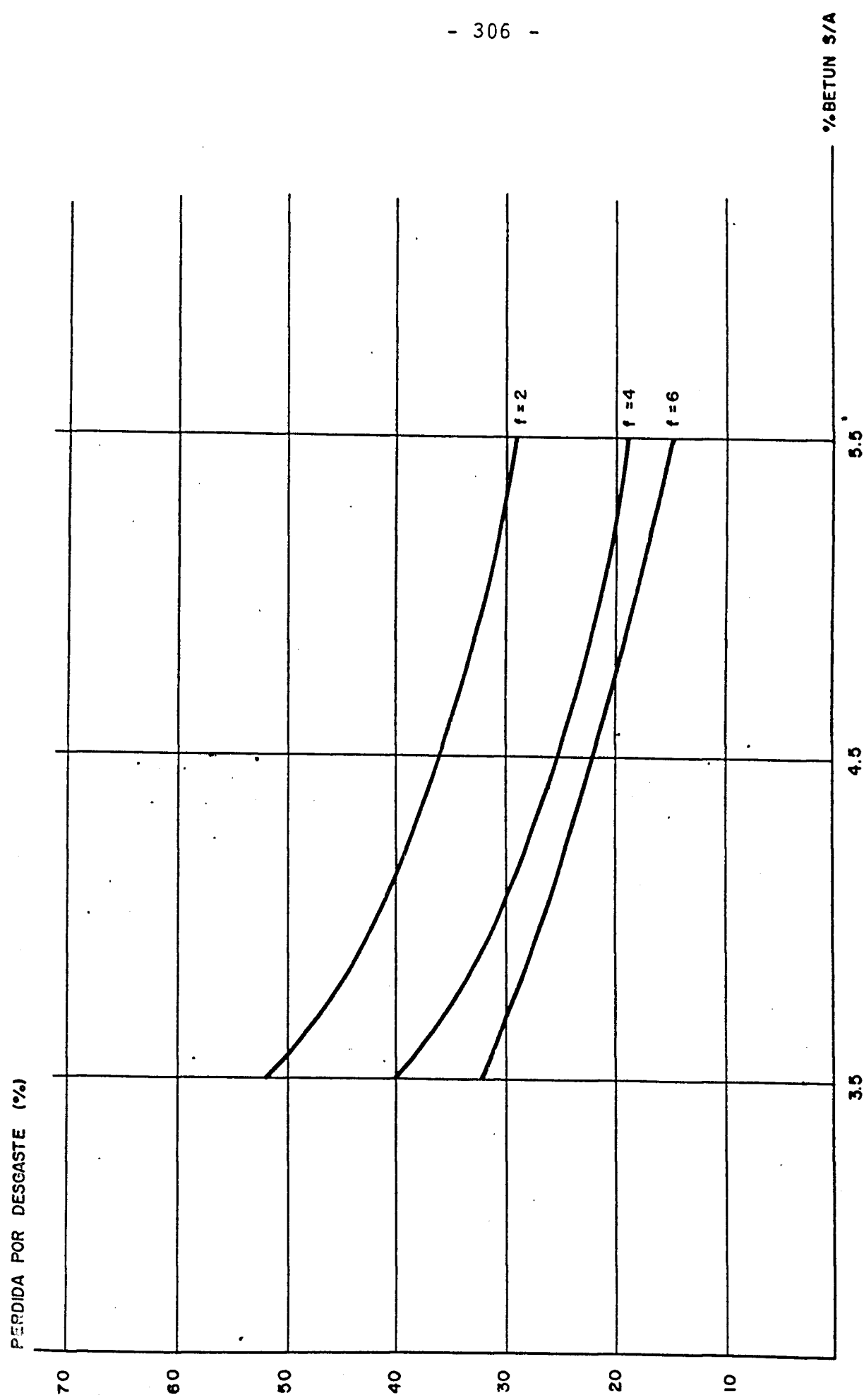


FIG. 6.2 . - VARIACION DE LA PERDIDA POR DESGASTE EN FUNCION DEL PORCENTAJE DE FILLER
Y EL PORCENTAJE DE LIGANTE. GRANULOMETRIA P-10 (15, X)

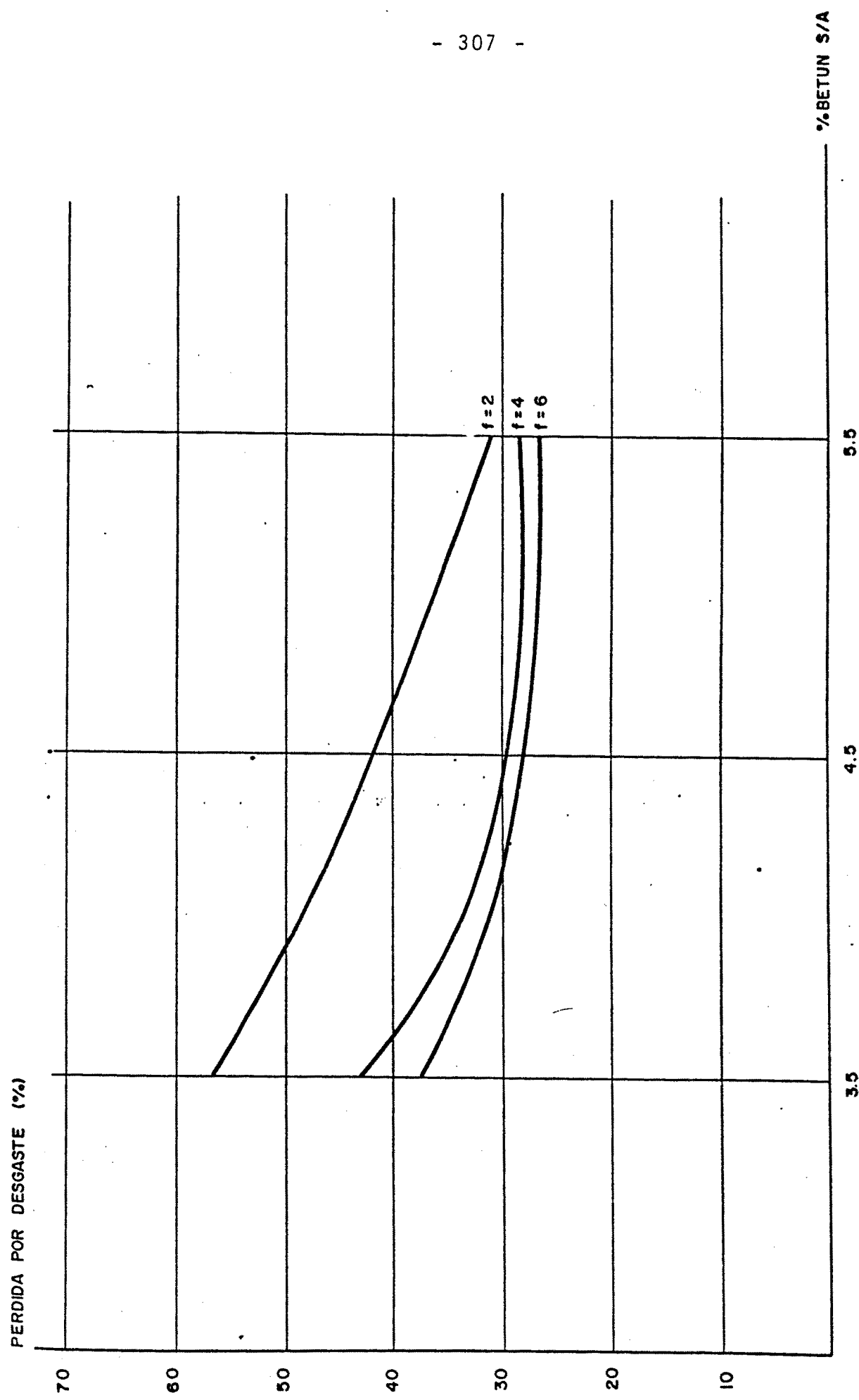


FIG. 6.3 . - VARIACION DE LA PERDIDA POR DESGASTE EN FUNCION DEL PORCENTAJE DE FILLER
Y EL PORCENTAJE DE LIGANTE. GRANULOMETRIA P-12,5 (10,X)

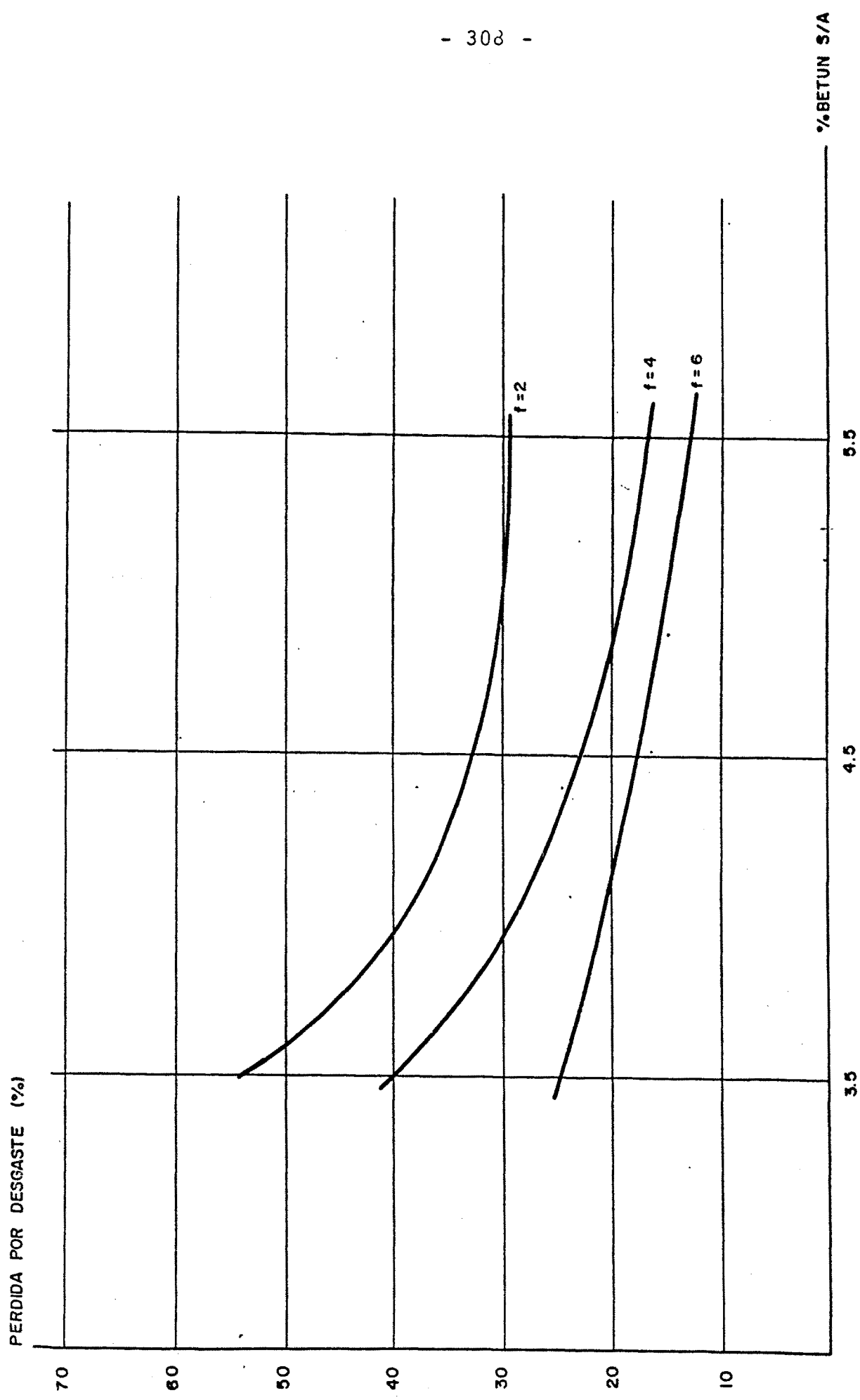


FIG. 6.4 . - VARIACION DE LA PERDIDA POR DESGASTE EN FUNCION DEL PORCENTAJE DE FILLER
Y EL PORCENTAJE DE LIGANTE. GRANULOMETRIA P-12,5 (15,X)

- 309 -

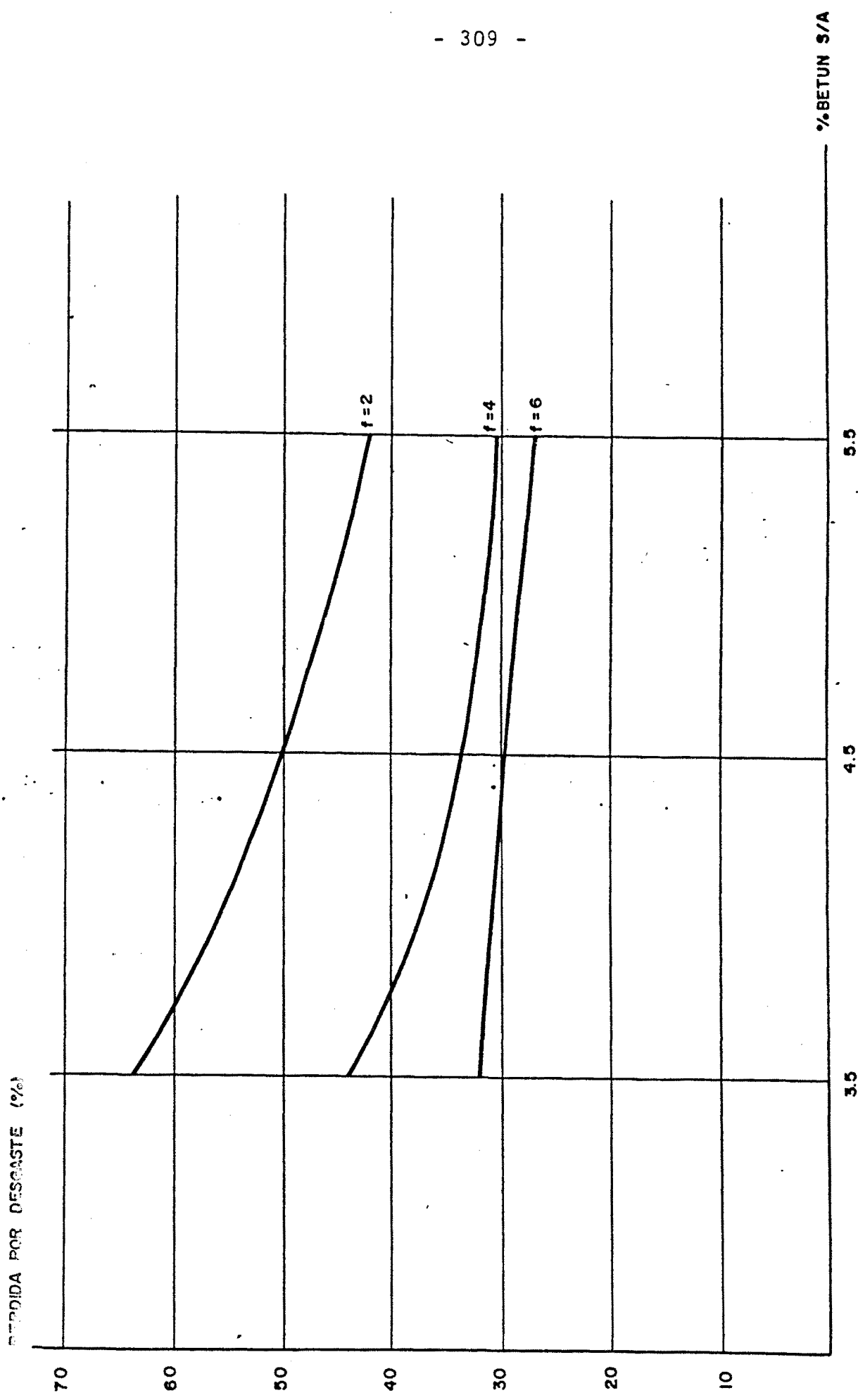


FIG. 6.5 . - VARIACION DE LA PERDIDA POR DESGASTE EN FUNCION DEL PORCENTAJE DE FILLER
Y EL PORCENTAJE DE LIGANTE. GRANULOMETRIA P - 20 (10,X)

- 310 -

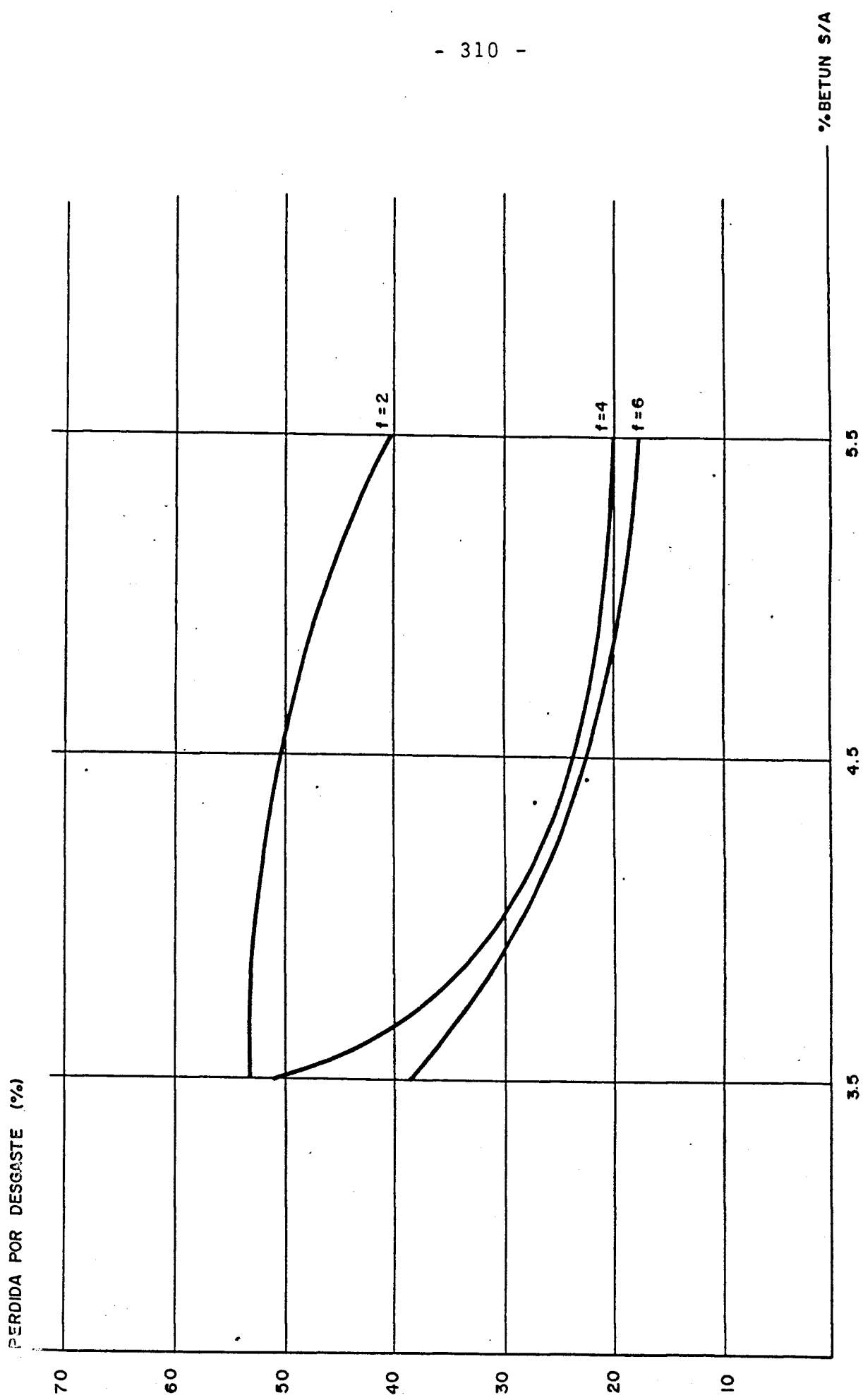


FIG. 6.6 . - VARIACION DE LA PERDIDA POR DESGASTE EN FUNCION DEL PORCENTAJE DE FILLER
Y EL PORCENTAJE DE LIGANTE. GRANULOMETRIA P - 20 (15, X)

resultados obtenidos en Laboratorio si parece un valor mínimo a exigir a estas mezclas.

Con los contenidos de filler del 4%, únicamente con las granulometrías P-20(10,4) y P-10(10.4) se necesita un contenido de ligante del 5,5% para conseguir valores de la pérdida por desgaste inferiores al 30%. Consiguiéndose alcanzar este valor con contenidos de ligante del 4,5% en el resto de las granulometrías.

Con las granulometrías con un contenido de filler del 6%, se alcanza este umbral en todos los casos con un contenido de ligante del 4,5% e incluso con contenidos de ligante de 3,5% de las granulometrías P-10(15,6) y P-12~~15~~(15,6).

En la tabla 6.2 se resumen estos resultados y se señalan los porcentajes mínimos de ligante a emplear con cada tipo de mezcla para conseguir una pérdida por desgaste menor de un 30%.

El efecto de filler adquiere una mayor importancia si consideramos al mismo tiempo su repercusión sobre la pérdida por desgaste de la mezcla y sobre la porosidad y permeabilidad de ésta.

Esto puede observarse en las figuras 6.7 a 6.12 donde se representa para estas seis mismas familias de granulometrías la variación de la porosidad y la pérdida por desgaste con el contenido de filler y de betún.

% b	P.10(10,2)	P.12(10,2)	P.20(10,2)	P.10(15,2)	P.12(15,2)	P.20(15,2)
3,5						
4,5						
5,5				<30	<30	

% b	P.10(10,4)	P.12(10,4)	P.20(10,4)	P.10(15,4)	P.12(15,4)	P.20(15,4)
3,5						
4,5		<30		<30	<30	<30
5,5	<30	<30	<30	<30	<30	<30

% b	P.10(10,6)	P.12(10,6)	P.20(10,6)	P.10(15,6)	P.12(15,6)	P.10(15,6)
3,5				<30	<30	
4,5	<30	<30	<30	<30	<30	<30
5,5	<30	<30	<30	<30	<30	<30

TABLA 6.2. PORCENTAJES MINIMOS DE FILLER Y BETUN NECESARIO PARA OBTENER UNA PERDIDA MAXIMA POR DESGASTE DEL 30%.

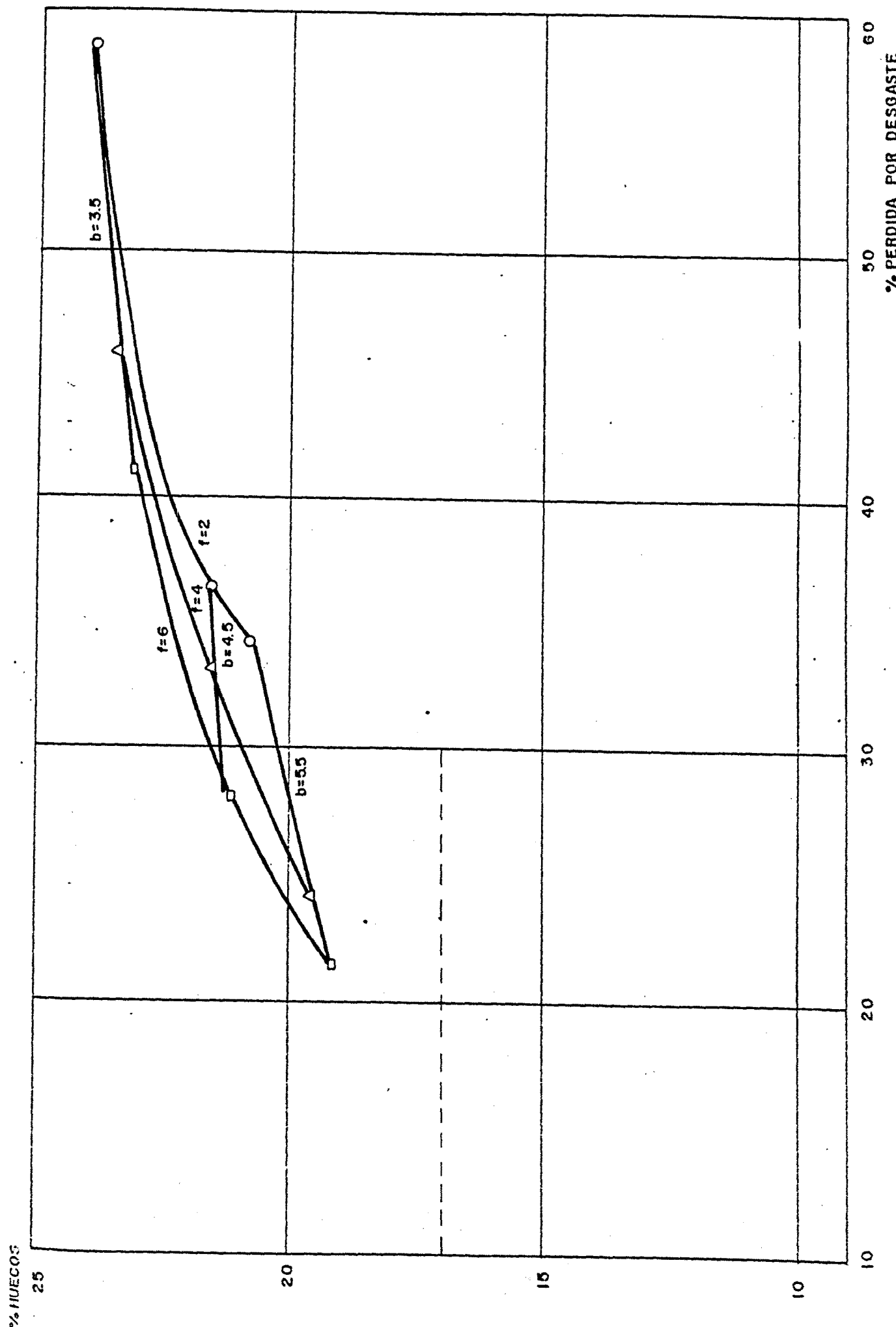


FIG. 6.7. - VARIACION DE LA PERDIDA POR DESGASTE EN FUNCION DEL PORCENTAJE DE HUECOS, LIGANTE Y FILLER. GRANULOMETRIA. P-10(10, X)

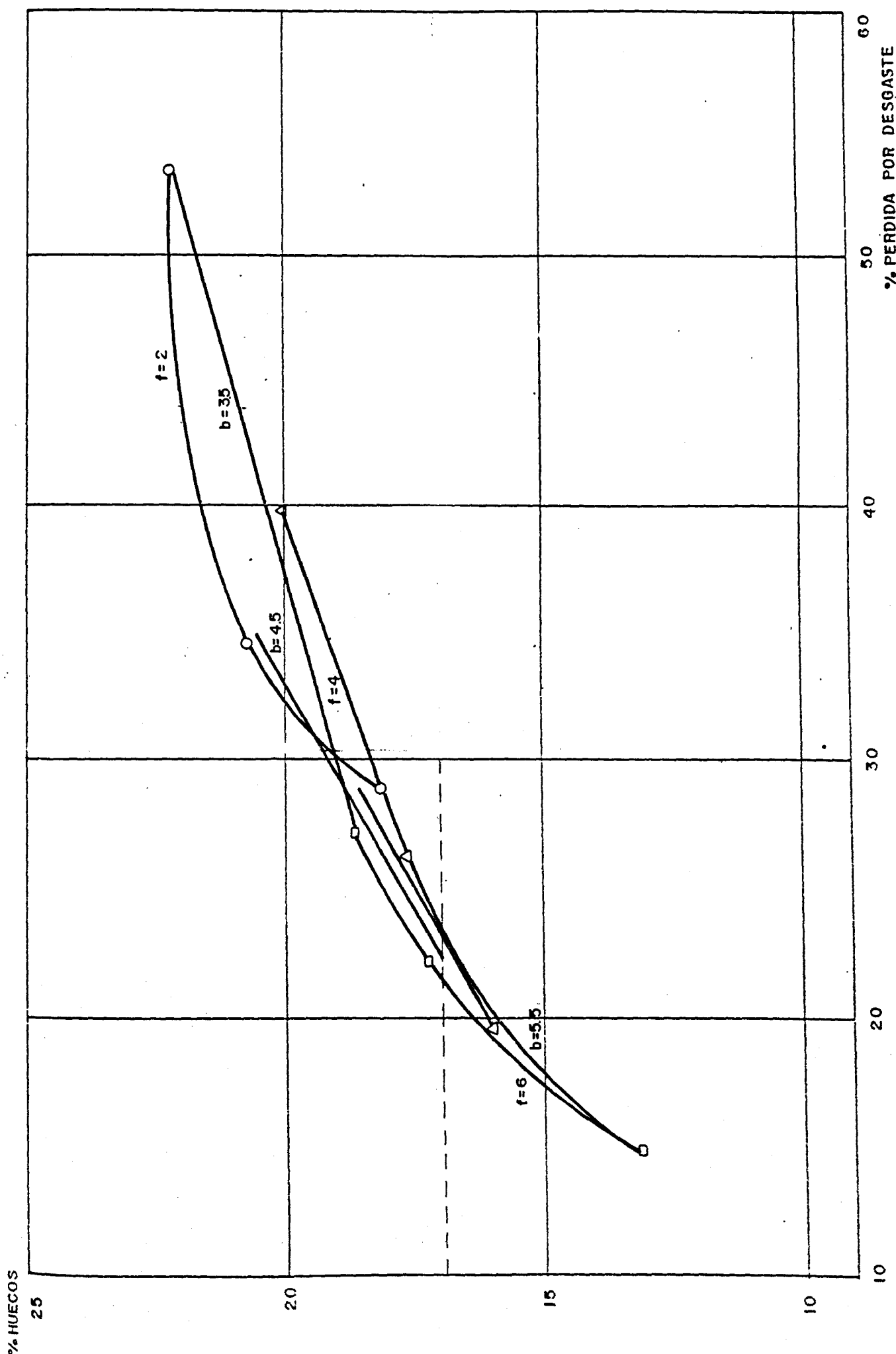


FIG. 6.8. - VARIACION DE LA PERDIDA POR DESGASTE EN FUNCION DEL PORCENTAJE DE HUECOS, LIGANTE Y FILLER. GRANULOMETRIA P-10 (15, X)

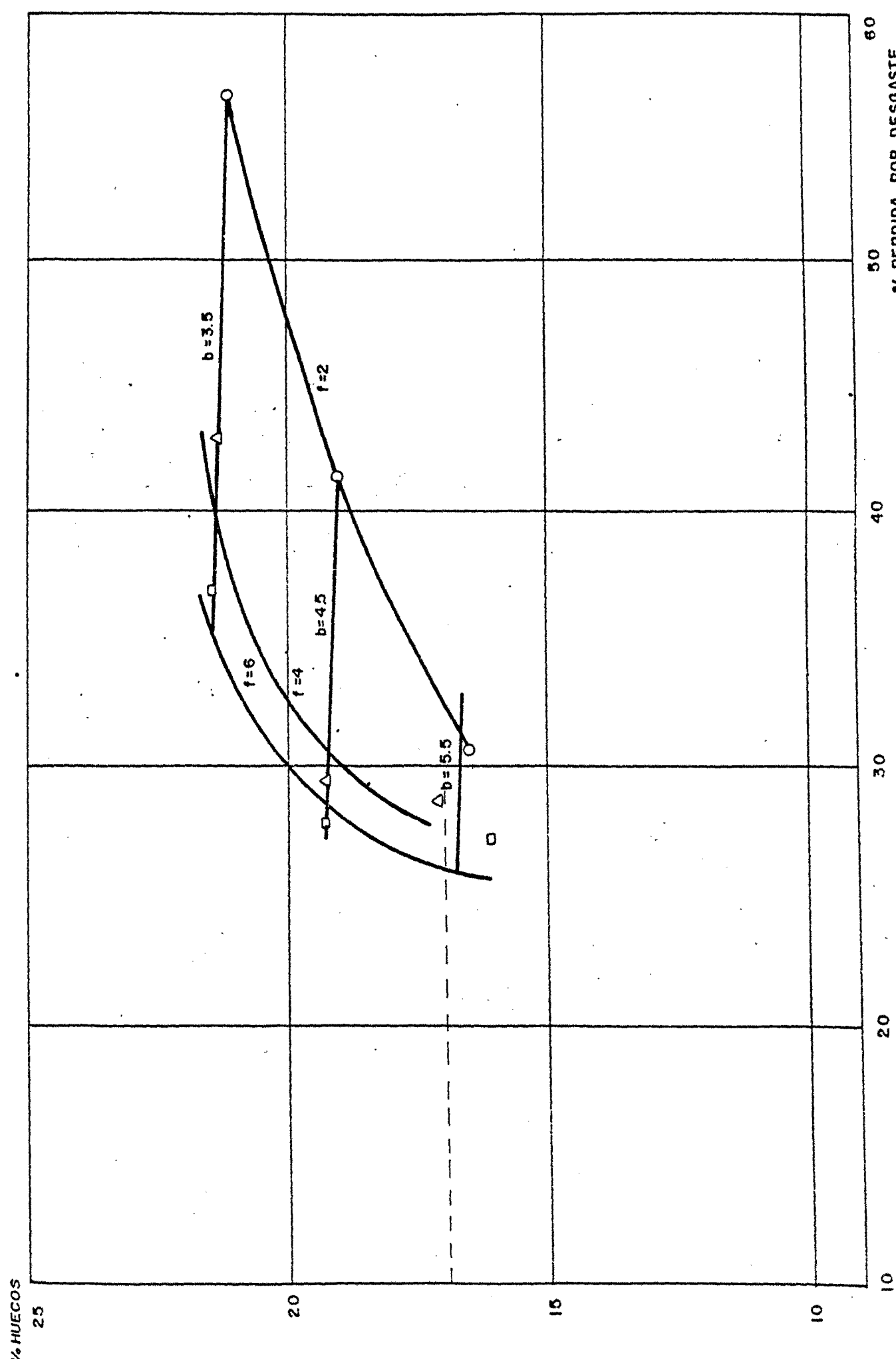


FIG. 6.9. - VARIACION DE LA PERDIDA POR DESGASTE EN FUNCION DEL PORCENTAJE DE HUECOS, LIGANTE Y FILLER. GRANULOMETRIA P-I2(10,X)

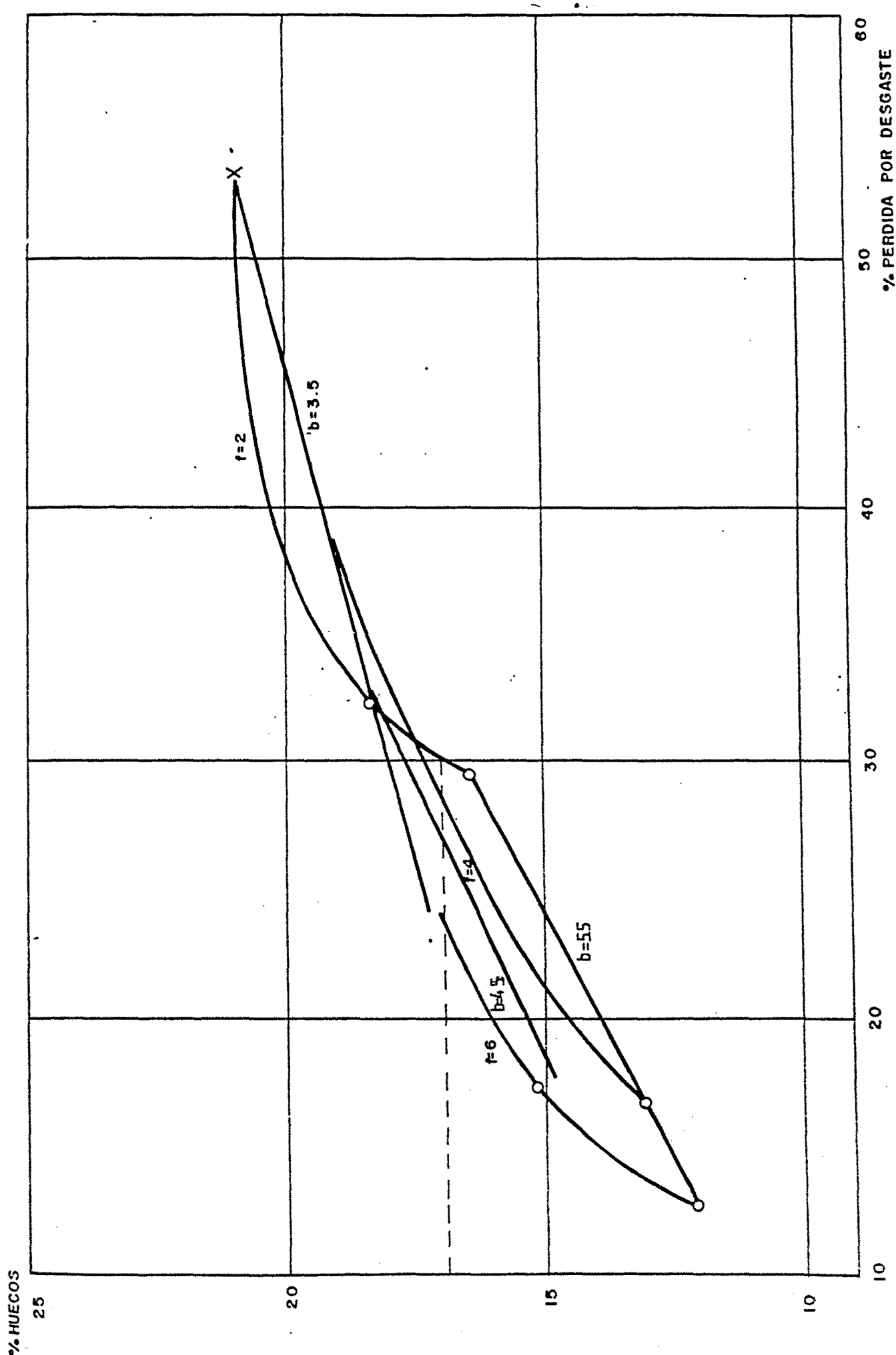


FIG. 6.10. - VARIACION DE LA PERDIDA POR DESGASTE EN FUNCION DEL PORCENTAJE DE HUECOS, LIGANTE Y FILLER. GRANULOMETRIA P-12,5 (15, X)

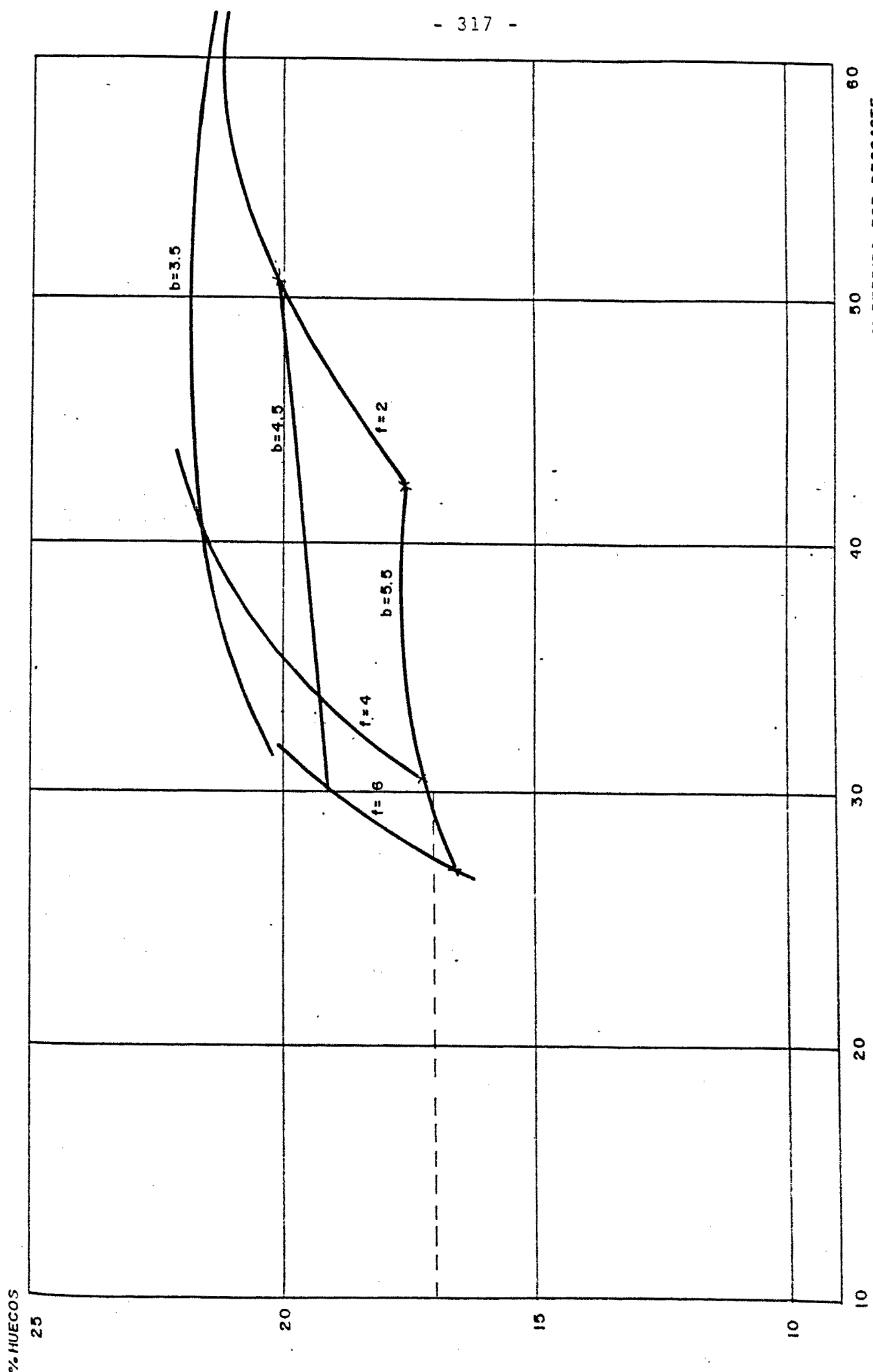


FIG. 6.11. - VARIACION DE LA PERDIDA POR DESGASTE EN FUNCION DEL PORCENTAJE DE HUECOS, LIGANTE Y FILLER. GRANULOMETRIA P-20 (10, X)

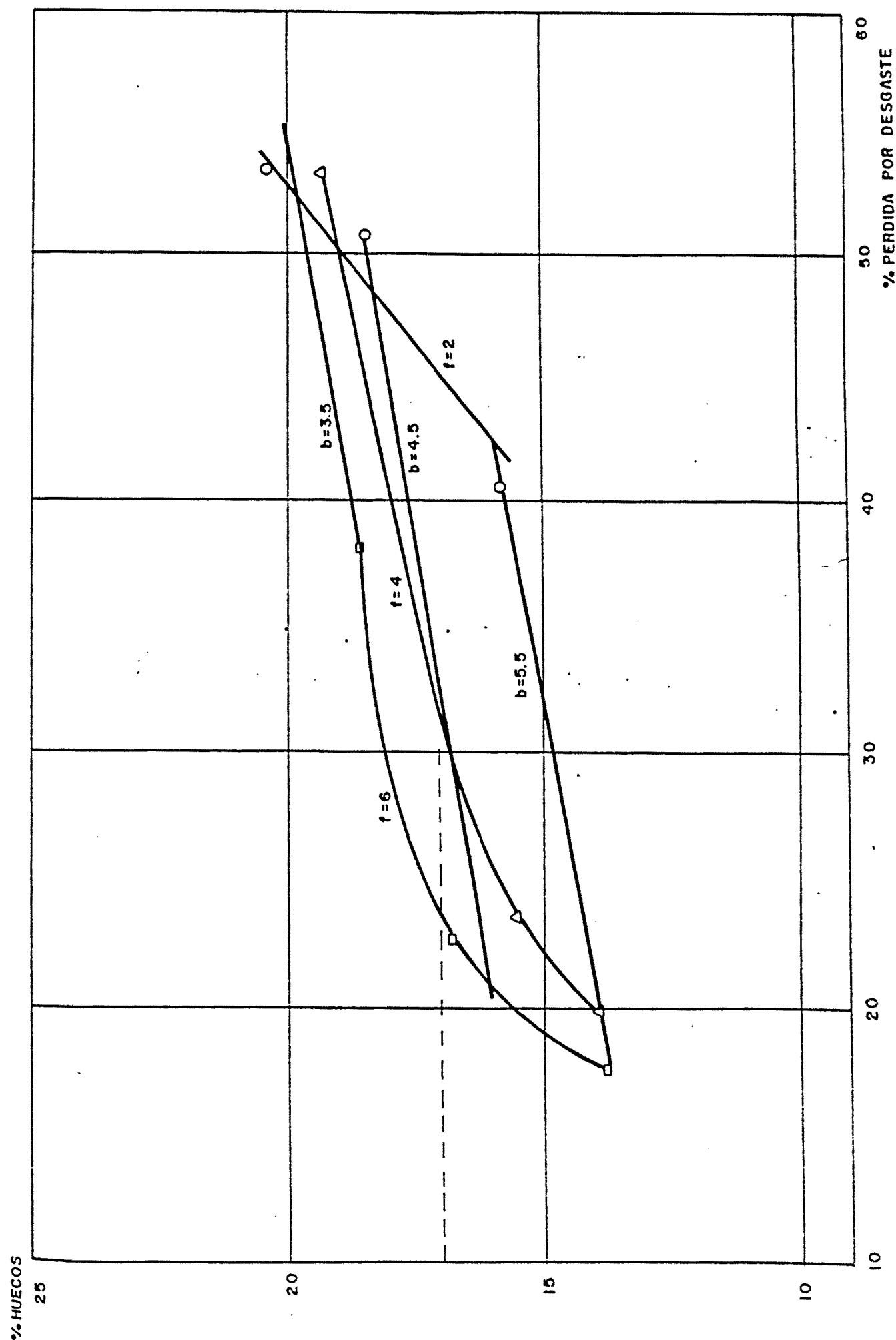


FIG. 6.12. - VARIACION DE LA PERDIDA POR DESGASTE EN FUNCION DEL PORCENTAJE DE HUECOS, LIGANTE Y FILLER. GRANULOMETRIA P-20 (15, X)

A diferencia de los otros componentes de la mezcla, un aumento del contenido de filler puede suponer en muchos casos una mejora de la resistencia al desgaste de la mezcla sin modificar su porosidad. Cosa que no ocurre con la variación del ligante y arido fino, ya que un aumento en sus contenidos supone ciertamente una mejora de resistencia al desgaste, pero disminuyen también sensiblemente su permeabilidad. Así en la mezcla P-12(10-X) con un 3,5% de ligante, un aumento de 2 al 6% de filler, supone mantener la porosidad en un 21%, mientras que la pérdida por desgaste pasa del 56% al 37%. Para esta misma mezcla, P-12(10,X), con un porcentaje de filler del 2%, un aumento del ligante del 3,5 al 5,5% supone disminuir la pérdida por desgaste de 56 al 30%, pero la porosidad se ve sensiblemente reducida al pasar de un 21% a un 16%. Este efecto se produce principalmente en las granulometrias más abiertas P-10(10,X), P-12(10,X) y P-20(10,X).

Cuando aumenta la compacidad de la mezcla, el efecto producido por el aumento del filler es semejante al del betún, ambos producen un aumento de la resistencia al desgaste, pero también disminuyen la permeabilidad de la mezcla. Así, por ejemplo, en la granulometría P-10(15,X), para un contenido de ligante de 3,5% un aumento del porcentaje de filler del 2 al 6% supone pasar de una pérdida por desgaste del 53% a una pérdida por desgaste del 27% y de una porosidad del 21% al 18%. Para la misma granulometría, con un porcentaje de filler del 2%, un aumento del contenido de betún del 3,5% al 5,5% supone pa-

sar de una pérdida del 53% a una pérdida del 29% y de una porosidad del 22% a una porosidad del 18%.

Este efecto del filler en el aumento de la resistencia a la disgregación de la mezcla es debido como se verá más adelante a una mejora de la resistencia del mastic al aumentar la relación filler/betún.

Referente al contenido de ligante, una observación de los resultados obtenidos al ensayar los diferentes probetas nos indican que, a igualdad de los restantes componentes de la mezcla y dentro del rango de experimentación (3,5% a 5,5% s/a), a un aumento del contenido de ligante siempre le corresponde una disminución de la pérdida por desgaste. Esta disminución de la pérdida puede en algunos casos alcanzar reducciones de hasta 33 puntos cuando aumentamos el contenido de ligante del 3,5% a 5,5% y el contenido de filler de las mezclas es pequeño. Aunque no siempre se alcanzan disminuciones tan espectaculares, podemos decir como norma general que el aumento del contenido de ligante de 3,5% a 5,5%, puede producir por término medio una disminución de la pérdida que oscila de 15 a 25 puntos.

Asimismo, se observa que la disminución de la pérdida al aumentar el contenido de ligante es porcentualmente menor cuando mas altos son los contenidos de ligante. Es decir, cuando tenemos una mezcla que tiene un contenido bajo de ligante, un aumento supone una disminución muy importante de la perdida, pero cuando el ligante es suficiente para dar a la mezcla una cohesión adecuada, un aumento del contenido de ligante tiene mucha menos influencia. Este efecto se puede observar en las representaciones gráficas de las perdidas por desgaste en función del contenido de ligante, en los que estas parecen tener un codo pudiendo corresponder a un contenido de ligante suficiente para evitar la disgregación de la mezcla.

De una forma general, si consideramos la disminución total de la pérdida por desgaste de una mezcla al aumentar el contenido de ligante de la mezcla del 3,5% al 5,5%, se puede decir que un aumento del 3,5% al 4,5% produce una disminución de las perdidas que la podemos evaluar en un 75% de la perdida total, mientras que el aumento del 4,5% al 5,5% supone el 25% restante.

6.1.2. INFLUENCIA DEL PORCENTAJE DE FINOS

El aumento del porcentaje de arido fino produce también un aumento de la resistencia de desgaste, como puede observarse en las figuras 6.13, 6.14 y 6.15, al compararse dos granulometrías con un porcentaje de 10 y 15% y los mismos porcentajes de filler y betún.

La disminución que produce este aumento del arido fino en la resistencia a la perdida por desgaste no es tan importante como la producida por el filler o el betún. Un aumento del 10 al 15% en el contenido de árido fino, apenas supone una reducción de 7 a 10 puntos en la perdida por desgaste, mientras que variaciones de betún de 3,5 a 5,5% y del filler del 2 al 6% suponen a veces disminuir entre 20 y 25 puntos la pérdida por desgaste.

Por otra parte, el porcentaje de arido fino influye de una manera muy significativa en la porosidad de estas mezclas. En los ensayos realizados en laboratorio, estudiando la porosidad de estas mezclas, se obtuvo que es necesaria una

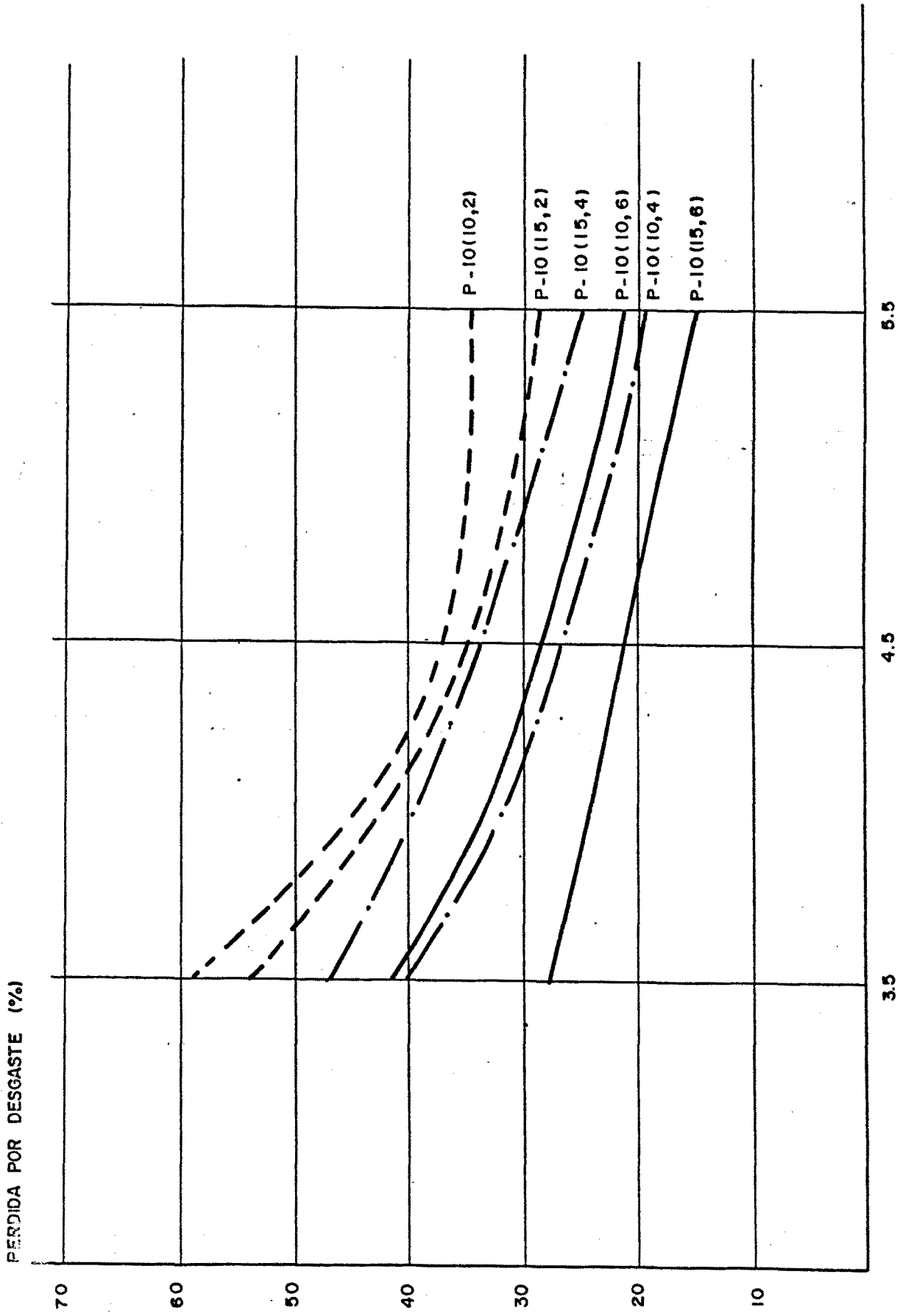


FIG. 6.13 . - VARIACION DE LA PERDIDA POR DESGASTE EN FUNCION DEL PORCENTAJE DE FINOS
Y EL PORCENTAJE DE LIGANTE.

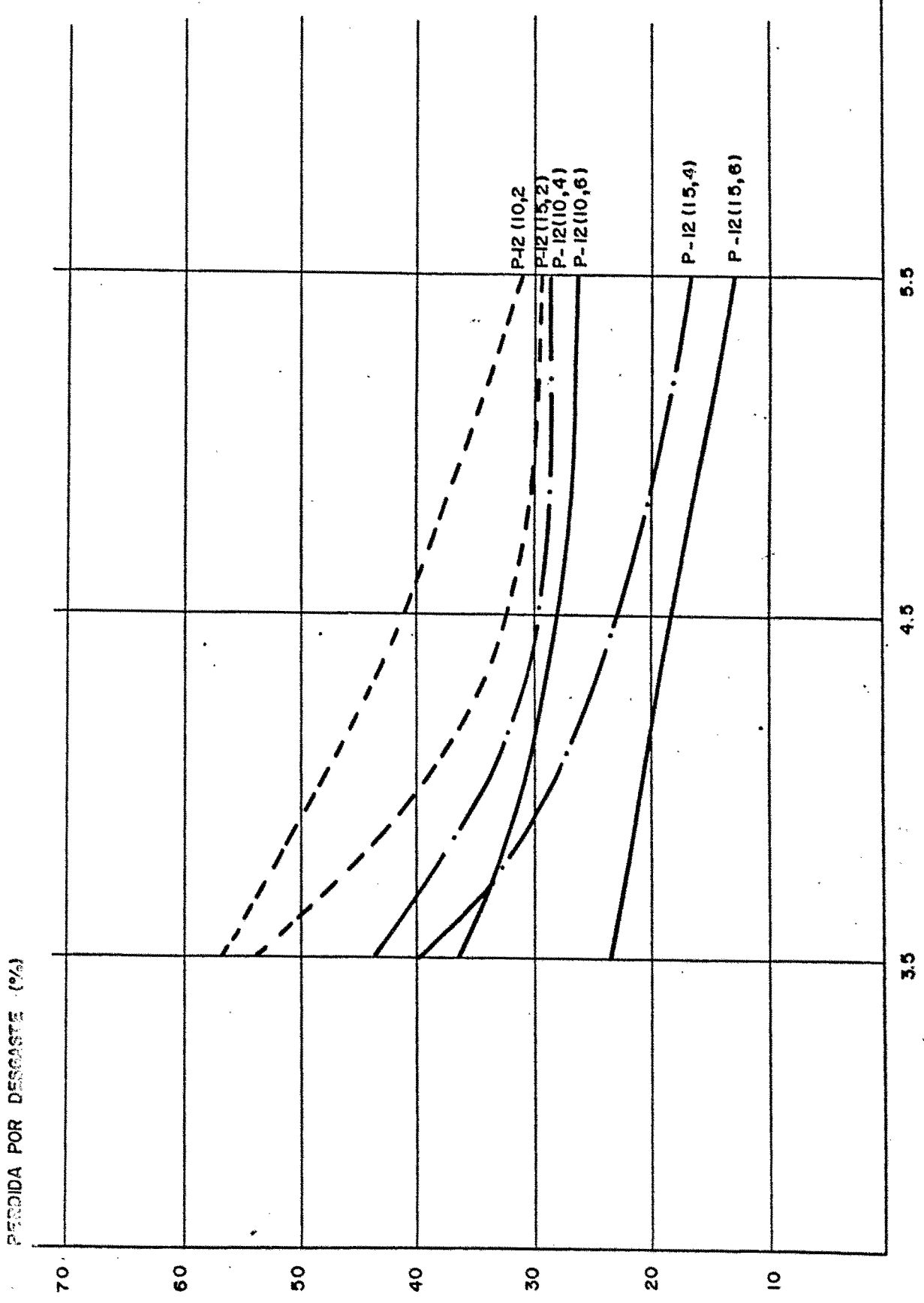


FIG. 6.14. - VARIACION DE LA PERDIDA POR DESGASTE EN FUNCION DEL PORCENTAJE DE FINOS
Y EL PORCENTAJE DE LIGANTE.

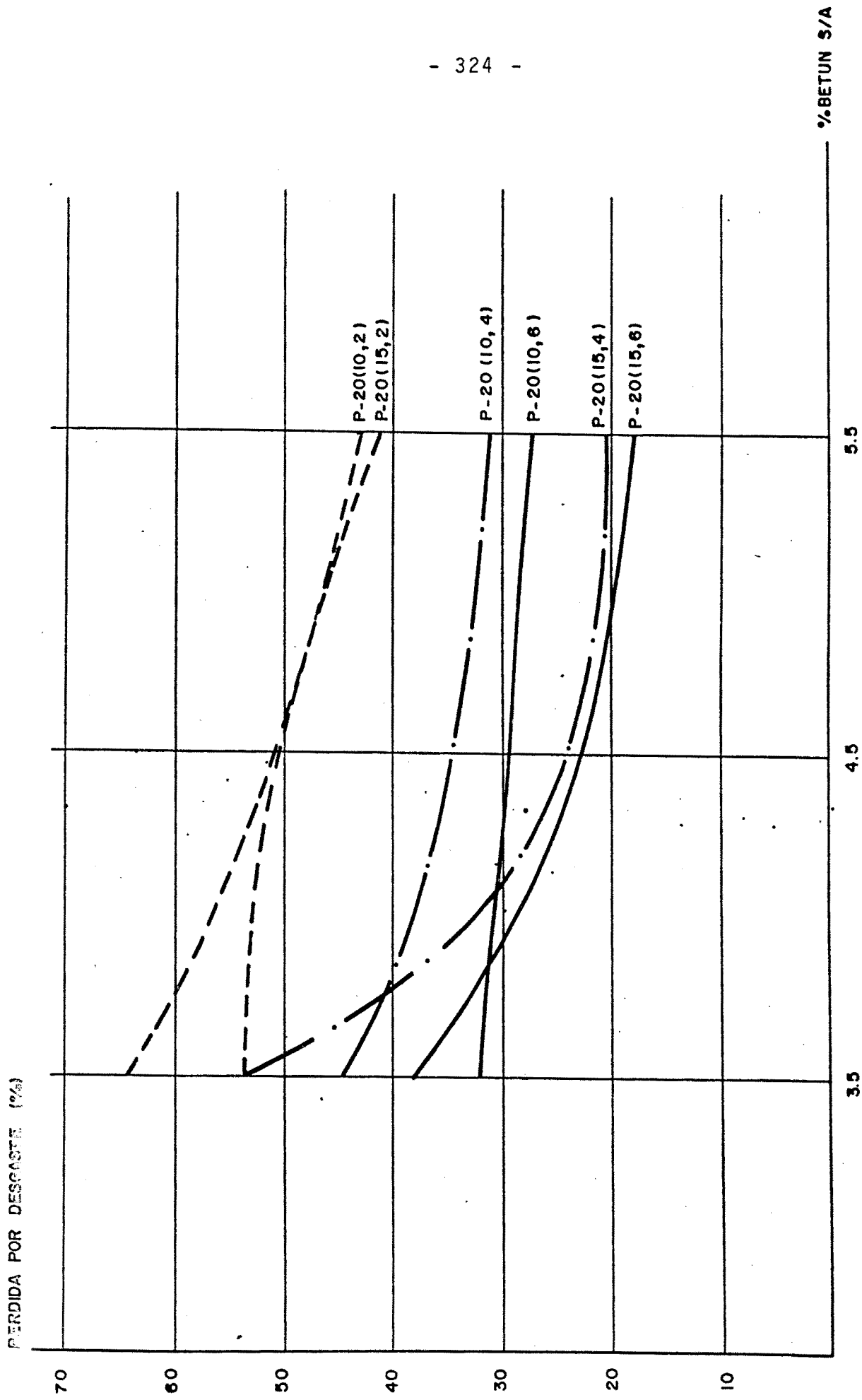


FIG.6.15 . - VARIACION DE LA PERDIDA POR DESGASTE EN FUNCION DEL PORCENTAJE DE FINOS
Y EL PORCENTAJE DE LIGANTE.

porosidad del 17% para obtener una permeabilidad de 10^{-2} cm/s. Si establecemos este valor como porosidad aconsejable a conseguir en estas mezclas, vemos en las figuras 6.7 a 6.12, que con todas las granulometrías con un porcentaje de arido fino del 10% la podemos obtener, independientemente del porcentaje de betún y filler empleados. Es decir, empleando estas granulometrías podemos seleccionar entre diferentes porcentajes de filler y de betún que nos permiten obtener una porosidad y resistencia al desgaste adecuada.

Las granulometrías con un 15% de finos son bastante mas impermeables. Debemos de ser muy estrictos en su composición sin queremos obtener una permeabilidad y resistencia al desgaste adecuada, ya que esto sólo se consigue para unos rangos pequeños del contenido de betún y filler y pequeños aumentos en estos componentes conducen a mezclas de baja permeabilidad.

6.1.3. INFLUENCIA DEL TAMAÑO MAXIMO

Referente a la influencia del tamaño máximo, se observa, (figuras 6.16 a 6.22), que las mezclas fabricadas con un tamaño máximo de 20 mm, tienen normalmente una pérdida superior a las fabricadas con un tamaño máximo inferior, P-10 y P-12, haciéndose más ostensible esta diferencia cuando el porcentaje de filler es más bajo.

El obtener mayores valores de la pérdida por desgaste cuando se emplea en las mezclas el tamaño máximo de 20 mm podría ser debido, o bien, a una pérdida de la resistencia a la

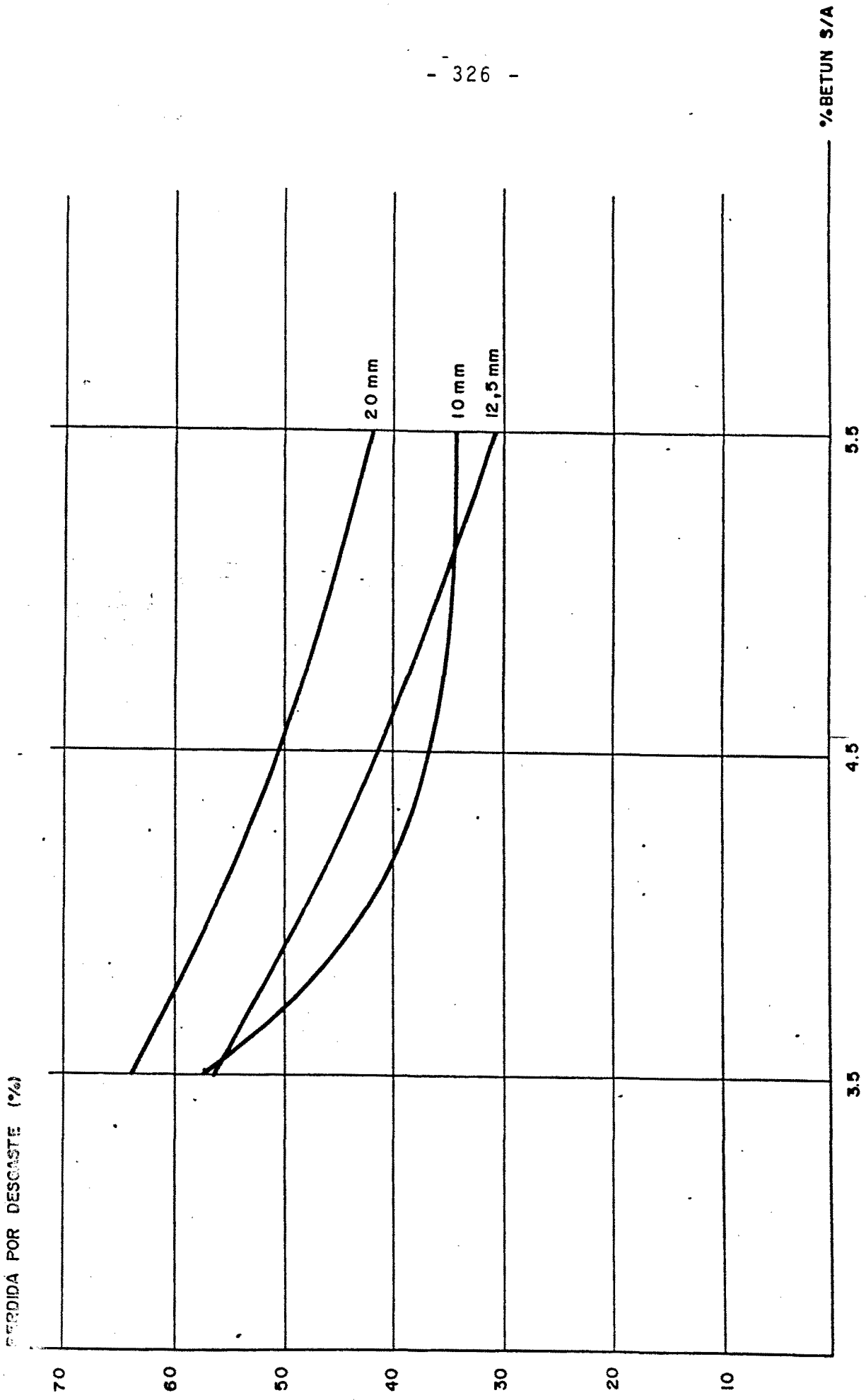


FIG. 6.16 . - VARIACION DE LA PERDIDA POR DESGASTE EN FUNCION DEL TAMAÑO MAXIMO
Y EL PORCENTAJE DE LIGANTE. GRANULOMETRIA PX (10, 2)

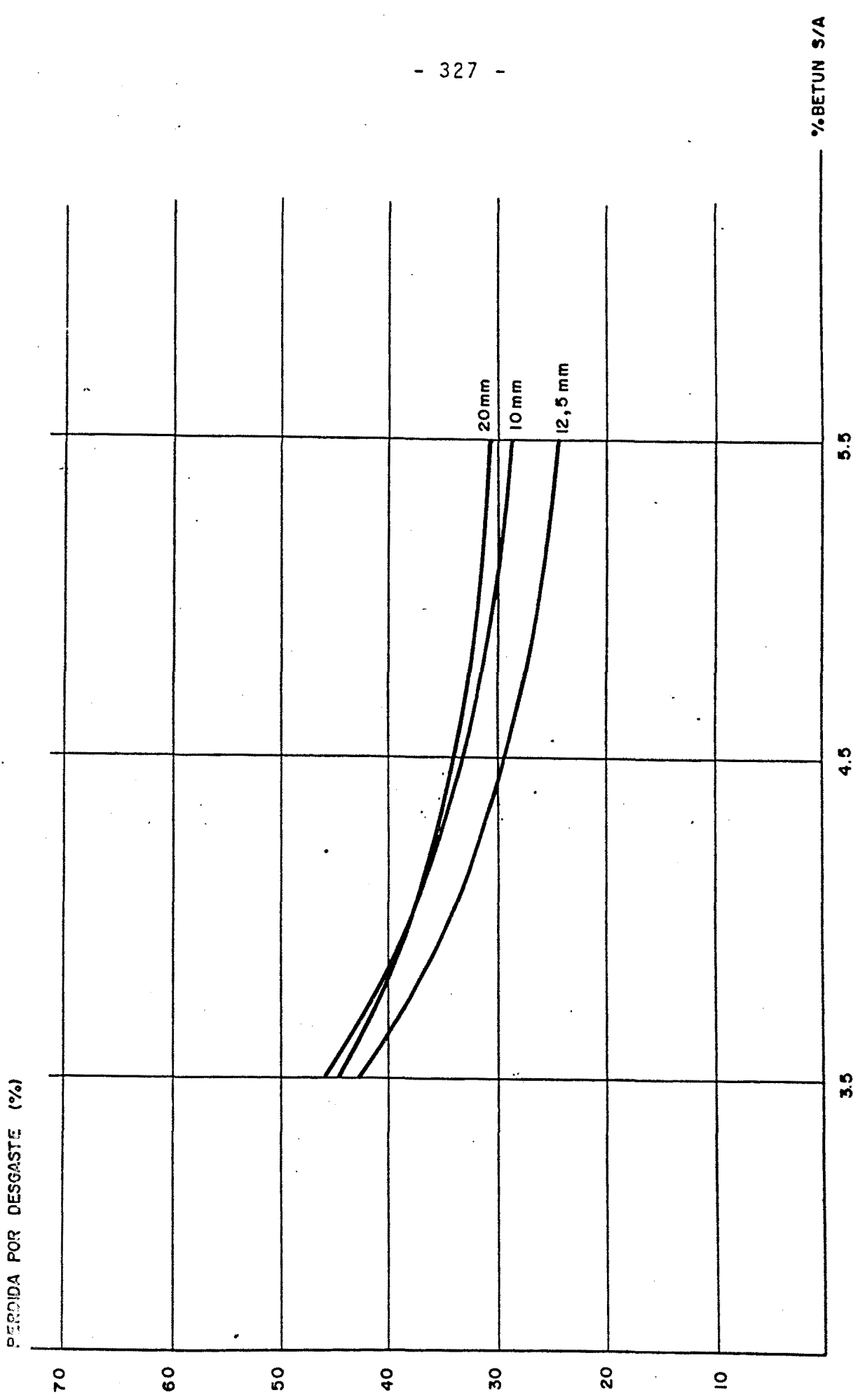


FIG. 6.17. - VARIACION DE LA PERDIDA POR DESGASTE EN FUNCION DEL TAMAÑO MAXIMO
Y EL PORCENTAJE DE LIGANTE. GRANULOMETRIA PX (10,4)

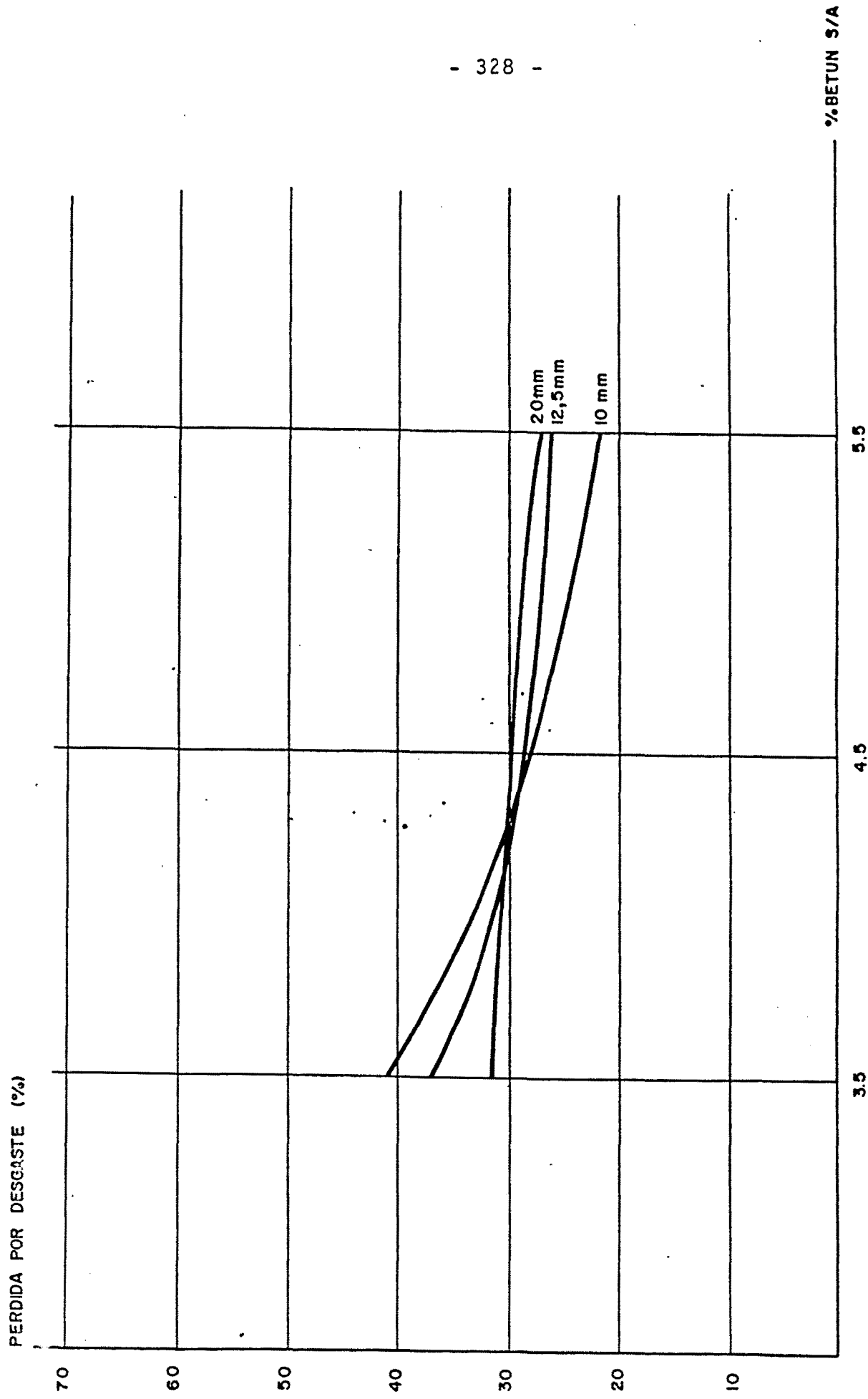


FIG. 6.18 . - VARIACION DE LA PERDIDA POR DESGASTE EN FUNCION DEL TAMAÑO MAXIMO
Y EL PORCENTAJE DE LIGANTE. GRANULOMETRIA PX (10,6)

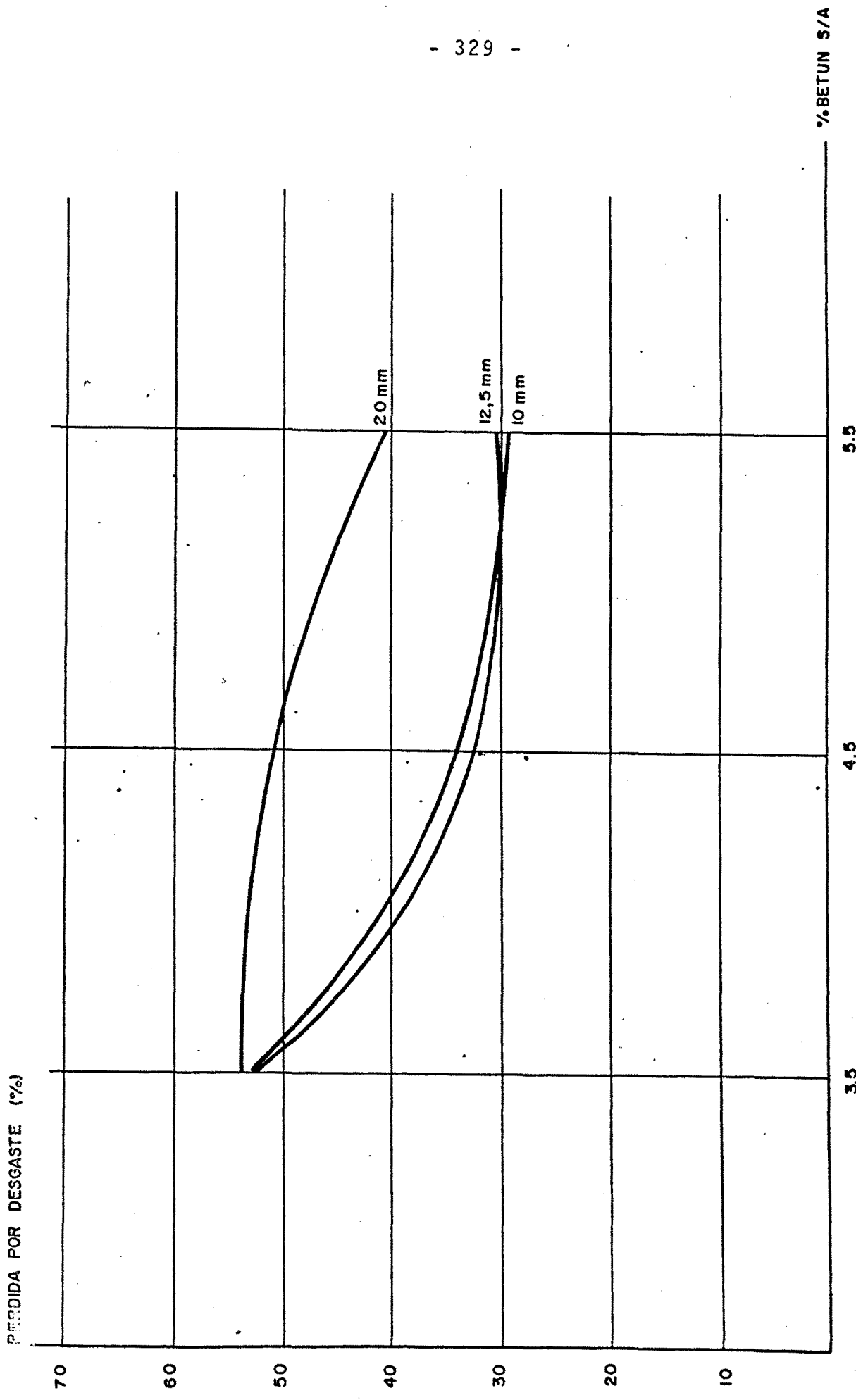


FIG. 6.19. - VARIACION DE LA PERDIDA POR DESGASTE EN FUNCION DEL TAMAÑO MAXIMO
Y EL PORCENTAJE DE LIGANTE. GRANULOMETRIA PX (15, 2)

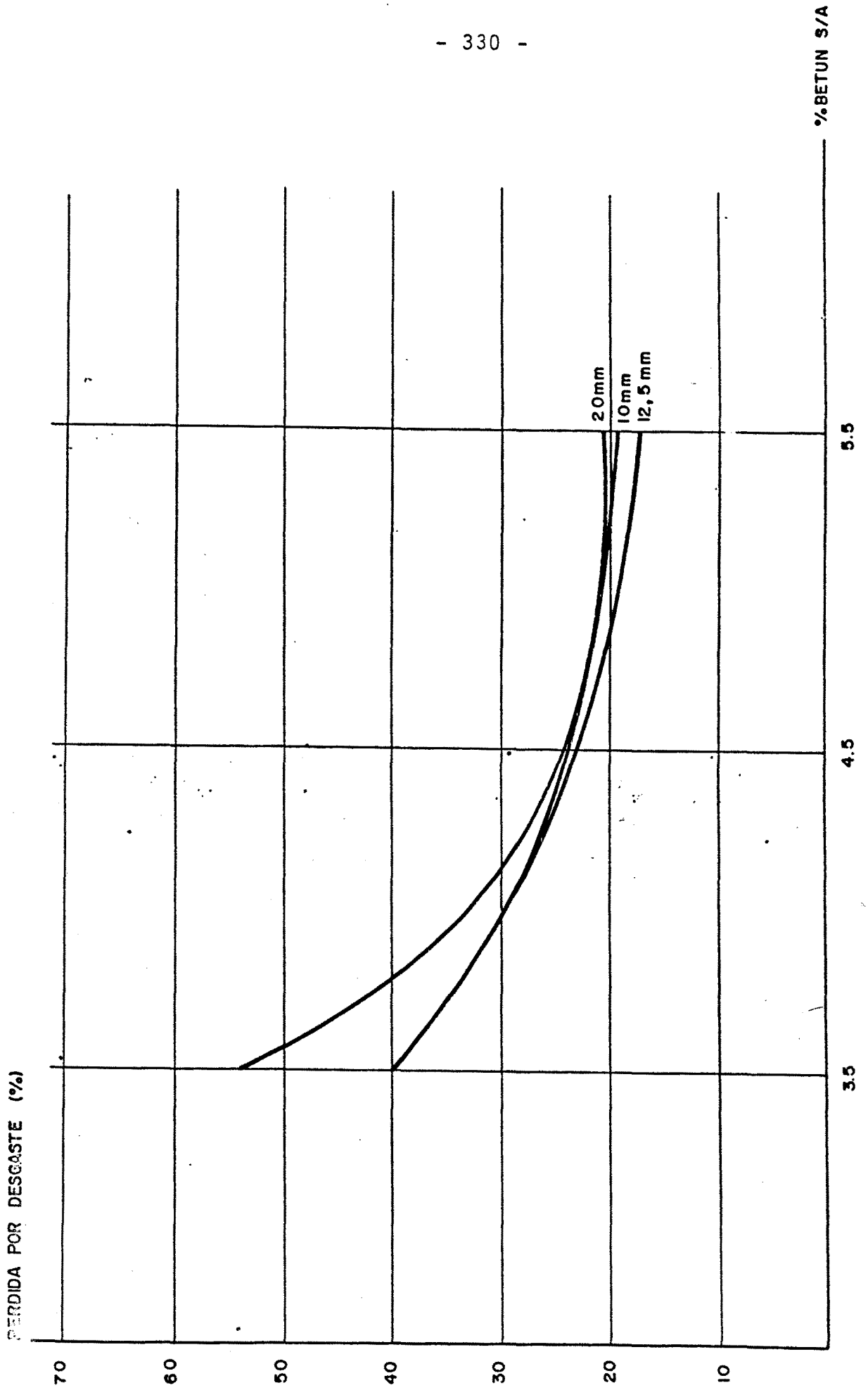


FIG. 6.20 - VARIACION DE LA PERDIDA POR DESGASTE EN FUNCION DEL TAMAÑO MAXIMO
Y EL PORCENTAJE DE LIGANTE. GRANULOMETRIA PX (15,4)

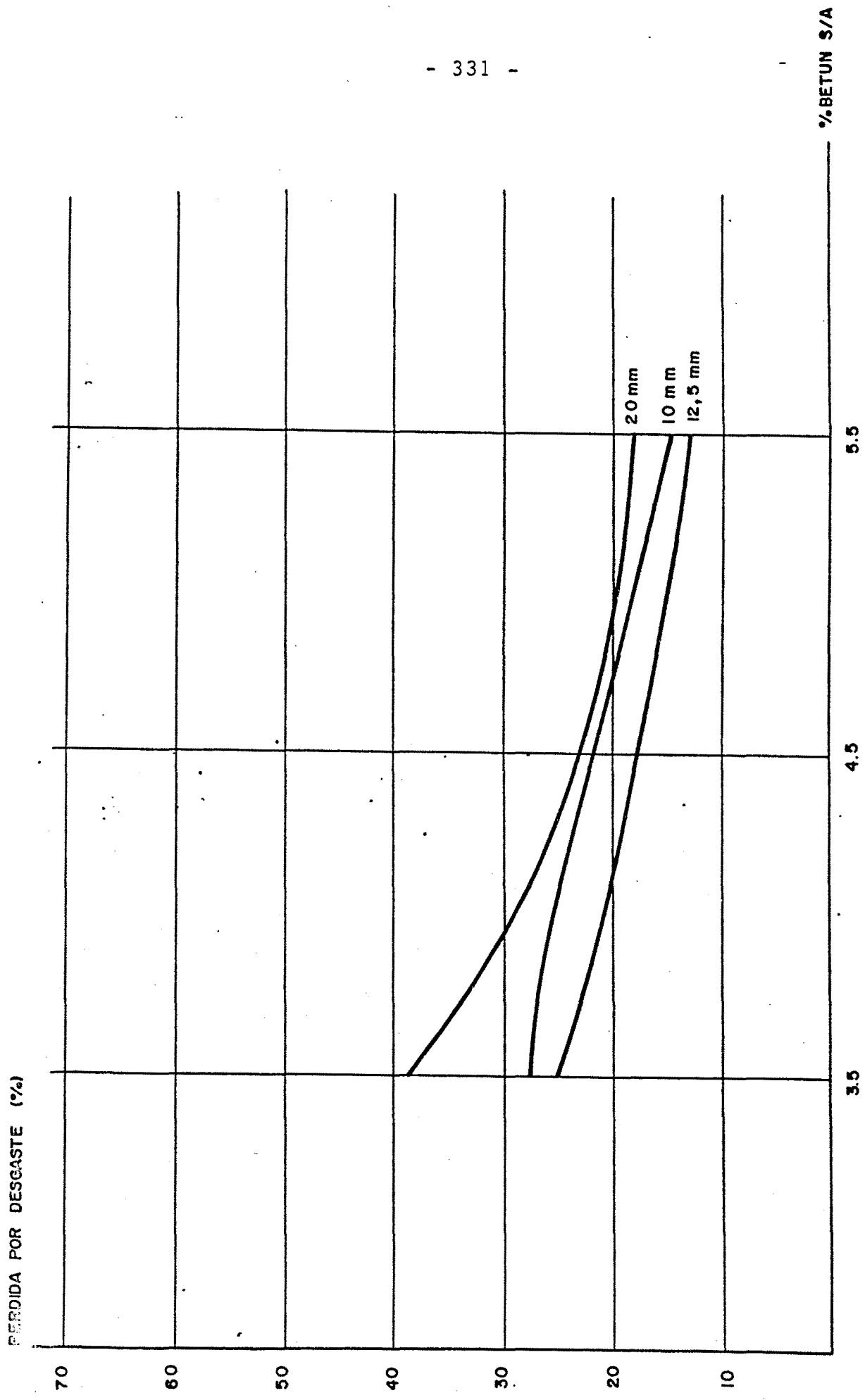


FIG. 6.21. - VARIACION DE LA PERDIDA POR DESGASTE EN FUNCION DEL TAMAÑO MAXIMO
Y EL PORCENTAJE DE LIGANTE. GRANULOMETRIA PX(15,6)

disgregación de la mezcla al aumentar su tamaño máximo, o bien, ser una característica propia del ensayo, como consecuencia de que al ser mayor el tamaño del arido desprendido, aumentase también el peso de pérdida por desgaste en mezclas de similar trabazón y cohesión.

A la hora de fijar unas recomendaciones sobre los valores mínimos a exigir en cuanto resistencia al desgaste, podría por tanto ser necesario considerar el tamaño máximo del árido empleado. No obstante, en la dosificación de estas mezclas es normal no utilizar tamaños superiores a los empleados en la fabricación de las mezclas tipo P-12 (100% del arido pasa por el tamiz 20 UNE, tamaño máximo del arido comprendido entre 12 y 20 mm). Para estas mezclas y las tipo P-10 (100% del arido pasa por el tamiz 12 UNE) prácticamente no existe diferencia entre los resultados.

6.1.4. INFLUENCIA DE LA ENERGIA DE COMPACTACION EN LA PERDIDA POR DESGASTE

Otro aspecto que se tuvo en cuenta a la hora de analizar el ensayo de perdida por desgaste fue la energía de compactación de las probetas, midiendo esta energía mediante el número de golpes de compactadora Marshall que recibe la probeta en cada una de sus caras.

Para realizar este estudio, se procedió a ensayar las granulometrías P-10 (10,4) y P10_15,4), fabricando 5 probetas por contenido de ligante: 3,5, 4,5 y 5,5 s/a, granulometría y energía de compactación. Las energías de compactación sobre las que se ha realizado el estudio han sido: 25, 50 y 75 golpes. En to-

tal el estudio se ha realizado sobre 90 probetas. Los resultados obtenidos al realizar la media de 5 probetas se recogen en las tablas 6.3 a 6.6.

En las figuras 6.22 y 6.23 se han representado la variación de la pérdida por desgaste en función de la energía de compactación, para las granulometrias P-10(10,4) y P-10 (15,4).

Una primera observación de los gráficos nos indica que a todo aumento de energía de compactación le corresponde una disminución de la perdida por desgaste. También se observa que al aumentar la energía de compactación de 25 a 50 golpes, porcentualmente, se produce una disminución de la perdida mayor que la obtenemos al aumentar la energía de 50 a 75 golpes.

Lo mismo ocurre con la relación huecos en mezcla y energía de compactación, figuras 6.24 y 6.25. Para la mezcla P-10 (10,4), aumentar la energía de 25 a 50 golpes supone una disminución del porcentaje de huecos de 4 puntos, mientras que el aumento de la energía de 50 a 75 golpes supone únicamente una reducción del porcentaje de huecos de 0,5 puntos. Para la mezcla P-10 (15,4) un aumento de la energía de 25 a 50 golpes supone una disminución de 4 puntos, mientras que un aumento de 50 a 75 golpes supone una disminución de 1,5 puntos.

6.2. ESTUDIO DE LA INFLUENCIA DE LA RELACION FILLER/BETUN EN LA RESISTENCIA A LA PERDIDA POR DESGASTE

Los resultados obtenidos en la evaluación del comportamiento de las mezclas porosas ante el ensayo Cántabro de pérdida por desgaste, ponen de manifiesto la notable influencia que tanto el filler como el betún tienen en el comportamiento de estas mezclas.

% BETUN	ENERGIA DE COMPACTACION		
	25	50	75
3.5	56,5	48,1	38,2
4.5	47,4	32,4	23,5
5.5	35,8	27,4	20,5

TABLA 6.3. INFLUENCIA DE LA ENERGIA DE COMPACTACION EN
LA PERDIDA POR DESGASTE DE UNA MEZCLA.
P.10(10,4).

% BETUN	ENERGIA DE COMPACTACION		
	25	50	75
3.5	25,4	22,1	21,9
4.5	24,3	20,1	19,8
5.5	22,4	18,0	17,5

TABLA 6.4. INFLUENCIA DE LA ENERGIA DE COMPACTACION EN
LA PERDIDA POR DESGASTE DE UNA MEZCLA P-10(10,4)

% BETUN	ENERGIA DE COMPACTACION		
	25	50	75
3.5	56,4	41,8	34,2
4.5	41,1	28,6	23,2
5.5	37,9	24,9	18,6

TABLA 6.5. INFLUENCIA DE LA ENERGIA DE COMPACTACION EN
LA PERDIDA POR DESGASTE DE UNA MEZCLA
P.10(15,4).

% BETUN	ENERGIA DE COMPACTACION		
	25	50	75
3.5	23.4	19.1	17.9
4.5	21,2	17,1	15,2
5.5	20,6	15,1	12,8

TABLA 6.6 .- INFLUENCIA DE LA ENERGIA DE COMPACTACION EN
LA PERDIDA POR DESGASTE DE UNA MEZCLA
P.10(15,4).

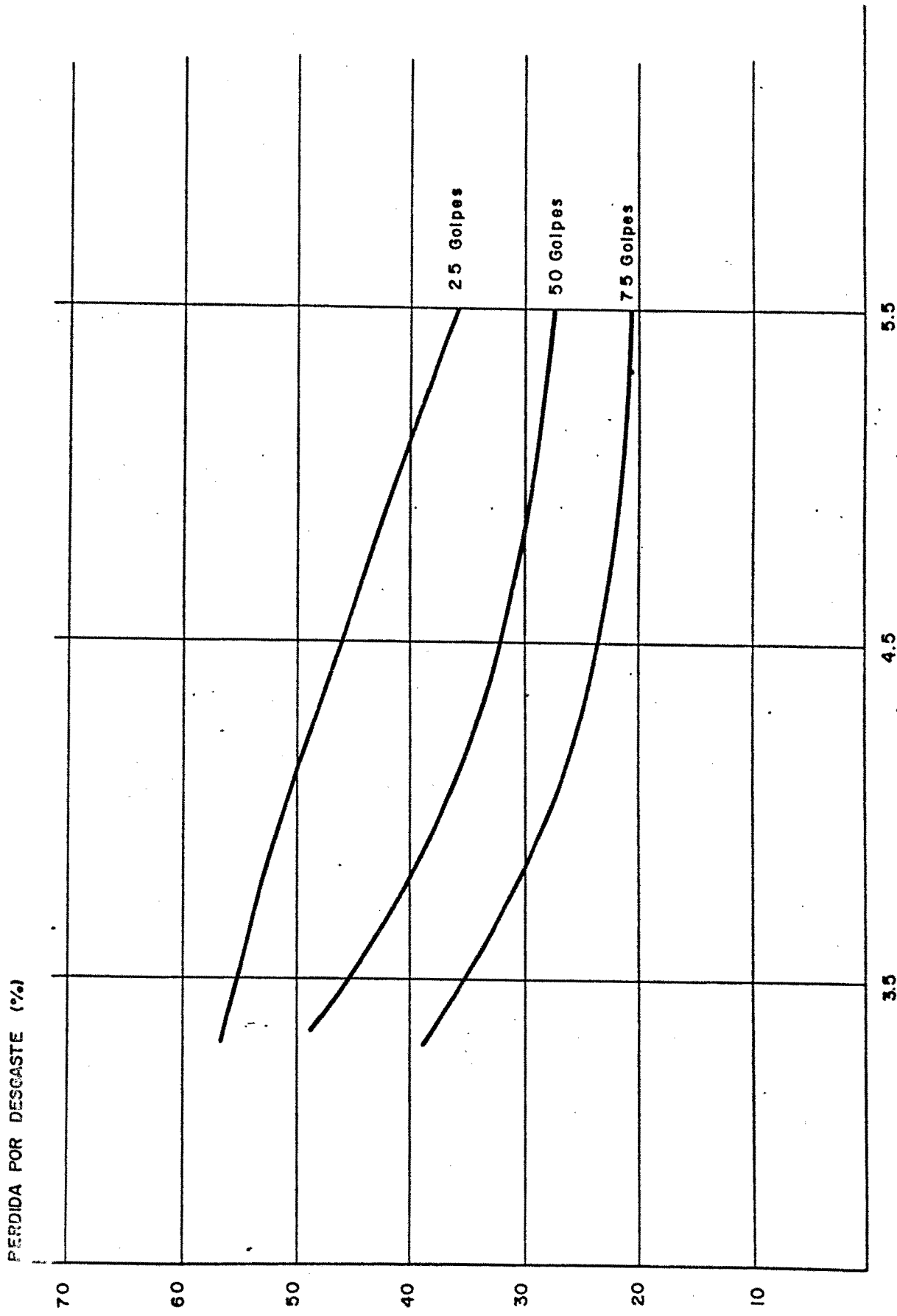


FIG. 6.22. - VARIACION DE LA PERDIDA POR DESGASTE DE LA ENERGIA DE COMPACTACION
Y EL PORCENTAJE DE BETUN : GRANULOMETRIA P-10 (10,4)

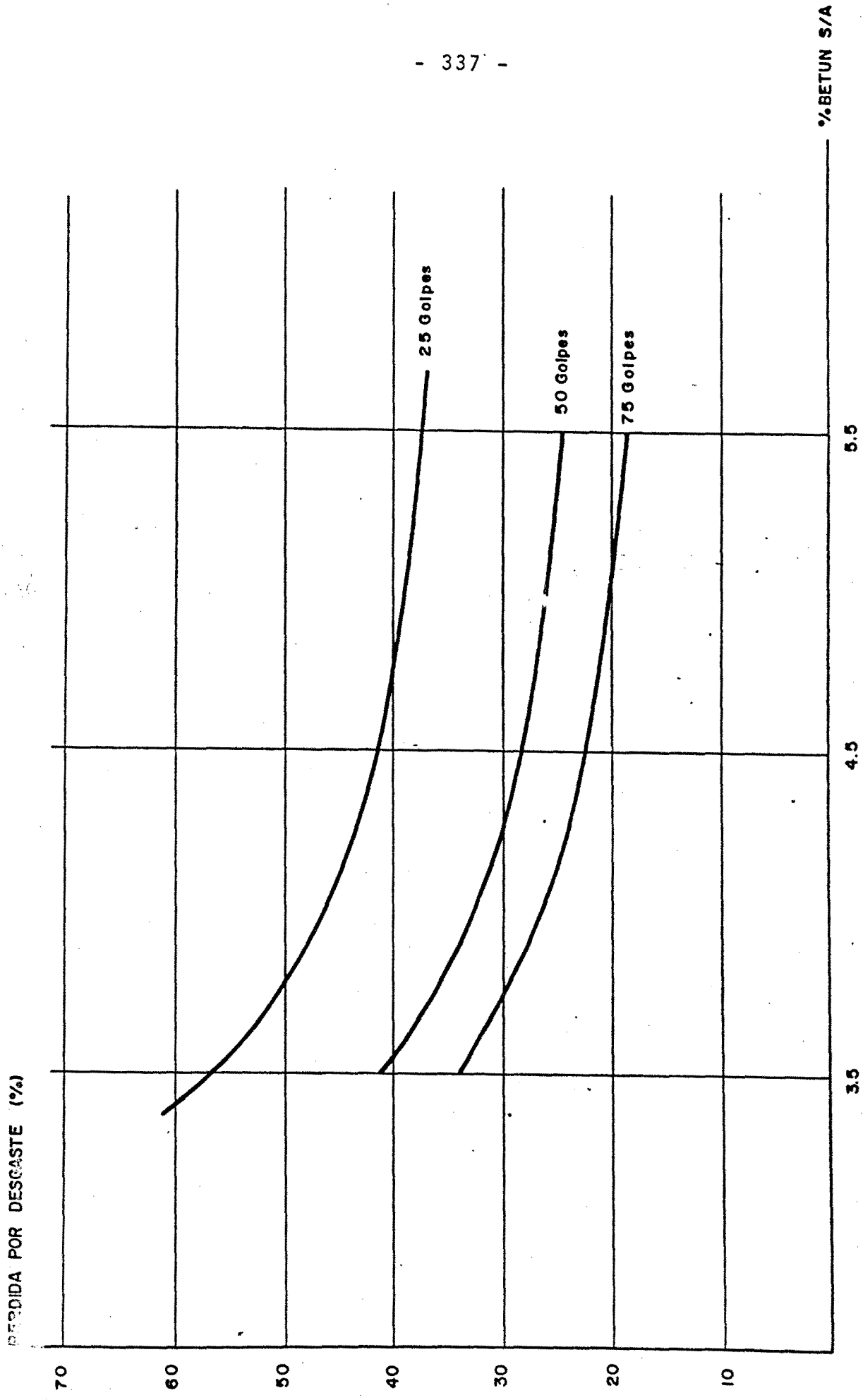


FIG. 6.23. - VARIACION DE LA PERDIDA POR DESGASTE DE LA ENERGIA DE COMPACTACION
Y EL PORCENTAJE DE BETUN . GRANULOMETRIA P-IO (15, 4)

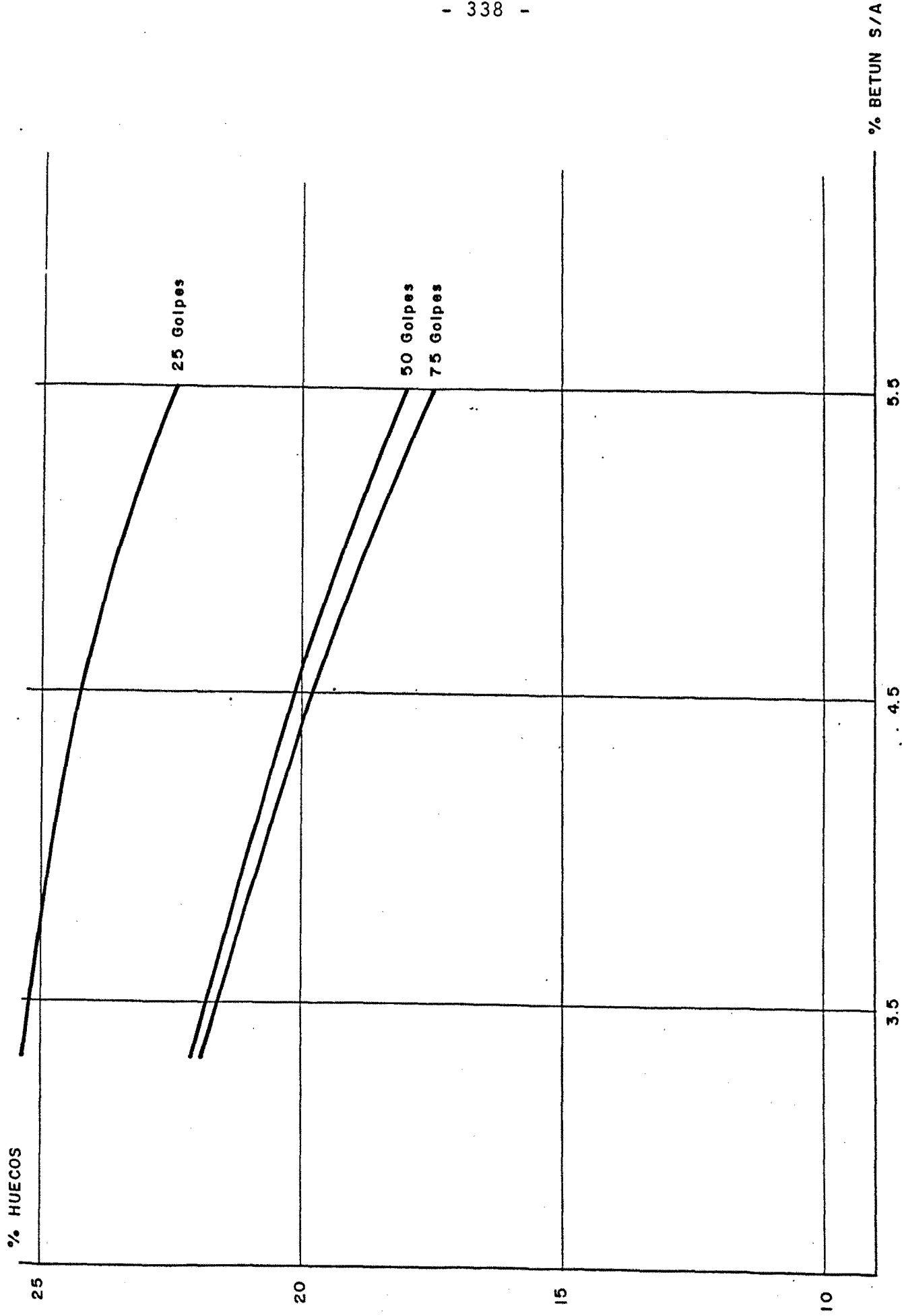


FIG. 6.24. - VARIACION DEL PORCENTAJE DE HUECOS CON LA ENERGIA DE COMPACTACION.
GRANULOMETRIA P-10(10, 4)

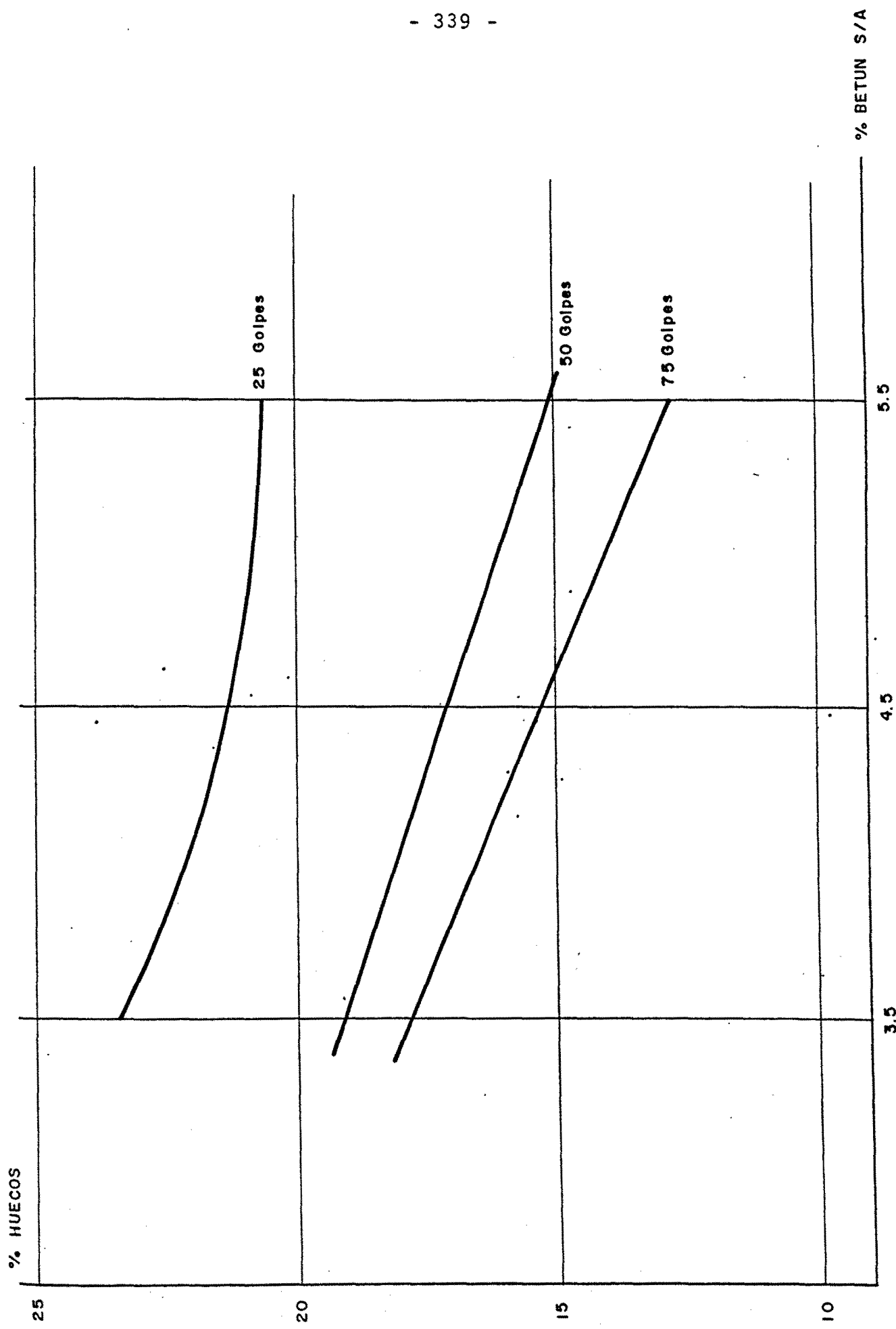


FIG. 6.25. - VARIACION DEL PORCENTAJE DE HUECOS CON LA ENERGIA DE COMPACTACION
GRANULOMETRIA P-10(15,4)

En el apartado anterior hemos analizado la influencia de cada uno de estos dos componentes por separado. Conviene realizarlo conjuntamente, ya que son principalmente las propiedades del mastic bituminoso, las que proporcionan a la mezcla su resistencia a la deformación y a la disgregación.

El filler se adiciona a las mezclas bituminosas con el fin de aumentar su estabilidad y resistencia. Al mezclarse el filler con el betún, se ven modificadas las propiedades de éste, aumentando notablemente su viscosidad.

Este aumento en la viscosidad del betún supone una mayor resistencia a la deformación de la mezcla. Ahora bien, si continuamos aumentando la relación filler/betún, el mastic va perdiendo su ductilidad, su resistencia a la deformación, se vuelve más agrio y rompe fragilmente.

Esto puede observarse en las figuras 6.26 y 6.27 donde se representa la variación de la viscosidad de un ligante y de su resistencia a la deformación al modificar la relación filler/betún.

El óptimo en la relación filler/betún ya a depender de las características del filler y del ligante y también, naturalmente, de la propiedad que queramos optimizar. No es lo mismo optimizar la ductilidad ($f/b=0$), que aumentar su viscosidad ($f/b=3$), figura 6.26, para el filler calizo. En nuestro caso vamos buscando un aumento de la viscosidad y resistencia a la deformación del ligante, pero sin que esto suponga un aumento de su fragilidad.

Los resultados obtenidos muestran que este óptimo en la relación filler/betún depende del porcentaje de betún empleado y de las características de la mezcla, pero que en todos los casos existe una relación filler/betún a que se consigue una resistencia óptima al

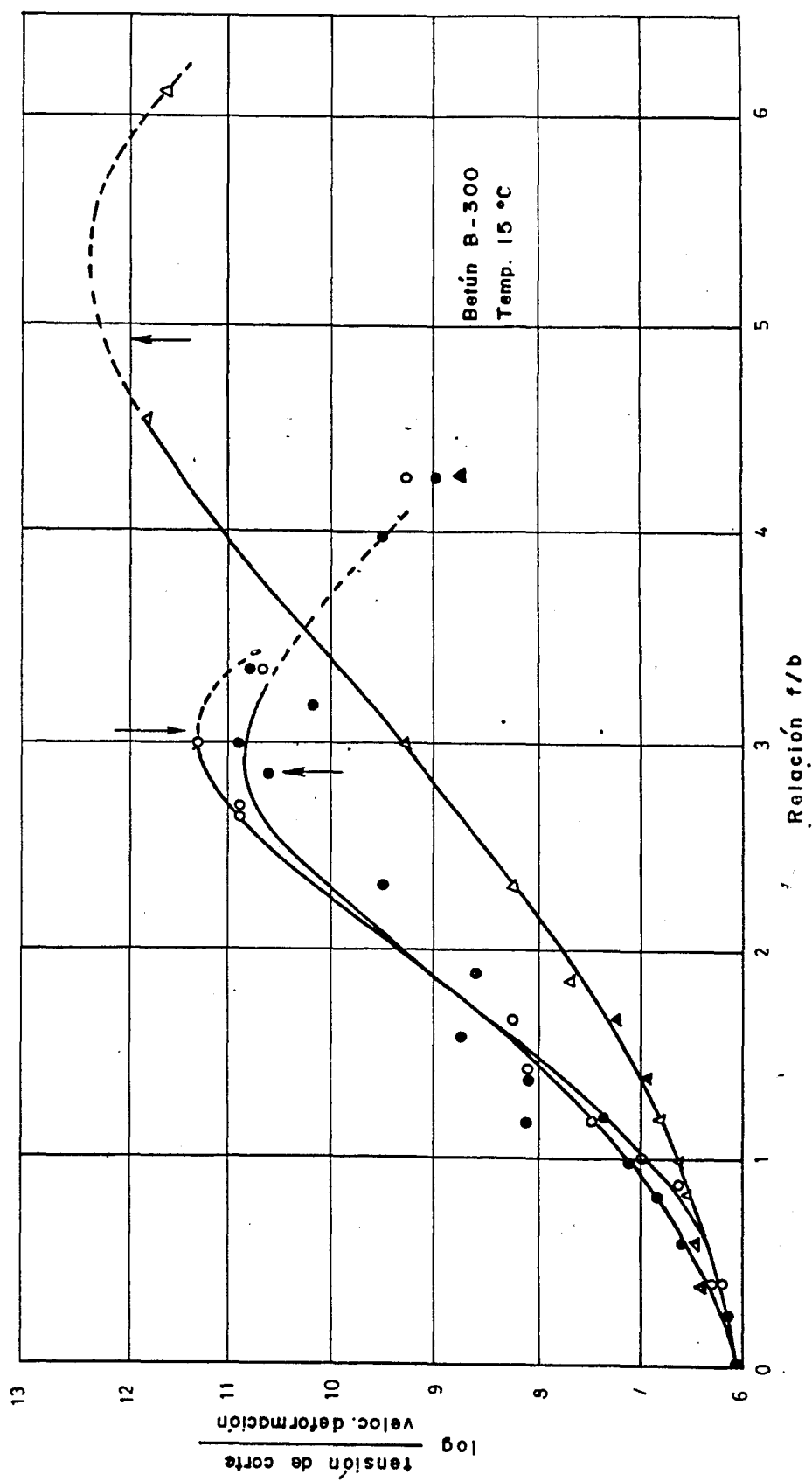


FIG. 6.26. - EFECTO DE LA CONCENTRACION DE FILLER SOBRE LA VISCOSIDAD DE UN BETUN (RIGDEN)

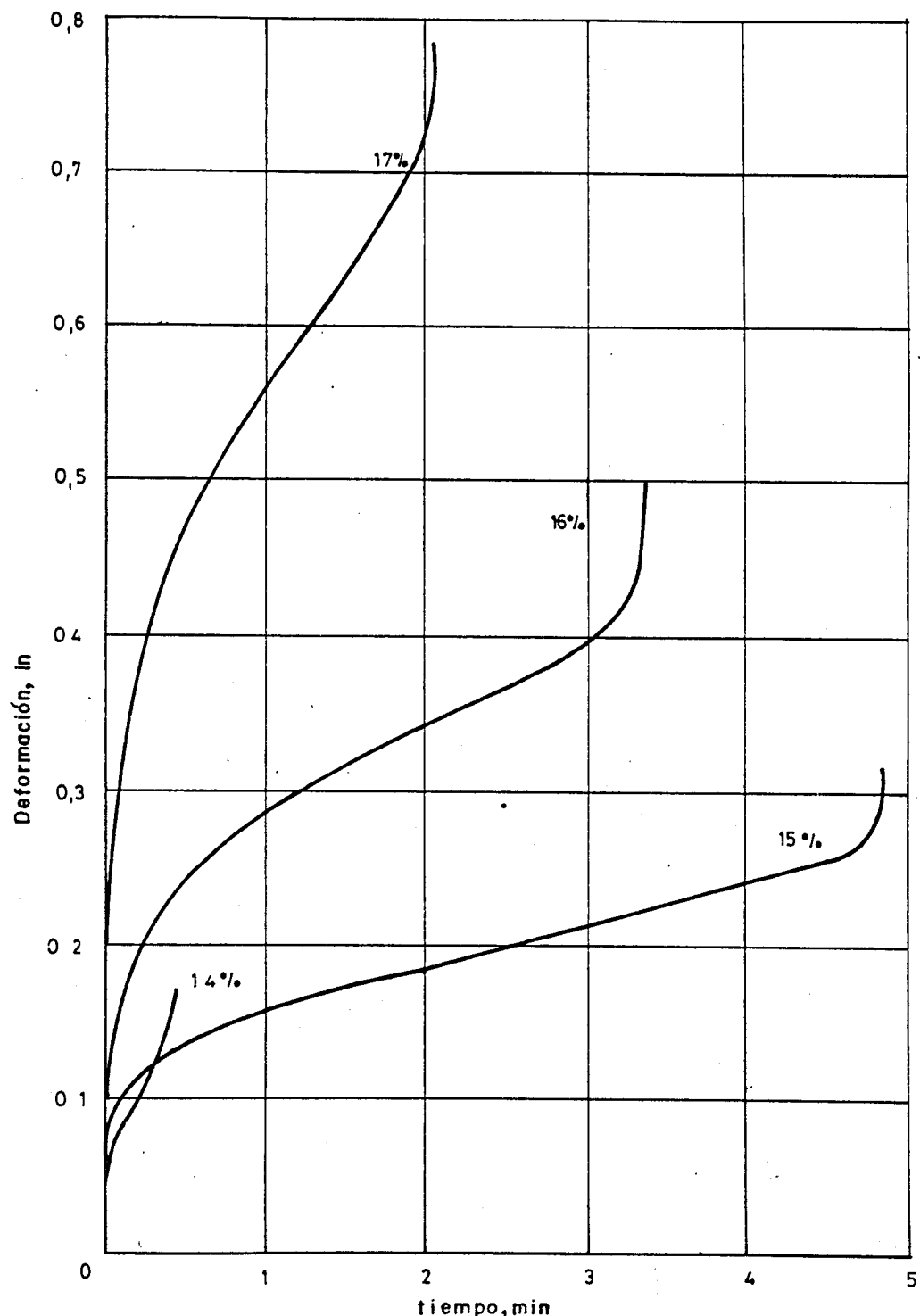


FIG. 6.27.- CURVAS DE FLUENCIA MOSTRANDO EL EFECTO
DEL PORCENTAJE DE FILLER EN LA MEZCLA
(RIGDEN)

desgaste.

Este estudio ha sido realizado con una granulometría tipo P-10(15,X) de la que se han fabricado tres series distintas de probetas, en las que se han mantenido los porcentajes de betún empleados en cada una de ellas, 3,0, 4,25 y 5,5% y en las que se ha modificado la relación filler betún desde 0 hasta 5.

Los áridos empleados son ofíticos, al igual que en el estudio anterior. El ligante es un betún de penetración B-60/70 y se ha empleado cemento PA-350, como filler de aportación.

Los valores obtenidos en el ensayo de estas tres series de mezclas están recogidos en las tablas 6.7 y 6.8 han sido representados en las figuras 6.28 6.29 y 6.30.

La influencia de la relación filler/betún en la respuesta de la mezcla en el ensayo de desgaste, puede observarse claramente en la figura 6.28, donde se representa la variación de la pérdida de desgaste con el incremento en la relación filler/betún, para los tres porcentajes de betún ensayos, 3,0, 4,25 y 5.5.

En los tres casos se observa que manteniendo el porcentaje de betún, la perdida por desgaste disminuye al aumentar la relación filler/betún, hasta alcanzar un valor, que claramente se observa en la curva del 3,5 de ligante, en que la mezcla se hace menos resistente y aumenta rápidamente las perdidas

		RELACION FILLER/BETUN					
SERIE	% BETUN	0	0,6	1,0	1,4	2,2	2,6
1	3	71,3	66,3	52,7	50,4	32,1	26,5
2	4,25	42,2	34,6	24,4	21,4	14,5	11,7
3	5,5	33,2	19,7	14	12,4	10,1	10,3

* 5% Betún

TABLA 6.7. ESTUDIO DE LA RELACION FILLER/BETUN. VALORES MEDIOS DE LA PERDIDA POR DESGASTE.

RELACION FILLER/BETUN							
SERIE	% BETUN	0	0,6	1,0	1,4	2,2	2,6
1	3	25,2	24,7	23,6	23,9	21,9	21,4
2	4,25	22,4	21,1	20,3	20,4	17,9	17,4
3	5,5	21,2	19,1	18,3	16,7	15,0	14,6

* 5% Betún

TABLA 6.8. ESTUDIO DE LA RELACION FILLER/BETUN. VALORES MEDIOS DE LA POROSIDAD.

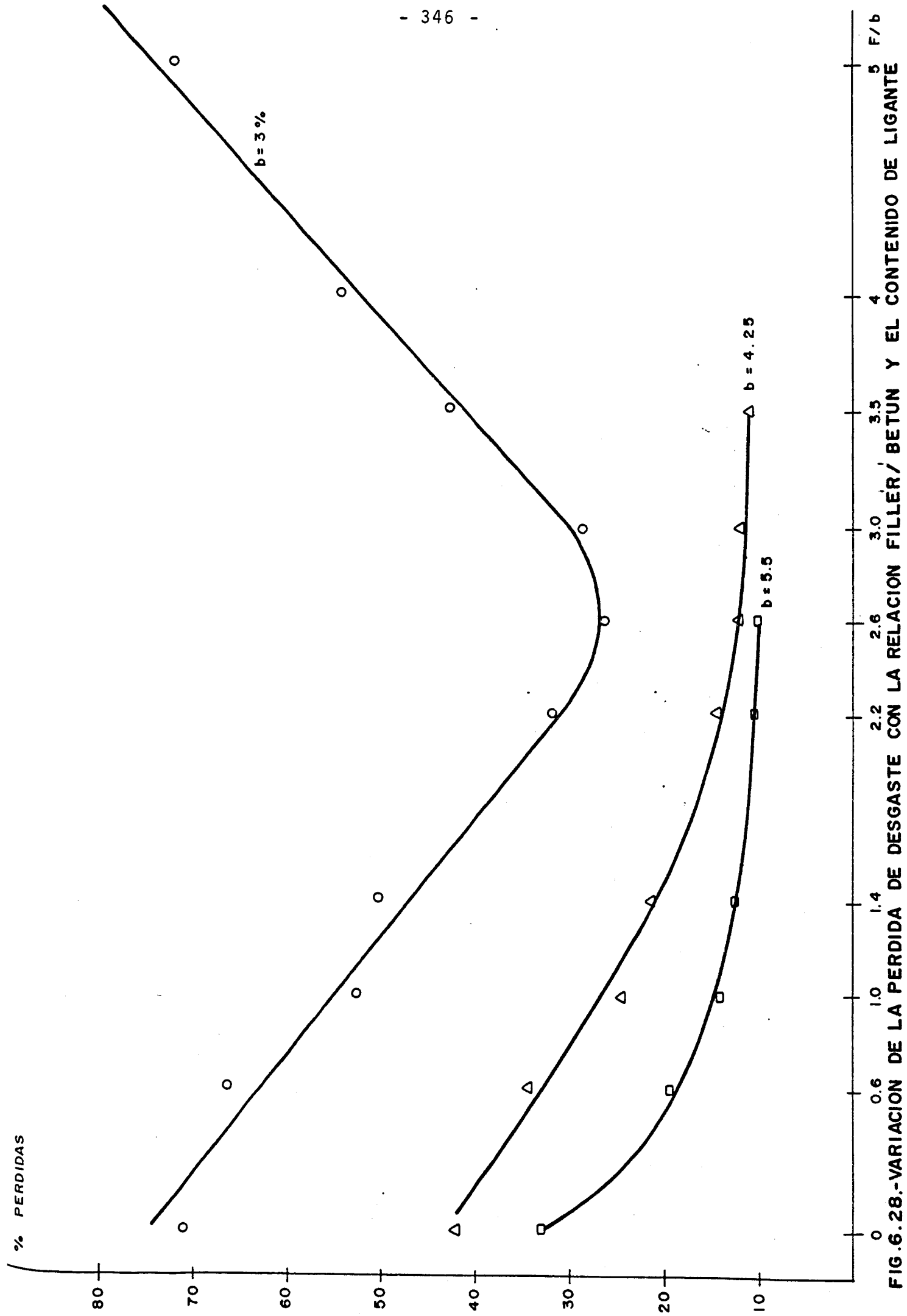


FIG. 6.28.-VARIACIÓN DE LA PERDIDA DE DESGASTE CON LA RELACION FILLER / BETUM Y EL CONTENIDO DE LIGANTE

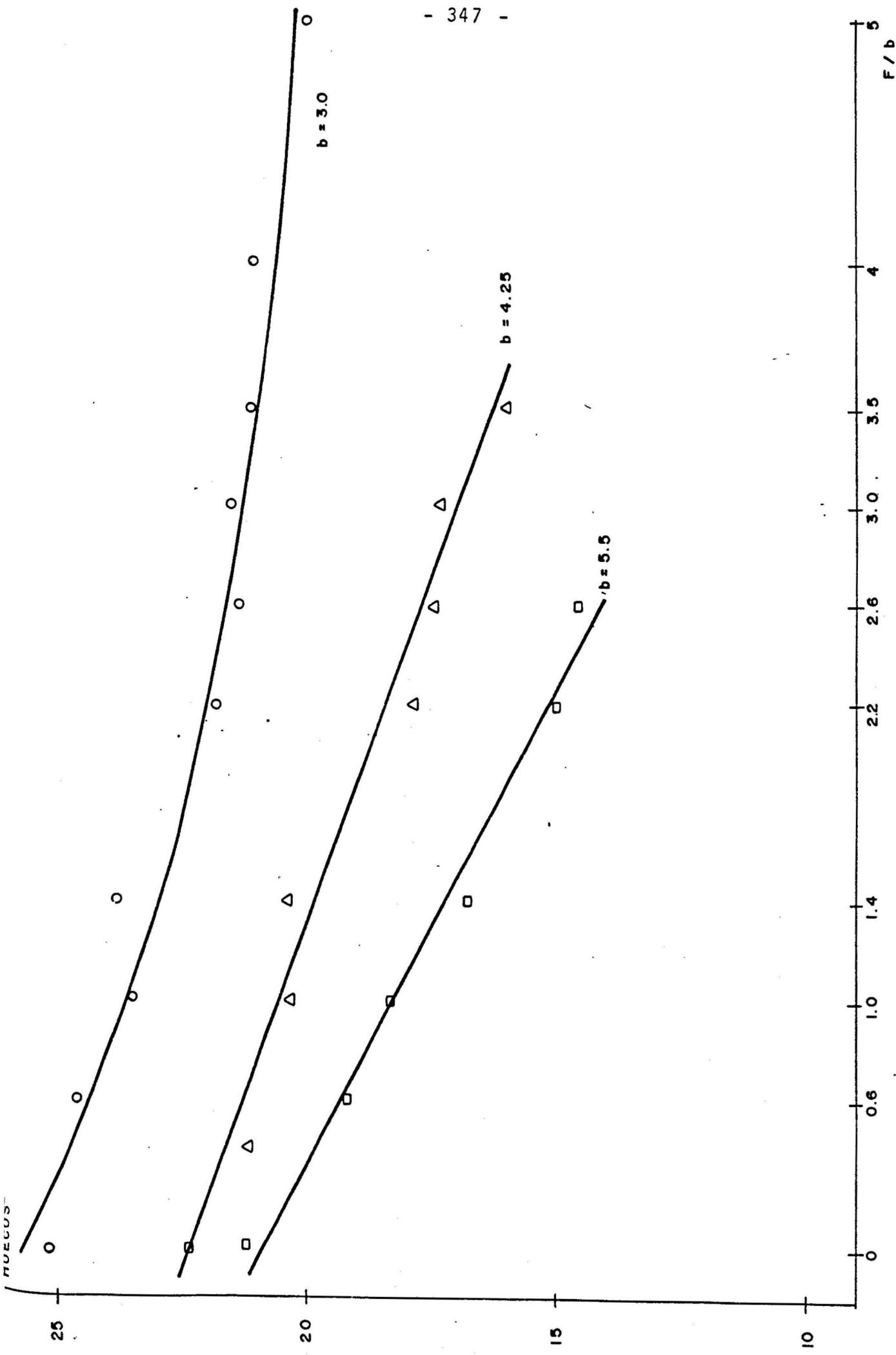


FIG. 6.29.- VARIACION DEL PORCENTAJE DE HUECOS

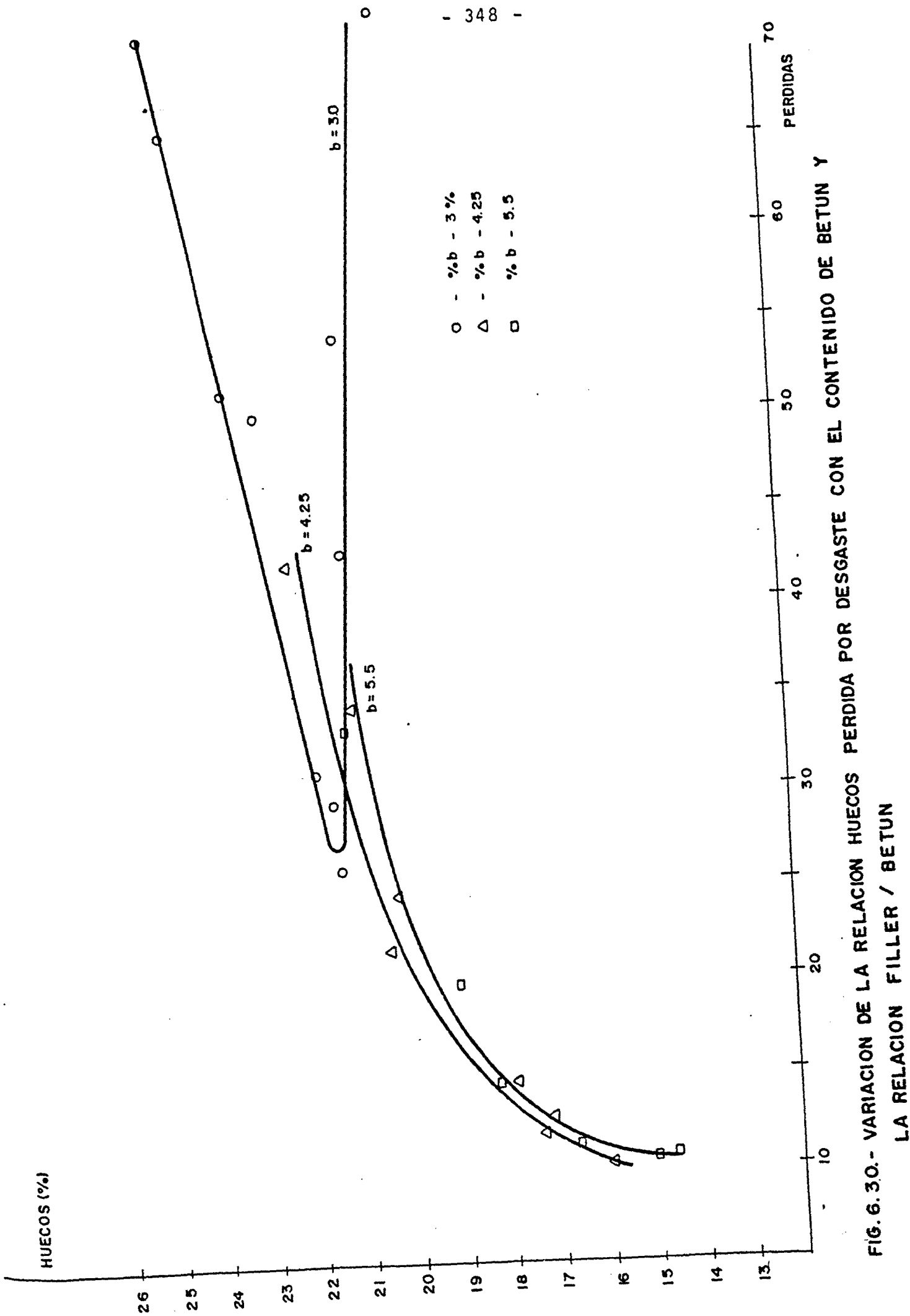


FIG. 6.30.- VARIACION DE LA RELACION HUECOS PERDIDA POR DESGASTE CON EL CONTENIDO DE BETUN Y LA RELACION FILLER / BETUN

por desgaste. Este aumento de la perdida por desgaste ha de estar relacionado con la modificación de las propiedades del mastic, ya que la mezcla continua cerrando huecos y aumentando su compacidad, como puede observarse en la figura 6.29. Esto puede observarse también en la figura 6.30, donde se representa la variación de huecos-pérdidas para la mezcla ensayada.

CAPITULO 7

CONCLUSIONES

7. CONCLUSIONES

Se recogen aquí los resultados obtenidos al aplicar el ensayo Cántabro de pérdida por desgaste en la caracterización de mezclas bituminosas de granulometría abierta, fabricadas en caliente, empleadas como capa especial de rodadura, mezclas bituminosas porosas.

1. Las capas de mezcla bituminosa porosa, constituyen un tipo especial de pavimento, adecuado para mejorar las condiciones de seguridad y comodidad del tráfico rodado, particularmente, a altas velocidades y/o en presencia de lluvia.
2. El fallo de este tipo de pavimentos se produce como consecuencia de la disgregación de la mezcla por el efecto de los esfuerzos tangenciales del tráfico, con la consiguiente aparición de baches, peladuras, pérdida de la regularidad longitudinal y transversal, etc.
3. Los ensayos mecánicos empleados en la dosificación y caracterización de mezclas bituminosas no resultan satisfactorios cuando son aplicados al proyecto de mezclas bituminosas de granulometría abierta, que van a ser empleadas como capa de rodadura.

En general, esto es debido, o bien a la falta de sensibilidad que presenta el ensayo ante la variación de la composición de la mezcla, o bien por estar relacionado con otras propiedades de la mezcla distintas de la resistencia a la disgregación.

3.1. Ensayo Marshall. Los resultados obtenidos al aplicar el ensayo Marshall ponen de manifiesto la poca sensibilidad de este ensayo a las variaciones del contenido de ligante, a la vez que, muestra una notable dispersión en los resultados. Los coeficientes de variación oscilan de 0.07 a 0.1 para la estabilidad Marshall y de 0.15 a 0.27 para la deformación Marshall.

Por otra parte, el contenido óptimo de ligante determinado con este ensayo, 2-2,5%, correspondiente a la máxima estabilidad Marshall, no coincide con los porcentajes de ligante más adecuados para emplear con estas mezclas, comprendidos entre 4 y 5%.

3.2. Ensayo de tracción indirecta. Los resultados obtenidos al aplicar este método, nos indican que tanto para las diferentes velocidades de rotura empleadas (0.4-4 y 40 mm/min.) como para las distintas temperaturas de ensayo (15 y 30°C) las dispersiones son elevadas en la determinación de la tensión y deformación de rotura. Por otra parte, para los porcentajes empleados habitualmente, en este tipo de mezclas, el ensayo no muestra susceptibilidad a las variaciones del ligante.

Lo mismo ocurre con los valores obtenidos en la determinación del módulo de rigidez instantáneo de la mezcla, que muestran a parte de una gran variabilidad y dispersión de resultados, una falta de sensibilidad a la variación de los componentes de la mezcla.

3.3. Ensayo de cohesiométrico Hveem. La aplicación de éste ensayo a 25°C ha mostrado una notable dispersión de resultados, con coeficientes de variación que oscilan de 0.08 a 0.17. Este efecto junto con el aumento del valor de la cohesión, que se produce al disminuir el contenido de ligante y de finos, comportamiento diferente al que se produce en la práctica, hacen que este método no parezca adecuado para la dosificación de mezclas bituminosas cuando se emplean en capa de rodadura.

3.4. Ensayo en pista de laboratorio. Los resultados de este ensayo muestran sensibilidad a los contenidos de ligante y de filler. Pero tienen el inconveniente de corresponder a un modo de deterioro que no es frecuente en este tipo de mezclas, deformaciones plásticas en zona de rodadura. También se observa que la resistencia a la deformación disminuye al aumentar el contenido de ligante, mientras que en las mezclas bituminosas porosas un aumento del contenido de ligante se muestra beneficioso, ya que impide que se desprendan los áridos que componen la mezcla.

3.5. Ensayo en máquina giratoria. La aplicación de este ensayo muestra su poca idoneidad cuando se aplica a la dosificación de mezclas abiertas. El ángulo giratorio permanece constante e independiente del contenido de ligante y granulometría empleada así como del número de vueltas a que se somete a la mezcla. También se observa este mismo

respuesta para la estabilidad giratoria.

4. Frente a la falta de idoneidad de los ensayos mecánicos analizados en la caracterización de mezclas de granulometría abierta, el ensayo cántabro de pérdida por desgaste permite valorar de una manera cómoda y precisa la resistencia a la disgregación de estas mezclas.

4.1. Para una mezcla dada, la pérdida por desgaste disminuye a medida que aumenta su contenido de betún, pero esta disminución, que es rápida cuando los contenidos de betún son bajos, llega a ser moderada cuando el porcentaje de betún ha llegado a dar suficiente trabazón y cohesión a la mezcla. Es decir, que se observa generalmente un cierto cambio de pendiente en las curvas % pérdida por desgaste - % de betún, que podría corresponder a un contenido de ligante suficiente para evitar la disgregación de la mezcla.

4.2. El ensayo repite con facilidad, la dispersión de los resultados es pequeña a la vez que muestra una gran sensibilidad a la variación de los componentes de la mezcla.

4.3. La precisión del ensayo, varianza asociada al proceso de medida de la $\sqrt[3]{P}$, siendo P la pérdida por desgaste en tanto por uno, es de $S^2 = 5.43 \times 10^{-4}$. Esta varianza se pude su-

poner constante e independiente de las características de las mezclas ensayadas.

4.4. El coeficiente de variación del ensayo está comprendido, para las mezclas y granulometrías estudiadas entre 0.028 y 0.046. Es decir, la desviación típica del ensayo es inferior en todos los casos al 5% del valor medido.

4.5. Un indicador de la sensibilidad del ensayo a los componentes de la mezcla es el alto coeficiente de correlación obtenido $r = 0.97$, para el ajuste establecido entre $\sqrt[3]{P}$ ($P =$ pérdida por desgaste en tanto por uno) y las características de la mezcla: contenido de betún, árido fino y fíller.

5. El valor de la pérdida por desgaste de una mezcla es sensible a las variaciones de la temperatura. Observándose una disminución de la pérdida por desgaste al aumentar la temperatura.

5.1. El efecto de la temperatura es tanto mayor cuanto menor es el porcentaje de finos de la mezcla y mayor sea el porcentaje de betún. Obteniéndose por término medio variaciones de la pérdida de 5 a 10 puntos cuando se modifica en 5°C la temperatura de ensayo.

5.2. A partir de los resultados obtenidos en el estudio de la temperatura, se ha determinado un factor de corrección,

que permite expresar el valor de la pérdida por desgaste a la temperatura de 18°C, temperatura normalizada para el ensayo, en el caso de que este hubiera realizado a otra temperatura.

6. En la aplicación del ensayo de desgaste cántabro a la caracterización de mezclas porosas, se han obtenido las siguientes conclusiones:

6.1. Las pérdidas por desgaste disminuyen a medida que aumenta el porcentaje de ligante, de filler y el contenido de finos, siendo especialmente sensible a la variación de los dos primeros.

6.2. Para las mezclas ensayadas los valores obtenidos para la pérdida por desgaste varian entre un 71%, para la mezcla P-20(10,2) con el 3,5% de betún, y el 13%, para la mezcla P-12(15,6) con un 5,5% de betún.

6.3. Influencia del contenido de betún. Dentro del rango de estudio (3,5% a 5,5%), a todo aumento del contenido de ligante le corresponde una disminución de la pérdida. Siendo este efecto más ostensible cuanto mas bajo sea el porcentaje de ligante o el contenido de finos de la mezcla. Esta disminución de la pérdida puede alcanzar valores de 33 puntos cuando se aumenta el contenido de ligante de 3.5 a 5.5%, siendo normales disminuciones de 15 a 25 puntos.

6.4. Influencia del filler. Al igual que sucede con el contenido de ligante, a todo aumento del contenido de filler le corres-

ponde una disminución de la pérdida, que es porcentualmente menor cuanto mayor sea el porcentaje de filler. Además el aumento de contenido de filler tiene la ventaja de disminuir las pérdidas de la mezcla sin reducir sensiblemente la porosidad de la misma.

6.5. Influencia de los finos. El aumento del contenido de finos produce también una disminución importante de la pérdida, aunque no llega a reducciones tan espectaculares como las obtenidas al aumentar los porcentajes de filler y de betún. Un aumento del 10 al 15% en el contenido de árido fino, apenas supone una reducción de 7 a 10 puntos en la pérdida por desgaste, mientras que variaciones de betún del 3,5% al 5,5% y del filler de 2 al 6% suponen a veces disminuir la pérdida entre 20 y 25 puntos.

6.6. Influencia del tamaño máximo. De los resultados obtenidos en el ensayo de mezclas fabricadas con diferentes tamaños máximos, se observa que las mezclas con un tamaño máximo de 20 mm, generalmente, tienen una pérdida por desgaste superior a las fabricadas con un tamaño máximo de 12,5 mm y 10 mm. El obtener estos resultados puede ser debido a una pérdida de la resistencia a la disgregación al aumentar el tamaño máximo, o bien, ser consecuencia del ensayo, debido al mayor tamaño de las partículas de árido desprendidos.

6.7. Influencia de la relación filler/betún. Para un porcentaje de ligante , la pérdida por desgaste disminuye a medida que se aumenta la relación filler betún, hasta alcanzar un valor a partir del cual la mezcla se hace menos resistente y aumenta rápidamente las pérdidas. Cuando los porcentajes de filler son bajos, aumentar su contenido produce un aumento de la viscosidad del betún, con la consiguiente disminución de las pérdidas. Pero si se continúa aumentando la relación filler/betún, el mastic pierde ductilidad, haciéndose más agrio y rompe fragilmente.

6.8. Para las mezclas ensayadas la máxima resistencia al desgaste se ha obtenido para las relaciones de filler/betún del 2.6 para un contenido de ligante de 3.0%. Con contenidos de ligante de 4.25 y 5.5 se observa que la pérdida por desgaste no disminuye para las relaciones filler/betún superiores a 2.6.

7. El ensayo de pérdida por desgaste se presenta como un procedimiento adecuado para su empleo en laboratorio en la caracterización de estas mezclas ante los efectos de disgregación del tráfico. Labor importante es ahora determinar una relación entre los valores obtenidos en laboratorio, y el comportamiento bajo el tráfico de estas mezclas. A nuestro entender, este debe ser una de las principales vías de investigación que debe seguirse para completar la labor iniciada.

Otro campo muy importante sería el estudio de su aplicación
a la caracterización de mezclas abiertas en frío.

BIBLIOGRAFIA

AJOUR, A.M.

Problem of bond between bituminous binders and aggregates
Tecnical Committee RILEM 17 BM. LCPC. París, 1979.

ARQUIE, G.

Compactación en carreteras y aeropuertos
Editores técnicos asociados. Barcelona, 1972.

BALAGUER, E. y ELVIRA, J.L.

Curso de reciclado y conservación de carreteras
E.T.S. de Ing. de Caminos de Madrid, 1979.

BALAGUER, E; ELVIRA, J.L.; FERNANDEZ del CAMPO, J.

Firmes de Carreteras Tomos I y II

E.T.S. de Ing. de Caminos de Madrid, 1979.

BALAGUER, E.; KRAEMER, C.

Elementos de ingeniería de tráfico

E.T.S. de Ing. de Caminos de Madrid, 1974.

BARBE, B.; LINDER, R.

Nouvelle metologie d'etude des enrobés

Boll. Liason Laboratoire Ponts et Chaussees N°116.
París 1982.

BORRAJO, J.

Caracterización de la resistencia a las deformaciones plásticas de las mezclas bituminosas mediante el ensayo en pista de laboratorio.

Tesis Doctoral. Universidad Politécnica de Madrid.

BOX, G.E.P. and CAX, D.R.

An analysis of transformations

J. Roy Stat. Series B, 16, 211.

BRILLET

Bruit de contact pneumatique/chaussee

Groupe AC4 sur l'optimization des caractéristiques des Revetements Routiers. París, 1983.

BRILLET

L'Adhérence

Groupe AC4 sur l'optimization des caractéristiques des revetements routiers. París, 1983.

BRILLET

L'Uni.

Groupe AC4 sur l'optimizacion des caractéristiques des revetements routiers. París, 1983.

CARROLL

Caractéristiques de surface des enrobés drainants

XVII Congres Mondial de la Route: Comite Technique des caractéristiques de surface. Sydney, 1983.

CASTILLO, E.; LUCEÑO A.

Curso de Bioestadística.

Universidad de Santander.

CRONEY, D.

The design and performance of road pavements

Department of the Environment-Department of Transport-
Transport and Road Research Laboratory. Londres, 1977.

DANIEL, C and WOOD, F.S.

Fitting Equations to data. J. Wiley & Sons , 1980.

DAVIS, G.A.

Recherches relatives a la macro et a la microrugosité

Comite technique des caractéristiques de surface. Viena, 1979.

DOUBRERE, J.

Amenagement et exploitation de routes

Eyrolles. París 1974.

ELVIRA, J.L.

Estudio en Laboratorio del comportamiento de las mezclas
bituminosas del huso A-12

E.T.S. de Ing. de Caminos de Madrid, 1977.

ELVIRA, J.L.

Reconocimiento y evaluación de pavimentos existentes.

Análisis de los fallos de pavimentos

Universidad Católica de Chile. Santiago de Chile, 1981.

ESCARIO, J.L.; BALAGUER, V.

Caminos. Tomos I y II.

E.T.S. de Ing. de Caminos de Madrid, 1967.

FERNANDEZ del CAMPO, J.A.

Pavimentos Bituminosos en Frio

Editores Técnicos Asociados. Barcelona, 1983.

GALLAWAY, B.

Porous pavements laboratory and field observations.

International Symposium on porous asphalt. Arnhem. 1977.

GERARDU, J.A.

'Construction and Evaluation of the porous asphalt experimental sections .

International Symposium on porous asphalt. Arnhem, 1977.

FONSECA, J.M.

Características y mejoras de las mezclas bituminosas finas para pavimentos urbanos

Tesis Doctoral. Universidad Politécnica de Madrid, 1975.

GOMEZ, J.

Base de datos de calidad y su aplicación al seguimiento
geotécnico de los terraplenes de la autopista Campomanes-León.
Cuadernos E.P.T.I.S.A. 4, 1983.

GORDILLO, J.

Pavimentos especiales
Revista de Carreteras N^o4, 1983.

GREBY, E.

Drainage Asphalt in Denmark.
International Symposium on porous asphalt. Arnhem, 1977.

HATHERLY, L.W.

Friction course trails with modified binders
International Symposium on porous asphalt. Arnhem, 1977.

HUET, J.

Essai de rupture en compression diamétrale
La Technique Routière, Vol. III (n^o1), 1967.

HUSCHEK, S.

Interrelation between skid resistance road surface texture
and water film.
International Symposium on porous asphalt, Arnhem,
1977.

HUTSON, R.M.

"Development of open textured bitumen macadam friction course for airports in Great Britain".

International Symposium porous Asphalt. Arnhem, 1977.

JEUFFROY, G.

Proyecto y construcción de carreteras. Tomos I y II.

Editores Técnicos Asociados, S.A. Barcelona, 1973.

KAMPLADE

L'Adherence

Groupe AC4 de l'optimization des caractéristiques des revêtements routiers. O.C.D.E. París, 1983.

KRAEMER HEILPERNO, C.

Corrección de firmes deslizantes. Evaluación. Técnicas.

Instituto Agustín de Bethencourt.

E.T.S. de Ing. de Caminos de Madrid.

KRAEMER, C. y FERNANDEZ, R.

Proyecto, construcción y materiales de firmes rígidos

Asoc. Fabricantes de Cemento de España, 1977.

KRAEMER, C. y MARTINEZ ARAGON, A.

Análisis de tensiones y deformaciones y estudio de la fatiga de las secciones estructurales de los firmes flexibles de la 6.3 I.C.

M.O.P.U. D.G.C. Madrid, 1977.

KRAEMER, C.; PEREZ, F.

Estudio de la dosificación, características y comportamiento de las mezclas bituminosas porosas para capas de rodadura drenante. Memorias I, II y III.

Universidad de Santander, 1980.

LACLETA MUÑOZ, A.

Técnicas generales de conservación de firmes flexibles.

Reparaciones localizadas. Bacheos. Reperfilados. Renovación o sustitución de capas superficiales.

Cursos de reciclado. Instituto Agustín de Bethencourt. Madrid.

LAMURE

Bruit de contact pneumatique-chaussee

XVII Congres Mondial de la Route-Comite Tecnique des caractéristiques de surface. Sydney, 1983.

LEYDER, J.P.

Nouveaux types de revetements antiderapants

XVI^e Congrés Modial de la Route. Comite Tecnique des caractéristiques de surface. Viena, 1979.

LUCEÑO, A.

Utilización práctica de los métodos de regresión.

Un paquete de programas.

Publicaciones de la E.T.S. de Ingenieros de Caminos. Santander.

MALLOWS, C.L.

Choising variables in a linear regression: Institute of Mathematical Statistics.

Manhatan. Kansas (EEUU), 1964.

MOORE, F.

Prediction of skid-resistance gradient and drainage characteristics for pavements.

MURRAY, R. SPIEGEL

Estadística

McGraw-Hill. Madrid, 1975.

NAKAJIAMA, A.

Some problems on porous asphalt in Japan.

International Symposium on porous asphalt. Arnhem, 1977.

NYSTRUP, P.

Drainage Surfacings

International Symposium on porous asphalt. Arnhem, 1977.

O'FLAHERTY.

Highways

Edward Arnold. London, 1977.

PEREZ JIMENEZ, F.E.

Estudio de la influencia de los factores ambientales en el dimensionamiento de firmes flexibles.

Tesis Doctoral. Universidad Politécnica. Madrid, 1977.

PEREZ JIMENEZ, F.E.; KRAEMER, C. LACLETA, A.

Mezclas bituminosas porosas

M.O.P.U. D.G.C. Madrid, 1982.

PEREZ JIMENEZ, F.E.

Jornadas sobre el empleo de mezcla bituminosas porosas
en capas de rodadura
Santander, 1981.

PEREZ, M.

Recherche et optimization des caractéristiques de surface
Groupe AC4 sur l'optimization des caractéristiques des
revêtements routiers. OCDE. Paris, 1983.

PRITHVI, KANDHAL, RAYMOND, J.

Design, Construction and performance of asphalt friction
courses
Bureau of Materials, Testing and Research. Pennsylvania.

REINTJES, R.C.

Laboratory research into porous asphalt. Arnhem, 1977.

RIGDEN, P.I.

The use of fillers in bituminous road. A study of filler-
binder systems in relation to filler characteristics
Journal of the Society of Chemical Industry. n°66, 1947.

SALT, G.F.

Etude du bruit résultant de l'interaction des pneumatiques
et la route
XVI^e Congrès Mondial de la Route. Comité Technique des
caractéristiques de surface. Viena, 1979.

SARTEEL, F.

Les propriétés réfléchissantes des chaussées
XVI^e Congres Mondial de la Route-Comitee Technique des
caracteristiques de surface. Viena, 1979.

SCHREUDER

Proprietes optiques des revetements routiers
Groupe AC4 sur l'optimization des caracteristiques des
revetements routiers. OCDE. Paris, 1983.

SERRES.

Le vision de la chaussee et de son environnement pour
l'usage de la route.

XVII Congres Mondial de la Route. Comite Technique des
caracteristiques de surface. Sydney. 1983.

SMITGH, R.W.

Examination of Factors related of the development and
performance of Open Graded Asphalt Friction Course
International Symposium on porous asphalt. Arnhem, 1977.

SZATKOWSKI, S. and BROWN, J.R.

The design and performance of pervious surfacings for
roads in Britain, 1967-76
International Symposium of porous asphalt. Arnhem, 1977.

TANIFUJI, SHOZO

Standard bituminois mixtures for skidresistant pavement
in Japan

International Symposium of porous asphalt. Arnhem, 1977.

VAN DER PLAAS, J.J.

Fidelite des essais

XVII Congres Mondial de la Route-Sydenay, 1983.

VAN DER PLAAS, J.J.

From Philosophy to Reality

International Symposium on porous asphalt. Arnhem, 1977.

VIGUERAS, J.F.

Estudio del comportamiento reológico de mezclas bituminosas
mediante la máquina giratoria de ensayo

Tesis Doctoral. Universidad Politécnica de Madrid, 1976.

WELLEMAN, T.

Porous asphalt against water nuisance

International Symposium on porous asphalt. Arnhem, 1977.

WHITE, T.D.

Construction and evaluation of airfield PFC in the
United States

International Symposium on porous asphalt. Arnhem, 1977.

WISSEN W. and HOFSTRA, A.

Performance of porous asphalt mixes in a laboratory test
track

International Symposium on porous Asphalt. Arnhem, 1977.

WOODS, K.B.

Highways engineering handbook

Mc-Graw-Hill. New York, 1960.

YODER, E.J.; WITCZAK, M.W.

Principles of Pavement Design

John Wiley. New York, 1975.

AASHO Interim Guide for Design of Pavement Structures 1972

American Association of State Highway Officials.

Washington D.C. 1972.

ACCI Manual of Concrete Practice Part 1. 1974

American Concrete Institute. Detroit, Michigan.

A Guide to the Structural Design of Flexible and Rigid Pavements for New Roads

Road Note 29. H.M.S.O. London, 1970.

American Standard Practice for Street and Highway Lighting

Illuminating Engineering Society. New York, 1964.

Asphalt in Pavement Maintenance

Manual Series No. 16

The Asphalt Institute

College Park. Maryland, 1967.

Asphalt Technology and Construction Instructor's Guide

The Asphalt Institute

College Park. Maryland, 1971.

Book of ASTM Standards

American Society for Testing and Materials.

Philadelphia. USA.

British Standards

British Standards Institution. London.

Catalogue of road surface deficiencies

OCDE París, 1978.

Conference on noise abatement policies

Organisation for Economic Cooperation and Development

OCDE. París, 1980.

Diccionario técnico de carreteras

AEPCC. Madrid, 1963.

Essais Mecaniques

Commission Technique RILEM 17 BM "Bitumes et matériaux

bitumineux

RILEM Bruxelas, 1977.

Estudio de las características de generación de ruido de
tráfico de los pavimentos de hormigón hidráulico de las
autopistas del Mediterráneo y Sevilla-Cádiz y su correla-
ción con la resistencia al deslizamiento de los mismos.

Instituto Eduardo Torroja. Madrid, 1982.

Firmes de carreteras y autopistas

Editores Técnicos Asociados

Barcelona, 1970.

Guía técnica para la conservación

SETRA

París, 1976

Instrucción de Carreteras

D.G.C. y Caminos Vecinales

Ministerio de Obras Públicas. Madrid.

Instrucción para el proyecto y ejecución de obras de

hormigón en masa o armado EH-80

M.O.P. Servicio de publicaciones. Madrid.

International Conference on Concrete Pavement Design

Proceedings. Purdue University

West Lafayette. Indiana, 1977.

Jornadas técnicas sobre tecnología en frío para carreteras

Asociación Española de la Carretera. Madrid, 1981.

International Conferences on the Structural Design of

Asphalt Pavements

The University of Michigan. Ann Arbor

1st (1962), 2nd (1967), 3rd (1972), 4 th (1977).

Manual de control de fabricación y puesta en obra de
mezclas bituminosas

D.G.C. M.O.P. Madrid, 1977.

Materiales bituminosos en la construcción de carreteras

Road Research Laboratory

Serv. de Publicaciones. M.O.P. Madrid, 1965.

Méthode de calcul des chaussées souples

Shell. París, 1963.

Mix Design Methods for Asphalt Concrete and Other Hot-Mix

Types

Manual Series No. 2

The Asphalt Institute. College Park

Maryland, 1969.

Mix design method for open-graded asphalt friction courses

The Asphalt Institute. Maryland 1978.

Normas de ensayo

Laboratorio del Transporte y Mecánica del Suelo

"José Luis Escario"

Centro de Estudios y Experimentación de Obras Públicas

Madrid.

Normas UNE

Instituto Nacional de Racionalización y Normalización.

Normas VSS

Union Suisse des professionnels de la route. 7 vols. 1977

Open-Graded friction courses for highways

National research council. Transportation Research Board
Washington, D.C. 1978.

Pliego de prescripciones técnicas generales para obras de
carreteras y puentes

D.G.C. M.O.P. Madrid, 1975.

Predicting moisture-induced damage to Asphaltic concrete.

Transportation Research Board.

Washington, D.C. 1978.

Ruido de tráfico urbano e interurbano

Centro de Estudios de Ordenación del Territorio y
Medio Ambiente

M.O.P.U. Madrid, 1983.

The AASHO Road test

Special Reports 61 and 73

Highway Research Board

Washington D.C., 1962.

ANEJOS

1. ESTUDIO DE LA PRECISION DE LA
REPETITIVIDAD.

TANTEO PRELIMINAR

VARIABLE	MEDIA (PESADA)	MÍNIMO	MAXIMO	RANGO	MAX/MIN
1	-100000.01	-100000.01	-100000.01	-100000.00	1.00
2	-142650.02	-100000.02	-200000.02	-100000.02	2.00
3	-124790.00	-100000.00	-150000.00	-500000.01	1.50
4	-398320.-01	-200000.-01	-600000.-01	-400000.-01	3.00
5	-449160.-01	-350000.-01	-550000.-01	-200000.-01	1.57
6	-578320.-01	-505000.01	-612000.01	-107000.01	1.21
7	-344290.00	-103000.00	-845000.00	-742000.00	8.20

PARAMETROS DE BOX-COX: LANDA1 = -3333 LANDA2 = -2090000.00

PESOS CARRIER 1 CARRIER 2 CARRIER 3 CARRIER 4 CARRIER 5 CARRIER 6 RESPUESTA
VARIABLE 1 VARIÁBLE 2 VARIÁBLE 3 VARIÁBLE 4 VARIÁBLE 5 VARIÁBLE 6

TRANSFORMACIONES
IDEM

IDEM IDEM IDEM IDEM

BOX-COX

CORRELACIONES ENTRE LAS CARRIERS Y LA RESPUESTA PONDERADAS

1.000	.004	-.087	-.004	-.138	-.230
1.000	.030	.031	-.518	-.297	
1.000	-.005	-.025	-.399	-.594	
1.000	-.093	-.587			
1.000	.468				

RIDGE REGRESSION

K= 0	.05	0.1	.15	0.2	0.3	0.4	0.5	0.6	0.7	0.8	0.9	1
•20405	•19870	•19285	•18688	•18095	•16961	•15920	•14976	•14123	•13353	•12657	•12025	•11450
•19772	•18260	•17102	•16180	•15422	•14234	•13223	•12586	•11965	•11428	•10953	•10527	•10141
•53473	•50370	•47734	•45444	•43421	•39981	•37133	•34717	•32631	•30803	•29186	•27741	•26441
•58325	•55383	•52751	•50376	•48218	•4437	•41224	•38496	•36044	•33922	•32040	•30358	•28846
•12683	•14174	•15179	•15849	•16286	•16712	•16777	•16640	•16069	•15715	•15344	•14967	•14967

EFFECTO DE K EN RIDGE REGRESSION

TOTAL	SS0= •244580050.02	(•192854630.01)	DF=118 (117)
REGRESION	SSQ= •241202900.02	(•159083070.01)	DF= 5 (5)
RESIDUAL	SSQ= •33771556D.00	(•225294590.02)	DF=112
MEDIA	SSQ=		DF= 1
VALOR-F	= 133.3.21 (105.52)		

COEF.CORR.MULT.(R2)= .986192 (.824886)
LOS VALORES ENTRE () CORRESPONDEN A QUITAR EL EFECTO DE LA MEDIA DE LOS (1-S) (1=VALIDO, 0=NO VALIDO) . ES=1
EN LA MATRIZ DE DISEÑO EXISTE UNA COLUMNA DE 1-S

MATRIZ DE CORRELACIONES DE LOS COEFICIENTES

1.000	-0.285	-0.626	-0.512	-0.214	-0.987
1.000	-0.000	-0.120	-0.180	-0.024	-0.223
1.000	-0.000	-0.243	-0.039	-0.561	-0.000
1.000	-0.000	-0.077	-0.474	-0.116	-1.000
1.000	-0.973	-0.815	-0.01	-0.237	-0.000

COEFICIENTE 1= -0.38694970 00 VALOR-T= -1.43 DESV. TIP= • 27149611D-00 SSIQ REGRESION= • 2003565D/02
 COEFICIENTE 2= • 61770450-02 VALOR-T= 5.01 DESV. TIP= • 12325695D-02 SSIQ REGRESION= -• 44720020 01
 COEFICIENTE 3= -0.10068380 01 VALOR-T= -4.14 DESV. TIP= • 24339672D-00 SSIQ REGRESION= • 66187890 01
 COEFICIENTE 4= -0.41257140 01 VALOR-T= -11.85 DESV. TIP= • 348086222D-00 SSIQ REGRESION= • 91218920 01
 COEFICIENTE 5= -0.91134510 01 VALOR-T= -14.64 DESV. TIP= • 622253407D-00 SSIQ REGRESION= • 21854980 02
 COEFICIENTE 6= • 97358150-01 VALOR-T= 2.37 DESV. TIP= • 41033079D-01 SSIQ REGRESION= -• 29039010 02

PESOS	ESTIMACIONES	RESIDUOS (PESADO)	STUDENT. RES.	STUD. JACK. RES.	VAR-RATIO	WSSD	WSOD(SIN PESO)	INCR.BETAJAC	TRAZA	DIRECCION
1.000	-0.25026870 00	-0.3543908D-01	-0.6650882	-0.66342381	• 06	5.56	5.56	• 296260-02	• 22212D-01	• 35020 02
1.000	-0.25221590 00	-0.63101970-02	• 1183652	• 11784301	• 06	5.56	5.56	• 95572D-04	• 22623D 01	• 37120 02
1.000	-0.33945610 00	-0.4633442D-01	• 8645903	• 8636085	• 05	2.86	2.86	• 12935D-02	• 573870 00	• 11500 02
1.000	-0.34335040 00	-0.5690565D-01	1.0601220	1.06071396	• 05	2.85	2.85	• 16334D-02	• 48200D 00	• 1037D 02
1.000	-0.34237680 00	-0.71207560-01	1.3269814	1.33155304	• 05	2.85	2.85	• 264200-02	• 4975BD 00	• 10520 02
1.000	-0.43935280 00	-0.8715471D-01	1.6324950	1.64487853	• 06	5.66	5.66	• 1.64790-01	• 20507D 01	• 35400 02
1.000	-0.43837920 00	-0.13394680 00	2.5092848	2.57138306	• 06	5.65	5.65	• 39523D-01	• 208170 01	• 35770 02
1.000	-0.43643210 00	-0.1768441D-02	-0.0331435	-0.03299535	• 06	5.65	5.65	• 71520D-05	• 215920 01	• 36520 02
1.000	-0.33954981 00	-0.8748044D-01	1.6327113	1.64510172	• 05	3.34	3.34	• 15407D-01	• 191680 01	• 38080 02
1.000	-0.34446600 00	-0.6534726D-01	1.2182911	1.22095798	• 05	3.37	3.37	• 83812D-02	• 18772D 01	• 38980 02
1.000	-0.44436270 00	-0.1325236D 00	-2.4562577	-2.51391455	• 04	• 74	• 74	• 16455D-02	• 904520-01	• 25240 01
1.000	-0.44436270 00	-0.52742730-01	-0.97716433	-0.9775597	• 04	• 74	• 74	• 76064D-03	• 904520-01	• 2524D 01
1.000	-0.5325765D 00	-0.4974706D-01	-0.92697177	-0.92638469	• 05	3.50	3.50	• 937773D-02	• 168894D-01	• 35970 02
1.000	-0.5335501C 00	-0.5289937D-01	-0.98568699	-0.98568699	• 05	3.51	3.51	• 48268D-02	• 16472D 01	• 34910 02
1.000	-0.42405950 00	-0.94683380-01	1.7860418	1.80392550	• 07	5.65	5.65	• 28221D-01	• 29340D 01	• 4023D 02
1.000	-0.4328218D 00	-0.8354109D-02	-0.1569300	-0.15624500	• 06	5.71	5.71	• 17595D-03	• 23695D 01	• 3702D 02
1.000	-0.5210155D 00	-0.2968567D-01	-0.55348334	-0.55311152	• 05	2.97	2.97	• 1.9098D-02	• 11751D 01	• 2203D 02
1.000	-0.5229827D 00	-0.1895149D-01	-0.3539162	-0.35252986	• 05	2.99	2.99	• 37782U-03	• 10003D 01	• 1939D 02
1.000	-0.6180115D 00	-0.1749721D-01	-0.3287697	-0.32745673	• 06	5.83	5.83	• 88646D-03	• 27198D 01	• 4211D 02
1.000	-0.1794816D 00	-0.1030935D 00	1.9358102	1.96022092	• 06	5.73	5.73	• 1.87799D-01	• 16637D 01	• 2634D 02
1.000	-0.1960325D 00	-0.2764949D-01	-0.5186254	-0.51692602	• 06	5.57	5.57	• 22667D-02	• 27794D 01	• 4591D 02
1.000	-0.1940953D 00	-0.2709674D-01	• 5078701	• 50618092	• 06	5.58	5.58	• 20097D-02	• 2584D 01	• 4360D 02
1.000	-0.2852199D 00	-0.2480126D-03	• 0046159	• 00459514	• 04	2.87	2.87	• 38390D-07	• 59758D 00	• 1345D 02
1.000	-0.2805619D 00	-0.6276258D-01	-1.1676794	-1.16969588	• 04	2.90	2.90	• 15097U-02	• 36722D 00	• 4602D 01
1.000	-0.2793784D 00	-0.5304722D-01	• 9870325	• 9869100	• 04	2.91	2.91	• 98629D-03	• 33574D 00	• 7643D 01
1.000	-0.3753903D 00	-0.2650398D-01	• 9664241	• 94974753	• 06	5.67	5.67	• 15946D-02	• 21460D 01	• 3711D 02
1.000	-0.3705129D 00	-0.4263948D-01	-0.7990167	-0.79771855	• 06	5.71	5.71	• 41131D-02	• 21366D 01	• 3633D 02
1.000	-0.3792751D 00	-0.8987275D-01	1.6844962	1.69861453	• 06	5.65	5.65	• 19217D-01	• 22460D 01	• 3788D 02
1.000	-0.2746525D 00	-0.519457D-02	-0.09640545	-0.096347	• 05	3.37	3.37	• 44301D-04	• 15668D 01	• 3275D 02
1.000	-0.2804940D 00	-0.1133185D 00	-2.1112414	-2.14490963	• 05	3.34	3.34	• 23590D-01	• 17552D 01	• 3761D 02
1.000	-0.3667606D 00	-0.2166082D-01	• 4013903	-0.39988204	• 04	• 65	• 65	• 71886D-04	• 14797D 00	• 4177D 01
1.000	-0.3774649D 00	-0.8403148D-01	-1.5573010	-1.567319585	• 04	• 62	• 62	• 18415D-02	• 25182D 00	• 7073D 01
1.000	-0.4695780D 00	-0.5649921D-01	-1.0542093	-1.05473850	• 05	3.43	3.43	• 63356D-02	• 18906D 01	• 3797D 02
1.000	-0.3630182D 00	-0.5486229D-01	-1.0316073	-1.03190519	• 07	5.63	5.63	• 70795D-02	• 22062D 01	• 3336D 02

-1.00	-2.9270230.00	*-31491210-01	-1.2470715401	*-66792770500	-1.2470715401	-1.2470715401	-1.2470715401
1.00	-2.9659660.00	*-32558140-01	-6070060	*-53568710.0	*-53568710.0	*-53568710.0	*-53568710.0
1.00	-3.9357260.00	-*25247050-01	-646593049	-*4675676	-*4675676	-*4675676	-*4675676
1.00	-3.886740.00	-*68661170-01	-1.271053	-1.2745366	-1.2745366	-1.2745366	-1.2745366
1.00	-4.8860140.00	-*30205080-01	*-5631610	*-55143668	*-55143668	*-55143668	*-55143668
1.00	-3.9371460.00	*-31423910-01	*-5822942	*-28056030	*-28056030	*-28056030	*-28056030
1.00	-3.9760390.00	-*16267420-01	*-3024262	*-30119608	*-30119608	*-30119608	*-30119608
1.00	-4.8582270.00	-*11282910-01	-*2076123	-*20672315	-*20672315	-*20672315	-*20672315
1.00	-4.9653210.00	-*96297210-01	-1.9219709	-1.84131155	-1.84131155	-1.84131155	-1.84131155
1.00	-5.9058730.00	-*33519400-01	-*62660809	-*627437320	-*627437320	-*627437320	-*627437320
1.00	-5.8669300.00	-*54506320-01	-1.0142064	-1.0143720	-1.0143720	-1.0143720	-1.0143720
1.00	-4.8012320.00	-*12516230-01	-*2319533	-*2319533	-*2319533	-*2319533	-*2319533
1.00	-4.8401750.00	-*1025190.00	-1.9085895	-1.93172345	-1.93172345	-1.93172345	-1.93172345
1.00	-4.8499110.00	-*20038140-01	-*3735243	-*37206484	-*37206484	-*37206484	-*37206484
1.00	-5.7709920.00	-*45490640-01	-*8422248	-*84112428	-*84112428	-*84112428	-*84112428
1.00	-5.8196710.00	-*95943220-01	-1.7812033	-1.79889582	-1.79889582	-1.79889582	-1.79889582
1.00	-5.7223130.00	-*13830790-01	*-2557353	*-255466538	*-255466538	*-255466538	*-255466538
1.00	-6.6740750.00	-*34997870-01	-*6538053	-*65212561	-*65212561	-*65212561	-*65212561
1.00	-6.6791670.00	-*63420290-01	-1.1907651	-1.13301306	-1.13301306	-1.13301306	-1.13301306
1.00	-6.67018080.00	-*32146650-01	-*5992413	-*59751872	-*59751872	-*59751872	-*59751872
1.00	-2.3651890.00	-*38249870-01	-*7128879	-*71131385	-*71131385	-*71131385	-*71131385
1.00	-2.5209620.00	-*40190100-01	-*7593953	-*75795137	-*75795137	-*75795137	-*75795137
1.00	-3.4030990.00	-*17278530-01	-*3224917	-*32119795	-*32119795	-*32119795	-*32119795
1.00	-3.4128350.00	-*48928510-01	-*9141930	-*91351741	-*91351741	-*91351741	-*91351741
1.00	-4.2071500.00	-*38694050-01	-*7209799	-*71942543	-*71942543	-*71942543	-*71942543
1.00	-4.23533880.00	-*15890950-01	-*2993787	-*29815848	-*29815848	-*29815848	-*29815848
1.00	-3.2584820.00	-*140161630-01	-*2591067	-*25802475	-*25802475	-*25802475	-*25802475
1.00	-3.3071610.00	-*10763550-01	-*1.996408	-*1.9878292	-*1.9878292	-*1.9878292	-*1.9878292
1.00	-3.2584820.00	-*24686620-01	-*4568374	-*45521774	-*45521774	-*45521774	-*45521774
1.00	-4.1693270.00	-*58217910-01	-1.0703613	-1.07106437	-1.07106437	-1.07106437	-1.07106437
1.00	-4.1114120.00	-*48287850-01	-*8875924	-*88674527	-*88674527	-*88674527	-*88674527
1.00	-4.2185060.00	-*54420730-01	-1.0023076	-1.00232841	-1.00232841	-1.00232841	-1.00232841
1.00	-5.1590590.00	-*51278640-01	-*95129039	-*95129039	-*95129039	-*95129039	-*95129039
1.00	-5.1298510.00	-*47871220-02	-*48832202	-*48832202	-*48832202	-*48832202	-*48832202
1.00	-5.1590590.00	-*66703990-01	-1.2379776	-1.24095828	-1.24095828	-1.24095828	-1.24095828
1.00	-4.1517760.00	-*72881100-01	-1.35666752	-1.36184144	-1.36184144	-1.36184144	-1.36184144
1.00	-4.0544170.00	-*15926160-02	-*0296572	-*02952460	-*02952460	-*02952460	-*02952460
1.00	-4.12128320.00	-*28878800-01	-*5376504	-*53593667	-*53593667	-*53593667	-*53593667
1.00	-5.1507430.00	-*441311960-01	-*8195125	-*81830294	-*81830294	-*81830294	-*81830294
1.00	-5.1020640.00	-*85901890-02	-*1590956	-*15840169	-*15840169	-*15840169	-*15840169
1.00	-6.0426160.00	-*10490650.00	-1.9584068	-1.983390897	-1.983390897	-1.983390897	-1.983390897
1.00	-6.07113240.00	-*99863240-01	-1.8673400	-1.68861713	-1.68861713	-1.68861713	-1.68861713
1.00	-3.0619770.00	-*54773590-01	-1.0262694	-1.02651558	-1.02651558	-1.02651558	-1.02651558
1.00	-2.9646190.00	-*12225050-01	-*2303516	-*22937526	-*22937526	-*22937526	-*22937526
1.00	-3.9343790.00	-*45752370-01	-*8531928	-*85214916	-*85214916	-*85214916	-*85214916
1.00	-3.8954360.00	-*12465570-01	-*2331303	-*23214356	-*23214356	-*23214356	-*23214356
1.00	-4.8554600.00	-*28714440-01	-*53737075	-*53737075	-*53737075	-*53737075	-*53737075
1.00	-4.9250300.00	-*62040340-01	-1.1447074	-1.14631104	-1.14631104	-1.14631104	-1.14631104
1.00	-5.8363160.00	-*12605459-01	-*2341152	-*23312473	-*23312473	-*23312473	-*23312473
1.00	-5.8266400.00	-*93526750-02	-1.1810740	-*1737387	-*1737387	-*1737387	-*1737387
1.00	-4.8972430.00	-*66131420-01	-1.23758366	-1.23758366	-1.23758366	-1.23758366	-1.23758366
1.00	-4.89375070.00	-*3446220-01	-1.2470715401	-1.2470715401	-1.2470715401	-1.2470715401	-1.2470715401
1.00	-5.8377960.00	-*76460410-01	-1.4181646	-1.424666870	-1.424666870	-1.424666870	-1.424666870

卷之三

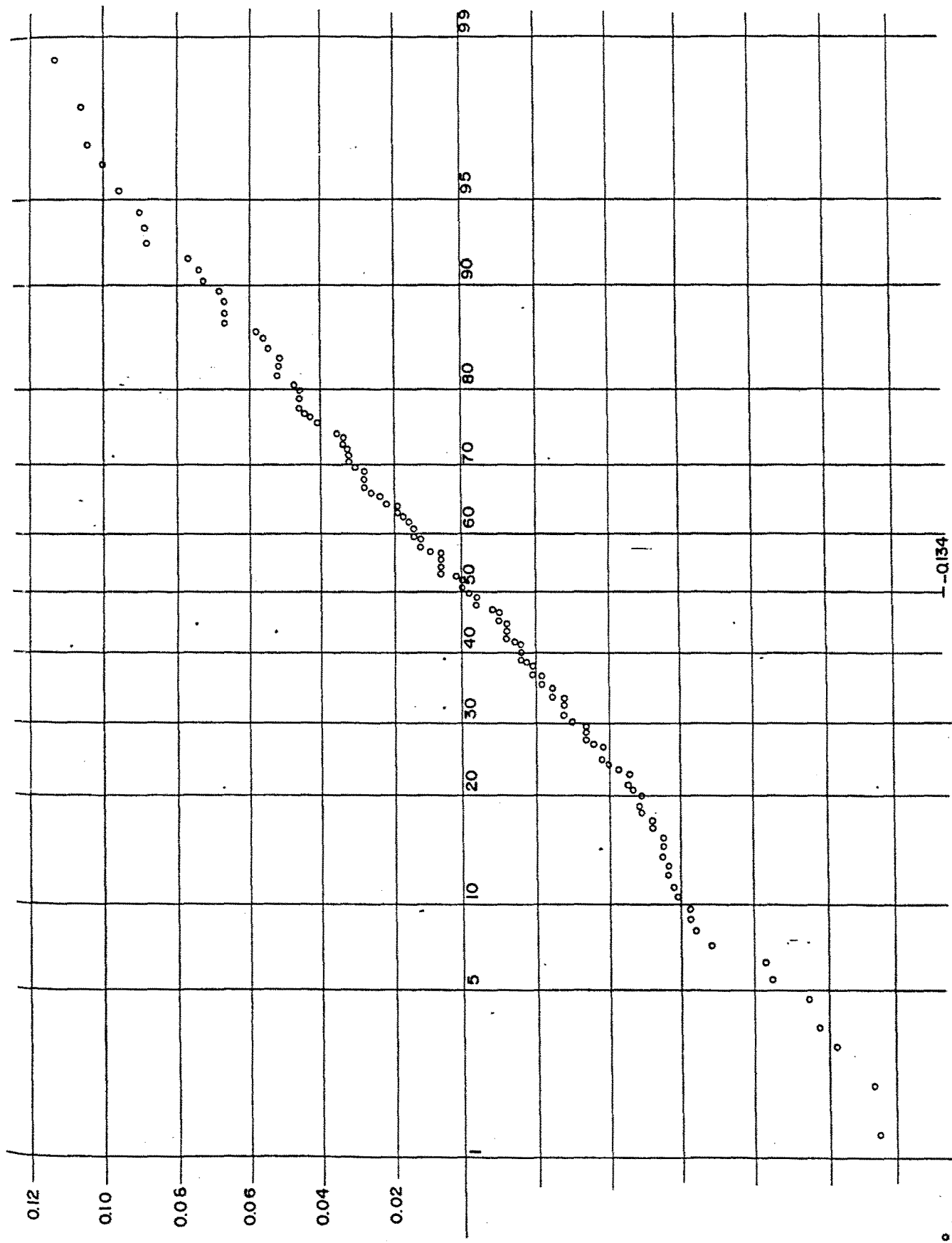
MATRIZ DE CORRELACIONES DE LOS COEFICIENTES BASADA EN EL JACKKNIFE					
1.000	-•577	-•905	-•804	-•542	-•998
1.000	1.000	-•591	-•533	-•306	-•661
1.000	1.000	1.000	-•686	-•446	-•891
1.000	1.000	1.000	-•359	-•800	-•800

```

COEFICIENTE 1 = - .38694970 00 VALOR-T = -56 DESV.TIP= :693793670 .00
COEFICIENTE 2 = - .6177045D-02 VALOR-T = -3.62 DESV.TIP= :17080195D-02
COEFICIENTE 3 = - .100683RD 01 VALOR-T = -2.25 DESV.TIP= :44803623D-00
COEFICIENTE 4 = -.41257140 01 VALOR-T = -8.16 DESV.TIP= :500000000000000000
COEFICIENTE 5 = -.1134510 01 VALOR-T = 12.51 DESV.TIP= :72892347D-00
COEFICIENTE 6 = -.9735815D-01 VALOR-T = 95 DESV.TIP= :102369542D-00

```

FIGURA 1.- AJUSTE PRELIMINAR - REPRESENTACION EN PAPEL PROBABILISTICO NORMAL DE LOS RESIDUOS



ABSCISAS : TM - 14.265
ORDENADAS : RESIDUOS

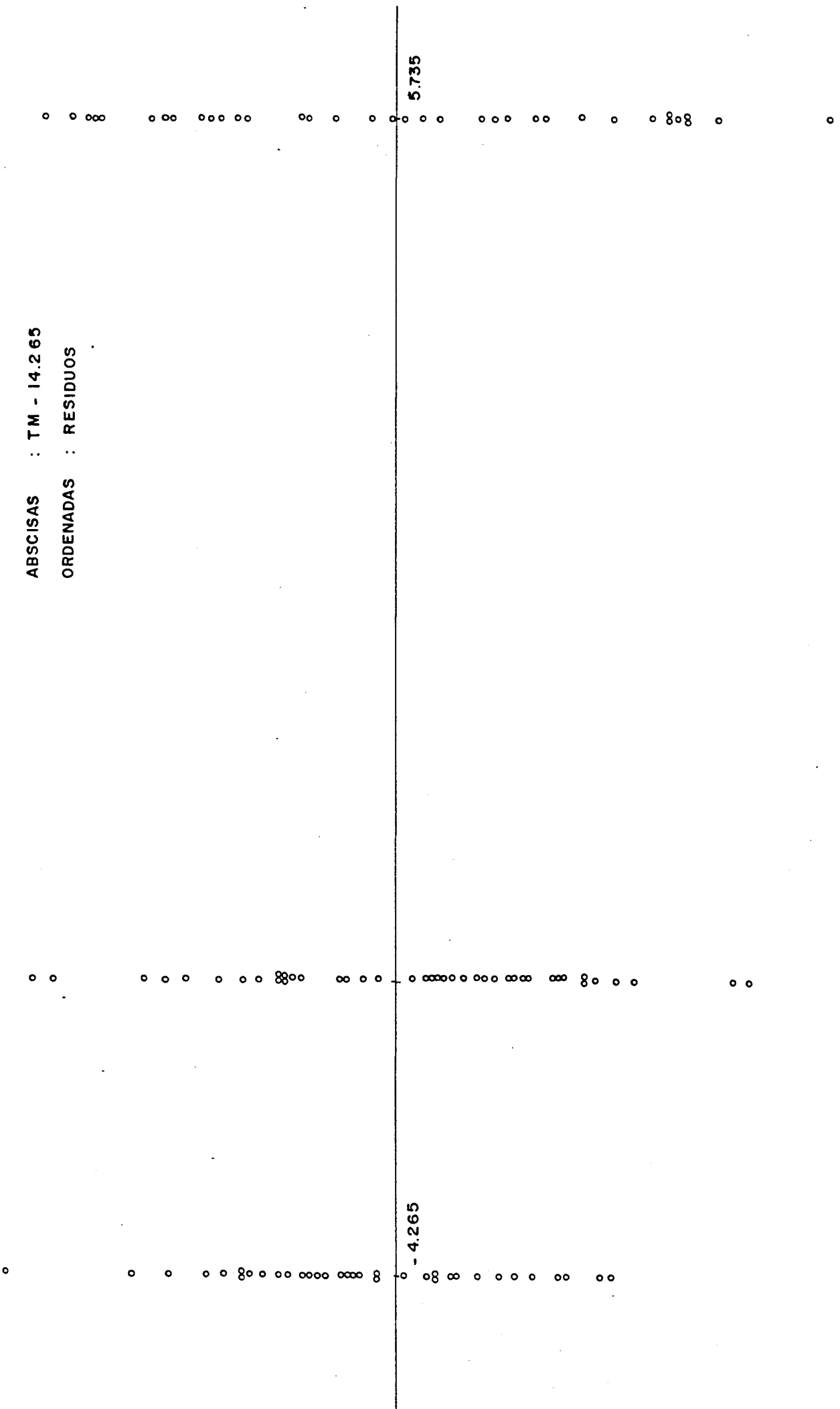


FIGURA 2 .- AJUSTE PRELIMINAR - REPRESENTACION GRAFICA DE LA RELACION : TAMAÑO MAXIMO - RESIDUO

ABSCISAS : A - 0.1279
ORDENADAS : RESIDUOS

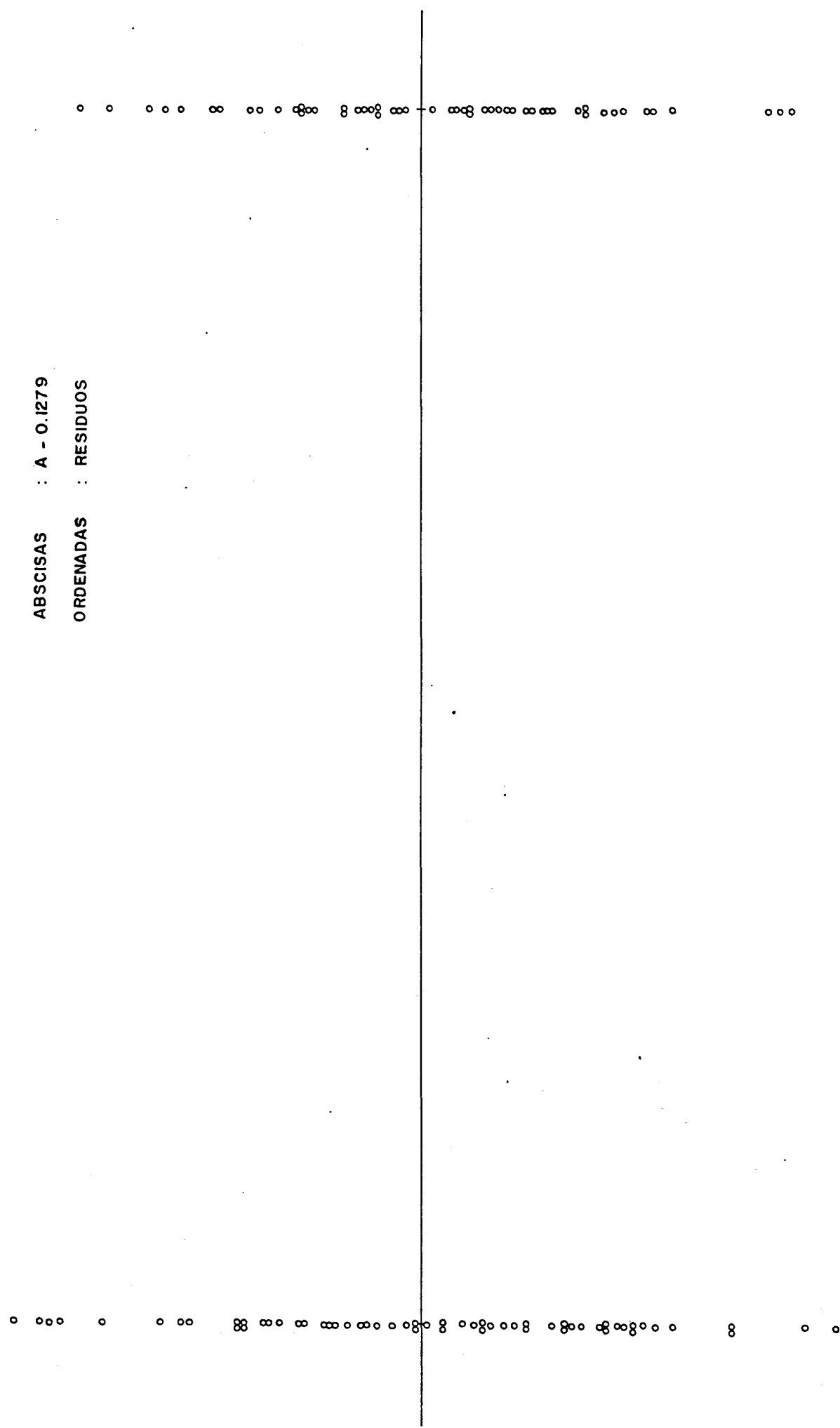


FIGURA 3.- AJUSTE PRELIMINAR - REPRESENTACION GRAFICA DE LA RELACION: PORCENTAJE FINOS - RESIDUOS

ABSCISAS : $f = 0.039832$
ORDENADAS : RESIDUOS

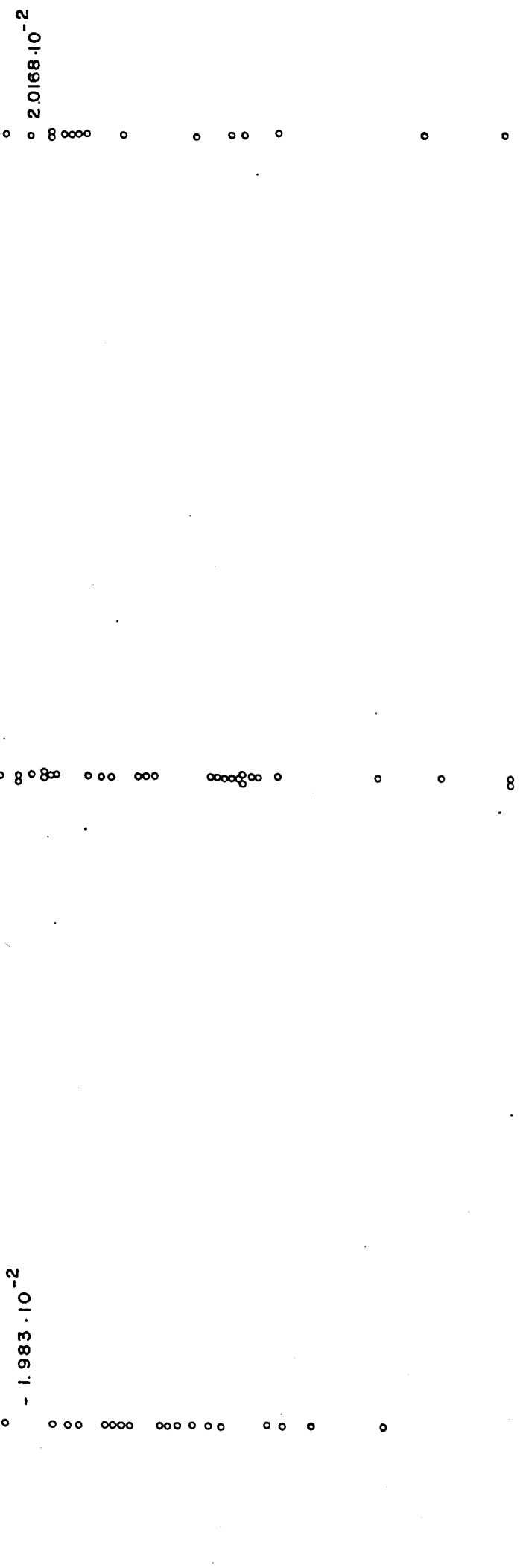
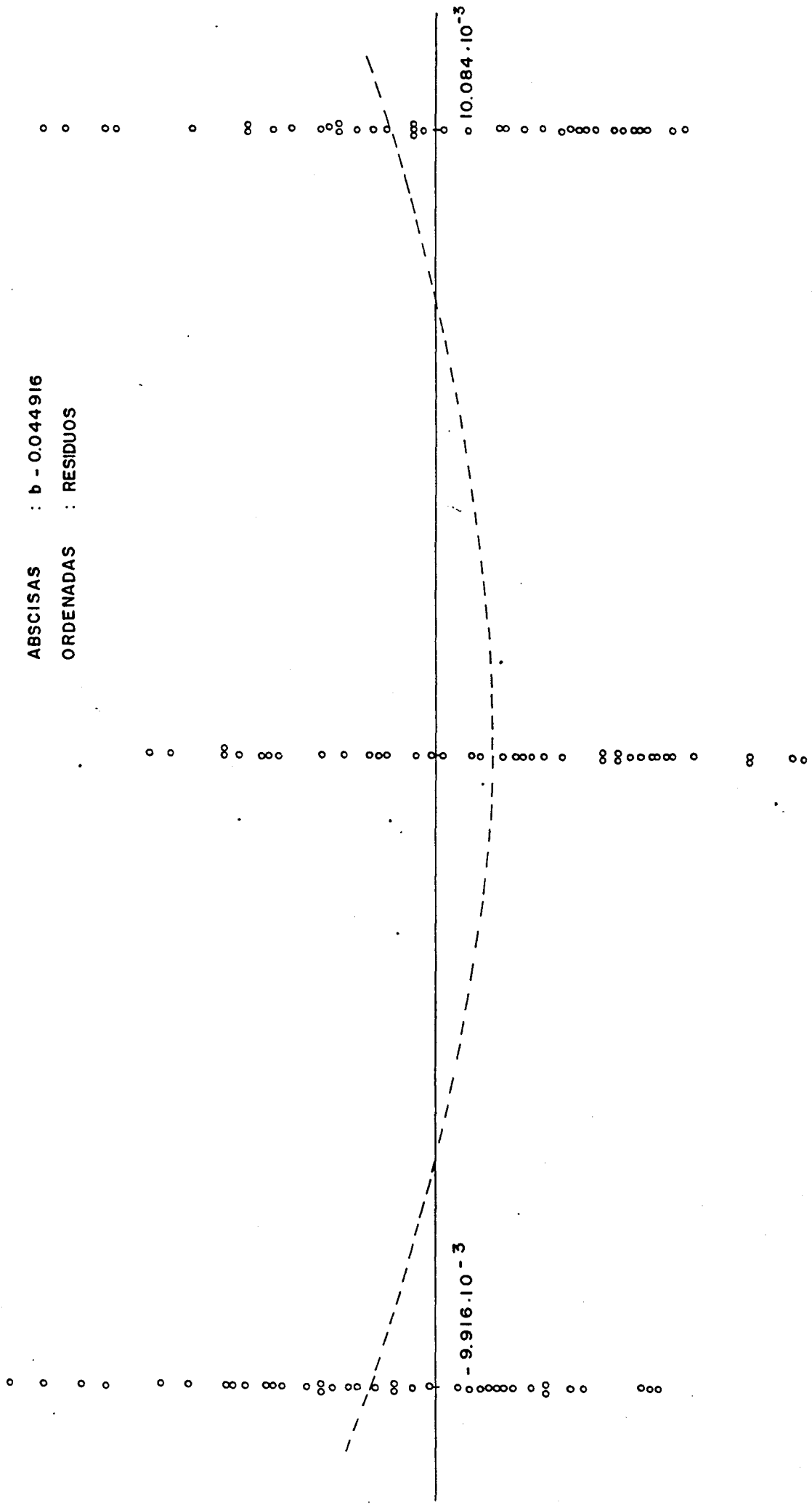


FIGURA 4 .- AJUSTE PRELIMINAR - REPRESENTACION GRAFICA DE LA RELACION : PORCENTAJE FILLER - RESIDUOS

FIGURA 5 .- AJUSTE PRELIMINAR - REPRESENTACION GRAFICA DE LA RELACION : BETUN - RESIDUOS



ABSCISAS : $h = 5.7632$
ORDENADAS : RESIDUOS

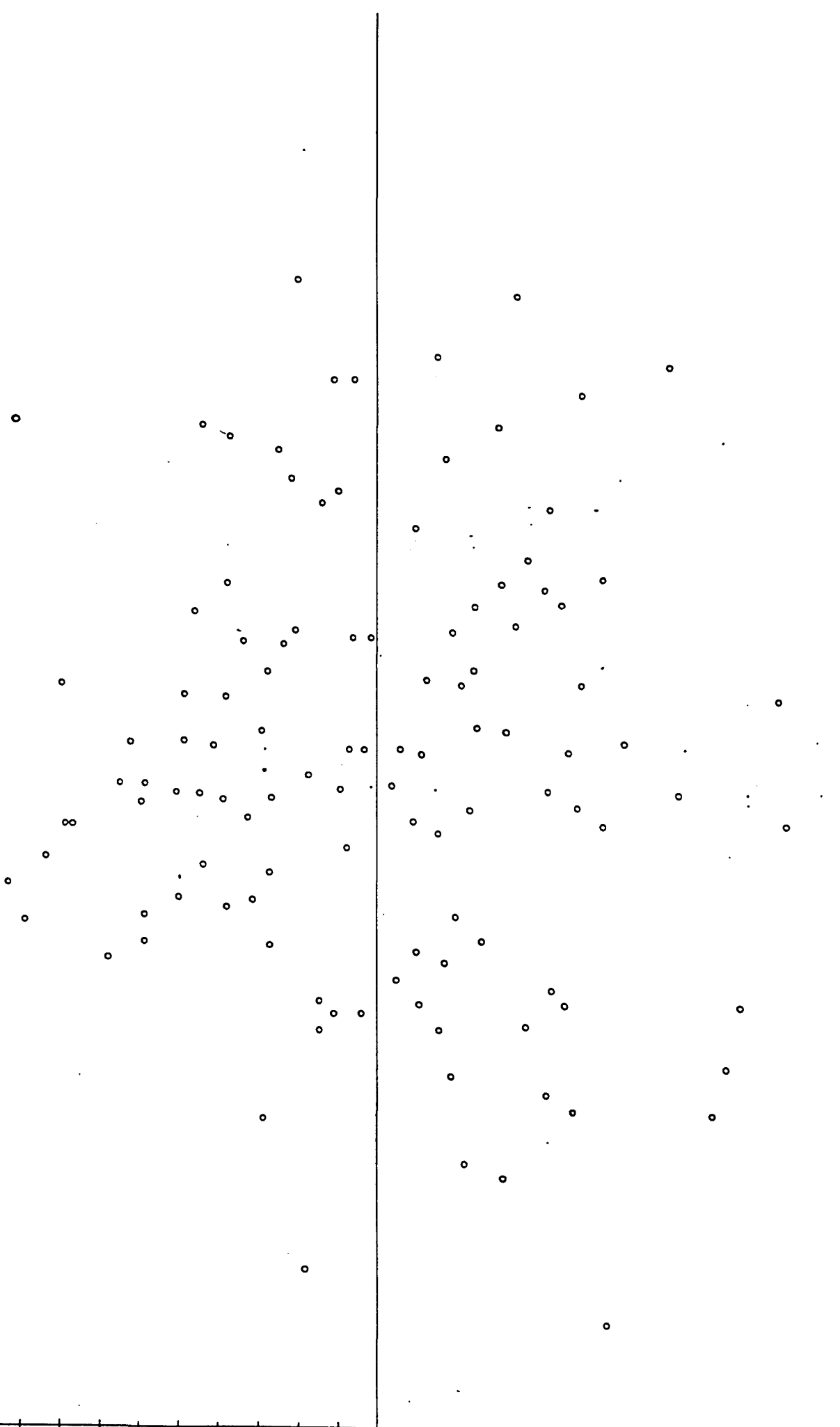


FIGURA 6 .- AJUSTE PRELIMINAR — REPRESENTACION GRAFICA DE LA RELACION : ALTURA PROBETA - RESIDUO

SOLUCION 1

NÚMERO DE CARRIERES PARA CADA VARIABLE

1 0 1 2 2 0 0 1

VARIABLE	MÍNIMO	MÁXIMO	RANGO	MÁX/MÍN
1	.100000 01	.100000 01	.000000 01	1.00
2	.113610 02	.100000 02	.125000 02	1.25
3	.124680 00	.100000 00	.150000 00	1.50
4	.410130 -01	.200000 -01	.600000 -01	3.00
5	.448730 -01	.350000 -01	.550000 -01	1.57
6	.186430 00	.117000 00	.233000 00	2.08
7	.947700 00	.363600 00	.171430 01	4.71
8	.578770 01	.505000 01	.612000 01	1.21
9	.318620 00	.103000 00	.614000 00	5.96

PESUS CARRIER 1 CARRIER 2 CARRIER 3 CARRIER 4 CARRIER 5 CARRIER 6 CARRIER 7 CARRIER 8 CARRIER 9 CARRIER 10 CARRIER 11 CARRIER 12 CARRIER 13 RESPUESTA A VARIABLE 1 VARIABLE 3 VARIABLE 4 VARIABLE 5 VARIABLE 6 VARIABLE 7 VÄR 2VÄR 5 VAR 5 VAR 5VAR 6

TRANSFORMACIONES

IDEM	10-MEDIA	CUAD-ORTI	10-MEDIA	CUAD-ORTI	10-MEDIA	CUAD-ORTI
9 3 9	9 3 9	RAÍZ CUB	9 3 9	9 3 9	9 3 9	9 3 9

CARRIERS QUE SON POLINOMIOS ORTOGONALES. LA CARRIER 9 ES LA RESPUESTA (X 9=Y)

$$\begin{aligned} \text{CARRIER 2} &= X_3 + .12468350 \quad 00 \\ \text{CARRIER 3} &= X_4 + -.41012660 -01 \\ \text{CARRIER 4} &= (X_4 + -.60263930 -01) * 2 + -.26282630 -03 \\ \text{CARRIER 5} &= X_5 + -.44873420 -01 \\ \text{CARRIER 6} &= (X_5 + -.44968940 -01) * 2 + -.67081710 -04 \\ \text{CARRIER 7} &= X_6 + -.18613040 \quad 00 \\ \text{CARRIER 8} &= (X_6 + -.18241600 00) * 2 + -.89058790 -03 \end{aligned}$$

CORRELACIONES ENTRE LAS CARRIERS Y LA RESPUESTA PONDÉRADAS

1.000	.032	.070	.015	-.009	-.528	-.008	.015	-.112	.014	-.018	-.051	-.365
1.000	.000	.018	.010	-.018	.010	-.306	.080	-.133	-.147	-.016	-.006	-.055
1.000	.000	-.010	.006	-.003	.006	-.003	.076	.089	-.012	.005	-.012	.049
1.000	.000	-.620	-.058	-.137	.140	-.005	.007	.010	-.012	.005	-.007	.663
1.000	.000	-.034	.025	.078	.081	-.010	-.012	-.478	.131	.094	-.050	.833
1.000	.000	-.000	-.000	-.059	.094	-.063	-.050	.111	.052	.086	-.080	.052
1.000	.000	-.084	-.008	-.008	.086	-.366	-.366	-.807	-.052	.1.000	-.063	-.447
1.000	.000	-.013	-.123	-.158	.156	-.123	.1.000	-.179	.206	.067	.033	.005

TOTAL	SSQ=	.36303141D 02	(.563365660 00)	DF=	79 (79)
REGRESION	SSQ=	.36275032D 02	(.53256980 00)	DF=	13 (12)
RESIDUAL	SSQ=	.28108674D -01	(.357397750 02)	DF=	66
MEDIA	SSQ=	= 6551.91	(104.73)	DF=	1
VALOR-F					

7-76		7-77		7-78		7-79		7-80		7-81		7-82		7-83		7-84		7-85		7-86		7-87		7-88		7-89		7-90		7-91		7-92		7-93		7-94		7-95		7-96	
• 51342500 00		-30597160-01		1.6269067		1.626321205		.13		30.34		30.34		30.34		30.34		30.34		30.34		30.34		30.34		30.34		30.34		30.34		30.34		30.34							
1.00 • 82653390 00		-22924520-01		-1.2038328		-1.20801428		.17		16.88		16.88		16.88		16.88		16.88		16.88		16.88		16.88		16.88		16.88		16.88		16.88									
1.00 • 82410290 00		• 24452320-01		1.3638057		1.513621213		.32		13.71		13.71		13.71		13.71		13.71		13.71		13.71		13.71		13.71		13.71		13.71		13.71									
1.00 • 73957270 00		-29610120-01		1.513621213		-1.674464468		.11		7.43		7.43		7.43		7.43		7.43		7.43		7.43		7.43		7.43		7.43		7.43		7.43									
1.00 • 73415730 00		-13033120-01		-1.12358763		-1.093936388		.08		2.41		2.41		2.41		2.41		2.41		2.41		2.41		2.41		2.41		2.41		2.41		2.41									
1.00 • 69207200 00		-20415020-01		-1.0923369		-1.06680800		.22		14.52		14.52		14.52		14.52		14.52		14.52		14.52		14.52		14.52		14.52		14.52		14.52									
1.00 • 68879620 00		-111279329-01		-1.06388027		-1.011119960		.23		14.61		14.61		14.61		14.61		14.61		14.61		14.61		14.61		14.61		14.61		14.61											
1.00 • 75915920 00		-20417460-02		-1051392		-10636862		.13		10.48		10.48		10.48		10.48		10.48		10.48		10.48		10.48		10.48		10.48		10.48											
1.00 • 76043190 00		-44793030-02		-2300584		-228404068		.12		8.73		8.73		8.73		8.73		8.73		8.73		8.73		8.73		8.73		8.73		8.73											
1.00 • 684646080 00		-16880260-01		-97445580		-97408019		.13		9.44		9.44		9.44		9.44		9.44		9.44		9.44		9.44		9.44		9.44		9.44		9.44									
1.00 • 65395490 00		-11093210-01		-5694753		-56653826		.12		8.80		8.80		8.80		8.80		8.80		8.80		8.80		8.80		8.80		8.80		8.80		8.80									
1.00 • 71917530 00		-22240450-01		-1.513621213		-1.513621213		.14		9.44		9.44		9.44		9.44		9.44		9.44		9.44		9.44		9.44		9.44		9.44											
1.00 • 71885490 00		-76726100-02		-3959193		-39337587		.19		13.63		13.63		13.63		13.63		13.63		13.63		13.63		13.63		13.63		13.63		13.63											
1.00 • 71820520 00		-32792809-01		-1.7178041		-1.74417758		.17		12.65		12.65		12.65		12.65		12.65		12.65		12.65		12.65		12.65		12.65		12.65											
1.00 • 64194970 00		-4428770-03		-0226264		-02245441		.11		6.59		6.59		6.59		6.59		6.59		6.59		6.59		6.59		6.59		6.59		6.59											
1.00 • 62633850 00		-16742360-01		-9331457		-894285759		.22		13.65		13.65		13.65		13.65		13.65		13.65		13.65		13.65		13.65		13.65		13.65											
1.00 • 61996460 00		-1754660-01		-9331457		-93221940		.21		13.96		13.96		13.96		13.96		13.96		13.96		13.96		13.96		13.96		13.96		13.96											
1.00 • 31961400 00		-16691670-02		-0884015		-087734466		.19		17.04		17.04		17.04		17.04		17.04		17.04		17.04		17.04		17.04		17.04		17.04											
1.00 • 75143630 00		-27756570-01		-1.4747675		-1.46603399		.16		8.72		8.72		8.72		8.72		8.72		8.72		8.72		8.72		8.72		8.72													
1.00 • 74952460 00		-30223270-02		-1.568634		-1.568634		.16		8.72		8.72		8.72		8.72		8.72		8.72		8.72		8.72		8.72		8.72													
1.00 • 63748130 00		-34175710-01		-1.7351340		-1.76261018		.10		2.86		2.86		2.86		2.86		2.86		2.86		2.86		2.86		2.86		2.86													
1.00 • 63746130 00		-33800210-01		-1.0795400-01		-5653507		.17		9.84		9.84		9.84		9.84		9.84		9.84		9.84		9.84		9.84		9.84		9.84											
1.00 • 58467470 00		-77749220-02		-4071696		-40458171		.17		13.36		13.36		13.36		13.36		13.36		13.36		13.36		13.36		13.36		13.36		13.36											
1.00 • 52824290 00																																									

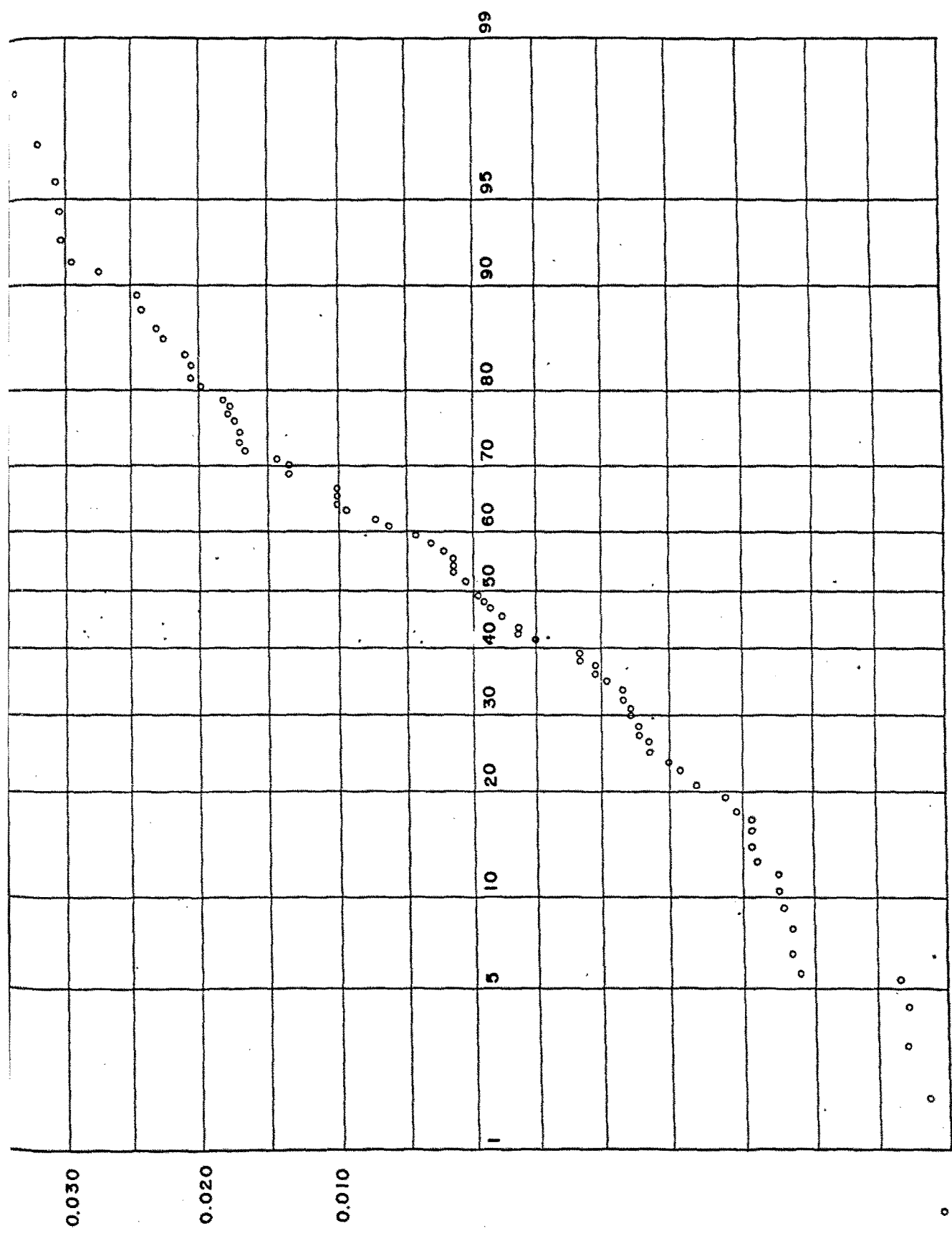
1.000 -0.074 -140 -0.141 -0.054 -0.526 -0.135 -0.455 -0.653 -0.237 -0.883 -0.844
1.000 -0.408 -0.234 -0.600 -0.210 -0.751 -0.077 -0.141 -0.080 -0.101 -0.040 -0.082
1.000 -0.095 -0.387 -0.132 -0.520 -0.196 -0.072 -0.260 -0.085 -0.065 -0.06 -0.061
1.000 -0.197 -0.021 -0.173 -0.090 -0.206 -0.054 -0.188 -0.089 -0.089 -0.189 -0.189

1.000 -0.049 -0.797 -0.065 -0.441 -0.364 -0.082 -0.054 -0.060
1.000 -0.108 -0.360 -0.410 -0.501 -0.230 -0.328 -0.641 -0.641
1.000 -0.158 -0.363 -0.116 -0.019 -0.019 -0.086 -0.145 -0.145
1.000 -0.225 -0.637 -0.017 -0.086 -0.758 -0.758

1.000 1.000 1.000 1.000 1.000 1.000 1.000 1.000 1.000 1.000 1.000 1.000

COEFICIENTE 1= .6626048D 00 VALOR-T= 141.66 DESV.TIP= .46774023D-02
COEFICIENTE 2= -.6253501D 00 VALOR-T= -4.13 DESV.TIP= .15129341D 00
COEFICIENTE 3= -.2155424D 01 VALOR-T= -11.66 DESV.TIP= .18483314D 00
COEFICIENTE 4= .3489540D 02 VALOR-T= 2.62 DESV.TIP= .13338250D 02
COEFICIENTE 5= -.5361038D 01 VALOR-T= -10.53 DESV.TIP= .50911966D 00
COEFICIENTE 6= .2157806D 03 VALOR-T= -2.93 DESV.TIP= .735532700 02
COEFICIENTE 7= .8624857D 00 VALOR-T= 5.02 DESV.TIP= .17173915D 00
COEFICIENTE 8= -.2581034D 02 VALOR-T= -5.66 DESV.TIP= .45609608D 01
COEFICIENTE 9= -.6313399D-01 VALOR-T= -7.55 DESV.TIP= .836672940-02
COEFICIENTE 10= .6090236D-01 VALOR-T= 4.58 DESV.TIP= .132861930-01
COEFICIENTE 11= .9462846D 00 VALOR-T= 3.47 DESV.TIP= .27299749D 00
COEFICIENTE 12= .6062283D 02 VALOR-T= 2.70 DESV.TIP= .22488397D 02
COEFICIENTE 13= -.6866697D 02 VALOR-T= -2.68 DESV.TIP= .25590518D 02

FIG. 7.- SOLUCION I - REPRESENTACION EN PAPEL PROBABILISTICO NORMAL DE LOS RESIDUOS



ABSCISAS : A - 0.1247
ORDENADAS : RESIDUOS

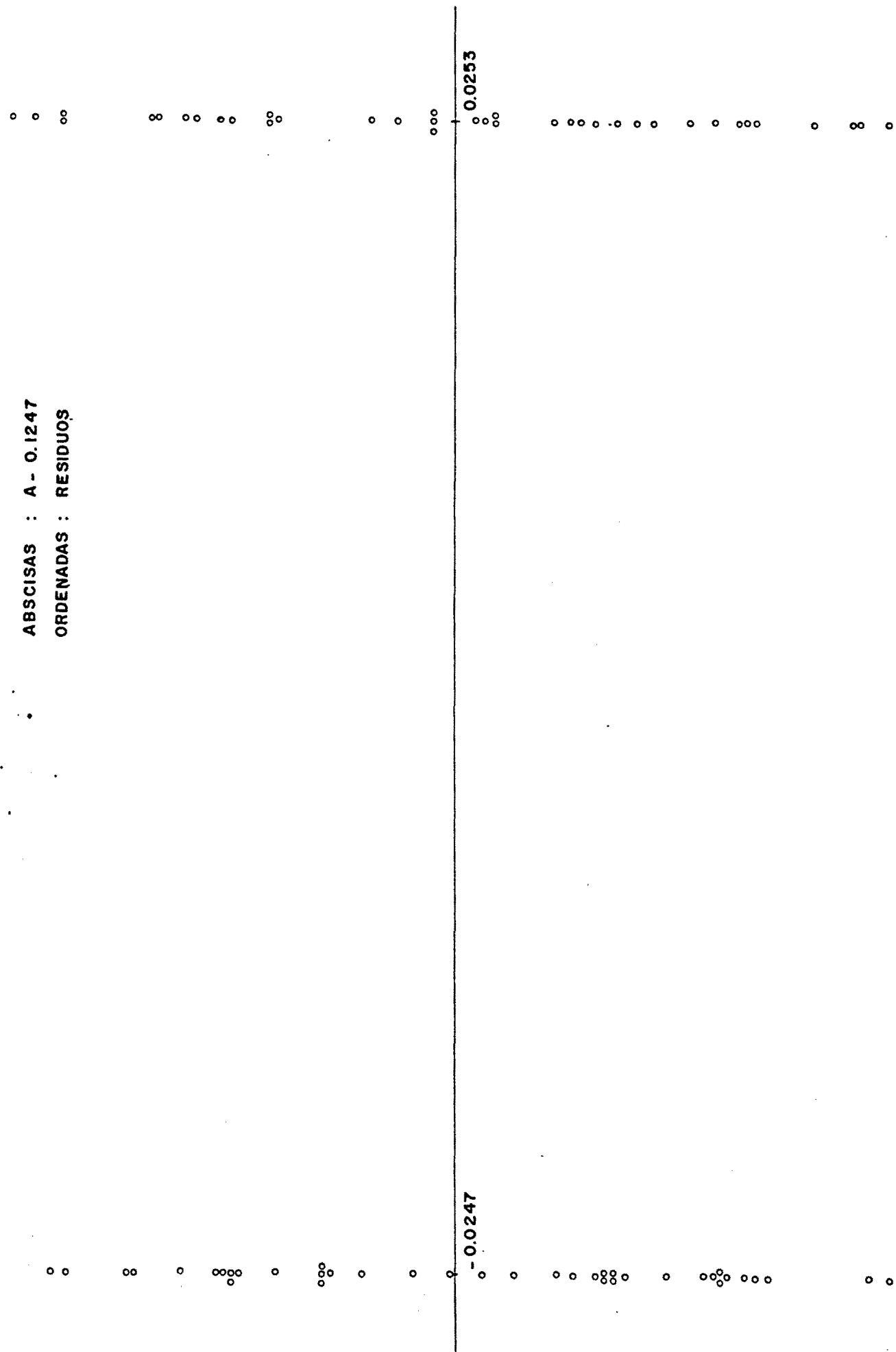


FIG. 8 .- SOLUCION I - REPRESENTACION GRAFICA DE LA RELACION : PORCENTAJE ARENA - RESIDUO

ABSCISAS : $t = 0.04101$
ORDENADAS : RESIDUOS

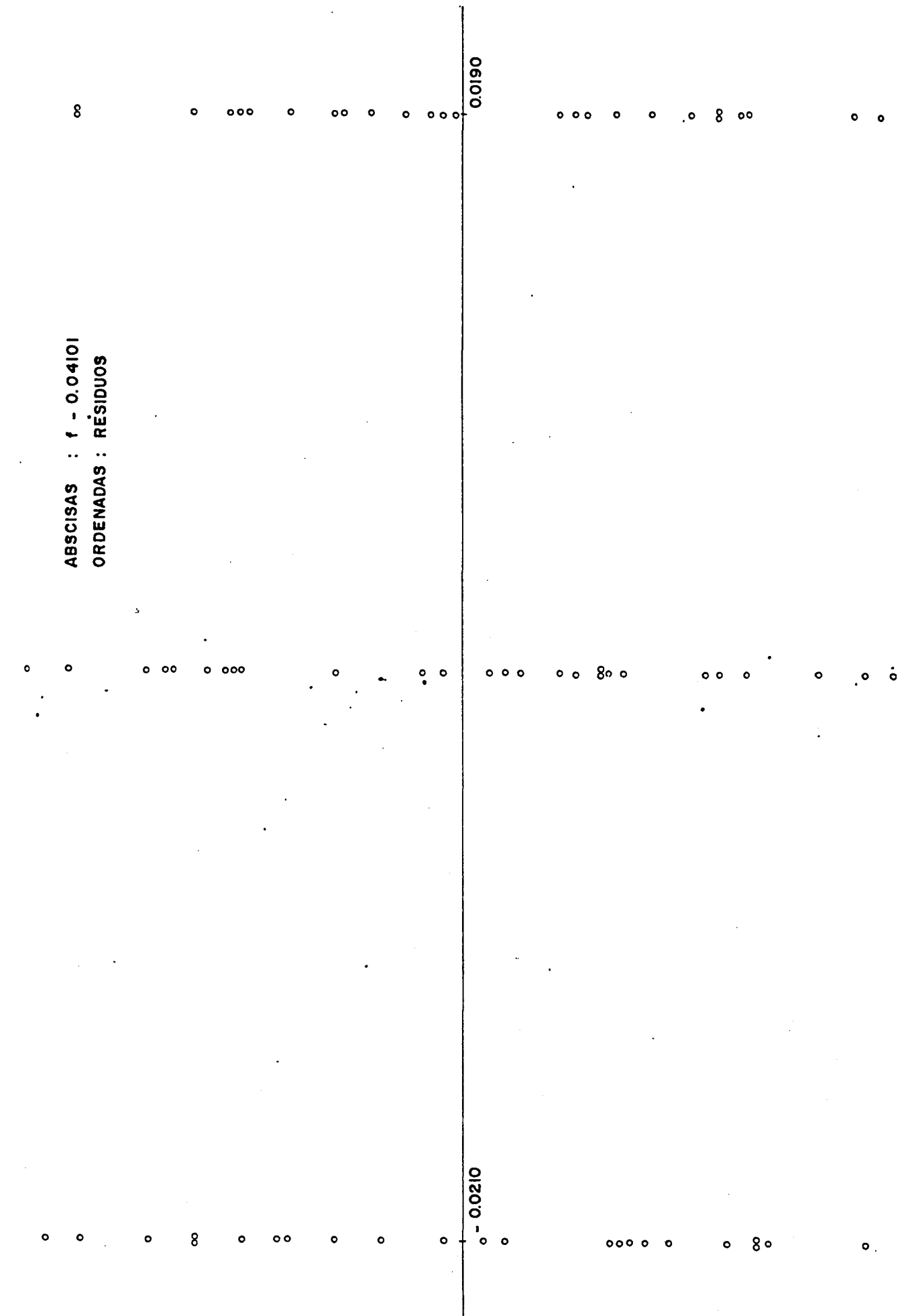


FIG. 9 .- SOLUCION I - REPRESENTACION GRAFICA DE LA RELACION : PORCENTAJE FILLER - RESIDUO

ABSCISAS : $(1 - 0.04028)^2 - 0.000263$
ORDENADAS: RESIDUOS

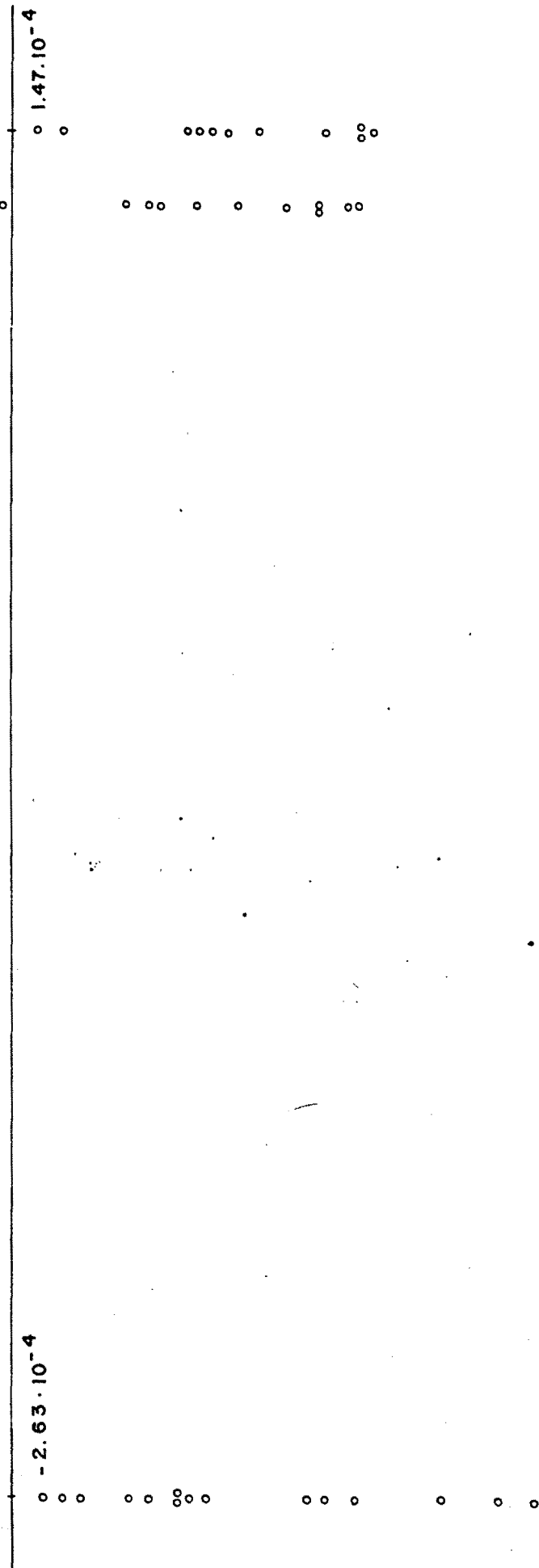


FIG. 10 .- SOLUCION I - REPRESENTACION GRAFICA DE LA RELACION : PORCENTAJE FILLER²- RESIDUO

ABSCISAS : $b - 0.04487$
ORDENADAS : RESIDUOS

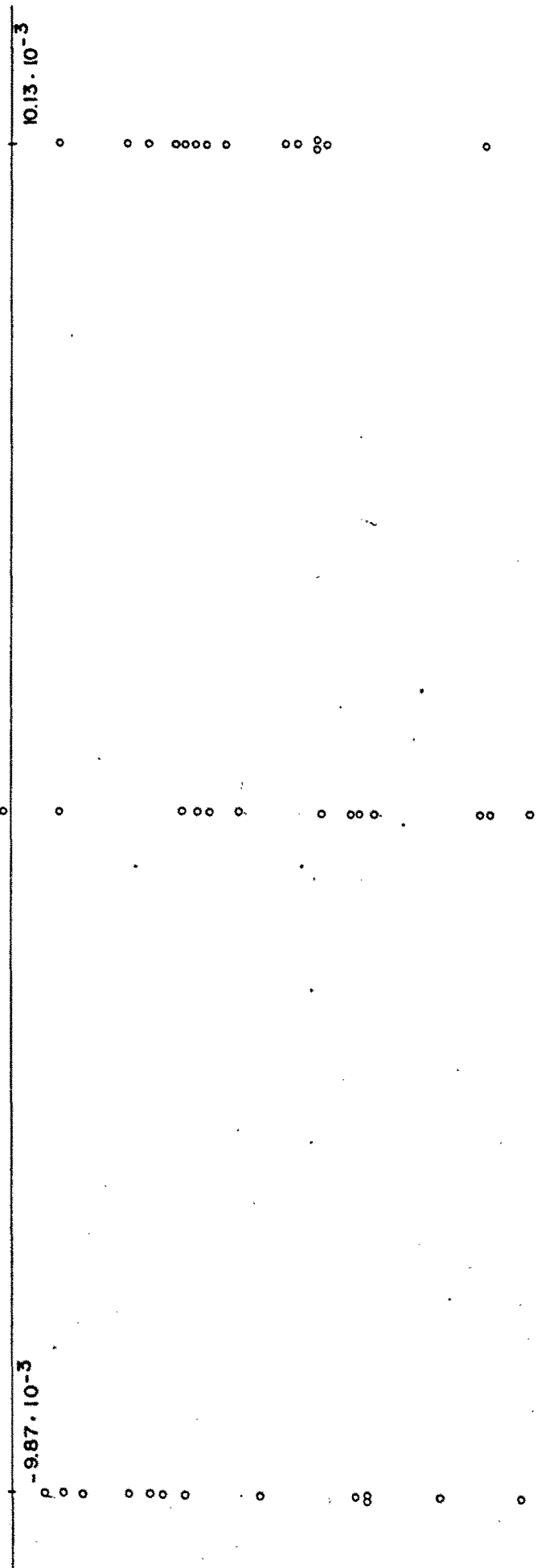


FIG. II .- SOLUCION I - REPRESENTACION GRAFICA DE LA RELACION : PORCENTAJE BETUN - RESIDUO

ABSCISAS : $(b - 0.04497)^2$ - 0.000067
ORDENADAS: RESIDUOS

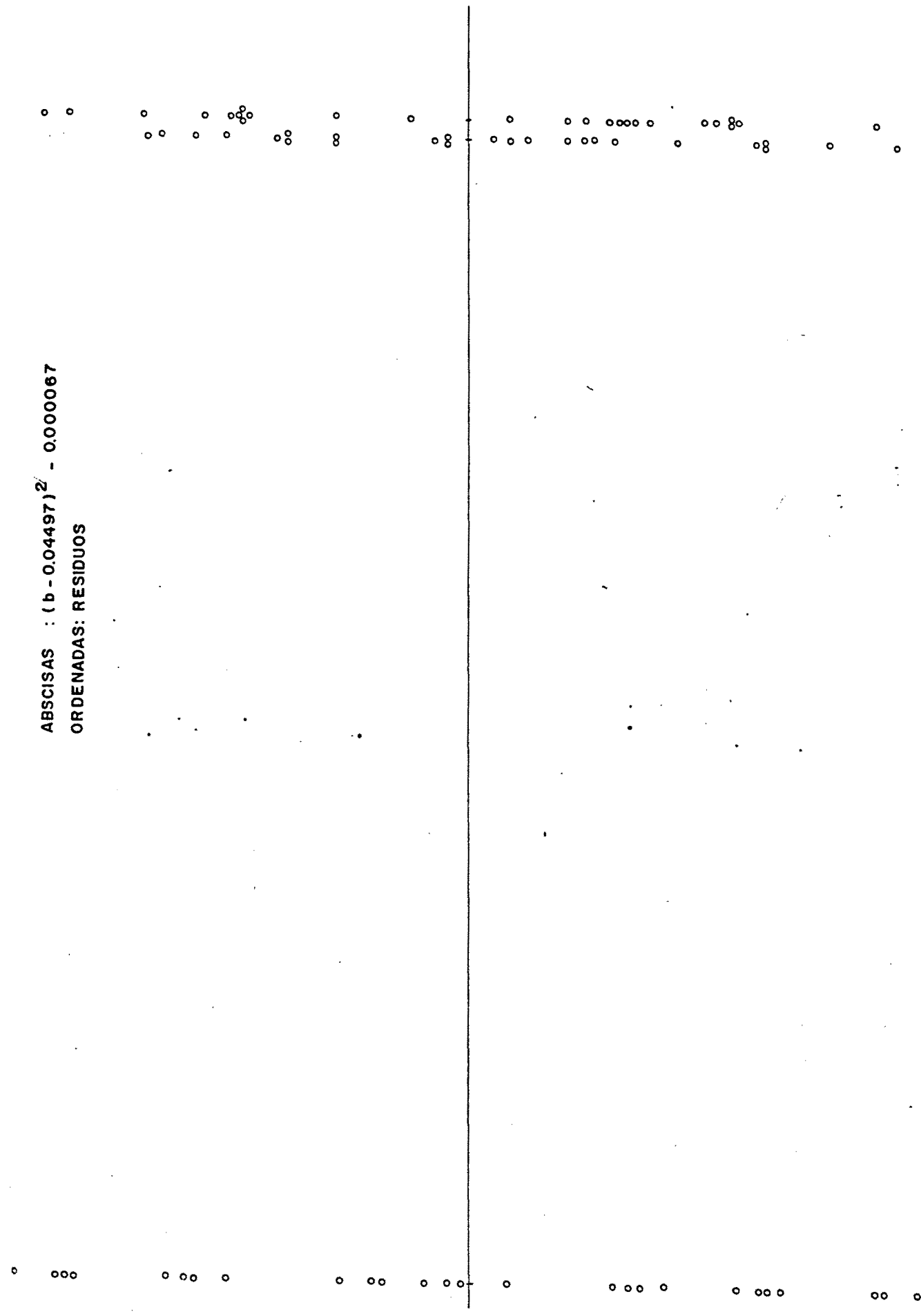


FIG. I2 .- SOLUCION I - REPRESENTACION GRAFICA DE LA RELACION : PORCENTAJE BETUN² - RESIDUO

ABSCISAS : H - 0.1864
ORDENADAS : RESIDUOS

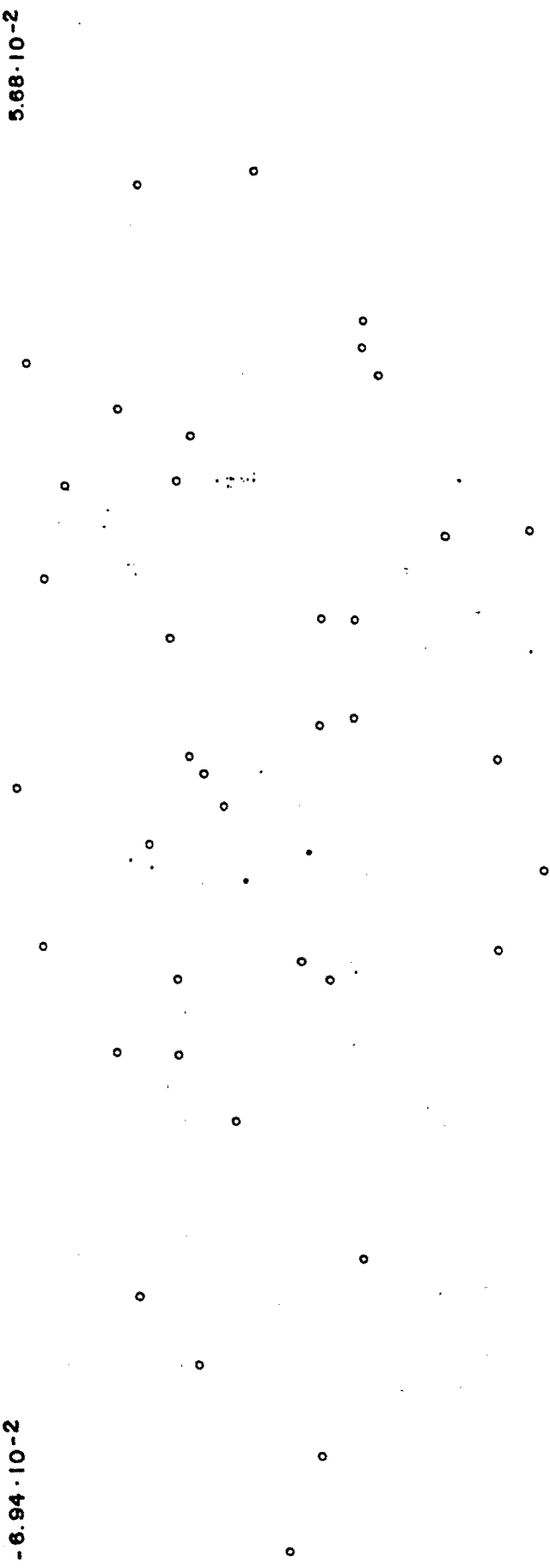


FIG. 13.- SOLUCION I - REPRESENTACION GRAFICA DE LA RELACION : HUECOS - RESIDUO

ABSCISAS : $(H - 0.1824)^2$ - 0.00089
ORDENADAS : RESIDUOS

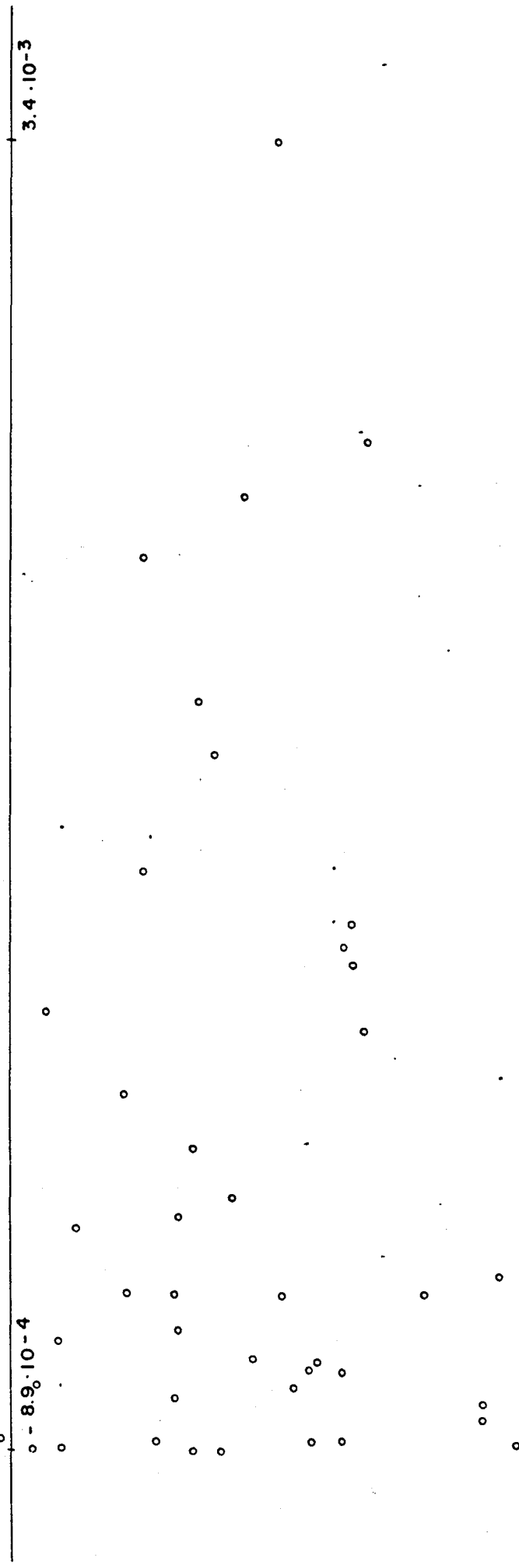


FIG. I4 .- SOLUCION I - REPRESENTACION GRAFICA DE LA RELACION : HUECOS²-.RESIDUO

ABSCISAS $= (TM - 11.361) + (b - 0.044873)$

ORDENADAS : RESIDUOS

$$1.344 \cdot 10^{-2}$$

$$-1.378 \cdot 10^{-2}$$

FIG. 15 . - SOLUCION 1 - REPRESENTACION GRAFICA DE LA RELACION : BETUN x TAMAÑO MAXIMO - RESIDUO

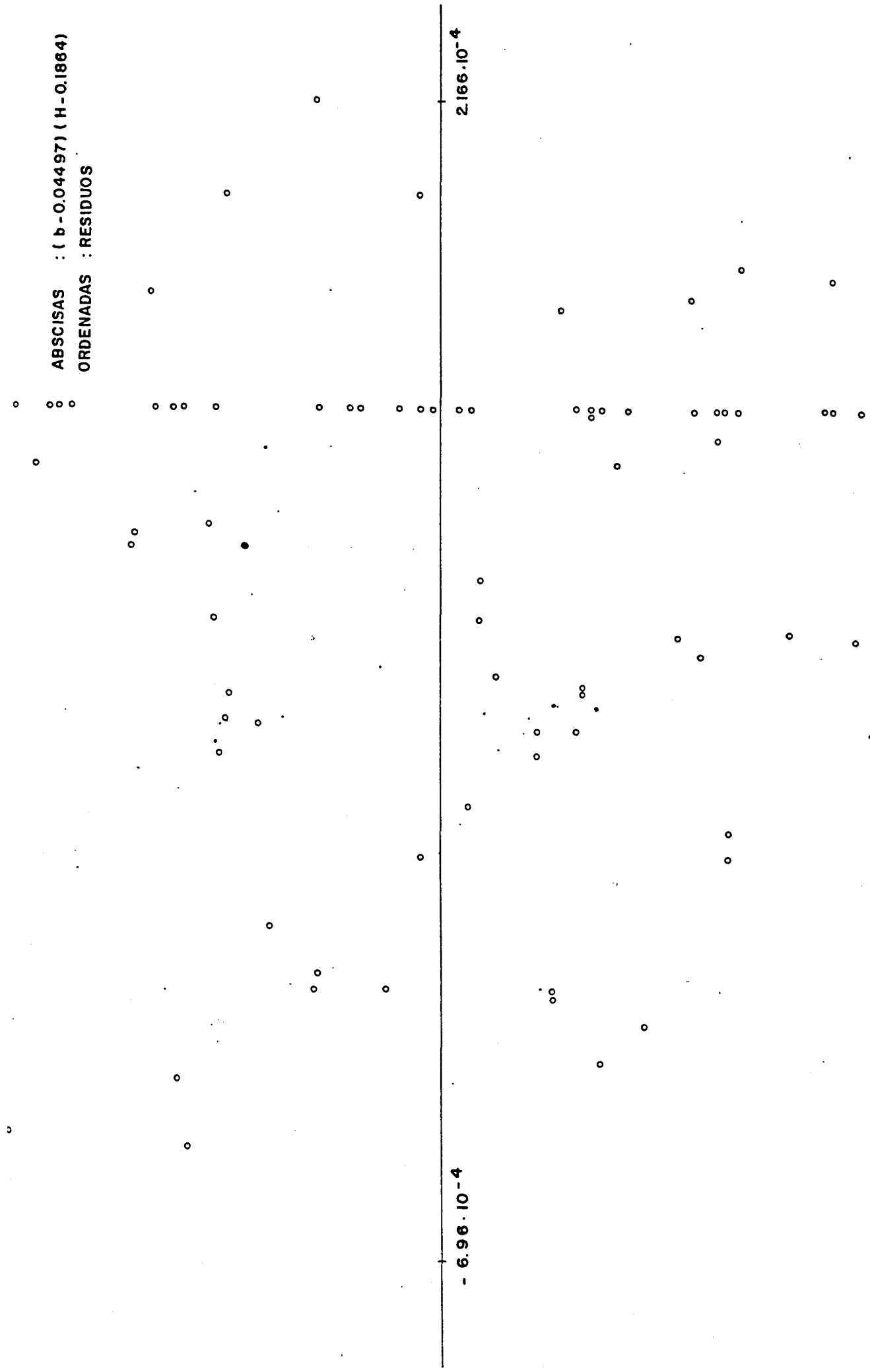
ABSCISAS : $(b - 0.044873) + (f - 0.0401026)$

ORDENADAS : RESIDUOS



FIG. 16 - SOLUCION I - REPRESENTACION GRAFICA DE LA RELACION : BETUN x FILLER - RESIDUO

FIG. 17 - SOLUCION I - REPRESENTACION GRAFICA DE LA RELACION : BETUN x HUECOS - RESIDUO



SOLUCION 2

FIG. 6. T-TESTS FOR VARIANCE OF MPC PUNTS = 70 VARIANCE = .52432854310^-03. CUM CP = 1.02 AND CUMULATIVE = 3.

COLUMNAS	CP	CP	CP	CP	CP
01111110001110	12.460	13.977	011111001110	12.654	13.746
0111111001110	14.124	15.146	011111011110	13.922	15.061
0111111001111	15.327	14.262	011111011110	13.028	16.062
0111111001110	16.571	17.007	011111011110	12.814	17.314
0111111001111	17.540	18.007	011111011110	13.957	17.412
0111111011110	18.697	18.007	011111011110	13.175	17.412
0111111011111	19.203	19.803	011111011110	14.304	17.465
0111111011110	20.335	20.007	011111011110	15.200	

NUMERO DE VASOS = 8 NUMERO DE PUNTOS = 77

Number of Circumstances Pala Gada Varieties

WAVELENGTH (NM)	PEAK (A ₀)	MIN (A ₀)	MAX (A ₀)	BAND	MAX(DIN)
1	• 120000 0.1	• 100000 0.1	• 160000 0.1	• 000000 0.0	1.00
2	• 113610 0.2	• 106005 0.2	• 125000 0.2	• 250000 0.1	1.25
3	• 124680 0.0	• 100000 0.0	• 150000 0.0	• 500000 -0.1	1.50
4	• 410153 -0.1	• 200000 -0.1	• 600000 -0.1	• 4000000 -0.1	3.00
5	• 346730 -0.1	• 350000 -0.1	• 550000 -0.1	• 2000000 -0.1	1.57
6	• 346430 0.0	• 117000 0.0	• 243000 0.0	• 126000 0.0	2.04
7	• 347170 0.0	• 364000 0.0	• 171430 0.1	• 150000 0.1	6.71
8	• 578770 0.1	• 505000 0.1	• 612000 0.1	• 107000 0.1	1.21
9	• 347170 0.0	• 364000 0.0	• 171430 0.1	• 150000 0.1	5.94

PERSON CARRIER 1 CARRIER 2 CARRIER 3 CARRIER 4 CARRIER 5 CARRIER 6 CARRIER 7 CARRIER 8 CARRIER 9 CARRIER 10 CARRIER 11
CARRIER 12 CARRIER 13 CARRIER 14 CARRIER 15 CARRIER 16 CARRIER 17 CARRIER 18 CARRIER 19 CARRIER 20 CARRIER 21
RESPUESTA 1 2 3 4 5 6 7 8 9 10 11 12 13 14 15 16 17 18 19 20 21
VARIABLE 1 VARIABLE 2 VARIABLE 3 VARIABLE 4 VARIABLE 5 VARIABLE 6 VARIABLE 7 VARIABLE 8 VARIABLE 9 VARIABLE 10 VARIABLE 11
MAN 3983 5

10-MEDIA **10-MEDIA** **10-MEDIA** **10-MEDIA** **10-MEDIA** **10-MEDIA**

RESPUESTA EXCEPCIONES SON SÓLO PERTINENTES A LAS CARRERAS.

TIPO DE LACIENES		CENTRO LAS CAPRICHOS Y LA RESPUESTA PONERIAS	
1.000	-0.057	-0.019	-0.014
1.000	-0.052	-0.010	-0.015
1.000	-0.000	-0.018	-0.010

1.000 .000 -.137 .002 .005 .018 -.006 -.663
 1.000 .078 -.162 -.010 -.010 .010 .131
 1.000 1.000 .013 -.123 -.131 -.140 .123
 1.000 1.000 .013 .000 -.047
 1.000 .017 -.017 .057
 1.000 -.016 .183
 1.000 -.016 .073

TOTAL SSQ= .363031410 02 (.563365660 00) DF= 79 (78)
 REGRESION SSQ= .3626667820 02 (.527006730 00) DF= 12 (11)
 RESIDUAL SSQ= .363589220-01 (.357397750 02) DF= 67
 MEDIA SSQ= 5569.18 (88.29)
 COEF.CJPK *MUL.T.(0 ?)= .938938 T .935461V
 LOS VALORES ENTRE () CORRESPONDEN A QUITAR EL EFECTO DE LA MEDIA DE LA RESPUESTA. ESTO TIENE VALOREZ SI
 EN LA MATRIZ DE DISEÑO EXISTE UNA COLUMNA DE 1'S (I=VALIDO, 0=NO VALIDO). ES=1

SSQ RESIDUAL MEDIA (RMS)= .54267048360-03
 RAÍZ SSQ RESIDUAL MEDIA (RMS)= .23295288870-01
 GRADOS DE LIBERTAD RESIDUALES= 67

MATRIZ DE CORRELACIONES DE LOS COEFICIENTES

1.000 -.003 .026 .032 .017 -.017 -.120 -.118 -.002 -.001 -.033
1.000 .009 -.061 .016 -.005 .015 -.132 -.032 -.032 -.028
1.000 -.003 -.052 -.034 .001 .022 -.111 -.031 -.032 -.016
1.000 .021 -.000 -.023 -.126 -.141 -.001 -.010 -.037
1.000 .001 -.012 -.073 -.071 -.001 -.001 -.022
1.000 -.011 .144 .007 .015 -.015 -.039 -.027
1.000 -.075 .162 -.001 -.001 -.021
1.000 .042 .133 -.135 .153
1.000 .006 -.006 -.004
1.000 .036 .036
1.000 -.002 .002
1.000 1.000

COEFICIENTE 1= -.67325170 00 VALOR-T= 253.17 DESV.TIP= .26592624D-02 SSQ REGRESION= .35772950 02
COEFICIENTE 2= -.3098398C-02 VALOR-T= -1.45 DESV.TIP= .21397822D-02 SSQ REGRESION= .23342130-02
COEFICIENTE 3= .11525480 01 VALOR-T= -10.81 DESV.TIP= .10359887D-00 SSQ REGRESION= .7019068D-01
COEFICIENTE 4= -.27732680 01 VALOR-T= -16.77 DESV.TIP= .16532377D-00 SSQ REGRESION= .162320D-00
COEFICIENTE 5= -.3066409C 02 VALOR-T= -2.20 DESV.TIP= .13938657D-02 SSQ REGRESION= .1915502D-02
COEFICIENTE 6= -.70115010 01 VALOR-T= -21.67 DESV.TIP= .32361221D-00 SSQ REGRESION= .2540123D-00
COEFICIENTE 7= .2818661C 03 VALOR-T= 4.91 DESV.TIP= .56739755D-02 SSQ REGRESION= .1156191D-01
COEFICIENTE 8= -.79133540-01 VALOR-T= -3.16 DESV.TIP= .25012354D-01 SSQ REGRESION= .4536643D-01
COEFICIENTE 9= .17239401D-01 VALOR-T= 2.74 DESV.TIP= .24637413D-01 SSQ REGRESION= .4614614D-01
COEFICIENTE 10= .30988910 00 VALOR-T= 1.50 DESV.TIP= .2586754D-00 SSQ REGRESION= .1447426D-02
COEFICIENTE 11= -.30174700 02 VALOR-T= -4.57 DESV.TIP= .66048779D-01 SSQ REGRESION= .587C945D-02
COEFICIENTE 12= -.35206220 02 VALOR-T= -2.72 DESV.TIP= .12366687D-02 SSQ REGRESION= -.23337410-02

PRENSIS ESTIMACIONES PESTINDUSP(SAUDI) STUDENT.TRES STU01.JACK.RFS VARIATION 6356 SSQ SIN PESCI INCR.RELAJAC TEKA VELUTIN
1.00 .8021470C 00 .1117175D-01 .51912161 .01 .668112 05 .3610C 66
1.00 .8021470C 00 .9151073D-02 .4275634 .01 .668110 05 .3610C 66
1.00 .6935491D 00 .11302149-02 .0416004 .01 .564460 09 .176090 09 .1344.3 07
1.00 .6935491D 00 .11302149-02 .0416004 .01 .139000 04 .176090 09 .1344.3 07
1.00 .5533749H 00 .7060521D-02 .12375262X .01 .34430D 01 .562350 05 .3146C 06

18.0.3		18.0.4		18.0.5		18.0.6	
1.00	-71.4613.90	0.0	-1.2620.10	-0.1	1.0260.677	-1.5	10.39
1.00	-71.4613.90	0.0	-36.6473.50	-0.2	3.9709.093	-1.5	10.90
1.00	-61.6216.30	0.0	-2.2514.30	-0.1	1.2227.723	-1.0	2.39
1.00	-61.6216.30	0.0	-41.32.65.70	-0.1	-1.6591.574	-1.0	2.39
1.00	-56.971.45	0.0	-1.6022.60.50	-0.1	-1.7313.748	-1.0	2.39
1.00	-56.971.45	0.0	-2.82.17.20	-0.1	-1.3031.8411	-1.0	11.37
1.00	-56.971.45	0.0	-1.2089.76.0	-0.1	-5.60.96.63.9	-1.0	11.37
1.00	-60.0012.10	0.0	-1.1806.12.0	-1.5	-0.00.00.00.0	2.6733.333	27.51
1.00	-5808.78.60	0.0	-2.0944.76.0	-0.1	-9.7649.599	-1.8	16.26
1.00	-6.0012.10	0.0	-2.0944.76.0	-0.1	-9.7634.7	-1.8	16.26
1.00	-5741.450	0.0	-2.3645.82.0	-0.2	-1.0742.88	-1.2	7.76
1.00	-5741.450	0.0	-4.1908.82.0	-0.1	-1.9036.574	-1.2	7.76
1.00	-5741.450	0.0	-4.3510.03.0	-0.1	-1.6767.0	-1.2	7.76
1.00	-5741.450	0.0	-3.1269.12.0	-0.1	-1.7598.141	-1.0	11.37
1.00	-5111.90.0	0.0	-1.1794.76.0	-0.1	-8.2618.004	-1.0	16.26
1.00	-5111.90.0	0.0	-4.243.52.80	-0.1	-1.9505.42	-2.0	16.26
1.00	-5111.90.0	0.0	-4.243.52.80	-0.1	-1.9505.42	-2.0	16.26
1.00	-5111.90.0	0.0	-3.2822.09.0	-0.1	1.5226.55.2	-1.6	16.74
1.00	-5111.90.0	0.0	-1.9558.84.60	-0.1	-3.2603.30.3	-1.7	17.39
1.00	-6.9707.59.0	0.0	-1.9558.84.60	-0.1	-7.0622.17.0	-0.2	17.39
1.00	-7.6753.32.0	0.0	-41.5774.40	-0.3	-0.0189.652	-1.3	10.80
1.00	-7.6753.32.0	0.0	-15.8055.72.0	-0.2	-0.0720.964	-1.3	10.80
1.00	-7.6753.32.0	0.0	-9.9028.00	-0.2	-3.6728.85	-1.3	10.80
1.00	-7.6753.32.0	0.0	-1.2153.24.0	-0.1	-5.4457.03	-0.9	2.31
1.00	-6.7253.47.0	0.0	-1.2918.46.0	-0.3	-0.0325.291	-0.9	2.31
1.00	-6.7253.47.0	0.0	-2.4024.6.0	-0.1	-7.5791.777	-0.9	2.31
1.00	-6.4391.74.0	0.0	-1.3956.87.0	-0.1	-1.0102.981	-1.4	11.29
1.00	-6.4391.74.0	0.0	-3.5048.67.40	-0.1	-1.6306.62.23	-1.4	11.29
1.00	-6.4391.74.0	0.0	-1.2462.77.0	-0.1	-1.6937.191	-1.4	11.29
1.00	-7.2849.01.0	0.0	-2.2166.63.0	-0.1	-1.2231.66.76	-1.5	16.19
1.00	-7.2849.01.0	0.0	-1.7527.45.0	-0.1	-1.0050.015.8	-1.5	16.19
1.00	-7249.96.0	0.0	-4.3493.71.0	-0.1	-2.0029.719	-2.0	0.0030.070
1.00	-6.4391.74.0	0.0	-1.9517.14.0	-0.1	-6.4735.581	-1.2	7.70
1.00	-6.4391.74.0	0.0	-2.4047.34.0	-0.2	-1.0233.22.6	-1.2	7.70
1.00	-6.4391.74.0	0.0	-27.8324.50	-0.1	-1.3094.87.2	-1.7	16.68
1.00	-6.1612.03.0	0.0	-22.14.08.0	-0.1	-1.0296.01.7	-1.0	16.08
1.00	-6.1612.03.0	0.0	-27.76.60.70	-0.1	-1.3036.21.76	-1.8	18.05
1.00	-6.1612.03.0	0.0	-7.9617.65.0	-0.3	-0.3711.68.6	-1.8	17.58
1.00	-6.1612.03.0	0.0	-7.3613.40.0	0.0	-1.0576.32.7	-1.0	10.92
1.00	-6.1612.03.0	0.0	-2.2654.33.0	-0.1	-1.0576.32.7	-1.0	10.92
1.00	-7.3613.40.0	0.0	-21.0507.30.0	-0.1	-9.5391.47.3	-1.3	9.06
1.00	-7.0717.19.0	0.0	-5.5216.61.0	-0.2	-2.2501.64.717	-1.3	9.06
1.00	-7.0717.19.0	0.0	-2.9157.81.0	-0.1	-9.9013.14.3	-1.1	2.40
1.00	-6.5120.01.0	0.0	-1.1872.79.0	-0.1	-8.7460.884	-1.8	18.05
1.00	-6.5120.01.0	0.0	-6.0124.90.0	-0.2	-2.7777.85	-1.6	11.39
1.00	-6.5120.01.0	0.0	-1.2620.85.20	-0.2	-4.1732.83	-1.6	11.39
1.00	-6.6773.42.0	0.0	-1.3888.60.6	-0.1	-3.9228.7	-1.9	16.29
1.00	-6.6773.42.0	0.0	-2.0508.52.0	-0.2	-0.0959.41.9	-0.9529.75	16.29
1.00	-6.3743.11.0	0.0	-1.1250.42.6	-0.1	-5.7744.55.0	-1.6	11.39
1.00	-6.6766.70.0	0.0	-9.032.82.0	-0.2	-4.7643.50	-1.6	10.92
1.00	-6.6773.42.0	0.0	-1.3888.60.6	-0.1	-4.7372.90.9	-1.6	10.92
1.00	-6.6773.42.0	0.0	-2.0508.52.0	-0.2	-2.2119.70.9	-1.1	2.40
1.00	-6.5238.33.0	0.0	-2.4783.81.0	-0.1	-1.0931.07	-1.1	2.40
1.00	-6.2363.69.0	0.0	-2.2915.78.0	-0.1	-1.8748.084	-1.8	18.05
1.00	-6.1612.03.0	0.0	-1.2620.85.20	-0.2	-2.7777.85	-1.6	11.39
1.00	-6.1612.03.0	0.0	-7.9617.65.0	-0.3	-4.1747.16.1	-1.6	11.39
1.00	-6.1612.03.0	0.0	-1.2620.85.20	-0.2	-4.1732.83	-1.6	11.39
1.00	-6.1612.03.0	0.0	-7.3613.40.0	0.0	-0.0000.00.0	*****	17.18
1.00	-6.1612.03.0	0.0	-2.2764.91.7	-0.2	-1.2272.38.1	-1.3	7.77
1.00	-6.1612.03.0	0.0	-1.0310.25.0	-0.1	-4.7498.29	-1.8	16.76
1.00	-6.1612.03.0	0.0	-1.0114.41.9	-0.1	-1.0931.07	-1.8	16.76
1.00	-6.1612.03.0	0.0	-2.34.21.87.0	-0.1	-1.9173.59.4	-1.9	17.91
1.00	-6.1612.03.0	0.0	-1.2908.61.0	-0.1	-1.2936.60.9	-1.9	17.91
1.00	-6.1612.03.0	0.0	-1.0280.61.6	-0.1	-7.7448.61.0	-1.9	17.91
1.00	-6.1612.03.0	0.0	-1.2768.31.0	-0.1	-1.2768.31.0	-1.9	17.91
1.00	-6.1612.03.0	0.0	-1.0114.41.9	-0.1	-1.7161.92.5	-1.9	17.91
1.00	-6.1612.03.0	0.0	-1.1554.44.9	-0.1	-5.5251.43.8	-1.9	8.91
1.00	-6.1612.03.0	0.0	-1.9161.94.6	-0.1	-9.1626.01.4	-1.9	17.91
1.00	-6.1612.03.0	0.0	-1.2936.60.9	-0.1	-1.2936.60.9	-1.9	17.91
1.00	-6.1612.03.0	0.0	-3.2117.52.0	-0.2	-3.2117.52.0	-1.9	17.91
1.00	-6.1612.03.0	0.0	-3.1713.31.0	-0.2	-3.1713.31.0	-1.9	17.91

1.00	*77497330 00	-14312909-01	-6593270	*65652164	.15	10.83	10.83
1.00	*68916130 00	-11951620-02	-0538172	-05341527	.10	2.32	2.32
1.00	*68016130 00	*23896779-01	1.0760536	1.07734304	.10	2.32	2.32
1.00	*64177250 00	*29394559-02	*1352558	*134726099	.15	11.31	11.31
1.00	*64179250 00	-41792530-01	-1.3239609	-1.96456991	.15	11.31	11.31
1.00	*74627620 00	*20162090-02	*0939478	*09325C18	.18	16.22	16.22
1.00	*74627620 00	-70220230-02	-3271999	-32500667	.18	16.22	16.22
1.00	*55153420 00	*26790540-02	*1273598	*12145679	.13	7.71	7.71
1.00	*55153420 00	*80360209-02	*3693109	*35641813	.13	7.71	7.71
1.00	*61316540 00	*94863570-02	-4431200	-4402661	.19	16.71	16.71
1.00	*61316540 00	-21617270-01	-1.0099826	-1.01013614	.19	16.71	16.71

PAIR 12 DE CORRELACIONES DE LOS COEFICIENTES BASADA EN EL JACKKNIFE

1.000	*233 *095 .065	.207 -.111 -.459 -.447 -.033 .214 .004
1.000	*187 *211 -.034 .003 -.391 -.116 .231 .083 .124	
1.000	*217 -.185 .011 -.313 -.237 -.570 .136 .094 .216	
1.000	*037 .024 .033 -.473 -.376 .058 -.057 .051	
1.000	*106 .138 -.331 -.113 -.076 .178 .197	
1.000	*163 .296 -.015 .249 .055 -.123	
	1.000 -.008 .818 -.015 -.169 -.003	
	1.000 -.488 .296 -.730 .178	
	1.000 .019 -.536 -.104	
	1.000 -.062 .010	
	1.000 .025	
	1.000	

1.000

COEFICIENTE 1= *6732517D 00 VALOR-T= 238.48 DESV.TIP= *28231434D-02
COEFICIENTE 2= *3098398C-02 VALOR-T= -1.43 DESV.TIP= *2166.8174D-02
COEFICIENTE 3= *11525480 01 VALOR-T= -.10.16 DESV.TIP= *111207970 00
COEFICIENTE 4= -*2773268D 01 VALOR-T= -15.80 DESV.TIP= *175473660 00
COEFICIENTE 5= *3066409D 02 VALOR-T= 2.11 DESV.TIP= *145539670 02
COEFICIENTE 6= -.7011501 01 VALOR-T= -21.33 DESV.TIP= *324719760 00
COEFICIENTE 7= *2818661D 03 VALOR-T= 4.53 DESV.TIP= *621807830 02
COEFICIENTE 8= *7913354D-01 VALOR-T= -8.89 DESV.TIP= *890513130-02
COEFICIENTE 9= *7239601D-01 VALOR-T= 9.97 DESV.TIP= *907816260-02
COEFICIENTE 10= *3898991D 00 VALOR-T= -1.51 DESV.TIP= *258244720 00
COEFICIENTE 11= -.30174700 02 VALOR-T= -4.27 DESV.TIP= *706370080 01
COEFICIENTE 12= *3520622D 02 VALOR-T= -2.71 DESV.TIP= *129934170 02

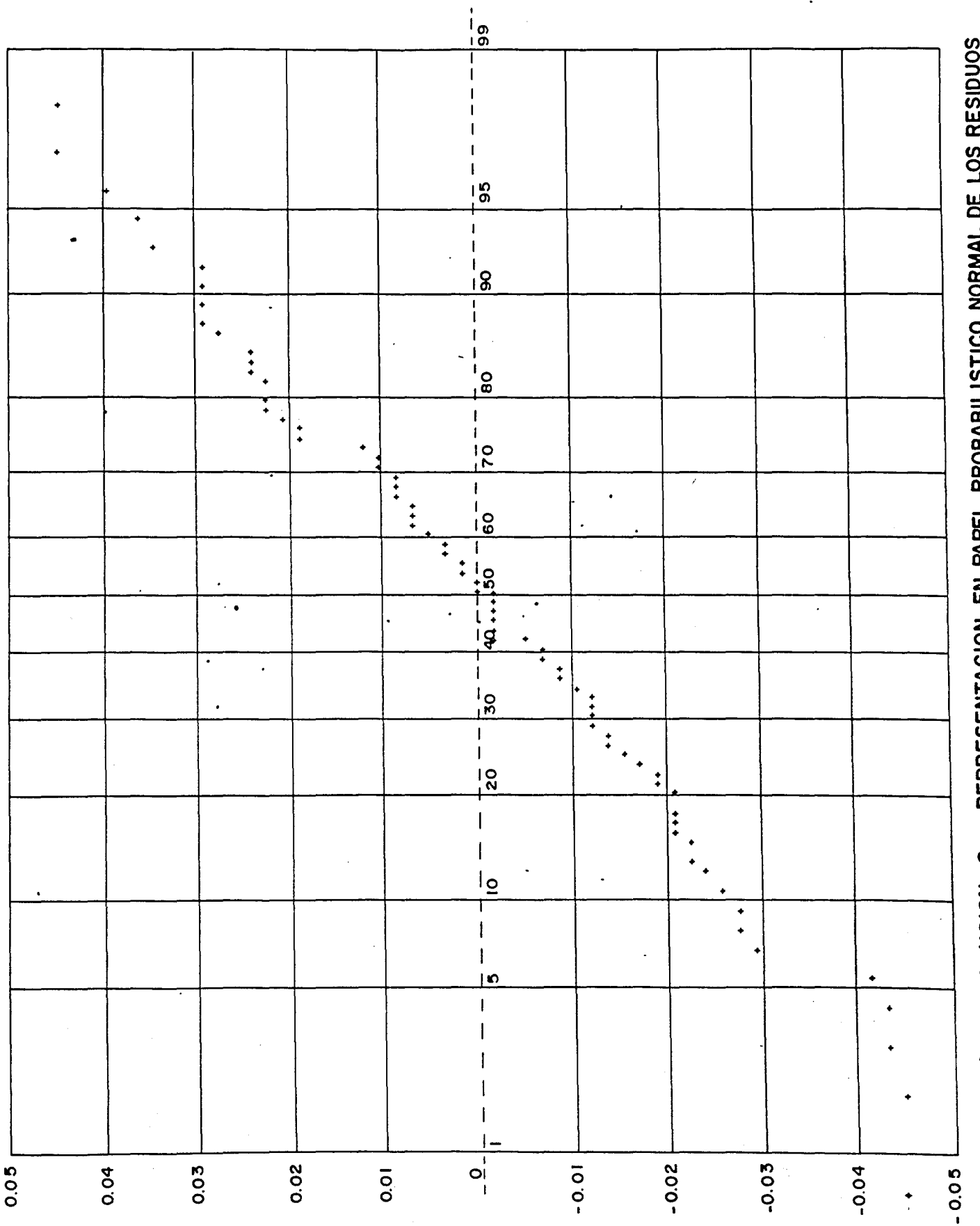


FIGURA. I 8.- SOLUCION 2 - REPRESENTACION EN PAPEL PROBABILISTICO NORMAL DE LOS RESIDUOS

ABSCISA : TM - 11.361
ORDENADA : RESIDUO

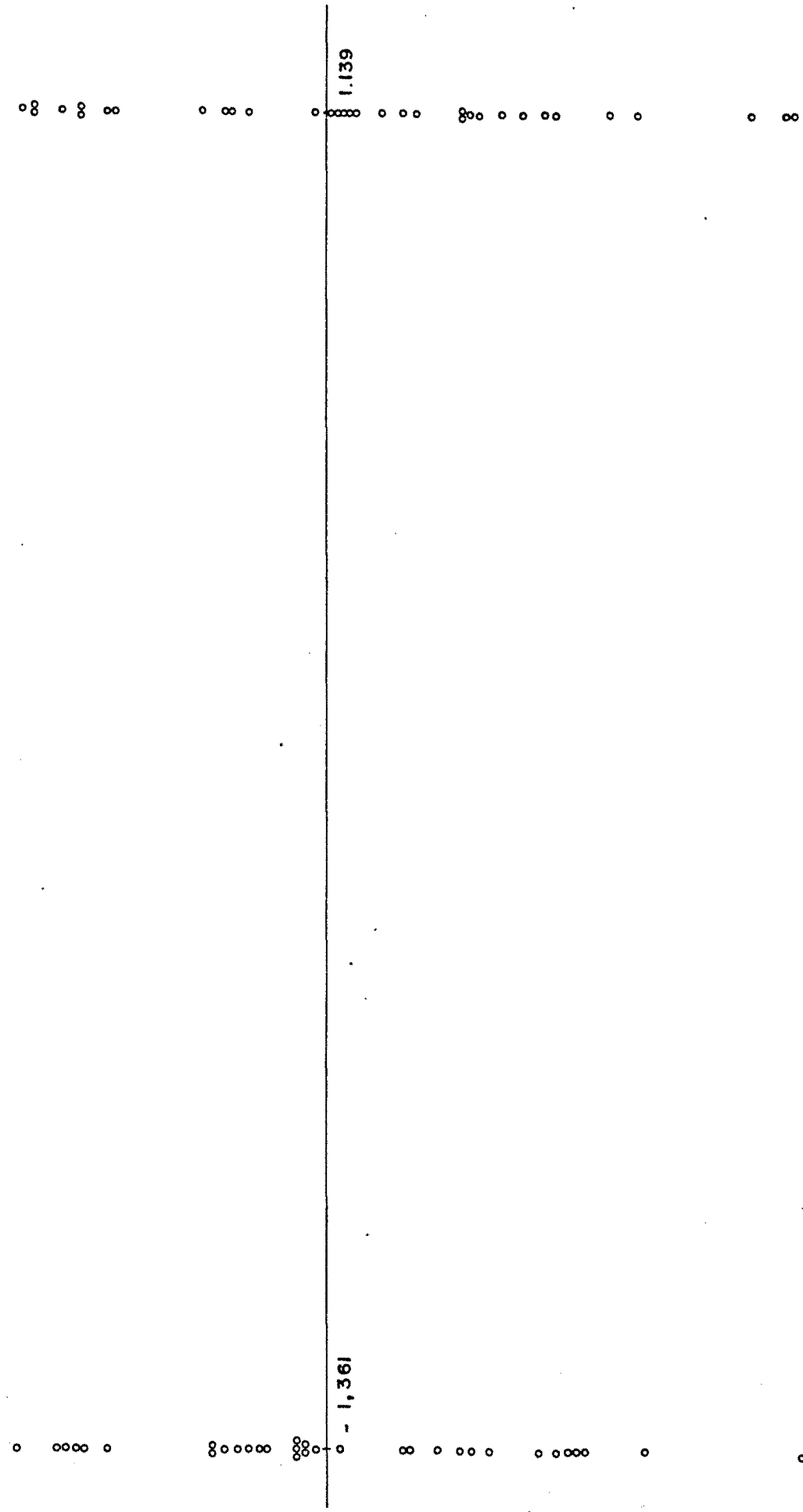


FIGURA 19 .- SOLUCION 2 - REPRESENTACION GRAFICA DE LA RELACION : TAMAÑO MAXIMO - RESIDUO

FIGURA 20.- SOLUCION 2 - REPRESENTACION GRAFICA DE LA RELACION : PORCENTAJE FINOS - RESIDUO

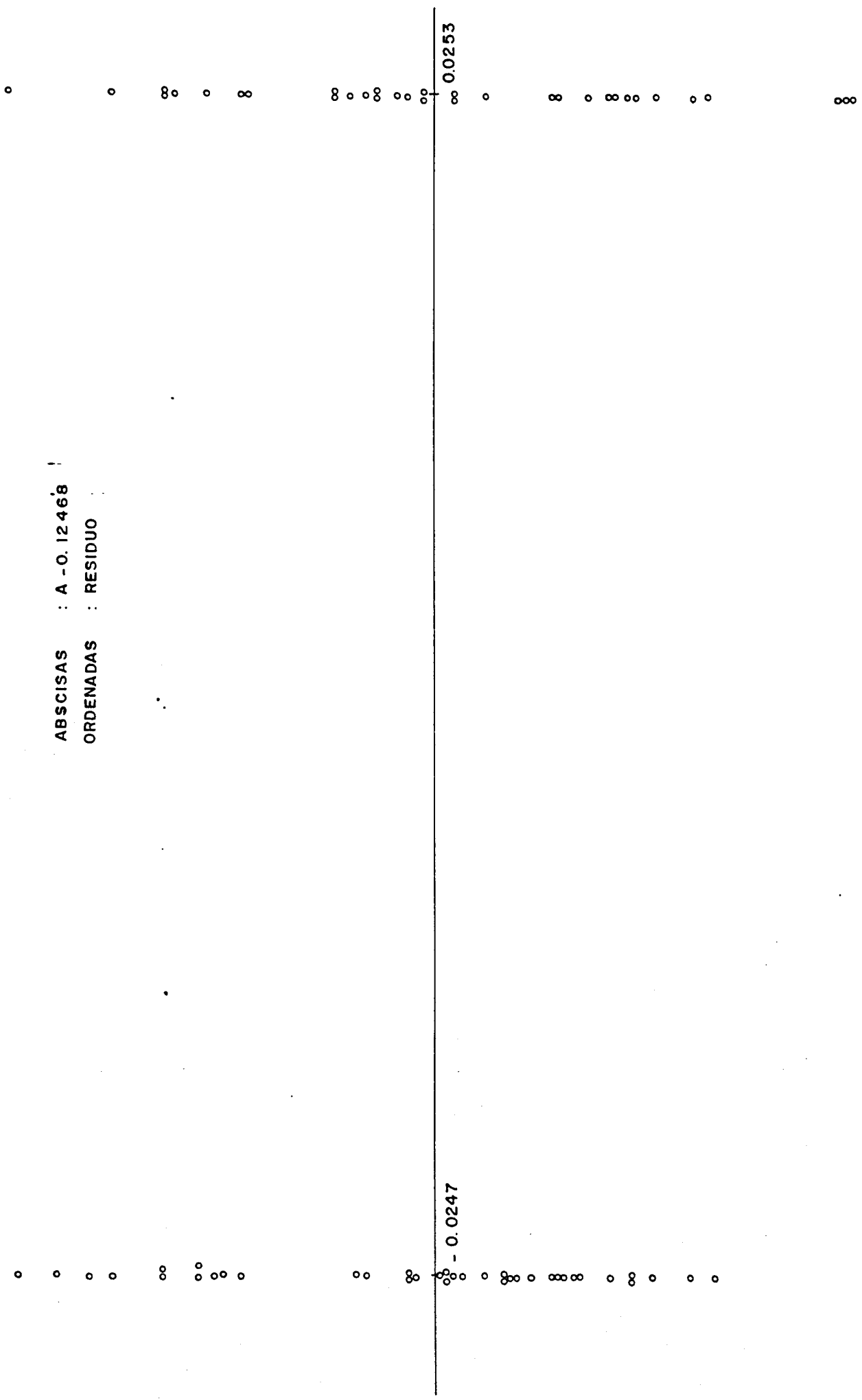


FIGURA 21 .- SOLUCION 2 - REPRESENTACION GRAFICA DE LA RELACION : PORCENTAJE FILLER - RESIDUO

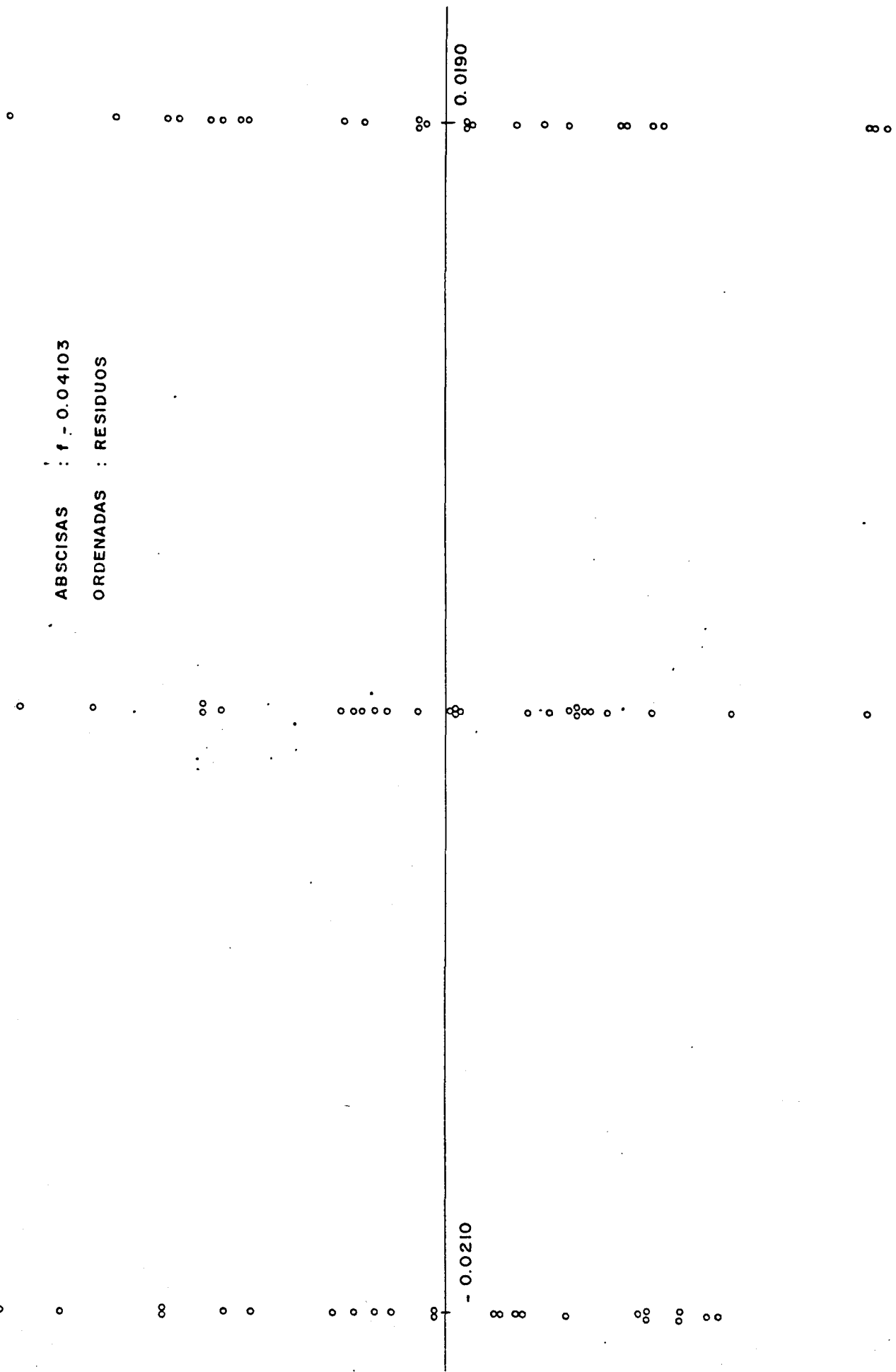
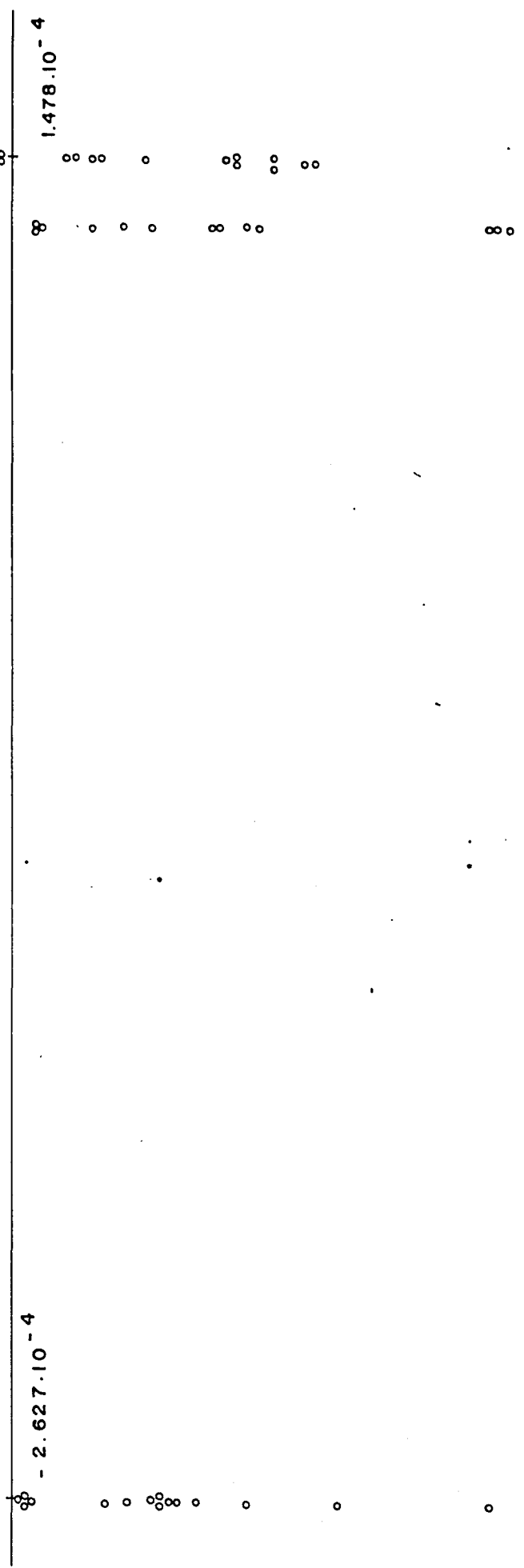
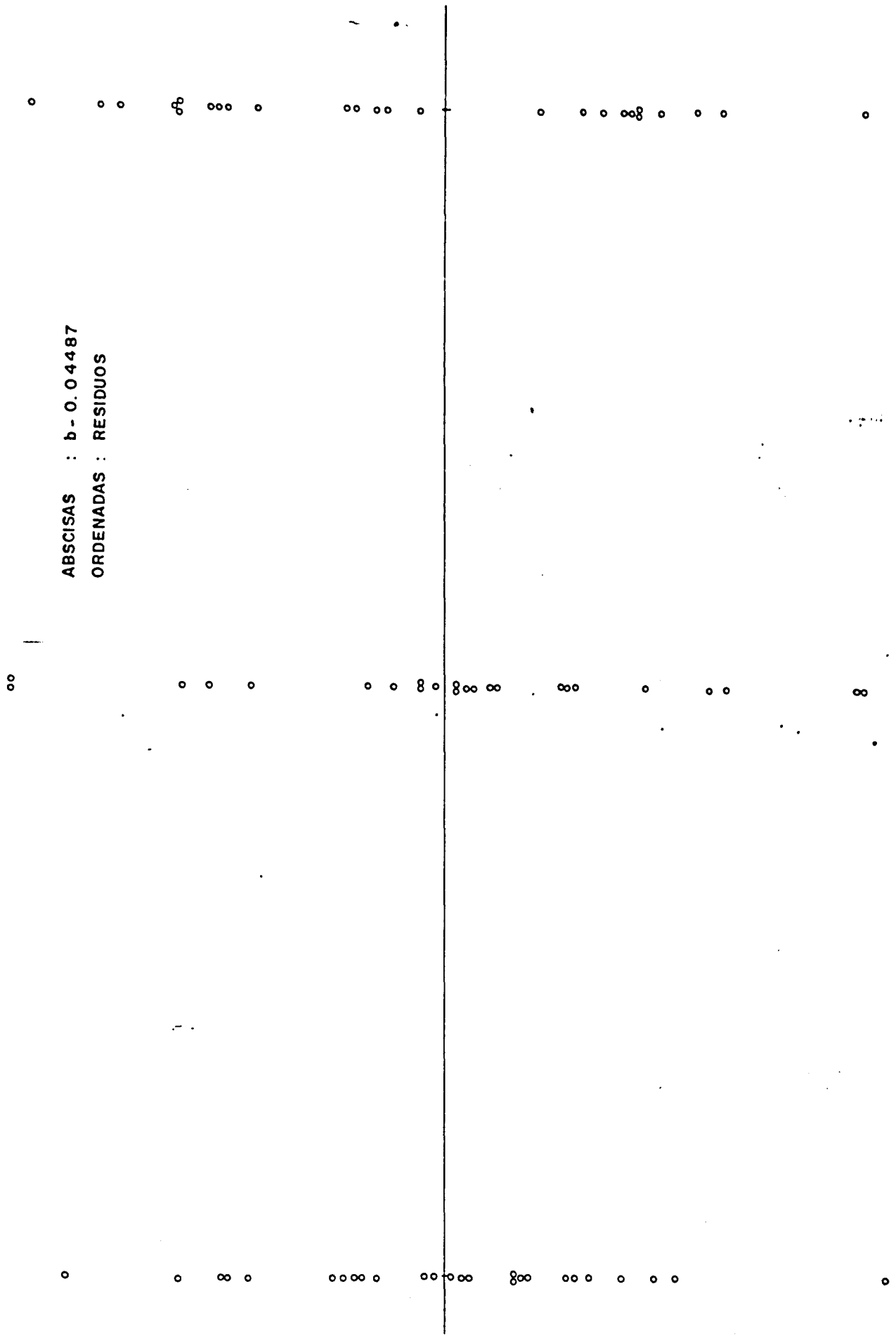


FIGURA 2.2 - SOLUCION 2 - REPRESENTACION GRAFICA DE LA RELACION : PORCENTAJE FILLER²- RESIDUO



ABSCISAS : $(f - 0.040264)^2$ - 0.00268
ORDENADAS: RESIDUOS

FIGURA 23 .- SOLUCION 2 - REPRESENTACION GRAFICA DE LA RELACION : PORCENTAJE BETUN - RESIDUO



$$\text{ABSCISAS} : (b - 0.04497)^2 - 0.00067$$

ORDENADAS : RESIDUOS

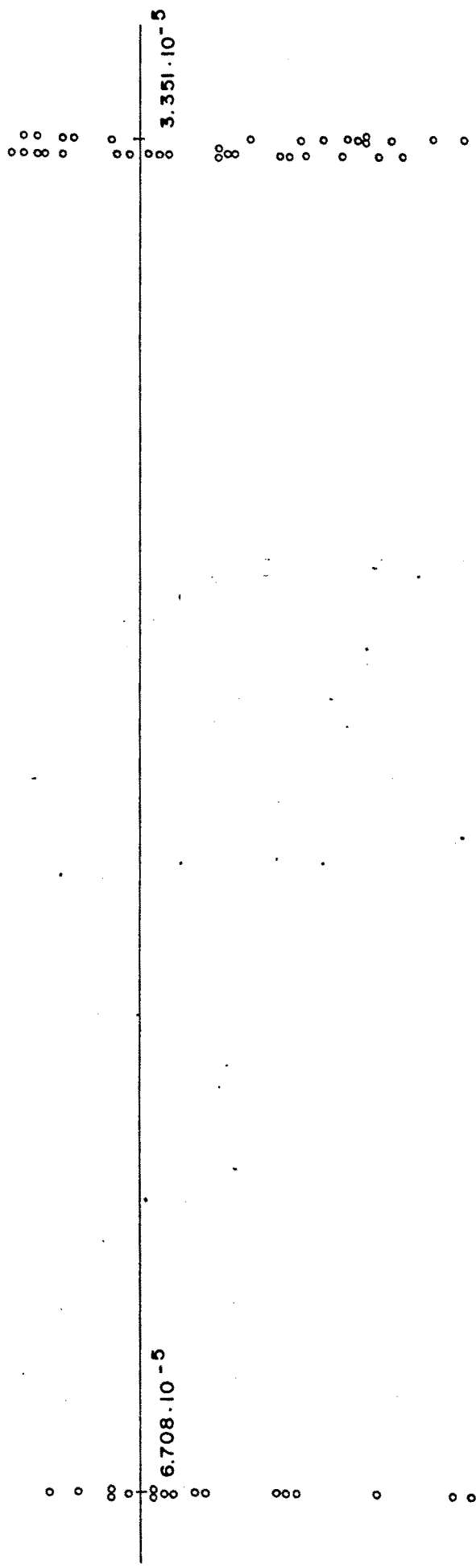


FIGURA 24.- SOLUCION 2 - REPRESENTACION GRAFICA DE LA RELACION : PORCENTAJE BETUN² - RESIDUO

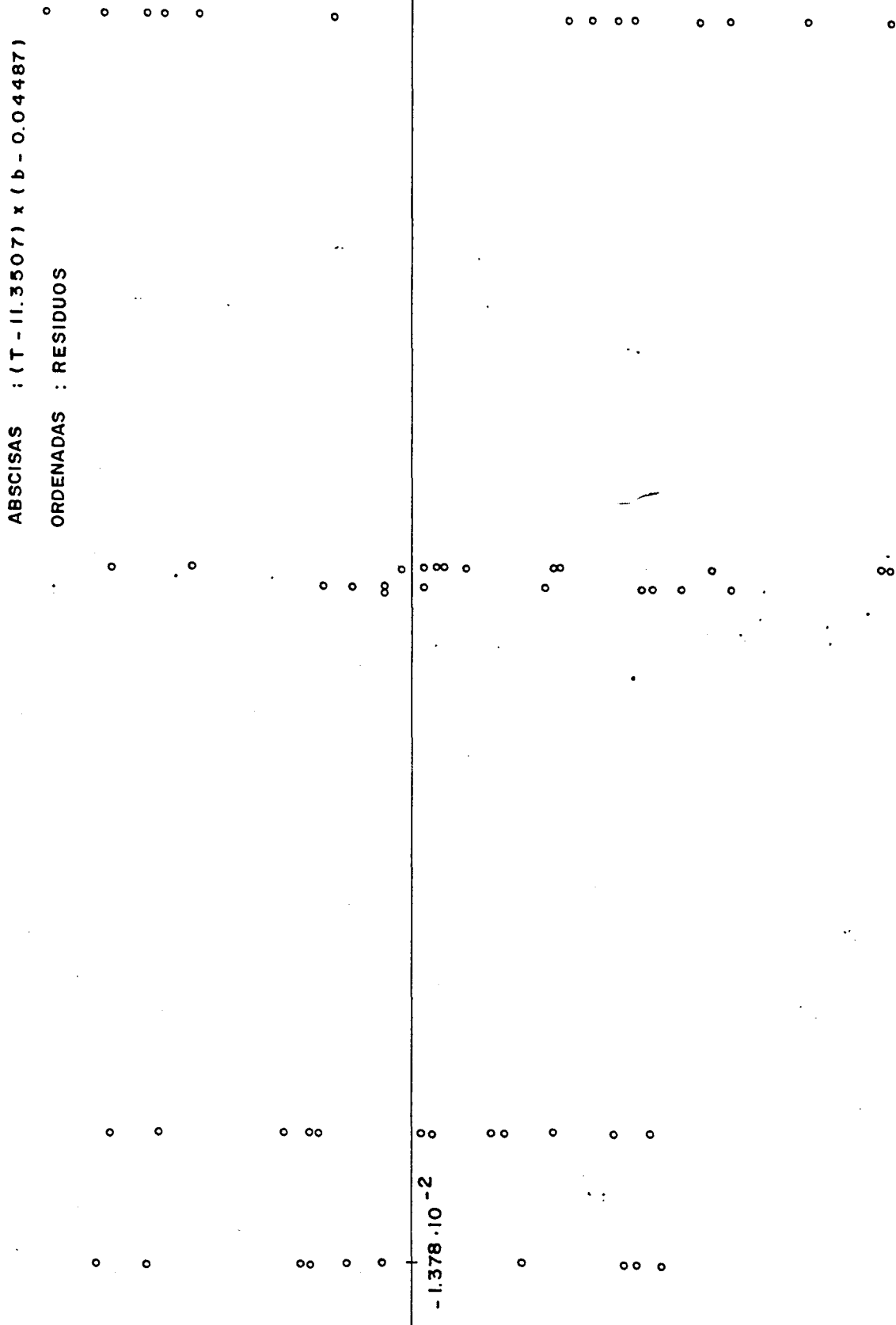
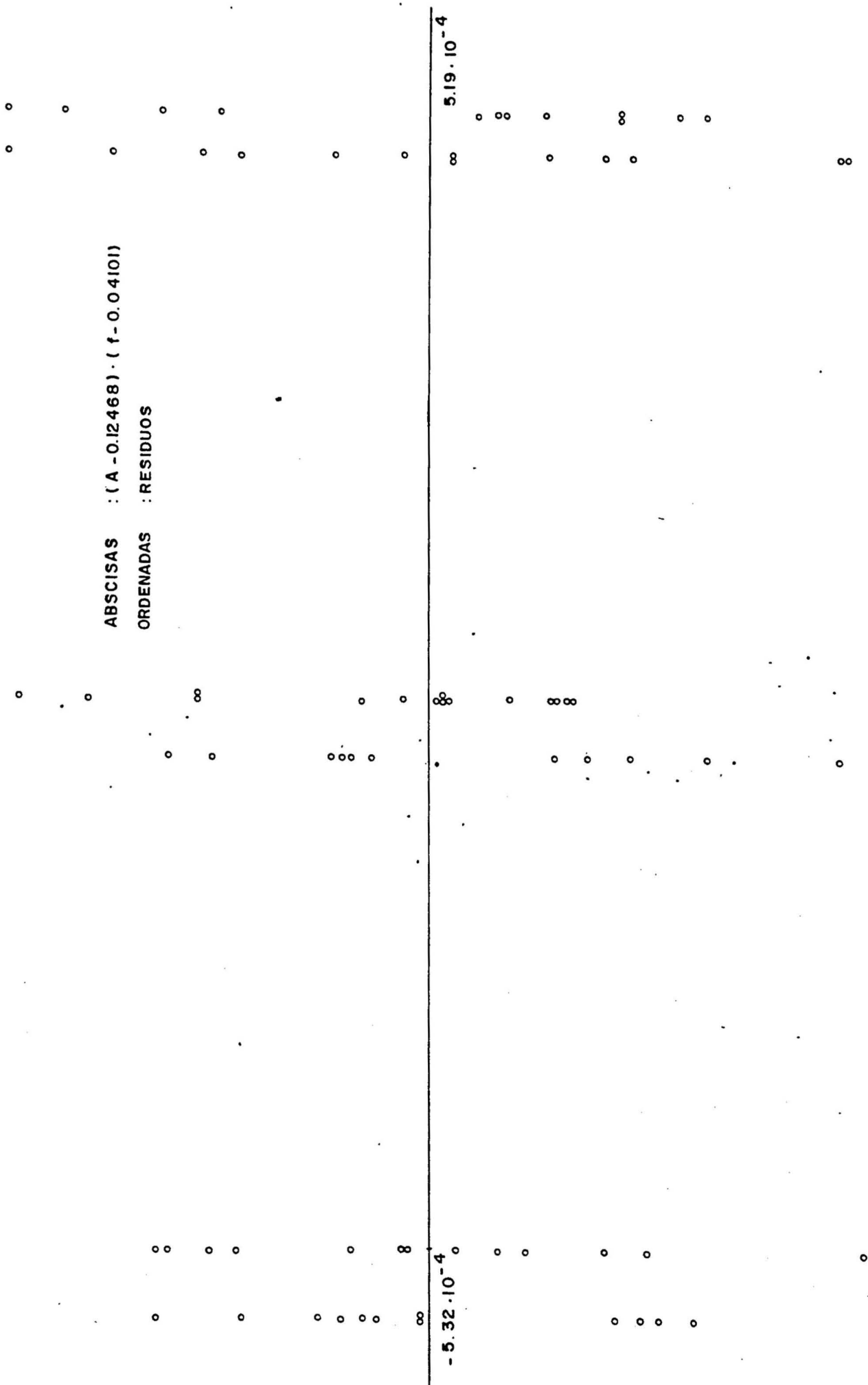


FIGURA 25 .- SOLUCION 2 - REPRESENTACION GRAFICA DE LA RELACION : TAMAÑO MAXIMO x BETUN - RESIDUO

FIGURA 26.- SOLUCION 2 - REPRESENTACION GRAFICA DE LA RELACION : PORCENTAJE FINOS x FILLER - RESIDUO



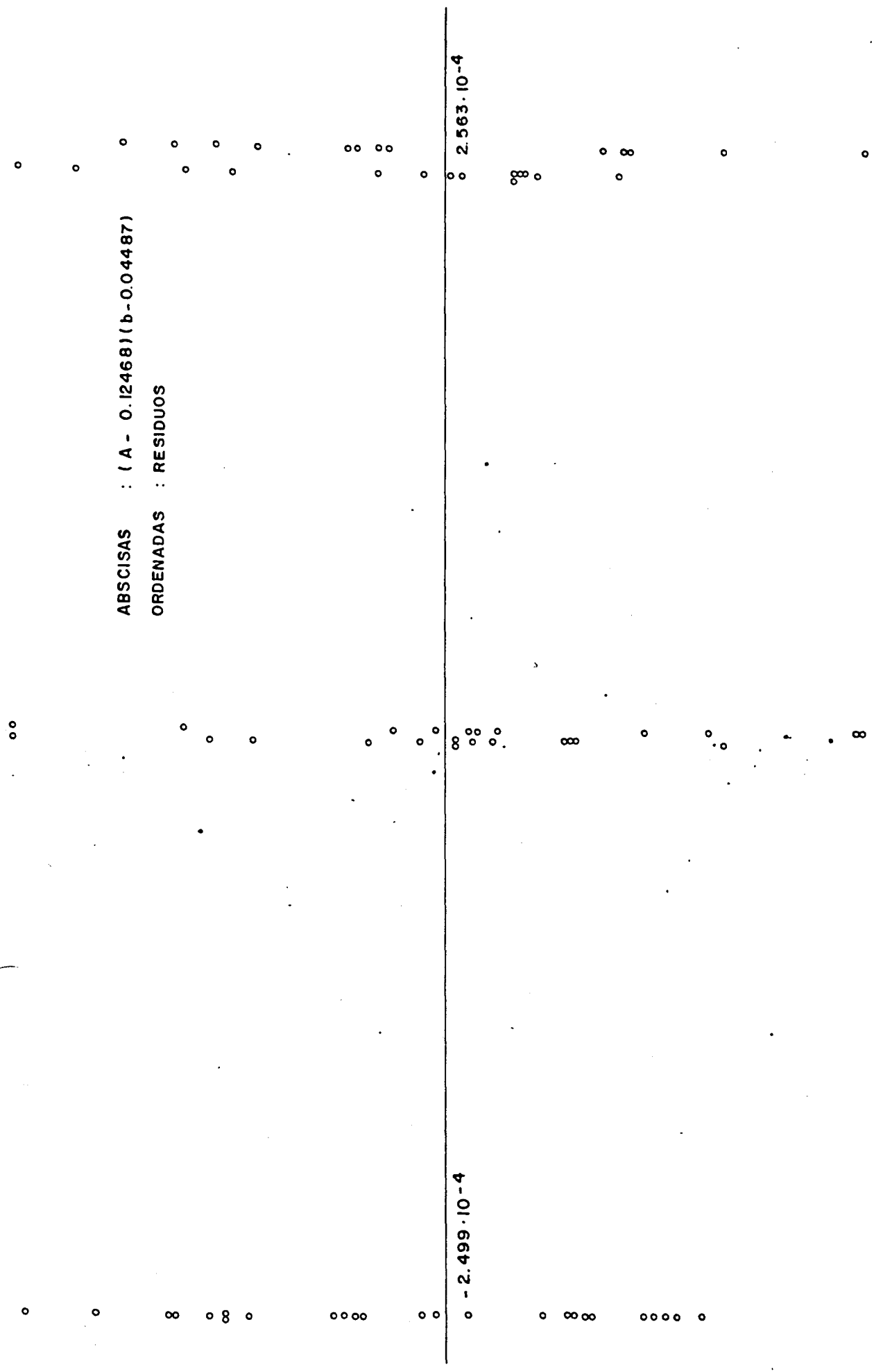


FIGURA 27.- SOLUCION 2 - REPRESENTACION GRAFICA DE LA RELACION : PORCENTAJE ARENA x BETUN - RESIDUO

2. ESTUDIO DE LA INFLUENCIA DE LA TEMPERATURA

NUMERO DE VARIABLES = 4 NUMERO DE PUNTOS = 80

NUMERO DE COLUMNAS PARA CADA VARIABLE

1 2 3 4

VARIABLE	MEDIA(PESADA)	MINIMO	MAXIMO	RANGO	MAX/MIN
1	• 100000 01	• 100000 01	• 100000 01	• 000000 00	1.00
2	• 000003 20	-• 100000 01	• 100000 01	• 200000 01	* *****
3	• 000000 00	-• 500000 01	• 500000 01	• 100000 02	* *****
4	• 000000 00	-• 800000 00	• 800000 01	• 160000 02	* *****
5	• 336489 00	• 620000-31	• 813000 00	• 731000 00	9.91

PESOS COLUMNAS 1 VARIABLE 1 VARIABLE 2 VARIABLE 3 VARIABLE 4 VARIABLE 5 VARIABLE 6 VARIABLE 7 VARIABLE 8 VARIABLE 9 VARIABLE 10 RESPUESTA

COLUMNAS QUE SON POLINOMIOS DEGRADUALES. LA COLUMNA ES LA RESPUESTA (X = Y)

COLUMNA 2 =	$x^2 +$.000.000.00 .00
COLUMNA 3 =	$(x^2 +$.000.000.00 .00) * x +
COLUMNA 4 =	$x^3 +$.000.000.00 .00) * x^2 +
COLUMNA 5 =	$(x^3 +$.000.000.00 .00) * x^2 +
COLUMNA 6 =	$x^4 +$.000.000.00 .00
COLUMNA 7 =	$x^4 +$.000.000.00 .00) * x^2 +
COLUMNA 8 =	$x^5 +$.000.000.00 .00) * x^2 +

LOG10 DETERMINANTE $X^T X$) = 28.7908
 MINIMO ELEMENTO DIAGONAL DE T: COLUMNA= 3 VALOR MINIMO= -36520 01
 TOTAL SSQ= * 380326220 02 (* .714494900 00) DF= 80 (- .79)
 REGRESION SSQ= * 379470530 02 (* .628925230 00) DF= 10 (- .9)
 RESIDUAL SSQ= * 855696180-01 DF= 70
 MEDIA SSQ= (* .373181270 02) DF= 1
 VALOR-F = 3104*25 (- .57-171)
 VALOR-F CORR. MULT.(R2)= .997750 (- .880238)
 LOS VALORES ENTRE () CORRESPONDEN A QUITAR EL EFECTO DE LA MEDIA DE LAS LINEAS
 LOS VALORES ENTRE [] CORRESPONDEN A QUITAR EL EFECTO DE LA MEDIANA DE LAS LINEAS
 LOS VALORES ENTRE { } CORRESPONDEN A QUITAR EL EFECTO DE LA MODA DE LAS LINEAS
 ESTO TIENE VALIDEZ SI
 EL CONJUNTO DE DATOS SE COMESTA EN UNA COLUMNA DE 1'S (VALIDO)=NO VALIDO)=ES=1

RESIDUAL MEDIA (RMS) = 122242311D-02
SSQ RESIDUAL MEDIA (RRMS) = 3496316792D-01
CRAZI SSQ REQUESTED QUESTIONS
CRAZI SSQ REQUESTED QUESTIONS

MATRIZ DE CORRELACIONES DE LOS COEFICIENTES

1.000	*.000	*.000	*.000	*.000	*.000	*.000	*.000	*.000	*.000
1.000	*.000	*.000	*.000	*.000	*.000	*.000	*.000	*.000	*.000
1.000	*.000	*.000	*.000	*.000	*.000	*.000	*.000	*.000	*.000
1.000	*.000	*.000	*.000	*.000	*.000	*.000	*.000	*.000	*.000
1.000	*.000	*.000	*.000	*.000	*.000	*.000	*.000	*.000	*.000
1.000	*.000	*.000	*.000	*.000	*.000	*.000	*.000	*.000	*.000
1.000	*.000	*.000	*.000	*.000	*.000	*.000	*.000	*.000	*.000
1.000	*.000	*.000	*.000	*.000	*.000	*.000	*.000	*.000	*.000
1.000	*.000	*.000	*.000	*.000	*.000	*.000	*.000	*.000	*.000
1.000	*.000	*.000	*.000	*.000	*.000	*.000	*.000	*.000	*.000

COEFICIENTE 1= *-682992*00 VALG2-T= 174.72 DESV. TIP= -399900 10D-02 SSI REGRESION= *37314130 02
 COEFICIENTE 2= -*3885020-01 VALOR-T= -13.20 DESV. TIP= -673340 48D-02 SSI REGRESION= *21288520 00
 COEFICIENTE 3= *3976844D-01 VALOR-T= -2.85 DESV. TIP= -139406 90D-01 SSI REGRESION= *17838280-01
 COEFICIENTE 4= -*1645355D-01 VALOR-T= -12.27 DESV. TIP= -134077 63D-02 SSI REGRESION= *18409590 00
 COEFICIENTE 5= *6927447D-03 VALJ2-T= 1.24 DESV. TIP= 556743 75D-03 SSI REGRESION= *60271750-02
 COEFICIENTE 6= -*8317857D-01 VALG1-T= -12.97 DESV. TIP= -831785 18D-03 SSI REGRESION= *20575370 03
 COEFICIENTE 7= -*4152600D-03 VALQ2-T= -1.91 DESV. TIP= -217478 03D-03 SSI REGRESION= *-3978018D-02
 COEFICIENTE 8= *8967677D-02 VALOR-T= *54 DESV. TIP= -164734 91D-02 SSI REGRESION= *3619878D-03
 COEFICIENTE 9= -*2270225D-02 VALCR-T= -2.20 DESV. TIP= -102996 76D-02 SSI REGRESION= *5938938D-02
 COEFICIENTE 10= *.8640143D-05 VALU3-T= *04 DESV. TIP= -205602 53D-03 SSI REGRESION= *.2158864D-05

NRC	PESO	ESTIMACION	ESTIMACION	STUDENT. RES	STUD. JACK. RES	LI	VAR-RAT	WSSD	WSSD (SIN PESO)	INCR. ZETA JAC.	TRAZA	DIRECCION
1	1.00	-94801500 00	-16222903D-01	-5679425	-56507485	.33	.50	19.40	19.40	*132960-05	*33730-02	*6793D-02
2	1.00	-87969240 00	-81310394D-02	2145229	2105517	.33	.50	19.40	19.40	*1897D-06	*3373D-02	*6793D-02
3	1.00	-79765490 10	-1251245D-01	*4355982	*4355982	.33	.50	19.40	19.40	*7903D-06	*3373D-02	*6793D-02
4	1.00	*5P6669210 10	*5214069D-01	1.8611056	1.8611056	.33	.50	19.40	19.40	*1423D-04	*3373D-02	*6793D-02
5	1.00	*728333190 00	-1483703D-02	*0421255	*0421255	.05	.05	2.21	2.21	*31580D-08	*1355D-02	*67100-01
6	1.00	*73300530 00	*2615716D-01	*7672566	*7672566	.05	.05	2.34	2.34	*2003D-05	*2734D-02	*5463D-01
7	1.00	*7335250 00	*5130779D-02	*1595356	*1595356	.05	.05	2.40	2.40	*3714D-07	*1361D-02	*2583D-01
8	1.00	*67273572 00	*477453D-01	1.39427810	*02	*02	*24	*24	*3105D-07	*2728D-03	*1128D-01	
9	1.00	*67273570 00	*1054146D-01	*30514125	*30514125	.02	*02	*24	*24	*2693D-07	*2728D-03	*1128D-01
10	1.00	*67273572 00	*9825133D-01	*2844389	*2844389	.02	*02	*24	*24	*3387D-06	*2728D-03	*1128D-01
11	1.00	*67273570 00	-377752D-01	-1.0942736	-1.0942736	.02	*02	*24	*24	*8512D-06	*2728D-03	*1128D-01
12	1.00	*67273570 00	-5541659D-02	-16465056	-16465056	.02	*02	*24	*24	*2693D-07	*2728D-03	*1128D-01
13	1.00	*67273570 00	*477453D-01	1.39427820	1.39427820	.02	*02	*24	*24	*7373D-05	*1341D-02	*2583D-01
14	1.00	*61098370 20	-7222334D-01	2.1207051	2.1207051	.05	.05	2.34	2.34	*1270D-05	*2734D-02	*5463D-01
15	1.00	*63415380 00	*2083832D-01	*6100777	*60625181	.05	.05	2.21	2.21	*6986D-07	*1355D-02	*67100-01
16	1.00	*62960360 00	*70300839D-02	*203674	*203674	.05	.05	19.40	19.40	*14980D-05	*3373D-02	*6793D-02
17	1.00	*77381760 00	*1722838D-01	*6028092	*60006742	.33	.50	19.40	19.40	*6477D-07	*3373D-02	*6793D-02
18	1.00	*6368845D 00	-3581997D-02	-12323294	-12323294	.33	.50	19.40	19.40	*2663D-06	*3373D-02	*6793D-02
19	1.00	*58669270 00	-2105934D-01	-5892886D-01	-5892886D-01	.05	.05	19.40	19.40	*2533D-04	*3373D-02	*6793D-02
20	1.00	*41312120 00	*7084028D-01	2.4786654	2.57654073	.33	.50	19.40	19.40	*1090D-05	*3373D-02	*6793D-02
21	1.00	*96801500 00	-1469585D-01	*5141977	*51147854	.33	.50	19.40	19.40	*32092D-05	*3373D-02	*6793D-02
22	1.00	*80969492 00	*2521315D-01	*8321907	*8077660	.33	.50	19.40	19.40	*2126D-06	*3373D-02	*6793D-02
23	1.00	*79765490 00	-6490262D-02	*2270898	*22574501	.33	.50	19.40	19.40	*1753D-04	*3373D-02	*6793D-02
24	1.00	*58669270 00	-2051812D-01	-2.051812	-2.11224742	.33	.50	19.40	19.40	*5702D-05	*1355D-02	*26100-01
25	1.00	*7283319D 30	*6324638D-01	1.8553125	1.8804409	.05	.05	2.21	2.21	*1153D-05	*2784D-02	*5463D-01
26	1.00	*7390033D 00	*1985262D-01	*582058	*573361	.05	.05	2.34	2.34	*15309D-05	*1341D-02	*2583D-01
27	1.00	*7153525D 00	*329393D-01	*9662823	*9581837	.05	.05	2.40	2.40	*9705D-09	*2728D-03	*1128D-01
28	1.00	*6272735D 20	*1363938D-02	*1363938	*1355691	.02	.02	*24	*24	*49106D-06	*2728D-03	*1128D-01
29	1.00	*6192126D 00	*4192126D-01	1.2134284	1.2176037	.02	.02	*24	*24	*9366D-06	*2728D-03	*1128D-01
30	1.00	*6727357D 00	*5787867D-01	1.6733222	1.6976959	.02	.02	*24	*24	*26244D-06	*2728D-03	*1128D-01
31	1.00	*6727357D 10	*3064928D-01	*3871561	*38579027	.02	.02	*24	*24			

32	1.00	*61273570 00	-3864237D-01	1.1135369	1.120577797	.02	.02	.24	
33	1.00	*61273570 00	-2402027D-01	-69258864	.02	.02	.24		
34	1.00	*61098370 00	-13341645-01	-6925768	.02	.02	.24		
35	1.00	*63415280 00	-753190D-02	.3825666	.05	.05	.240		
36	1.00	*62960880 00	-1512174D-01	-22045464	.05	.05	.234		
37	1.00	*77381760 00	-207279D-01	.44103174	.05	.05	.221		
38	1.00	*67586450 00	-211398C-01	-7275252	-72505632	.33	.50	.24	
39	1.00	*64139280 00	-2534863D-02	.88369155	.33	.50	.240		
40	1.00	*3181250 00	-2635636D-02	.0922198	.09156426	.33	.50	.240	
41	1.00	*7723236D 00	-21905759-01	.6898945	.69640841	.20	.24	.24	
42	1.00	*83250080 00	-198209D-01	-56706545	-56706545	.07	.08	.24	
43	1.00	*74074170 00	-4074172D-01	-1.210139303	-1.210139303	.07	.08	.24	
44	1.00	*71733230 00	-2897111D-01	.85919889	.85919889	.07	.08	.24	
45	1.00	*61985610 00	-3799136D-01	-1.1285920	-1.13093724	.07	.08	.24	
46	1.00	*80136210 00	-1235530D-02	.0334157	.03913355	.20	.25	.25	
47	1.00	*62364510 00	-1235530D-01	1.69711342	1.69711342	.20	.25	.25	
48	1.00	*73313300 00	-273262D-01	-88352482	-88352482	.20	.24	.24	
49	1.00	*55918510 00	-3121935D-01	-1.0025312	-1.00266948	.20	.24	.24	
50	1.00	*61273570 00	-1078630D-02	-0.3121231	-0.30999952	.02	.02	.24	
51	1.00	*67273570 00	-2974439D-01	.86763537	.96608562	.02	.02	.24	
52	1.00	*61273570 00	-6127357D-01	-1.9460232	-1.98655653	.02	.02	.24	
53	1.00	*67273570 00	-2730421D-01	-7874370	-79527794	.02	.02	.24	
54	1.00	*61273570 00	-352601C-01	-1.0456824	-1.04639123	.02	.02	.24	
55	1.00	*67273570 00	-3530458D-01	-1.0219056	-1.02223379	.02	.02	.24	
56	1.00	*7303543D 00	-214939D-01	.63576006	.63576006	.07	.08	.24	
57	1.00	*63909290 00	-523667D-01	-1.5550328	-1.57126341	.07	.08	.24	
58	1.00	*64153490 00	-4520075D-01	-1.3724646	-1.38135630	.07	.08	.24	
59	1.00	*54555450 30	-1563113D-01	-4955398	-49235163	.07	.08	.24	
60	1.00	*60778510 00	-2280156D-02	-0.7223803	-0.7223803	.20	.24	.24	
61	1.00	*71232360 30	-1497596D-01	.477R612	.47521135	.20	.24	.24	
62	1.00	*81250080 00	-3131025D-01	-3500241	-34935392	.07	.08	.24	
63	1.00	*71074170 00	-3533438D-02	-4323143	-42045324	.07	.08	.24	
64	1.00	*7373323D 00	-4075034D-01	-1.2105519	-1.21465555	.07	.08	.24	
65	1.00	*61985610 00	-4163003D-02	-1.239467	-1.2227234	.07	.08	.24	
66	1.00	*82136210 00	-3474936D-02	-1.270940	-1.2610R03	.20	.25	.25	
67	1.00	*82136661 00	-3466957D-01	-1.1173490	-1.11976517	.20	.25	.25	
68	1.00	*7313330n 00	-75624910-01	2.4130943	2.50212522	.20	.24	.24	
69	1.00	*55918510 00	-2201653D-01	-7025192	-6995506	.20	.24	.24	
70	1.00	*61273570 00	-29343459D-01	.5903241	.5975568	.02	.02	.24	
71	1.00	*61273570 00	-2720421D-01	-7.9527794	-7.974370	.02	.02	.24	
72	1.00	*67273570 00	-2035729D-01	-6040125	-60125148	.02	.02	.24	
73	1.00	*61273570 00	-1465126D-01	-4240865	-42158836	.02	.02	.24	
74	1.00	*61273570 00	-692162D-02	.1996546	.1996546	.02	.02	.24	
75	1.00	*61273570 00	-6451549C-01	-1.3674275	-1.90202390	.02	.02	.24	
76	1.00	*73035430 00	-1193712D-01	.3546107	.35236535	.07	.08	.24	
77	1.00	*63909290 00	-537672D-02	.1674758	.16630952	.07	.08	.24	
78	1.00	*64153490 00	-3396552D-02	.1187238	.1178456	.07	.08	.24	
79	1.00	*54555450 00	-380313D-01	-2.3195444	-2.39697134	.07	.08	.24	
80	1.00	*63778510 00	-2592026D-01	-82519548	-8270825	.20	.24	.24	

REGRESSION	$SSE = 37944.7950$	$D.F. = 7$	$F = 61$
RESIDUAL	$SSE = 878263.5400$	$D.F. = 73$	
MEDIA	$SSE = 4.575.60$	$D.F. = 1$	
VARCR-F			

TIENE VALIDEZ SI LA RESPUESTA. ESTA TIENE VALIDEZ SI

RESIDUAL MEDIA (RMSE) = 1203107690-02
 RAIZ SSQ RESIDUAL MEDIA (RMSE) = 34695743310-C1
 25 AÑOS DE LIBERTAD RESIDUALFS = 73

TABLA V		DE CORRELACIONES DE LOS COEFICIENTES	
1.000	.000	.000	.000
.000	1.000	.000	.000
.000	.000	1.000	.000
.000	.000	.000	1.000

Nº	PESO	ESTIMACION	SESSIONAL PESANDO	STUDENT. RES.	SUB.JACK.PES	LÍN. VAR-RAT	WSSC WSDD SIN PESOS	INCR. DE AJAJL	LIRECCION
1	1.00	* 96017340 00	- * 90333939 00	- * 29462596	.22	* .28	19.69	19.69	* 347120-06 - 32920-06
2	1.00	* 63255000 00	* 12575551 00	* 40757275	.22	* .26	19.66	1.59	* 65370-05 - 32920-05
3	1.00	* 72948690 00	- * 63244480 00	- * 46517989	.22	* .28	19.63	1.59	* 85370-06 - 32920-02
4	1.00	* 53921540 00	* 50657430 01	1.6519900	1.67219177	* .22	* .26	19.69	* 10770-04 - 32920-02
5	1.00	* 72331650 00	* 35217449 02	* 1037098	* 10303557	* .04	* .04	2.27	* 535912-08 - 41410-03
6	1.00	* 74623550 00	* 22536395 01	* 6646752	* 6611122	* .04	* .04	2.32	* 90256D-06 - 1703D-02
7	1.00	* 71904390 00	* 14333100 02	* 04210927	* 04210927	* .04	* .04	2.47	* 231799-08 - 24299-02
8	1.00	* 67395490 00	* 46528270 01	1.557053	1.5520521	* .02	* .02	* 24	* 665810-06 - 38952-05
9	1.00	* 67395490 00	* 93222040 02	* 27015212	* .02	* .02	* 24	* 24	* 34555D-07 - 38952-03
10	1.00	* 67334540 00	* 86074790 01	* 25105934	* 24942114	* .02	* .02	* 24	* 294599-07 - 38850-03
11	1.00	* 67305490 00	- * 53914520 01	- 1.13722829	- 1.13940732	* .02	* .02	* 24	* 606520-06 - 3035D-03
12	1.00	* 67395490 00	- * 67591914 02	- 1.971834	- 1.9538933	* .02	* .02	* 24	* 18175D-07 - 38850-03
13	1.00	* 67334540 00	* 85074740 02	* 2510396	* 24942114	* .02	* .02	* 24	* 294599-07 - 38850-03
14	1.00	* 61467510 00	* 68620220 01	* 22020755	* 22020755	* .04	* .04	2.47	* 120510-04 - 2459D-02
15	1.00	* 61778310 00	* 17205100 01	* 500415433	* 500415433	* .04	* .04	2.32	* 526210-06 - 1703D-02
16	1.00	* 62459340 00	* 17206290 01	* 35028553	* 35079296	* .04	* .04	2.27	* 620269-07 - 41410-03
17	1.00	* 77624030 00	* 14735129 01	* 4794542	* 47679193	* .22	* .26	19.69	* 9376D-06 - 2820-02
18	1.00	* 63217165 00	- * 54139449 01	- 1.765124	- 1.7514357	* .22	* .26	19.63	* 123040-06 - 32941-02
19	1.00	* 33434841 00	- * 2143054 02	- 1.32745	- 1.3146557	* .22	* .26	19.69	* 722669-07 - 32829-02
20	1.00	* 42457690 00	- * 77975150 02	- 2.5523651	- 2.644668897	* .22	* .28	19.63	* 25524D-04 - 32320-02
21	1.00	- * 94205210 00	- * 77975150 02	- 2.5523651	- 2.644668897	* .22	* .25	19.63	* 23949-06 - 3225-02
22	1.00	* 61325500 00	* 31657560 01	1.0321813	1.03225036	* .22	* .26	19.69	* 420710-25 - 3240-02
23	1.00	* 71948690 00	* 45322600 01	* 1.543795	* 1.543795	* .22	* .26	19.63	* 31610-07 - 3220-02
24	1.00	* 531921540 00	- * 61452165 01	- 2.0463216	- 2.0463216	* .04	* .04	2.27	* 239165-03 - 41410-03
25	1.00	* 71505500 00	- * 52615550 01	- 2.0446511	- 2.0446511	* .04	* .04	2.22	* 46735-06 - 1703D-01

2.7	1.00	*71904390	20	*2924651D-01	*86005404	.04	*2.47
2.8	1.00	*67395490	10	*6447374D-03	*01356753	.02	*2.47
2.9	1.00	*67395490	10	*4570221D-01	*01190645	.02	*2.47
3.0	1.00	*67395490	10	*5565427D-01	*1.197062	.02	*2.47
3.1	1.00	*67395490	00	*2943092D-01	*0563325	.02	*2.47
3.2	1.00	*67395490	00	*3742372D-01	1.0914702	.02	*2.47
3.3	1.00	*67395490	00	*252353D-01	*7361169	.02	*2.47
3.4	1.00	*61467510	20	*3352023D-02	*754527	.04	*2.47
3.5	1.00	*63778310	00	*1123004D-01	*32731052	.04	*2.32
3.6	1.00	*62459340	20	*2013718D-01	*913232	.04	*2.27
3.7	1.00	*77637900	00	*2331605D-01	*7602100	.02	*19.69
3.8	1.00	*63671650	00	*1935734D-01	*314532	.02	*19.69
3.9	1.00	*63494840	00	*8979250D-02	*2927647	.02	*19.69
4.0	1.00	*42467690	00	*3914654D-01	*3195888	.02	*19.69
4.1	1.00	*7562220	30	*3215101D-01	*1.1768559	.06	*5.87
4.2	1.00	*93065630	00	*17313827D-01	*21255357	.06	*6.61
4.3	1.00	*73914650	00	*3914654D-01	*1.16623631	.06	*6.61
4.4	1.00	*73966290	00	*2764658D-01	*8216107	.06	*6.61
4.5	1.00	*62143550	70	*3957673D-01	*1.1757668	.05	*6.61
4.6	1.00	*50995750	00	*171321D-02	*1.1745671	.16	*20
4.7	1.00	*6317914D	00	*4427032D-01	*1.3956273	.16	*20
4.8	1.00	*7412194D	00	*3561990D-01	*1.1280203	.16	*19
4.9	1.00	*5572714D	30	*3950323D-01	*1.2442636	.16	*19
5.0	1.00	*67395490	20	*2297945D-02	*0.9670200	.02	*24
5.1	1.00	*67395490	00	*2875564D-01	*0.8366339	.02	*24
5.2	1.00	*67395490	30	*6845005D-01	*1.9635992	.02	*24
5.3	1.00	*67395490	30	*2842346D-01	*3290758	.02	*24
5.4	1.00	*67395490	20	*37334526D-01	*1.9891820	.02	*24
5.5	1.00	*67395490	00	*3652383D-01	*1.06622366	.02	*24
5.6	1.00	*73193470	00	*1231354D-01	*5912003	.06	*6.61
5.7	1.00	*64042347	30	*5167700D-01	*1.551916	.06	*6.61
5.8	1.00	*63993970	00	*44650557D-01	*1.5266037	.06	*6.61
5.9	1.00	*52271240	20	*1483711D-01	*4.3848343	.06	*6.61
6.0	1.00	*59168570	00	*1351921D-01	*4108428	.06	*5.87
6.1	1.00	*75622420	00	*3197524D-01	*9258616	.06	*5.87
6.2	1.00	*83065580	30	*3013527D-01	*3.9526092	.06	*6.61
6.3	1.00	*73914650	00	*7908257D-02	*2350203	.06	*6.61
6.4	1.00	*73966290	00	*4230988D-01	*1.25555055	.06	*6.61
6.5	1.00	*62143550	00	*2589628D-02	*5763525	.06	*6.61
6.6	1.00	*80959750	00	*21212015D-01	*3.420417	.16	*24
6.7	1.00	*6317914D	00	*4311488D-01	*1.3592111	.16	*20
6.8	1.00	*7412194D	20	*6753853D-01	*2.1270525	.16	*19
6.9	1.00	*5572714D	30	*3012249D-01	*4.605636	.15	*19
7.0	1.00	*67395490	30	*5733438D-01	*1.672165	.02	*24
7.1	1.00	*67395490	20	*1917514D-01	*5.5242466	.02	*24
7.2	1.00	*67395490	00	*2842346D-01	*8239758	.02	*24
7.3	1.00	*67395490	30	*1537050C-01	*4.4602120	.02	*24
7.4	1.00	*67395490	30	*5733438D-01	*1.672165	.02	*24
7.5	1.00	*67395490	30	*653474D-01	*1.4171658	.02	*24
7.6	1.00	*73193470	00	*1035775D-01	*3.078152	.06	*6.61
7.7	1.00	*64042340	30	*4307139D-02	*1.271557	.06	*6.61
7.8	1.00	*63493970	00	*5117345C-02	*1.651771	.06	*6.61
7.9	1.00	*52271240	00	*75237910D-01	*2.656645	.06	*6.61
7.9	1.20	*53168570	00	*92939317D-01	*2.9013738	.05	*5.97

NÚMERO DE VARIABLES = 4 NÚMERO DE PUNTOS = 80

NÚMERO DE COLUMNAS PARA CADA VARIABLE

1 2 1 2 1

VARIABLE	MEDIA PESADA	MÍNIMO	MÁXIMO	RANGO	MAX/MIN
1	*100000 01	*100000 01	*100000 01	*000000 00	1.00
2	*30000 00	*100000 01	*100000 01	*200000 01	**.000000 00
3	*00000 00	*500000 01	*500000 01	*100000 02	**.000000 00
4	*000000 00	*800000 01	*800000 01	*160000 02	**.000000 00
5	*33695 00	*820000 01	*813000 00	*731900 00	9.91

RESCOS COLUMNA 1 COLUMNA 2 COLUMNA 3 COLUMNA 4 COLUMNA 5 COLUMNA 6 COLUMNA 7 RESPUESTA
VARIABLE 1 VARIABLE 2 VARIABLE 3 VARIABLE 4 VARIABLE 5 VARIABLE 6 VARIABLE 7 VAR 2 VAR 4

TRANSFORMACIONES IDEM. ID-MEDIA CUAD-ORT ID-MEDIA ID-MEDIA CUAD-ORT ID-MEDIA CUAD-ORT IDEM / CUB

COLUMNAS DUE SON POLINOMIOS ORIGINALES. LA COLUMNA 6 ES LA RESPUESTA (X 5=Y)

COLUMNA 2 = X 2 + *00000000 00
COLUMNA 3 = X 2 + *00000000 00***2 + *3370250 00

COLUMNA 4 = X 3 + *00000000 00
COLUMNA 5 = X 4 + *00000000 00

COLUMNA 6 = (X 4 + *00000000 00***2 + *21760000 02

COEFICIENTES ENTRE LAS COLUMNAS Y LA RESPUESTA PONDERRADAS

1.000	*000 *000 *000 *000 -546
1.000	*000 *000 *563 *000 *145
	1.000 *000 *000 *000 -508
	1.000 *000 *000 *000 -537
	1.000 1.000 *000 *048 1.000 -0.001

RIDGE REGRESSION	0.5	0.4	0.6	0.7	0.8	0.9	1 FACTOR
K= 0	*05	*15	*0.2	*0.3	*0.4	*0.5	*28729
-54595	*-51386	*-43623	*-47465	*-45487	*-41989	*-36390	*-162788420 00
*20174	*18153	*16564	*15277	*14210	*11263	*10262	*07259 *2-1+80530 00
*50760	*48343	*46146	*44139	*42300	*39046	*36257	*07634 *25380 *324149322-01
*53663	*51108	*48784	*46563	*44719	*41279	*38331	*31725 *29859 *-28200 *-2716
*08518	*06837	*05569	*04586	*03806	*02538	*01301	*35775 *31566 *-32539 *-29813 *-28244
*09117	*06838	*04238	*03798	*07013	*06512	*00482	*00565 *00322 *00131 *00014 *361556930-02
						*-0.0678	*-0.05363 *-0.05693 *-0.04793 *-0.04559 *-0.04559 *-0.04793

LOG10(DETERMINANTE XXX) = 16.0604
MINIMO ELEMENTO DIAGONAL DE T: COLUMNA= 3 VALOR MINIMO= *36520 01

ELECCION DE K EN RIDGE REGRESSION
*00137 *001208 *00251 *00229 *00275 *00376 *00433 *00493 *00557 *00624 *-0.00136 *00772

TOTAL SSQ= *390366220 02 (*714474000 00) DF= 30 (73)

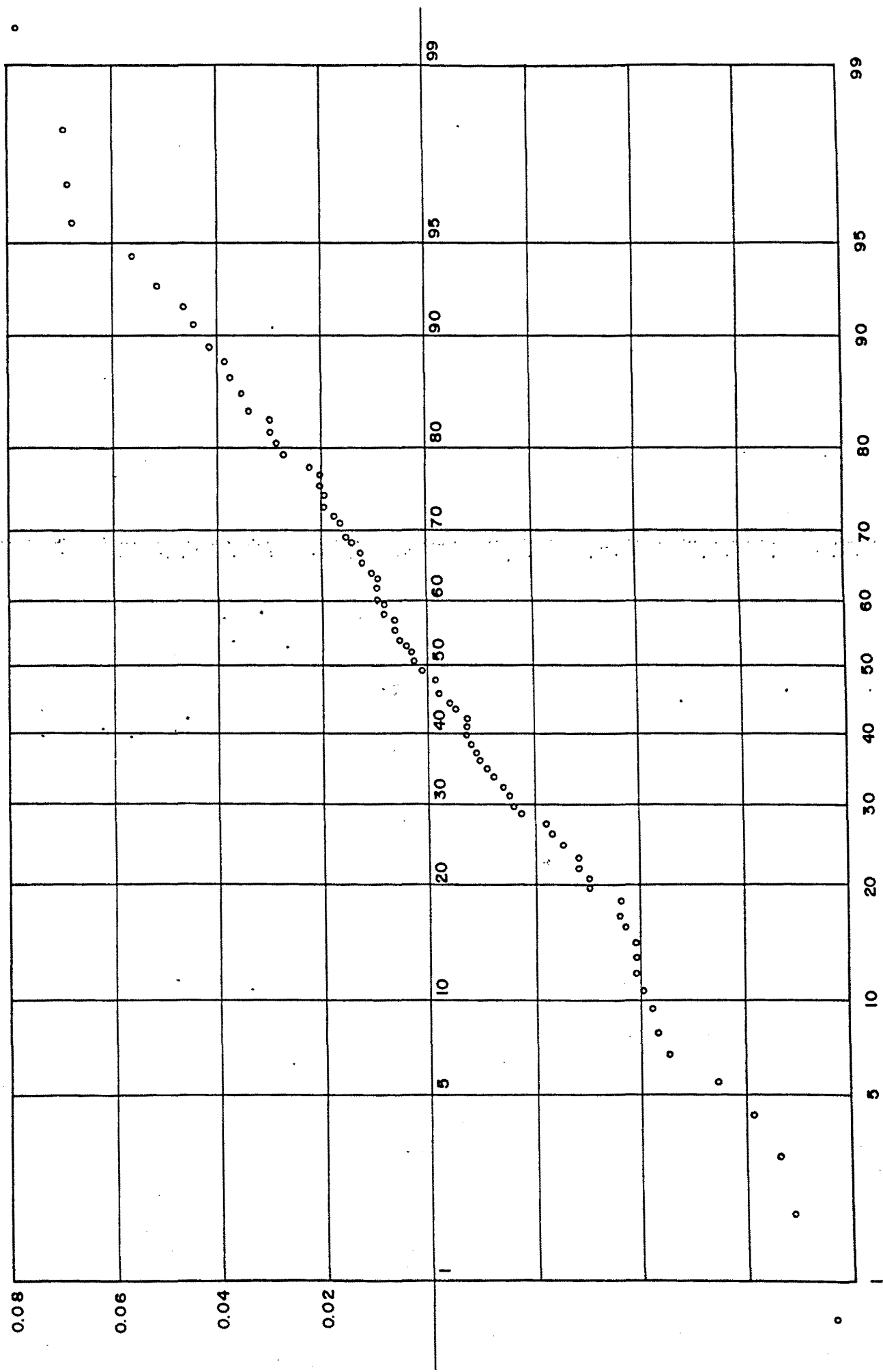
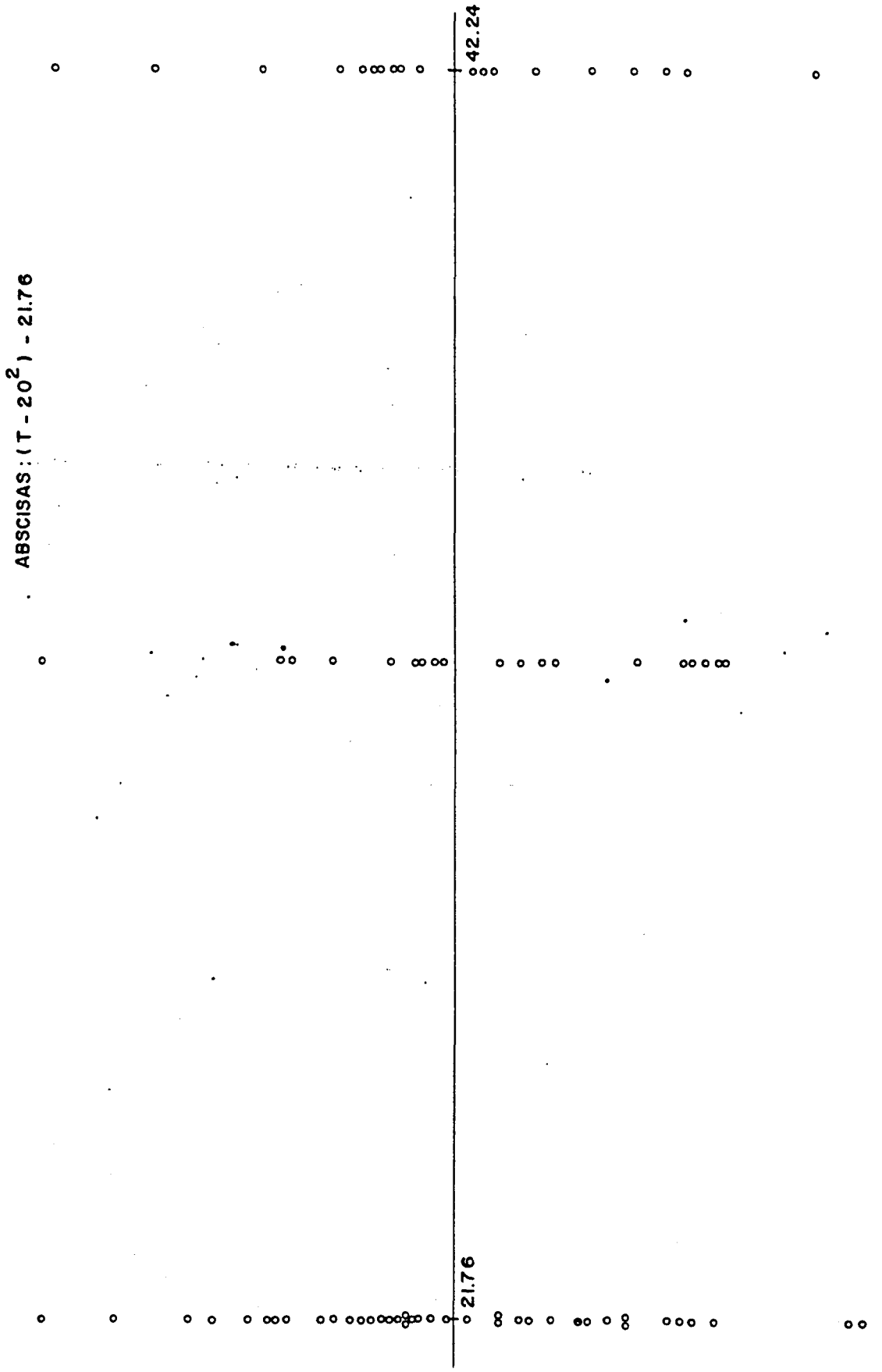


FIG. 28.- REPRESENTACION DE RESIDUOS EN PAPEL PROBABILISTICO NORMAL. INFLUENCIA DE LA TEMPERATURA

FIG. 29.- INFLUENCIA DE LA TEMPERATURA - REPRESENTACION GRAFICA DE LA RELACION TEMPERATURA²/RESIDUO



ABSCISAS : T - 20

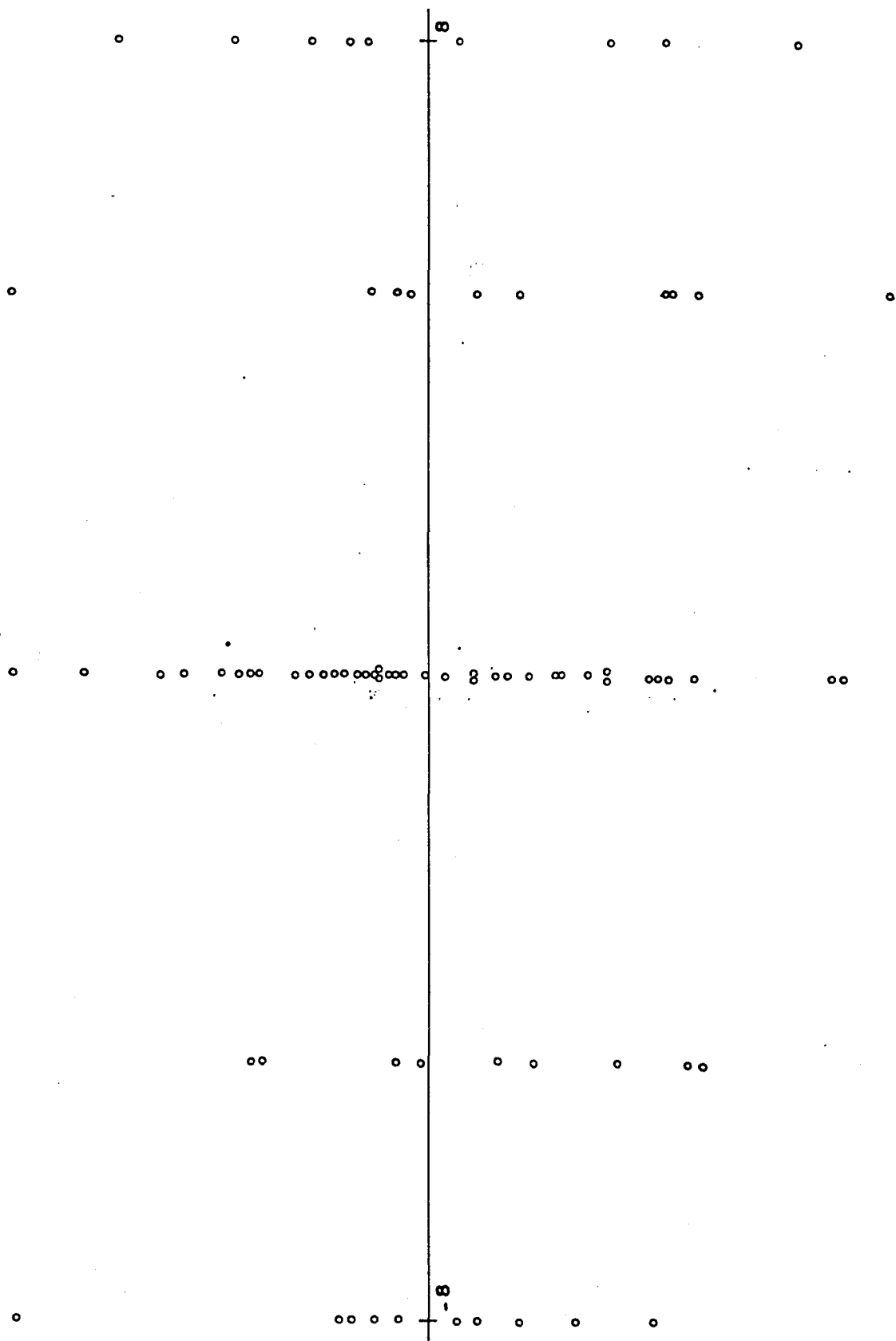


FIG. 30.- INFLUENCIA DE LA TEMPERATURA - REPRESENTACION GRAFICA DE LA RELACION TEMPERATURA - RESIDUO

ABSCISAS: b - 4.5
ORDENADAS: RESIDUOS

8

8

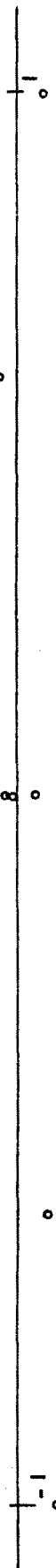


FIG. 31.- INFLUENCIA DE LA TEMPERATURA - REPRESENTACION GRAFICA DE LA RELACION :
PORCENTAJE DE BETUN - RESIDUO

ABSCISAS: A - 10

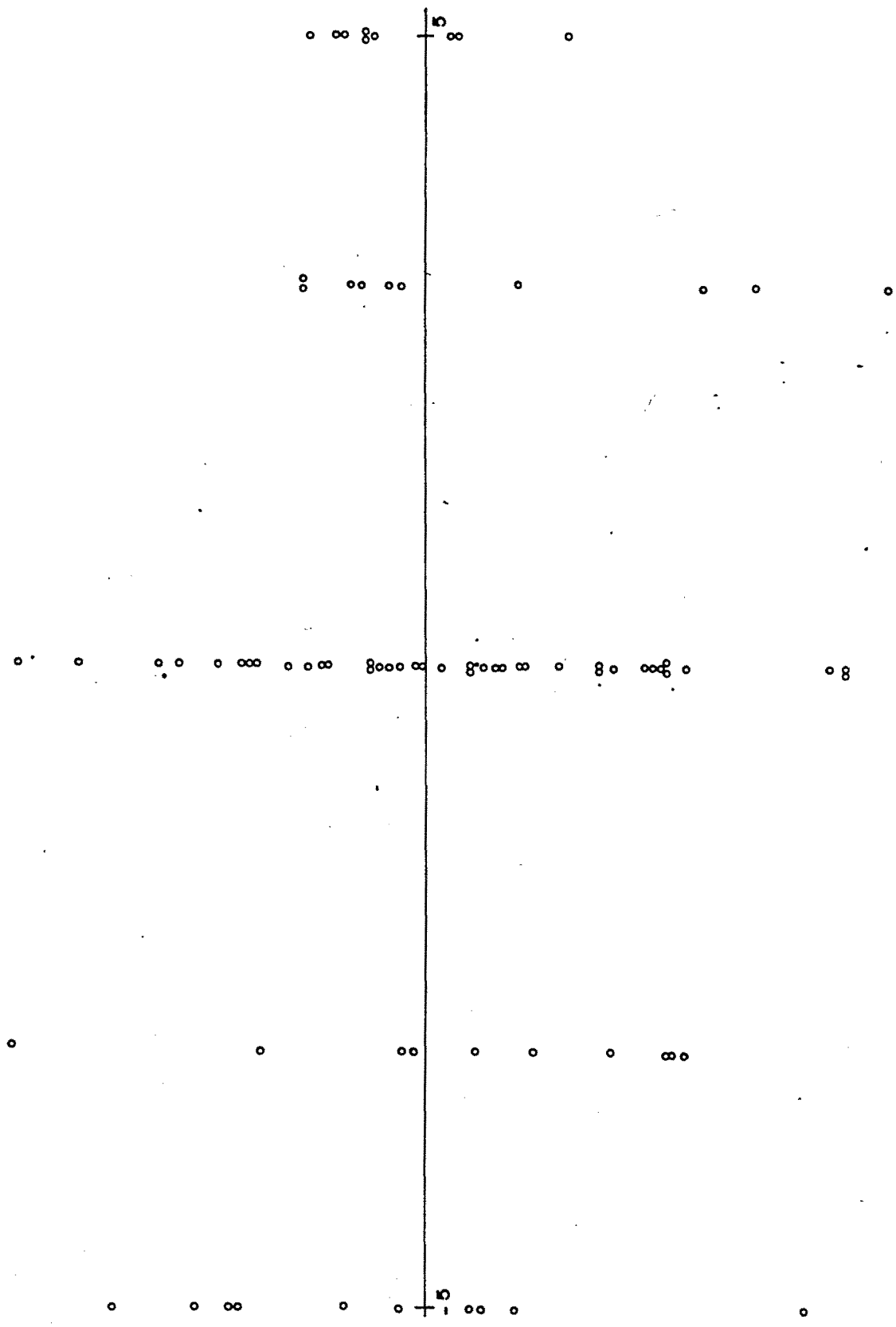


FIG. 32.- INFLUENCIA DE LA TEMPERATURA. REPRESENTACION GRAFICA DE LA RELACION FINOS - RESIDUO

$$(b - 4.5)^2 - 0.333$$

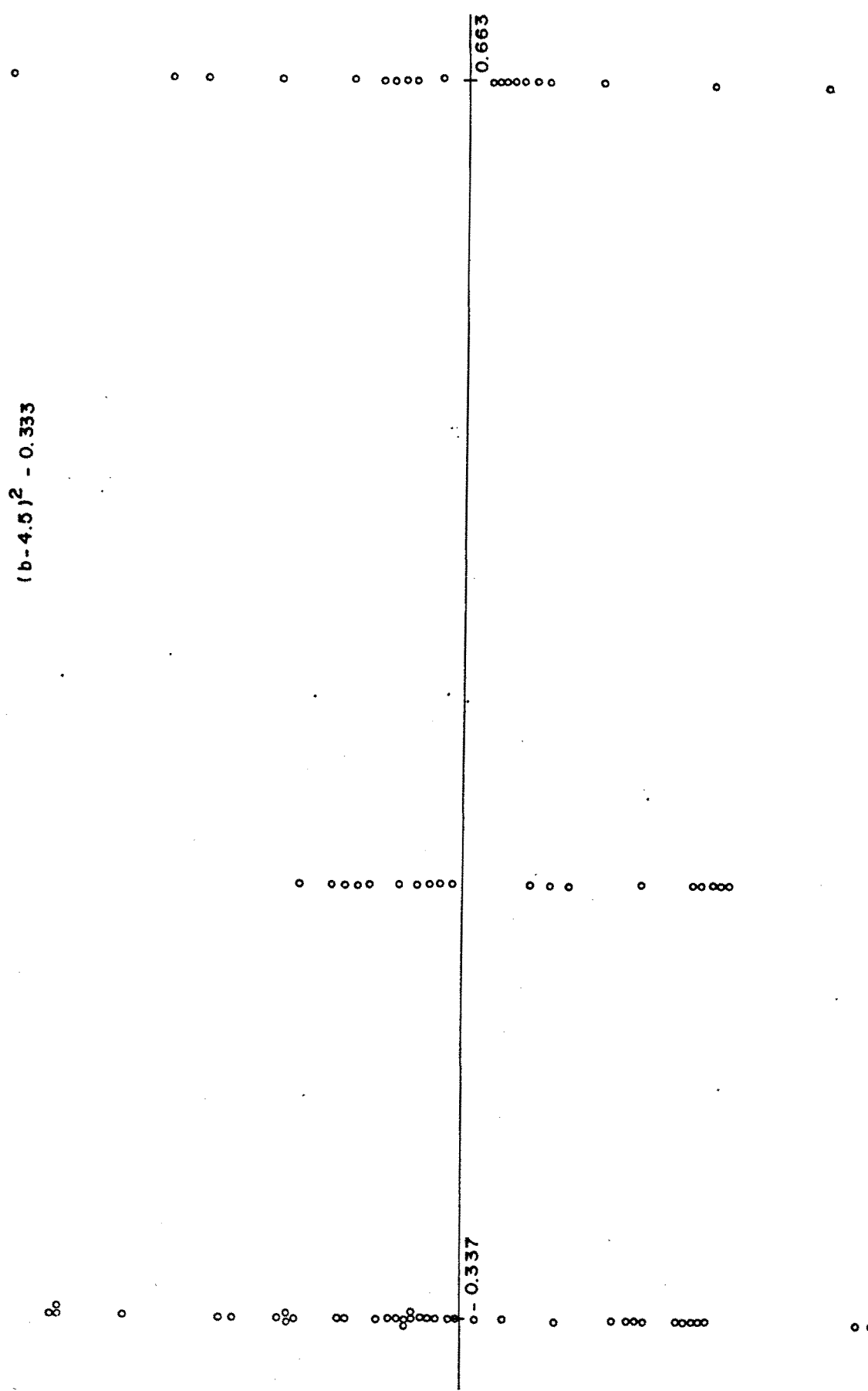


FIG. 33.- INFLUENCIA DE LA TEMPERATURA - REPRESENTACION GRAFICA DE LA RELACION BETUN / RESIDUO